

BERKELEY
LIBRARY
UNIVERSITY OF
CALIFORNIA

MATH
STAT.
LIBRARY

MATH
STAT.
LIBRARY

STAT
LIBRARY

29879

Ueber lineare Differentialgleichungen der zweiten Ordnung.

Vorlesung,

gehalten im Sommersemester 1894

von

F. Klein.

Ausgearbeitet von E. Ritter.

GÖTTINGEN 1894.



Get. for Math-Stat. Lib.
Gift of M.W. Haskell

MATH-STAT.

eddy

Inhaltsverzeichniss zu den linearen Differentialgleichungen.

Vorbemerkung	Seite
	1

Einleitung: Von der algebraischen Form der Differentialgleichungen.

A. Rationale Coefficienten.

Constantenzählungen, Normirungen	5
Homogene Variablen; invariante Darstellungen	12
Einführung des Quotienten η	30
Von der allgemeinen Bedeutung der Lamé'schen Gleichung	35

B. Algebraische Coefficienten.

Verschiedene Darstellungen der algebraischen Gebilde	42
Die Form der Differentialgleichungen bei $p = 1$ vom Integral u aus	57
Dasselbe bei directem Ansatz	72
Uebertragung auf hyperelliptische Gebilde	82
Die höheren algebraischen Gebilde in kanonischer Darstellung	90

Hauptgegenstand der Vorlesung: Von den transcendenten Eigenschaften der Differentialgleichungen.

I. Allgemeine Darlegung.

Die Wege auf der Riemann'schen Fläche und die Monodromiegruppe	105
Unverzweigte Differentialgleichungen und ihre Beziehung zur Theorie der Abel'schen Integrale	115
Unsere generelle Fragestellung	126
Die conforme Abbildung in der η -Ebene. Sonderstellung der symmetrischen Fälle	129
Synthetische Mathematik und algorithmische Mathematik	139

II. Fragen, betr. die Rationalitätsgruppe.

Definition und Bedeutung der Rationalitätsgruppe	147
--	-----

Fälle algebraischer Integrierbarkeit.

Rationale Integrierbarkeit	159
Ikosaedrische Integrierbarkeit	169
Analoge Ansätze bei linearen Differentialgleichungen dritter Ordnung	187

Theorie der Lamé'schen Polynome.

Der allgemeine algebraische Ansatz	190
Die Realitätstheoreme und der Beweis von Stieltjes	198
Allgemeine Sätze für den hypergeometrischen Fall auf Grund der conformen Abbildung	210
Bestätigung dieser Resultate durch die Methode von Stieltjes	226
Ausdehnung der Sätze auf den Fall von 4 singulären Puncten	234
Die zugehörigen Polygone	245

III. Eigentliche transzendentale Untersuchungen.

A. Das Oscillationstheorem.

Sein ursprüngliches Auftreten bei Sturm und die modernen Weiterbildungen	256
Genaue Discussion für den Fall der gewöhnlichen Lamé'schen Gleichung	276
Beziehungen zur Theorie der Lamé'schen Polynome sowie der mit ihnen zusammenhängenden Polygone	297
Eingreifen der Theorie der elliptischen Functionen	315

Die Hermite'sche Gleichung.

Allgemeine analytische Eigenschaften	323
Realitätsverhältnisse: Die Reihenfolge der singulären Fälle	338
Elliptisches und hyperbolisches Verhalten in den verschiedenen Intervallen der x-Achse	359
Die Gestalt der Polygone in den niedersten Fällen	372
Das allgemeine Ergebniss	384
Beziehung zum Oscillationstheorem	393

Ausdehnung des Oscillationstheorems auf allgemeinere Differential- gleichungen.

n singuläre Puncte ,	401
Die „allgemeine“ Lamé'sche Gleichung	412
Veränderliche Exponenten	422

B. Von den automorphen Functionen.

Beispiele eindeutiger automorpher Functionen.

Dreiecksfunctionen	432
Die doppeltperiodischen Functionen	444
Functionen mit unendlich vielen zerstreuten Gränzpunkten	453
Functionen mit Gränzkreis	465
Insbesondere für höheres Geschlecht	476
Allgemeiner Stand der Theorie	487

Von den Beweisen des Fundamentaltheorems.

Die Continuitätsmethode	499
Die Methode des Linienelementes und die der unendlichfach überdeckten Riemann'schen Fläche	515—524



Vorbermerkungen.

D. d. 24 Apri. 94

Die gegenwärtige Vorlesung soll sich, wie ihrem Inhalte nach, so auch in ihrer ganzen Tendenz an die Vorlesung des letzten Semesters über die hypergeometrische Funktion anschliessen. Es ist nämlich folgender wesentlicher Unterschied der hierin vorgebrachten Betrachtungen gegenüber den gewöhnlichen Darstellungen der Theorie der linearen Differentialgleichungen zu betonen, wie man sie z. B. in dem kürzlich erschienenen Buch von Hefter findet. Während man gewöhnlich nur das Verhalten der Lösungen der Differentialgleichung in der Umgebung einzelner Stellen untersucht und den Character der an einer bestimmten Stelle geltenden Reihenentwicklung discutirt, trat in meiner Vorlesung, besonders nach Weihnachten, das Bestreben hervor, den Gesamtverlauf der durch die Differentialgleichung definierten Funktionen zu erfassen, wobei die

Hilfsmittel der conformen Abbildung und sonstige geometrische Methoden ihre natürliche, mässige Verwendung fanden. Wenn wir aber auf diese Weise tiefer in die Sache eindringen, als die übliche Theorie, so konnten wir leider ebendeswegen nicht so allgemeine Probleme behandeln, wie jene Autoren. Das Buch von Heffter beschäftigt sich mit Differentialgleichungen von allgemeiner, n -ter Ordnung und mit einer beliebigen Zahl m von singulären Punkten; wir dagegen waren zufrieden, zuvörderst nur bei Differentialgleichungen zweiter Ordnung mit 3 singulären Punkten unsere Methoden zu erproben, und wir fanden schon da Gelegenheit zu so vielen interessanten Überlegungen, dass wir noch gar nicht darüber hinaus gehen konnten. Und auch in der jetzigen Sommervorlesung werden wir uns auf Differentialgleichungen zweiter Ordnung beschränken, und vorzüglich an solche spezielle Fälle anknüpfen, wo wir etwas Besonderes machen können.

Wenn wir da auch manche Untersuchung

nicht bis zum vollen Abschluß durchführen werden, so hoffe ich doch anregend auf solche Zuhörer zu wirken, welche Ohr-
sätze zu neuen Gedankenentwicklungen fertigen Schematen vorziehen; solche fertige Schemata sind wohl bequem, um nach einer feststehenden Methode beliebig viele analoge Untersuchungen durchzuführen, sie lehren aber nicht selbstständig denken, sondern nur nach der Mode denken.

Ferner mögen noch wenige Worte über das Verhältnis der jetzigen Vorlesung zu der Vorlesung von 1890-91 über denselben Gegenstand Platz finden: Die Absicht derselben war von der meiner jetzigen Vorlesung nicht sehr verschieden. Aber damals ging ich zum ersten Mal an den grossen Stoff heran, und habe dabei mehr mit der Fantasie als mit der Kritik gearbeitet, so dass verschiedenes, was ich damals behauptete, bei schärferer Überlegung sich nicht als stichhaltig erweist. Manches werden wir daher jetzt fallen lassen müssen, dafür hoffe ich

aber, dass das, was ich in dieser Vorlesung ausspreche, wirklich richtig ist, so dass die Hefte der damaligen Vorlesung durch die neue Vorlesung überflüssig werden und zugleich die endgültige Formulierung gewonnen ist.

Die Zeit etwa bis Pfingsten werde ich zu einer Art Einleitung benutzen, worin ich Ihnen überhaupt die Probleme vorführen werde, die uns künftig beschäftigen sollen.

Einleitung.

I. Algebraische Form der linearen homogenen Differentialgleichung:

$$y'' + p y' + q y = 0$$

A. Rationale Coefficienten.

Für uns, die wir auf functionentheoretische Behandlung Nachdruck legen, werden p und q algebraische Functionen sein, zuerst sogar speciell rationale Functionen, dann allgemein algebraische Functionen auf einer Riemann'schen Fläche. Dabei werden wir an der Beschränkung festhalten, dass wir durchweg Differentialgleichungen mit nur regulären singulären Punkten betrachten, d. h. dass sich in der Umgebung jedes singulären Punktes a eine Lösung von der Gestalt

$$y = (x-a)^{\alpha} \varphi(x-a)$$

finden lässt, wo $\varphi(x-a)$ eine in der Umgebung der Stelle a auf der Riemann'schen

Fläche endliche, stetige und eindeutige Function, speciell, wenn a kein Verzweigungspunkt der Fläche ist, eine nach $(x-a)$ fort schreitende Potenzreihe ist.
Sind in der Umgebung eines solchen regulären Punktes

$y_1 = (x-a)^{\alpha} \rho'(x-a), y_2 = (x-a)^{\alpha''} \rho''(x-a)$
zwei linear unabhängige Lösungen, so bezeichnet man α' und α'' als die "Exponenten" des Punktes a .

Wenn wir uns nun zuerst auf Differentialgleichungen mit rationalen Coefficienten p, q beschränken, so mögen a, b, c, \dots, m, n die singulären Punkte sein, $\alpha', \alpha''; \beta', \beta''; \gamma', \gamma''; \dots; \mu', \mu''; v', v''$ die zugehörigen Exponentenpaare. Den unendlich fernen Punkt werden wir meistens als nicht singulär voraussetzen, wenn es aber einmal bequem ist, einen singulären Punkt nach ∞ zu legen, so soll dies der Punkt n sein.

Wenn der unendlich ferne Punkt nicht singulär ist, so kann man die allgemeine Form der Differentialgleichung, wie ich schon im Winter ausführte, etwa

folgendermassen hinschreiben:

$$y'' + y' \left\{ \frac{1-\alpha'-\alpha''}{x-a} + \dots + \frac{1-\nu-\nu''}{x-n} \right\} + \frac{y}{(x-a) \dots (x-n)^2} \\ = 0, \quad + \frac{\left\{ \frac{\alpha'\alpha''(\alpha-\beta)\dots(\alpha-n)}{x-a} + \dots + \frac{\nu'\nu''(n-\alpha)\dots(n-m)}{x-n} \right\}}{G_{n-4}(x)}$$

wobei die Exponenten der Relation

$$\alpha' + \alpha'' + \dots + \nu' + \nu'' = n - 2$$

genügen müssen.

Es ist dies diejenige Form der Differentialgleichung, welche ich gewöhnlich benutze; andere schreiben sie vielfach anders, indem sie den Coefficienten von y vollständig in Partialbrüche zerlegen:

$$y'' + y' \left\{ \frac{1-\alpha'-\alpha''}{x-a} + \dots + \frac{1-\nu-\nu''}{x-n} \right\} + y \left\{ \frac{\alpha'\alpha''}{(x-a)^2} + \dots + \frac{\nu'\nu''}{(x-n)^2} + \right. \\ \left. \frac{\alpha}{x-a} + \dots + \frac{\nu}{x-n} \right\} = 0,$$

wobei aber die Grössen $\alpha, \beta, \dots, \nu$ nach 3 linearen Gleichungen genügen müssen.

Legt man den n -ten singulären Punkt nach ∞ , so lautet die Differentialgleichung im übrigen gerade so, als wenn sie nur die singulären Punkte a, b, \dots, m hätte, nur das Polynom $G_{n-4}(x)$ erhält noch ein Glied $(n-3)$ -ten Grades, nämlich $\nu'\nu''.x^{n-3}$, und in der zweiten angegebenen Gestalt brauchen die noch bleibenden $\alpha, \beta, \dots, \nu$ nur noch

zwei linearen Gleichungen zu genügen.

Die allgemeine Differentialgleichung, in der kein singulärer Punkt nach ∞ gelegt ist, enthält insgesamt $4n-4$ Constanten, nämlich

1. Die n singulären Punkte: n Const.
2. die $2n$ Exponenten, welche aber einer Gleichung genügen: $2n-1$ "
3. die Coefficienten des Polynoms
 $I_{n-4}(x)$: $\frac{n-3}{4n-4}$ "

Dieselbe Constantenzahl ergibt sich bei Abzählung von der zweiten Schreibweise aus.

Wenn der n te singuläre Punkt im Unendlichen liegt, also über eine der singulären Stellen bereits verfügt ist, erniedrigt sich die Zahl der Constanten natürlich um 1, man hat also dann $4n-5$ willkürliche Parameter. Dasselbe ergibt sich durch Abzählung an der Differentialgleichung mit einem singulären Punkt im Unendlichen.

[D. d. 26. Apr. 1894.]

Heute richte ich Ihre Aufmerksamkeit

darauf, dass von den $4n - 4$ Constanten der allgemeinen regulären Differentialgleichung mit n singulären Punkten nicht alle wesentlich sind. Wir ziehen nämlich zwei Transformationen der Variablen heran:

1., eine lineare Transformation der unabhängigen Variablen:

$$x' = \frac{\alpha x + \beta}{\gamma x + \delta}.$$

Dadurch können wir 3 Parameter herauschaffen, z.B. können wir irgend 3 der singulären Punkte nach $0, \infty, 1$ legen so dass aus

$$a, b, c, d, \dots \dots n$$

die Werte $0, \infty, 1, d', \dots \dots n'$

werden. Allgemeiner können wir die Sache so bezeichnen, dass wir sagen:

Die n Punkte haben gegenüber den projektiven Transformationen des \mathbb{P}^n also $n-3$ absolute Invarianten, als welche wir beispielsweise $n-3$ unabhängige Doppelverhältnisse ansehen dürfen, - nur diese Invarianten sind für die Differentialgleichung wesentlich.

Dadurch sinkt die Zahl der Parameter

sie schon auf $4n - \gamma$ herab.

Zweitens aber führen wir eine andere abhängige Variable y durch die Substitution ein:

$$y = y_1 (x-a)^p (x-b)^q \dots (x-n)^w,$$

wobei p, q, \dots, w irgend welche Werte haben dürfen, die nur, damit kein singulärer Punkt bei $x = \infty$ entsteht, der Relation genügen:

$$p + q + \dots + w = 0.$$

In den Exponenten p, q, \dots, w dieser Substitution habe ich noch $n-1$ Constanten zur Verfügung und kann dadurch die Anzahl der Constanten in der linearen Differentialgleichung auf $3n-6$ herunterdrücken.

Man kann die letztgenannte Substitution dazu benutzen, um die Differentialgleichung auf irgend eine besonders elegante Normalform zu bringen. Natürlich kann man sich sehr viele verschiedene Normalformen ausdenken, je nach dem Zwecke, den man damit verfolgt. Ich will vor allem folgende Normalform erwähnen:

Wenn y an der Stelle a die Exponenten α' , α'' hat, so sind die Exponenten von Y an derselben Stelle $\alpha' - \rho$, $\alpha'' - \rho$.

Beim Übergang von y zu Y bleibt also die Differenz

$$\alpha' - \alpha'' = \alpha$$

der Exponenten unverändert, während die Summe $\alpha' + \alpha''$ in $\alpha' + \alpha'' - 2\rho$

übergeht, also durch geeignete Wahl der Zahl ρ auf jeden beliebigen Wert gebracht werden kann.

Bei der Normalform nun, die ich im Sinne habe, wird diese Summe der beiden Exponenten = 1 gesetzt, also

$$(\alpha' - \rho) + (\alpha'' - \rho) = 1,$$

$$(\alpha' - \rho) - (\alpha'' - \rho) = \alpha,$$

$$\alpha' - \rho = \frac{1+\alpha}{2}, \quad \alpha'' - \rho = \frac{1-\alpha}{2},$$

$$\rho = \frac{1-\alpha'-\alpha''}{2}.$$

Da wir aber wegen der Bedingung $\rho + \sigma + \dots + w = 0$ nur über $n-1$ der Zahlen ρ, σ, \dots, w verfügen können, so wollen wir einen der singulären Punkte auszeichnen und nachher verlegen, um dann nur für jeden der $n-1$ im Endlichen bleibenden Punkte α, σ, \dots, m die Exponentensumme = 1 zu setzen.

Dann haben wir in der gestern angegebenen Differentialgleichung den Punkt n wegzulassen, $G_{n-4}(x)$ durch $G_{n-3}(x)$ zu ersetzen, und dann für α', α'' die neuen Exponentendifferenzen $= \frac{1+\alpha}{2}$ und $\alpha'' - \beta = \frac{1-\alpha}{2}$ einzusetzen, und entsprechend für die andern im Endlichen liegenden Punkte. Es fällt so der Coefficient des Glieds y ganz weg und die Differentialgleichung geht in folgende Normalform über:

$$0 = y'' + \frac{y}{(x-a)(x-m)} \cdot \left\{ \frac{1-\alpha^2(a-b)\dots(a-m)}{x-a} + \dots + \frac{\mu^2(m-a)\dots(m-e)}{x-m} + G_{n-3}(x) \right\}.$$

Bei dieser Form liegt die Besonderlichkeit darin, dass das Glied mit y' wegfällt, und dass nur die Exponentendifferenzen α, β, \dots auftreten; dafür aber hat man den unendlich fernen Punkt zu einem singulären Punkt machen müssen und dadurch die Symmetrie der Formel beeinträchtigt.

Dieser Umstand, dass man bei Normierung der Differentialgleichung irgend eine Unsymmetrie einführen muss, stellt sich ganz allgemein ein, wenn man sich nicht zu dem Schritt entschließt, homogene Variablen einzuführen.

Was den Gebrauch homogener Variablen betrifft, so herrschen darüber unter den Mathematikern zwei ganz entgegengesetzte Richtungen. Die einen, die algebraisch-geometrische Schule, welche an Cayley, Clebsch u. s. w. anknüpft, arbeiten nur mit homogenen Variablen und haben geradezu einen Widerwillen, man möchte sagen: asthetischer Art gegen nichthomogen geschriebene Formeln. Die andere Richtung umfasst die Mehrzahl der Funktionentheoretiker, welche die homogenen Formeln für etwas unbestimmtes zu halten scheinen, indem sie sich nicht gewöhnen können, einen homogenen Ausdruck wirklich als Function der zwei Variablen x_1, x_2 anzusehen, sondern immer nur auf das Verhältnis $x_1 : x_2$ achten. Wir hier werden einen Mittelweg zwischen diesen beiden extremen Richtungen einhalten, indem wir bald die homogene, bald die unhomogene Schreibweise bevorzugen, je nach dem Zwecke, den wir gerade verfolgen.

Wenn wir irgend eine Function von

haben

$$y = F(x),$$

so spalten wir Argument und Function, indem wir setzen

$$x = \frac{x_1}{x_2},$$

$$F(x) = F\left(\frac{x_1}{x_2}\right) = \frac{\varphi(x_1, x_2)}{\psi(x_1, x_2)}.$$

Dabei kann diese Spaltung von F in Nähler und Kerner nach verschiedenen Rücksichten geschehen. Wenn z. B. $F(x)$ eine rationale Function ist, wird man $\varphi(x_1, x_2)$ und $\psi(x_1, x_2)$ so einrichten, dass es ganze rationale Formen von x_1, x_2 sind. Solche ganze Formen haben den Vorzug, für endliche Werte der Variablen x_1, x_2 immer endlich zu bleiben. Unendlich grosse Werte der homogenen Variablen dürfen wir aber von vornherein ausschliessen, weil $x = \frac{x_1}{x_2}$ auch schon bei der Beschränkung auf endliche Werte von x_1, x_2 alle seine Werte annimmt. Im Zusammenhang damit sagen wir:

Überhaupt ist es ein Hauptzweck bei der Einführung homogener Variablen, dass man das Unendlichwerden der in

Betracht zu ziehenden Größen verneidet.

Aber noch einen andern Vorzug bietet die Benutzung homogener Variablen:

Die Formeln, welche bei linearer Transformation herauskommen, werden symmetrischer.

Nämlich statt der gebrochenen Substitution

$$x' = \frac{\alpha x + \beta}{\gamma x + \delta}$$

erhalten wir eine ganze lineare binäre Substitution

$$x'_1 = \alpha x_1 + \beta x_2,$$

$$x'_2 = \gamma x_1 + \delta x_2.$$

Mit solchen Substitutionen hat es aber die gewöhnliche Invariantentheorie zuthun; wir sagen also:

Insbesondere erreichen wir durch Einführung der homogenen Variablen den Oberschluss an den Algorithmus der Invariantentheorie.

Wir werden jetzt, um dies auf unsere Differentialgleichung anzuwenden, statt einer Funktion y vielmehr eine Form Π einführen, indem wir setzen:

$$y = \Pi \cdot (x_1 - a x_2)^\rho (x_1 + b x_2)^\sigma \cdots (x_1 - n x_2)^\omega$$

Da liegt nun gar kein Grund vor, die Zahlen $\rho, \sigma, \dots, \omega$ irgend einer Beschränkung zu unterwerfen, da ja der unendlich ferne Punkt für die zugesetzten Factoren gar kein singulärer Punkt mehr ist. Nur wird dann, wenn wir $\rho + \sigma + \dots + \omega$ von 0 verschieden annehmen, auch der Grad des Π von 0 verschieden, nämlich

$$K = -(\rho + \sigma + \dots + \omega).$$

Die Exponenten $\rho, \sigma, \dots, \omega$ können wir jetzt ganz beliebig annehmen, nur wird der Grad der Form Π , welche durch unsere Substitution eingeführt wird, durch die Zahlen $\rho, \sigma, \dots, \omega$ bestimmt.

Infolge dieser vollständigen Willkürlichkeit der ρ, σ, \dots ist jetzt auch eine symmetrische Normierung der Differentialgleichung möglich. Ein zweiter Fortschritt liegt aber noch in folgendem: Während wir die Function y einmal und zweimal nach x zu differenzieren hatten, haben wir von der Form Π zwei erste und drei zweite Differentialquotienten, die wir so bezeichnen:

$$\Pi_1 = \frac{\partial \pi}{\partial x_1}, \quad \overset{17.}{\Pi_2} = \frac{\partial \pi}{\partial x_2},$$

$$\Pi_{11} = \frac{\partial^2 \pi}{\partial x_1^2}, \quad \Pi_{12} = \frac{\partial^2 \pi}{\partial x_1 \partial x_2}, \quad \Pi_{22} = \frac{\partial^2 \pi}{\partial x_2^2}.$$

Zwischen diesen bestehen natürlich die bekannten für homogene Functionen geltenden Eulerischen Relationen:

$$x_1 \Pi_1 + x_2 \Pi_2 = k \Pi_3,$$

$$x_1 \Pi_{11} + x_2 \Pi_{12} = (k-1) \Pi_1,$$

$$x_1 \Pi_{21} + x_2 \Pi_{22} = (k-1) \Pi_2.$$

Indem wir an Stelle von zwei Differentialquotienten jetzt deren 5 haben, sind wir in der Lage, unsere normirten Differentialgleichungen, von denen wir sprechen wollen, in der Art symmetrisch zu schreiben, daß die invariante Auffassung, die wir ohne hin immer zu Grunde legen, auch in der Formel hervortritt.

Wir erörtern zunächst die Frage, in welcher Weise wir unser Π normieren wollen. Die Exponenten sind bezüglich einer Wahl $\alpha, \beta, \gamma, \dots$

$$\alpha' - \beta, \quad \beta' - \gamma, \quad \dots \quad \nu' - \omega;$$

$$\alpha'' - \beta, \quad \beta'' - \gamma, \quad \dots \quad \nu'' - \omega.$$

Wir setzen nun $\beta = \alpha'', \gamma = \beta'', \dots, \omega = \nu''$,

was ja jetzt möglich ist, da α, β, \dots w von einander völlig unabhängig sind. Dann wird an jeder Stelle der eine Exponent gleich 0, der andere gleich der Exponentendifferenz α . Die Π -Form, welche wir so bekommen, habe ich früher als „Normal- Π zweiter Art“ benannt; wir werden dasselbe jetzt vorzugsweise zu Grunde legen, und wollen es als „Normal- Π “ schlechtrweg bezeichnen.

Das Normal- Π denken wir uns in der Weise gewählt, dass es an jeder einzelnen singulären Stelle einen Exponenten = 0 hat, worauf der andere Exponent gleich oder von vornherein vorgeschriebenen Exponentendifferenz sein wird.

Fr. d. 27. Apr. 94.] Ein solches Π bezeichnen wir im Anschluss an das Riemann'sche Schema mit

$$\Pi \left| \begin{array}{cccc} \alpha & \beta & \dots & n \\ \alpha & \beta & \gamma & x_1, x_2 \\ 0 & 0 & 0 & \end{array} \right|.$$

Der Grad desselben ist

$$K = \frac{\alpha + \beta + \dots + \gamma + 2 - n}{2}.$$

Nun bedenken wir noch, dass das Vorzeichen jeder Exponentendifferenz α, β, \dots nach will.

kirlich ist, da es ja freisteht, welchen der beiden Exponenten wir vom andern abziehen wollen. Wir wollen nun die Fortsetzung, wenn eine solche nötig wird, so treffen, dass α, β, \dots positiv sind, oder falls sie complex sind, dass die reellen Theile positiv sind wobei wir aber die Möglichkeit bei Seite lassen, dass eine der Grössen rein imaginär sein möchte. Dann wird an einer singulären Stelle kein Zweig der Π -Form unendlich, mit andern Worten, Π ist eine ganze (transcendente) Form von X_1, X_2 . Zugleich verschwinden an keiner Stelle alle Zweige gleichzeitig, so dass wir keinen weiteren Factor mehr aus dem Π herausheben können, ohne dass es aufhörte, eine ganze Form zu sein. Wir sagen also:

Die homogenen Variablen können insbesondere dazu benutzt werden, der Form Π eine solche Normirung zuteilen, dass sie eine ganze Form von X_1, X_2 ohne überflüssigen Teiler ist.

Wir wollen nun auch die Differentialgleichung für unser Normal- Π in homogener, invariante Form aufstellen.

Ich schließe mich dabei andas von Waelisch in den „Schriften der deutschen Piager mathematischen Gesellschaft 1892“ veröffentlichte Resultat an. Waelisch hat allerdings nicht unsern allgemeinen Standpunkt, sondern er beschränkt sich auf Differentialgleichungen mit rationalen Lösungen. Es hängt das mit der gestern bei rückten Parteispaltung der Mathematiker zusammen, indem die Mathematiker, welche die homogenen Variablen geläufig sind, wieder durchaus an den algebraischen Functionen krafen. Aber nichts desto weniger gilt die Waelisch'sche Formel allgemein, auch für die transzendenten Π -Formen.

Wir werden zunächst einen gewissen invarianten Differentialprozess zu definieren haben, der zuerst von Cayley er sonnen worden ist, um aus zwei binären Formen eine Covariante zu bilden, und der übrigens in der Invariantentheorie allgemein üblich ist.

Wir definieren als „ $\pi \varphi$ Überschiebung zweier binären Formen Π und φ “ diejenige Form, welche man erhält, wenn

man auf das Product $\Pi(x_1, x_2) \cdot \varphi(y_1, y_2)$ den durch das Symbol $(\frac{\partial}{\partial x_1} \frac{\partial}{\partial y_2} - \frac{\partial}{\partial x_2} \frac{\partial}{\partial y_1})$ definierten Prozess r mal anwendet und liunterher $y_1 = x_1, y_2 = x_2$ setzt, also

$$(\Pi, \varphi)_r = \left[\left(\frac{\partial}{\partial x_1} \frac{\partial}{\partial y_2} - \frac{\partial}{\partial x_2} \frac{\partial}{\partial y_1} \right)^r \Pi(x_1, x_2) \varphi(y_1, y_2) \right]_{y_1, y_2 = x_1, x_2}.$$

Das ergibt speziell für $r = 0, 1, 2$:

$$r=0 \quad (\Pi, \varphi)_0 = \Pi \cdot \varphi, \quad (\text{also das Produkt}),$$

$$r=1 \quad (\Pi, \varphi)_1 = \Pi_1 \varphi_2 - \Pi_2 \varphi_1, \quad (\text{die Functionaldetermin.})$$

$$r=2 \quad (\Pi, \varphi)_2 = \Pi_{11} \varphi_{22} - 2\Pi_{12} \varphi_{21} + \Pi_{22} \varphi_{11}$$

Ihr behauptete nun, dass unser Normal- Π folgender Differentialgleichung genügt

$$(\Pi, \varphi)_2 + (\Pi, \psi)_1 + (\Pi, \chi)_0 = 0$$

Hierin bedeutet φ die Form, welche an sämtlichen singulären Stellen verschwindet:

$$\varphi = (x_1 - a x_2)(x_1 - b x_2) \cdots (x_1 - n x_2),$$

während ψ und χ zwei ganz beliebige ganze Formen von den Graden $n-2$ und $n-4$ sind.

Umgekehrt, wenn Π einer Differentialgleichung von dieser Gestalt genügt, ist es ein Normal- Π . Wir können also geradezu sagen:

Unser normiertes Π ist dadurch definiert, dass eine einfache Summe von Überschreibungen verschwindet.

Die Grade von φ und X müssen dabei $n-2$ und $n-4$ sein, damit die ganze Summe homogen ist. —

Zunächst können wir leicht die Übereinstimmung der Constantenzahl mit der Constantenzahl des Normal-II constatiren: II hat $3n-6$ wesentliche Constanten, oder wenn wir nicht nur auf die Doppelverhältnisse, sondern auf die Lage der singulären Punkte selbst achten, $3n-3$ Constanten. Die Differentialgleichung enthält in der Form φ , deren höchster Coefficient oben = 1 angenommen wurde, n Parameter, in φ $n-1$ und in X $n-3$ Coeffizienten, also $3n-4$ Parameter; das alles aber unter der Voraussetzung, dass der Grad K von II als fest angesehen wird. Der selbe ist aber an sich eines jeden beliebigen Wertes fähig, da er durchaus keine ganze oder rationale oder auch nur reelle Zahl zu sein braucht, und er muss bei unserer Differentialgleichung noch ausdrücklich festgelegt werden, damit sie überhaupt ein bestimmtes Problem vorstellt.*)

*) Anders ausgedrückt: Wir müssen neben unsere Differentialgleichung die andere stellen: $\Pi_1 \cdot x_1 + \Pi_2 \cdot x_2 = K \cdot II$.

Wir müssen also in der Differentialgleichung den vorzugebenden Grad K als einen weiteren Parameter ansehen, und erhalten so im Ganzen $3n-3$ willkürliche Parameter, wie es sein soll.

Wir könnten von den $3n-3$ Constanten, welche in der Formel auftreten, gerne 3 durch lineare Transformation der x_1, x_2 zerstören.
Es hätte dies aber gar keine tiefergehende Bedeutung, weil aus der Bauart unserer Gleichung ohne weiteres hervor geht, dass das Π in covarianter Weise an die drei Formen g, γ, X angeknüpft ist.

Um zu zeigen, dass die homogene Differentialgleichung wirklich ein Normalat Π definiert, werde ich - inconsequenter Weise, weil wir nicht genügt genug sind, mit homogenen Variablen zu operiren - das Verfahren einschlagen, dass ich sie geradezu in nichthomogene Gestalt umrechne. Zuerst drücke ich vermittelst der Euler'schen Relationen alle Differentialquotienten, in denen nach x_2 differenziert ist, durch die Differentialquotienten Π, Π_1, Π_{11} aus, in denen nur nach x_1 differenziert ist. Ich setze also

$$\Pi_2 = \frac{\kappa \Pi - x_1 \Pi_1}{x_2},$$

$$\Pi_{12} = \frac{(K-1)\Pi_1 - x_1\Pi_{11}}{x_2}$$

$$\Pi_{22} = \frac{K(K-1)\Pi_2 - 2(K-1)x_1\Pi_1 + x_2^2 \cdot \Pi_{11}}{x_2^2},$$

und analog beim q, etc.

Dies eingesetzt gibt:

$$\frac{n(n-1)g}{x_2^2} \cdot \Pi_{11} + \left(\frac{(n-2)\psi}{x_2} - \frac{2(K-1)(n-1)q_1}{x_2^2} \right) \Pi_1 + \left(X - \frac{K\psi_1}{x_2} + \frac{K(K-1)q_{11}}{x_2^2} \right) \Pi = 0.$$

Nun schreiben wir etwa:

$$\frac{\Pi(x_1, x_2)}{x_2^K} = \mathcal{P}(x), \quad \frac{\psi(x_1, x_2)}{x_2^n} = f(x),$$

$$\frac{\gamma(x_1, x_2)}{x_2^{n-2}} = g(x), \quad \frac{X(x_1, x_2)}{x_2^{n-4}} = h(x),$$

und erhalten

$$n(n-1) \cdot f \cdot \mathcal{P}'' + ((n-2)g - 2(K-1)(n-1)f')\mathcal{P}' + (h - K \cdot g' + K(K-1)f'')\mathcal{P} = 0$$

oder

$$\mathcal{P}'' + \left(\frac{(n-2)g}{n(n-1)f} - \frac{2(K-1)f'}{nf} \right) \mathcal{P}' + \left(\frac{h - K \cdot g' + K(K-1)f''}{n(n-1)f} \right) \mathcal{P} = 0$$

$$\frac{\mathcal{P}}{f} = 0$$

Man sieht aus dieser Form sogleich, dass singuläre Punkte nur an den Verschwindungsstellen von $f(x)$ auftreten, abgesehen vom Punkt

∞ , der nur durch den Übergang zur nicht homogenen Schreibweise einen singulären Character erhalten hat. Ferner sehen wir, dass der Coefficient des letzten Gliedes nach Heraussetzung des Nenners eine ganze Function vom Grade $n-3$ ist. Es fehlen also vollständig die Glieder $\frac{\alpha' \alpha''}{x-a} (a-b) \dots (a-n)$ u. s. w. welche den singulären Punkten $a, b, \dots n$ entsprechen sollten. Das kann aber nicht anders geschehen, als indem

$$\alpha' \alpha'' = 0, \beta' \beta'' = 0 \quad \text{u. s. w.}$$

ist, d. h. es muss an jedem singulären Punkt einer der beiden Exponenten verschwinden.

Die sämtlichen singulären Punkte $a, b, \dots n$ haben immer einen Exponenten 0, weil mit P' nur eine ganze Function multipliziert ist, weil also die in der allgemeinen Form an dieser Stelle vorkommenden Partialbrüche wegfallen.

Der andere Exponent z. B. α des Punktes a bestimmt sich leicht, aus der Bemerkung, dass der Coefficient von P' an der Stelle $x=a$ wie $\frac{1-\alpha}{x-a}$ unendlich werden muss. Man findet aber, dass er in Wahrheit mit dem Coefficienten:

$$\frac{(n-2)g(a)}{n(n-1)\cdot f'(a)} - \frac{2(K-1)}{n}$$

unendlich wird, dass also

$$\alpha = 1 + \frac{2(K-1)}{n} - \frac{(n-2) \cdot g(a)}{n(n-1) \cdot f'(a)}$$

sein muss:

Die von Waelisch aufgestellte Differentialgleichung definiert, wenn wir unter Π eine Form K ten Grades verstehen, ein Normal- Π , welches die Wurzeln von $g=0$ zu singulären Punkten hat, und im einzelnen singulären Punkt die Exponenten 0 und

$$\alpha = 1 + \frac{2(K-1)}{n} - \frac{(n-2) \cdot g(a)}{n(n-1) \cdot f'(a)}$$

Gesetzt.

No. d. 30. Apr. 1894.] Im Anschluss hieran möchte ich auf folgende schöne Eigenschaft der Waelisch'schen Differentialgleichung aufmerksam:

Man findet die singulären Stellen α, β, \dots der Differentialgleichung durch 0-Setzen der Funktion f , oder was dasselbe heisst, der Form $g(x_1, x_2)$. Zur Berechnung der Exponenten α, β, \dots, r braucht man, nachdem man die singulären Stellen selbst, also die

Function f , als bekannt ansicht, nur noch die Function g , oder homogen gedacht, die Form ψ hinzu zu nehmen, und endlich nach Festlegung der singulären Punkte und der Exponenten ergiebt die Form $X^{(\frac{x_1}{x_2}, \frac{x_2}{x_1})}$ die $n-3$ accessorischen Parameter. So bestimmt also in der Waelisch'schen Differentialgleichung

$$(\Pi, \varphi^n)_2 + (\Pi, \psi^{\frac{n-2}{n}})_1 + (\Pi X^{\frac{n-4}{n}})_0 = 0$$

das erste Glied die singulären Punkte, das zweite Glied die Exponenten, das dritte die accessorischen Parameter

Die elegante Form, in welcher bei unserer Normalgleichung die singulären Punkte, die Exponenten und die accessorischen Parameter durch die Coefficienten von φ, ψ, X vertreten werden, lässt es als wahrscheinlich erscheinen, dass eine Benutzung der Normalform angezeigt ist, sobald man neben x die genannten drei Größen als veränderlich betrachten will.

Ich möchte ferner noch einige spezielle Bemerkungen hinzufügen:

1., Für $n=3$ sollte X eine ganze rationa-

le Form vom Grade - 1 mit 0 Coefficienten sein, d. h. sie muss identisch 0 sein.

Die Normalgleichung im hypergeometrischen Fall heisst also

$$(\overset{\kappa}{\Pi}, \overset{3}{\varphi})_2 + (\overset{\kappa}{\Pi}, \overset{4}{\psi})_1 = 0.$$

In dieser Gestalt hat Hilbert in Math. Ann. 30. 1887 die Differentialgleichung aufgesetzt, nur dass bei Hilbert, wie auch bei Waelisch das Interesse nur darauf gerichtet ist, ganze rationale Formen, Polynome, zu finden, welche einer solchen Relation genügen, so dass die Allgemeingültigkeit des Ansatzes für die Theorie der linearen Differentialgleichungen nicht ins Auge scheint.

2.) Wir wollen zusehen, was für einen Spezialfall wir erhalten, wenn wir identisch

$$\psi = 0$$

setzen, wenn wir also nur eine Differentialgleichung der Gestalt

$$(\overset{\kappa}{\Pi}, \overset{3}{\varphi})_2 + (\overset{\kappa}{\Pi}, \overset{n-4}{\chi})_0 = 0$$

ins Auge fassen. Dann ergibt unsere Formel für die Exponenten, dass alle Exponenten

einander gleich, nämlich

$$\alpha = \beta = \dots = \nu = \frac{n+2K-2}{n}$$

werden. Hiervom ist es nun noch ein weiter specialisirter Fall, auf den man durch die mathematische Physik hingeführt wird, nämlich der Fall der allgemeinen Lamé-schen Differentialgleichung. Ich darf mich in Bezug dieses Gegenstandes auf meine Vorlesung vom W. 1889/90 beziehen, deren Inhalt zugleich die Grundlage für die Preisarbeit von Böcher bildet: „Über die Reihenentwicklungen der Potentialtheorie“. Dort wird gezeigt, wie die mathematische Physik dazu veranlaßt, die Idee der allgemeinen Lamé-schen Gleichung zu bilden, aus der alle in der Potentialtheorie sonst gebräuchlichen linearen Differentialgleichungen 2. Ordnung durch Grenzübergang hervorgehen. Diese allgemeine Lamé-sche Gleichung erhält man, indem man alle Exponentendifferenzen $\alpha, \beta, \dots, \nu = \frac{1}{2}$ setzt, d. h. wenn die Anzahl n der singulären Punkte vorgegeben ist, indem man neben $\Psi = 0$:

$$K = \frac{4-n}{4}$$

setzt. Also

Wir verstehen unter der allgemeinen La-
meischen Gleichung in Normalform denje-
nigen Fall der allgemeinen Normalform,
der entsteht, wenn φ identisch = 0 ist und
wenn $k = \frac{4-n}{4}$ gesetzt wird.

Man sieht, wie elegant sich bei Benutzung homogener Schreibweise die Formeln darstellen; wir werden daher stets dann die homogene Formulirung vorziehen, wenn es sich um explicite Rechnungen handelt. Aber, wie wir uns vorbehalten haben, je nach der besondern Brauchbarkeit bald die eine, bald die andere Schreibweise zu verwenden, werden wir, wenn wir uns über den allgemeinen Verlauf der Funktionen unterrichten wollen, durchaus die unhomogenen Variablen benutzen, ja wir werden sogar da, wo sich das homogene von selbst einstellt, unhomogen machen: Wir werden nicht nur $\frac{x_1}{x_2} = X$ setzen, sondern auch $\frac{y_1}{y_2} = \eta$ als unabhängige Variable einführen.

Wir werden das Homogene immer her-
anziehen, wenn es sich um definitiv for-
mulirung der Rechnungen handelt, dage-
gen werden wir zur vorläufigen funktio-

rentheoretischen Untersuchung durchaus das Nichthomogene bevorzugen und statt y_1, y_2 den Quotienten $\frac{y_1}{y_2} = \eta$ in die Betrachtung einführen.

Des Nächsten vergleiche man wegen der Einführung des η S. 250 der Wintervorlesung über die hypergeometrische Function.

η genügt einer Differentialgleichung 3. Ordnung, nämlich, wenn

$$y'' + p y' + q y = 0$$

die Differentialgleichung ist, der y_1 und y_2 genügen, der Gleichung

$$\frac{\eta'''}{\eta'} - \frac{3}{2} \left(\frac{\eta''}{\eta'} \right)^2 = [\eta]_x = 2q - \frac{1}{2} p^2 - \frac{dp}{dx} .$$

Haben wir diese Gleichung, die „Differentialresolvente 3. Ordnung“, integriert, so können wir leicht zu den Lösungen y_1, y_2 der linearen Differentialgleichung 2. Ordnung zurückgelangen durch die Formeln:

$$y_1 = \frac{\eta}{\sqrt{\eta'}} \cdot e^{-\frac{1}{2} \int p dx}, \quad y_2 = \frac{1}{\sqrt{\eta'}} \cdot x^{-\frac{1}{2}} \int p dx.$$

(Vergl. Wintervorlesung S. 268.)

Diese Formeln auf unsere ursprünglich geschriebene Differentialgleichung S. 7 angewandt ergibt für η die Gleichung:

$$[\eta]_x = \frac{1}{(x-a) \dots (x-n)} \left\{ \frac{\frac{1}{2} (1-\alpha^2)(\alpha-b) \dots (\alpha-n)}{x-a} \right. \\ \left. + \dots + \frac{\frac{1}{2} (1-\nu^2)(n-a)(\dots)(n-m)}{x-n} + g'_{n+4}(x) \right\},$$

wobei $g'_{n+4}(x)$ ein Polynom $(n+4)$ -ten Grades ist, wie $g_{n+4}(x)$ in der Differentialgleichung 2. Ordnung, allerdings nicht dasselbe Polynom. Natürlich kommen in dieser Differentialgleichung für den Quotienten der beiden Partielllösungen nicht mehr die Exponenten α' , α'' ; u. s. w. selbst vor, sondern nur noch die Exponentendifferenzen $\alpha - \alpha' - \alpha''$, u. s. w. Eben dies ist eine wesentliche Vereinfachung gegenüber der ursprünglichen Gleichung:

Der Vorteug der Differentialresolvente 3. Ord.
des gegenüber der Differentialgleichung 2. Ord.
des ist der, dass bloß die Exponentendifferenzen,
nicht die Exponenten selbst hier auftreten.

Für den Übergang von η zu y_1 und y_2 haben wir hier

$$\ell = \frac{-\frac{1}{2} \int p dx}{(x-a)} \frac{\alpha' + \alpha'' - 1}{(x-b)} \dots \frac{\beta' + \beta'' - 1}{(x-n)} \frac{\nu' + \nu'' - 1}{2}$$

in die Formeln für y_1 , y_2 einzusetzen.

Ich habe die Differentialresolvente 3. Ord. auf für die Normalform von Waelisch berechnet, um Ihnen jedoch dieselbe mittler

len zu können, muss ich erst noch bei einer allgemeinen Eigenschaft des Differentialausdrucks [η], verweilen.

Bekanntlich bleibt $[\eta]_x$ vollständig unverändert, wenn ich für η eine beliebige lineare Funktion $\frac{\alpha\eta + \beta}{\gamma\eta + \delta}$ setze.

Denn wir haben ja $[\eta]_x$ seinerzeit gerade von dieser Forderung aus als einfachste Differentialinvariante gegenüber linearen Substitutionen konstruiert.

Wie aber verhält sich $[\eta]_x$, wenn man nicht auf η , sondern auf x eine lineare Transformation

$$X = \frac{ax + c}{cx + d}$$

anwendet?

Man rechnet aus, dass

$$[\eta]_X = [\eta]_x \cdot \frac{(ad - bc)^2}{(cx + d)^4}$$

wird.

Diese Formel kann wieder in eleganter Weise umgesetzt werden, wenn wir zu homogenen Variablen übergehen, indem wir

$$x = \frac{x_1}{x_2}, \quad X = \frac{x_1}{x_2}$$

und

$$x_1 = ax_1 + bx_2$$

$$x_2 = cx_1 + dx_2$$

setzen. Dann können wir schreiben:

$$\left(\frac{1}{x_2^4} [\eta]_x\right) = \left(\frac{1}{x_2^4} [\eta]_X\right) \cdot (\text{ad. - cc})^2.$$

Der Ausdruck $\frac{1}{x_2^4} [\eta]_x$ zeigt also gegenüber binären linearen homogenen Substitutionen von x_1, x_2 das einfache Verhalten, dass er sich nur mit dem Quadrate der Substitutionsdeterminante multipliziert. D. h.:

Der Ausdruck

$$\frac{1}{x_2^4} [\eta]_x$$

ist nicht nur gegenüber linearen Substitutionen von η invariant, und zwar absolut invariant, sondern er ist auch invariant gegenüber linearen Substitutionen von x .

Setzen wir diesen Ausdruck auf die linke Seite der Differentialgleichung, so dürfen wir daher erwarten, dass auf der rechten Seite linearer Coefficienten der Formen q, φ, γ auftreten.

Die Rechnung habe ich ausgeführt, indem ich Alles in unehomogene Gestalt umschrieb, und indem ich nachträglich wieder homogen machte; das Resultat der Rechnung ist folgendes:

Es bedeute $H(q)$ die Hesse'sche Determini-

nante

$$\mathcal{H}(\varphi) = \varphi_{11} \varphi_{22} - \varphi_{12}^2,$$

welche mit der zweiten Überschiebung von φ über sich selbst $(\varphi, \varphi)_2$ bis auf einen Factor $\frac{1}{2}$ übereinstimmt.

Ferner sei die Functionaldeterminante von φ und ψ mit

$$T(\varphi, \psi) = \varphi_1 \psi_2 - \varphi_2 \psi_1$$

bezeichnet.

Dann heißt die Differentialgleichung 3. Ordnung:

$$\frac{1}{x_2^4} [\eta]_x = \frac{1}{n(n-1)\varphi} \left\{ \frac{2(K-1)(K+n-1) \mathcal{H} + (n-1)(n+2K-2) T - (n-2)\varphi^2}{n(n-1)\varphi} + 2X \right\}.$$

In dem speziellen Fall, wo alle Exponentendifferenzen gleich sind, wo also ψ verschwindet, geht die Gleichung über in

$$\frac{1}{x_2^4} [\eta]_x = \frac{\frac{1}{2}(\alpha^2 - 1) \mathcal{H}}{(n-1)^2 \varphi^2} + \frac{2X}{n(n-1)\varphi}, \quad \text{wobei } \alpha = \frac{n+2K-2}{n}$$

ist, und endlich im Lamé'schen Fall $\alpha = \frac{7}{2}$:

$$\frac{1}{x_2^4} [\eta]_x = -\frac{3}{8} \frac{\mathcal{H}}{(n-1)^2 \varphi^2} + \frac{2X}{n(n-1)\varphi} . -$$

Ihr will jetzt dazu übergehen, zu schildern, welche spezielle Bedeutung die allgemeinen Lamé'schen Gleichungen in der Theorie der

der übrigen linearen Differentialgleichungen zweiter Ordnung besitzt den Ideen zufolge, welche in meiner Vorlesung über Lamé'sche Functionen und in Böcher's Preisschrift entwickelt sind.

Die Lamé-sche Gleichung in Normalform lautet:

$$(\ddot{\pi}, \ddot{\varphi})_2 + \pi^{\frac{k}{n-4}} \cdot X = 0,$$

$$\text{wobei } K = \frac{4-n}{4}$$

ist. Alle Exponentendifferenzen sind $-\frac{1}{2}$.

Dabei ist aber vorausgesetzt, dass die n Wurzeln von $\varphi=0$ sämtlich verschieden sind. Was geschieht nun aber, wenn mehrere Wurzeln zusammenfallen? Da werden wir sehen:

Läßt man in der allgemeinen Lamé-schen Differentialgleichung 2. Ordnung die singulären Punkte beliebig zusammenrücken, so erhält man die allgemeinste lineare Differentialgleichung zweiter Ordnung mit rationalen Coefficienten, und es ist die hier entstehende Auffassung, welche die Lamé-sche Differentialgleichung an die Spitze stellt und aus ihr die weiteren Differentialgleichungen

derivirt durch das Studium der mathematischen Physik, nämlich der Potentialtheorie, notwendig gegeben.

Es entsteht nämlich durch Zusammenrücken zweier Punkte mit den Exponentendifferenzen $\frac{1}{2}$ ein Punkt mit einer beliebigen Exponentendifferenz, und durch Zusammenrücken dreier oder einer noch grässeren Zahl im Allgemeinen ein irregulärer Punkt von um so höherem Character, je mehr Punkte zusammengerückt sind.

[Di. d. 1. Mai 1894.]

Wir wollen dies nur, was reguläre Punkte betrifft, näher prüfen. Wir wollen nämlich die Richtigkeit folgender Behauptung nachweisen:

Wenn zwei singuläre Punkte der Laméschen Gleichung zusammenfallen, so entsteht ein regulärer Punkt von allgemeiner Exponentendifferenz, dessen beide Exponenten einander gleich sind.

Eine Lamé'sche Normalgleichung in nicht homogener Gestalt geschrieben, hat nach p. die Form

$$\mathcal{P}'' + \frac{f'}{2f} \cdot \mathcal{P}' + \frac{h + \frac{1}{n} n(n-4)f''}{n(n-1)} \cdot \frac{\mathcal{P}}{f} = 0.$$

Ist nun $x-a$ ein einfacher Factor von f ,

und denkt man sich sowohl den Coefficien-
ten $\frac{f'}{x-a}$ van f' , wie olen Coefficien-
ten

$$\frac{h + \frac{1}{6}n(n-4)f''}{n(n-1)f'}$$

nach Partialbrüchen zulegt, so lautet der
Coeffient von $\frac{1}{x-a}$ im zweiten Glied $\frac{1}{2}$
und im letzten Glied kommt $\frac{1}{(x-a)^2}$ gar
nicht vor, d.h. es hat den Coefficien-
ten 0. Also ist

$$1 - \alpha' - \alpha'' = \frac{1}{2}, \quad \alpha' \alpha'' = 0,$$

folglich etwa $\alpha' = \frac{1}{2}$, $\alpha'' = 0$, wie es seinsoll.

Unders, wenn $x-a$ ein Doppelfactor von
 f ist, dann ist der Coeffient von $\frac{1}{x-a}$ in
 f' gleich 1, und der Coeffient von
 $\frac{f''}{(x-a)^2}$ im letzten Glied gleich

$$\frac{h(a) + \frac{n(n-4)}{6} \cdot f''(a)}{n(n-1)f''(a)}, \text{ so dass man die}$$

Gleichungen hat

$$1 - \alpha' - \alpha'' = 1,$$

$$\alpha' \alpha'' = \frac{h(a) + \frac{n(n-4)}{6}(a-b)\dots(a-n)}{n(n-1)(a-b)\dots(a-n)} = C.$$

Aus der ersten Gleichung folgt

$$\alpha' + \alpha'' = 0,$$

d.h. die beiden Exponenten sind entgegengesetzt
gleich, in der zweiten Gleichung aber kann die

rechte Seite einen ganz beliebigen Wert haben, sodass also auch α' und α'' ganz beliebiger, nur entgegengesetzte gleicher Werte fähig sind.

Um z. B. von einer allgemeinen Lamé'schen Gleichung zu einer hypergeometrischen Gleichung mit allgemeinen Exponentendifferenzen zu gelangen, nehmen wir $n=6$ und lassen die 6 Wurzeln von $q=0$ paarweise zusammenfallen, nach dem Schema:

#

Wir setzen also

$$\varphi(x_1, x_2) = (x_a)^2 (x_b)^2 (x_c)^2.$$

Da $n=6$ ist, haben wir $K = -\frac{1}{2}$ zu setzen, und bekommen also die Differentialgleichung:

$$(\Pi, \varphi)_2 + (\Pi, X)_0 = 0$$

Die hierdurch definierte Π -Form hat das Schema

$$\Pi \left| \begin{array}{cccc} a & b & c & -\frac{1}{2} \\ +\frac{\alpha}{2} & +\frac{\beta}{2} & +\frac{\gamma}{2} & x_1 x_2 \\ -\frac{\alpha}{2} & -\frac{\beta}{2} & -\frac{\gamma}{2} & \end{array} \right|.$$

Das ist aber gerade eine solche Π -Form, wie ich sie im vorigen Semester als „Normal- Π erster Art“ bezeichnet habe. Also:

Beispielseweise erscheint die Normalform

1. Art der hypergeometrischen Function als Grenzfall einer allgemeinen Lamé'schen Gleichung mit $n=6$.

Was aber die Functionen der mathematischen Physik betrifft, so ist es der Fall von 5 Verzweigungspunkten, aus dem sie sich alle ableiten. Die nähere Ausführung dieser Idee möge man in meiner Vorlesung über Lamé'sche Functionen, oder in Böschers Arbeit nachsehen; *) hier will ich nur die allgemeine Tabelle mitteilen.

1, 5 getrennte singuläre Punkte:

Allgemeine Lamé'sche Gleichung (übrigens Lamé's selbst unbekannt)

Diese Functionen stellen sich ein, wenn man zur Coordinatenbestimmung im Raum ein System von confocalen Cycliden zu Grunde legt.

2.) 3 getrennte, zwei zusammenfallende Punkte.

Functionen der 3-axigen Flächen 2. Grades.
Lamé'sche Functionen im engeren Sinne.

3.) einfacher, zwei doppelte Punkte.

Rotationsflächen 2. Grades. Diese Functionen

*) Die bald noch weiter ausgeführt in Buchform erscheinen soll.

sind bekannt als die „Kugelfunctionen einer Variablen“.

$P_n^r(\cos \vartheta)$ oder X_n (Legendre'sche Polynome).

Man sieht aus dem Schema, dass die Kugelfunctionen hypergeometrische Functionen sind, bei denen aber eine Exponentendifferenz $= \frac{1}{2}$ ist. In der That haben wir auch im vorigen Semester die Kugelfunctionen in dieser Weise definiert.

Kugelfunctionen eines Arguments sind diejenigen speziellen Fälle der hypergeometrischen Function, wo eine Exponentendifferenz $= \frac{1}{2}$ ist.

4.) 2 einfache, ein 3facher Punkt



Functionen des zweidimensionalen Cylinders.

5.) 1 doppelter und 1 dreifacher Punkt:



Functionen des Rotationscylinders - Bessel'sche Functionen.

6.) 1 einfacher und 1 vierfacher Punkt:



Functionen des parabolischen Cylinders.

7.) 1 fünfziger Punkt:



Diese Art kommt nicht zur Verwendung und führt keinen besondern Namen. -

Soviel für jetzt über die Idee, aus der allgemeinen Lamé'schen Gleichung andere durch Grenzübergang entstehen zu lassen.edenfalls scheint sie aus der letzten Übersicht, in der die scheinbar so verschiedenartigen Functionen der mathematischen Physik unter einem gemeinsamen höheren Gesichtspunkt erscheinen, daß die genannte Idee nicht nur eine mathematische Abstraction ist, sondern in der Natur der Sache liegt.

B. Differentialgleichungen mit algebraischen Coefficienten.

Jetzt wollen wir uns, nach Betrachtung der Differentialgleichungen mit rationalen Coefficienten, dazu wenden, die Differentialgleichungen mit algebraischen Coefficienten ins Auge zu fassen. D. h. in der Gleichung

$$y'' + p y' + q y = 0$$

oder $[y]_x = r(x)$

sollen p, q bzw. r nicht mehr rationale, sondern algebraische Functionen von x vorstellen. Es ist das genau die entsprechende Verallgemeinerung des Problems, als wenn man in der Integralrechnung nach Erle-

digung der Integrale von rationalen Functionen zuerst Quadratwurzeln, dann die allgemeinsten algebraischen Functionen als Integranden hineinzieht, und so zu den Abel'schen Integralen gelangt.

Der charakteristische Gedanke für die Behandlung der Differentialgleichungen mit algebraischen Coefficienten ist derselbe, welcher in der Theorie der Abel'schen Integrale seine Ausbildung gefunden hat.

Nämlich sei irgend eine algebraische Function von x , definiert durch eine algebraische Gleichung

$$f(s, x) = 0.$$

Dann werden wir folgendermassen verfahren:

Wir wollen nicht eine einzelne isolirte Differentialgleichung für sich betrachten, sondern alle Gleichungen zusammen, deren Coefficienten sich aus der Irrationalität s und x selbst rational aufbauen.

Jede Gleichung $f(s, x) = 0$ definiert nämlich ein "algebraisches Gebilde", welches alle diejenigen Functionen umfasst, die sich rational aus s und x zusammensetzen lassen. Von einer derartigen Function sagt man dann, sie ge-

höre zu dem algebraischen Gebilde, oder, sie sei auf dem algebraischen Gebilde eindeutig Abel'sche Integrale, mit solchen Funktionen von s und x gebildet, wird man ebenfalls als zu dem algebraischen Gebilde gehörig bezeichnen, und operieren sagen wir von einer Differentialgleichung, deren Coefficienten p und q in x und s rational sind, dass sie zu dem durch die Gleichung $f(s, x)$ definierten algebraischen Gebilde "gehört".

Wir verabreden also, immer diejenigen Differentialgleichungen gleichzeitig zu betrachten, welche zu demselben algebraischen Gebilde gehören.

Wir werden dann den Stoff in ähnlicher Weise anordnen können, wie in der Theorie der Abel'schen Integrale:

Sowie man die Abel'schen Integrale auf einem gegebenen algebraischen Gebilde ein teilt in überall endliche Integrale, welche keine Unendlichkeitspunkte haben, und in solche Integrale, welche $1, 2, 3, \dots$ vorgeahnte Unendlichkeitspunkte haben, so werden wir die linearen Differentialgleichungen auf einem algebraischen Gebilde einzuteilen in solche, welche keine singulären Punkte

auf dem algebraischen Gebilde haben, d. h.
also unverzweigte Differentialgleichungen
und in solche, welche eine gegebene Anzahl
von singulären Stellen von irgend welchem
vorgeschriebenen Character haben.

Nun müssen wir uns natürlich zuerst eine Vorstellung davon machen, was ein eindimensionales algebraisches Gebilde ist, ein solches mit einer unabhängigen Variablen. Hiermit muss ich weiter zurückgreifen als auf die Vorlesung des letzten Semesters, nämlich auf meine beiden Vorlesungen über Riemann'sche Flächen 1891-92.

Wenn wir eine algebraische Gleichung haben:

$$f(s, x) = 0,$$

und wir denken uns x als unabhängige Variable, so gibt es zur Veranschaulichung des Verlaufs von s zwei verschiedene Arten der geometrischen Interpretation.

Einmal kann man sich die sämtlichen reellen und complexen Werte der Variablen x als die Punkte einer Ebene, der „complexen Zahlenebene“ deuten. Indem wir nun darauf unser Augenmerk

richten, dass jedem Werte von x immer eine bestimmte Zahl von Werten der Funktion s entspricht, denken wir uns die x -Ebene mit einer mehrblättrigen Riemann'schen Fläche überdeckt, in der wir die verschiedenen zu einem x gehörigen Werte s an den verschiedenen über der Stelle x der x -Ebene übereinander liegenden Stellen der Riemann'schen Fläche localisirt denken.

Die andere Art der Interpretation berücksichtigt nur die reellen Werte von x , indem man dieselben längs einer Geraden deutet. An Stelle der mehrfach überdeckten x -Ebene tritt dann eine mehrfach überdeckte x -Gerade; was aber die complexen Werte betrifft, so drückt man sich, obwohl sie der Anschauung bei dieser Deutung nicht zugänglich sind, doch ebenso aus, als ob sie reell wären.

Die erste ist die Methode der Functionstheoretiker in engerem Sinne, die zweite die Methode der „Geometer“, obwohl die erstere, welche wirklich jeden Wert geometrisch vorstellt, und jede Beziehung

durch Figuren begleiten kann, gewiss viel mehr den Namen Geometrie verdient, als die zweite, welche von der Geometrie nur die Sprechweise, die Terminologie entlehnt, sobald sie über das Reelle hinausgeht, was doch unmöglich ist. Wir aber werden auch hierin uns vorbehalten, bald diese, bald die andere Methode zu verwenden, da jede ihre eigentümlichen Vorteile hat, und man darum beide kennen muss.

Weiter: Wenn wir auf einem algebraischen Gebilde zu operiren haben, so müssen wir den Gesichtspunkt der eindeutigen Transformation heranziehen: Es seien S und X zwei verschiedene algebraische Functionen auf dem durch

$$f(s, x) = 0$$

gegebenen algebraischen Gebilde, also etwa

$$S = R_1(s, x) \quad X = R_2(s, x).$$

Aus diesen beiden Gleichungen werden wir mit Hülfe der Gleichung $f(s, x) = 0$ und x eliminiren können und erhalten so eine neue algebraische Gleichung:

$$F(S, X) = 0,$$

von der wir sagen, sie entstehe aus der

Gleichung $f(s, x) = 0$ durch eindeutige Transformation. Die Abhängigkeit zwischen S und x können wir nun wieder durch eine mehrblättrige Riemann'sche Fläche oder durch eine mehrfach überdeckte x -Ause deuten. So stellen sich neben die ursprüngliche Riemann'sche Fläche unendlich viele andere, die alle dasselbe algebraische Gebilde vorstellen, nur immer auf eine andere unabhängige Variable bezogen. Man muss sich nun durchaus daran gewöhnen, alle diese verschiedenen Riemann'schen Flächen, welche auseinander durch eindeutige Transformation hervorgehen, als durchaus gleichberechtigt anzusehen:

Alle die verschiedenen Riemann'schen Flächen, die sich ergeben, wenn man auf die ursprüngliche Gleichung $f(s, x) = 0$ beliebige eindeutige Transformationen anwendet, sind Abbilder ein und desselben algebraischen Gebildes, sozusagen nur verschiedene Erscheinungsformen desselben algebraischen Zusammenhangs.

Neben die Interpretation des algebraischen

Gebildes durch eine mehrfach überdeckte x -Axe oder x -Ebene stellt sich eine freiere geometrische Deutung in einem Raum von 2, 3 und mehr Dimensionen [statt auf der eindimensionalen x -Axe].

Es seien x_1, x_2, \dots, x_n die (nichthomogenen) Coordinaten eines Punktes in einem n -dimensionalen Raum. Setzen wir nun $x_1 = R_1(s, x)$, $x_2 = R_2(s, x)$, ..., $x_n = R_n(s, x)$ unter s und x die durch die algebraische Gleichung

$$f(s, x) = 0$$

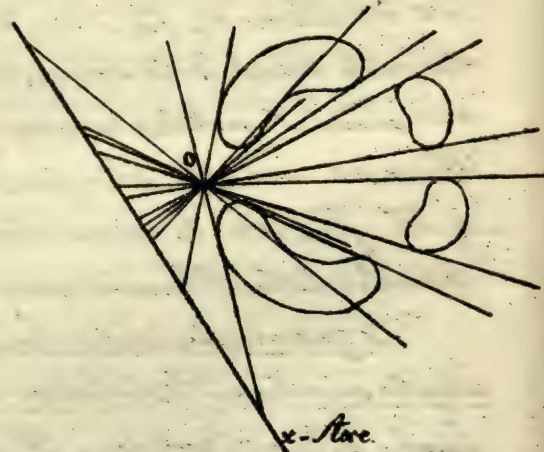
verbundenen Größen verstanden, so stellen x_1, x_2, \dots, x_n , wenn man x und damit auch s als variabel denkt, die Coordinaten eines Punktes einer gewissen algebraischen Curve im n -dimensionalen Raum vor, z. B. für $n=2$ eine Ebene Curve, für $n=3$ eine gewöhnliche Raumcurve.

Als geometrische Erscheinungsform eines algebraischen Gebildes kann nicht nur ein mehrfach überdeckter R_1 , sondern eine beliebige algebraische Curve in einem R_1, R_2, R_3, \dots einem R_n gelten.

Von der Curve in einem höheren Raum

kann man zu einer entsprechenden Curve in einem Raum von geringerer Dimensionzahl durch das Verfahren der Projection gelangen. Hat man z. B. eine Curve im 3dimensionalen Raum, so kann man sie von einem beliebigen Punkte aus auf eine beliebige Ebene projicieren und erhält so eine ebene Curve, welche auf die Raumcurve im Allgemeinen ein - eindeutig bezogen ist.

Oder denken wir uns Beispielweise eine allgemeine ebene Curve vierter Ordnung; wir können dieselbe von irgend einem Punkte O auf eine gerade Linie, die x -Axe, projiciren. Da jeder Projectionstrahl die Curve vierter Ordnung in 4 Punkten trifft, also 4 Punkten der Curve ein und derselbe Punkt der x -Axe entspricht, so haben wir uns die x -Axe vielfach überdeckt zu denken, bezw. wenn wir behufs Deutung auch der complexen Werte von x die x -Axe durch eine x -Ebene ersetzt.



zen, haben wir uns die x -Ebene 4-fach überdeckt zu denken. Die vier Blätter der so resultierenden Riemann'schen Fläche hängen überall da durch einen Verzweigungspunkt zusammen, wo eine der von Γ an die Curve gelegten Tangenten die x -Achse trifft, und zwar entspricht jede einfache Tangente gerade einem einfachen Verzweigungspunkt oder Fläche. Wir wissen nun, aus den Plücker-schen Formeln, dass man an eine allgemeine ebene Curve 4. Ordnung von einem beliebigen Punkte aus immer 12 Tangenten legen kann. Daraus schließen wir sofort, dass die 4-blättrige Riemann'sche Fläche, welche der allgemeinen Curve 4. Ordnung entspricht, 12 Verzweigungspunkte besitzt.

Eine Beispiel für eindeutige Transformation, welche von einer einen Erscheinungsform eines algebraischen Gebildes zu einer andern hinführt, ist die Projection einer Curve aus einem höheren Raum in einen niedrigeren Raum, beispielsweise die Projection einer ebenen Curve 4. Ordnung auf eine vierfach überdeckte Gerade, wobei

12. Verzweigungspunkte auftreten.

Sie sehen, wie hier die projektive Geometrie in höheren Räumen vereinspielt, und dass es sehr unzweckmäßig sein würde, durchaus an der gewöhnlichen Riemann'schen Fläche zu haften. Aber letztere hat wieder vor der Deutung durch eine Curve den Vorzug vorans, alles, auch die Verhältnisse im Complexen, wirklich geometrisch vor Augen zu führen. Womöglich sind daher Beides kennen, und sowohl die gewöhnliche funktionentheoretische, wie die projektiv-geometrische Betrachtungsweise vollständig beherrschen, um im gegebenen Falle uns der zweckmäßigsten Darstellungsweise zu bedienen.

Nach diesen Bemerkungen, über die verschiedenen Darstellungsweisen eines algebraischen Gebildes kehren wir wieder zu unserem engeren Thema zurück, zum Studium der Differentialgleichungen auf einem gegebenen algebraischen Gebilde.

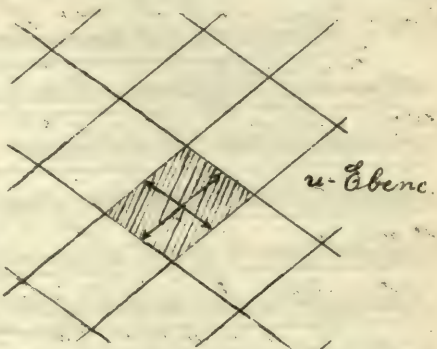
Ein bestimmtes algebraisches Gebilde hat, wie wir suchen, unendlich viele verschiedene Erscheinungsformen, schon bei Deutung in einer Dimension, noch viel mehr, wenn man in

höhere Räume geht. Da gibt es nun zwei - im Grunde allerdings nicht allzu verschiedene - Möglichkeiten, sich von der Unfähigkeit der Erscheinungsform frei zu machen:

Wir werden uns einmal das Prinzip bil-
den, die Differentialgleichungen auf den alge-
braischen Gebilden so zu behandeln, dass
nur solche Elemente hervortreten, die bei
eindeutiger Transformation invariant
sind, also von der besonderen Erscheinungs-
form des algebraischen Gebildes unabän-
gig sind, oder aber das andere Prinzip,
dass wir bei Behandlung der Differential-
gleichungen jeweils diejenige Erscheinungs-
form des algebraischen Gebildes heraus-
suchen, welche für den besonderen Zweck
die einfachste ist.

Ich habe bis jetzt nur von algebraischen Darstellungen eines algebraischen Gebildes gesprochen; oft aber ist es sehr viel einfacher, ein algebraisches Gebilde in transzendentler Form darzustellen. So kann man z. B. im Falle $\wp = 1 - s$ und x , und damit jede algebraische Funktion des Gebildes als eine eindeutige doppelperiodische Funktion,

als elliptische Function einer Hilfsvariablen u darstellen. Wir haben uns die u-Ebene in lauter congruente Parallelogramme geteilt zu denken, von denen dann jedes einzelne für sich vermöge der linearen Abordnung der gegenüberliegenden Kanten, — sie gehen durch bloße Parallelverschiebung einander hervor — ein vollständiges Abbild des ganzen algebraischen Gebildes ist. Es entspricht nämlich jedem durch die Gleichung $f(s, x) = 0$ verhinderten Wertesystem s, x ein und nur ein Punkt eines jeden Parallelogramms, und umgekehrt jedem Punkte eines Parallelogramms ein und nur ein Wertesystem s, x.



Wir werden es daher für zweckmäßig erkennen, auch bei Behandlung der Differentialgleichungen u als unabhängige Variable einzuführen; die Gleichung geht dann in eine ebenfalls lineare homogene Differentialgleichung 2. Ordnung, aber mit eindeutigen doppelperiodischen Funktionen

von μ als Coefficienten über; unter dieser Überschrift findet man denn auch die Differentialgleichungen auf algebraischen Gebilden $p = 1$ in den Lehrbüchern. Also:

Unter Umständen sind auch transzendentale Darstellungen der algebraischen Gebilde sehr nützlich. Wenn z. B. das Geschlecht eines algebraischen Gebildes = 1 ist, so wird es vortheilhaft sein, s und x als doppelt-periodische Functionen einer Hilfsgrösse μ darzustellen, worauf sich die Differentialgleichung, die wir untersuchen wollen, in eine Differentialgleichung mit doppelperiodischen Coefficienten verwandelt.

Wir fragen uns, ob es ähnliche einfache transzendentale Darstellungen eines algebraischen Gebildes auch im Falle eines höheren Geschlechtes gibt, ob sich etwa auch für $p > 1$ s und x als eindeutige Functionen einer Hilfsgrösse darstellen lassen? Es zeigt sich, dass dies in der That möglich ist, und zwar mit Hilfe der „automorphen Functionen“. Aber einerseits ist die Theorie der automorphen Functionen noch lange nicht so ausgebildet, dass wir

thatsächlich durch das postulierte Verfahren eine Vereinfachung in den Rechnungen erzielen würden; andererseits wollen wir ja gerade erst von den Differentialgleichungen aus zur Theorie der automorphen Funktionen vordringen; werden doch die automorphen Funktionen gewöhnlich geradezu durch Differentialgleichungen auf einem algebraischen Gebilde erst definiert.

Wir sagen:

Etwas analoges, wie die Darstellung der algebraischen Gebilde vom Geschlechte 1 durch doppeltperiodische Funktionen einer Hilfsgröße u , ist bei höherem p die Darstellung von s und x durch automorphe Funktionen einer Hilfsgröße u . Doch werden wir von dieser Darstellung hier in dieser Vorlesung keinen Gebrauch machen, weil die Theorie der automorphen Funktionen noch nicht entwickelt genug ist, und weil wir andererseits die Theorie der automorphen Funktionen für ein späteres Semester gerade dadurch zugänglich machen wollen, dass wir hier die Differentialglei-

dungen mit algebraischen Coefficienten studieren.

Nach diesen allgemeinen Erörterungen wollen wir an concrete Aufgaben herangehen, indem wir nacheinander die Fälle $p=0$, $p=1$, $p>1$ behandeln.

Geschlecht $p=0$.

Wenn das Geschlecht $p=0$ ist, so läßt sich in der algebraischen Relation

$$f(s, x) = 0$$

s und x beides rational durch eine gewisse dritte ebenfalls zum Gebilde gehörige Function ξ darstellen:

$$s = r_1(\xi), \quad x = r_2(\xi).$$

Die Hülfsgrösse u ist also bei $p=0$ eine algebraische Function ξ des Gebildes selbst, wir nennen sie die „Hauptfunction“ auf dem Gebilde. Wählen wir diese als unabhängige Variable, so werden die Coefficienten der Differentialgleichung rationale Functionen von ξ .

Ist bei der Gleichung $f(s, x) = 0$ das Geschlecht $p=0$, so kann man statt s, x eine andere algebraische Function des Gebildes

die sogenannte „Hauptfunktion“ ξ , als unabhängige Variable einführen, in welcher
sind x beider rational sind, und wir
haben dann wieder Differentialgleichun
gen mit rationalen Coefficienten zu studie
ren und fallen dadurch auf den Gegen
stand der vorigen Stunden zurück.

Elliptische Gebilde.

Es sei nun $p=1$. Da pflegt man gewöhnlich eine bestimmte Normalform der algebraischen Gleichung zu Grunde zu legen, nämlich die Gleichung

$$s^2 = f_4(x),$$

worin $f_4(x)$ ein Polynom vierten Grades versteht. Wir haben so eine zweifach überdeckte x -Achse, bezw. x -Ebene mit 4 Verzweigungspunkten. Neben diese Darstellung tritt die Darstellung durch elliptische Functionen einer Hilfsgröße u , welche durch das „Integral 1. Gattung“

$$u = \int \frac{dx}{s}$$

definiert ist.

In s, x hat die Differentialgleichung 3. Ordnung - um von dieser zuerst zu

sprechen und erst nachher zur linearen Differentialgleichung aufzusteigen - die Gestalt:

$$[\eta]_x = R(s, x)$$

worin R eine rationale Function bedeutet.

Um nun zu der andern Darstellung durch das Integral 1. Gattung, überzugehen, benutzen wir folgende durch einfache Rechnung zu beweisende Formel für die Transformation unseres Differentialparameters bei Einführung einer neuen Variablen:

$$[\eta]_x = [u]_x + [\eta]_u \cdot \left(\frac{du}{dx} \right)^2$$

Setzen wir in diese Formel, welche allgemein für ganz beliebige Functionen u von x gilt, den Ausdruck

$$\frac{du}{dx} = \frac{1}{\sqrt{f(x)}}$$

ein, so bekommen wir

$$[\eta]_u = f \cdot [\eta]_x + \frac{4ff'' - 3f'^2}{8f} = f \cdot R(s, x) + \frac{4ff'' - 3f'^2}{8f} \cdot P(s, x).$$

Hierin ist $P(s, x)$ offenbar wieder eine rationale Function von s und x . Nun wissen wir aber, dass jede rationale Function von s, x eine eindeutige doppeltperiodische Function

tion $F(u)$ ist, wie auch umgekehrt jede eindeutige doppeltperiodische Function $F(u)$ ohne wesentlich singuläre Punkte eine rationale Function von s, x ist. Wir haben also den Satz:

Bei Zugrundelegung des u als unabhängige Variable werden wir uns mit Differentialgleichungen

$$[n] u = F(u)$$

zu beschäftigen haben, deren rechte Seite $F(u)$ eine eindeutige doppeltperiodische Function von u ist, welche nur ausserwesentlich singuläre Punkte besitzt.

[o. d. y. Mai 1894]. Ich will heute noch als Nachtrag zur letzten Stunde die algebraische Form der Differentialgleichung 3. Ordnung, mit der Variablen x , damit sie das einfache Bildungsgesetz derselben erkennen, in homogener Gestalt hinschreiben. Statt der Function f , welche die Verzweigungspunkte der algebraischen Function s auf der zweiblättrigen Fläche x bestimmt, will ich die Form vierten Grades

$$x_2^4 \cdot f\left(\frac{x_1}{x_2}\right) = \varphi(x_1, x_2)$$

einführen. Bedeutet dann \mathcal{H} die Hesse'sche Determinante:

$$\mathcal{H} = q_{11}q_{22} - q_{12}^2,$$

so schreibt man die Differentialgleichung folgendermassen:

$$\frac{1}{x^2} [\eta]_x = -\frac{1}{24} \cdot \frac{\mathcal{H}}{q^2} + [\eta]_u \frac{1}{q} = -\frac{1}{24} \cdot \frac{\mathcal{H}}{q^2} + \frac{P(u, x)}{q}.$$

Wir kehren nun wieder zur Differentialgleichung mit der transzendenten Variablen u zurück.

$$\text{Ihr } L[\eta]u = F(u)$$

ist die Gestalt der doppelperiodischen Funktion $F(u)$ näher zu bestimmen.

Jeder Verzweigungsstelle der Differentialgleichung auf dem algebraischen Gebilde mit der Exponentendifferenz α entspricht in der u -Ebene in jedem Parallelogramm eine bestimmte Stelle a , an welcher $F(u)$ zweifach unendlich wird, und zwar wie

$$\frac{\frac{1-\alpha^2}{2}}{(u-a)^2} + \frac{\alpha}{u-a} + \dots$$

Entsprechend für alle n singulären Punkte der Differentialgleichung. Wie sieht eine doppelperiodische Funktion aus, welche an n gegebenen Stellen jedes Periodensparallelo-

gramms in solcher Weise unendlich wird?

Zunächst will ich einen besonders einfachen Fall vorweg nehmen, der sich hier bei $p=1$ zum ersten Male einstellt, und auch bei höherem p immer wiederkehren wird, während ihm sein Analogon für $p=0$ fehlt; es ist der Fall einer Differentialgleichung ohne singuläre Punkte auf dem algebraischen Gebilde, auf den ich schon in der vorigen Stunde aufmerksam gemacht habe.

Hier bei $p=1$ zum ersten Male gibt es eine Differentialgleichung ohne singuläre Punkte.

Dieselbe lautet einfach

$$[y]_u = C,$$

unter C eine Constante verstanden.

Hierzu könnte man sagen, dies sei ja überhaupt eine Differentialgleichung mit rationalem Coefficienten in u , und wir hätten somit eine unverzweigte Differentialgleichung mit rationalen Coefficienten. Aber in der u -Ebene betrachtet ist der Punkt $u=\infty$ ein singulärer Punkt, und zwar ein irregulärer Punkt.

In der u -Ebene betrachtet ist also die vor-

liegende Differentialgleichung durchaus nicht ohne singuläre Punkte. Zum Glück kommt für das algebraische Gebilde, auf dem wir ja eigentlich die Differentialgleichung studieren, dieser Punkt $u = \infty$ gar nicht in Betracht, da schon jedes einzelne Parallelogramm für sich ein vollständiges Abbild des ganzen algebraischen Gebildes ist, und u dem Unendlich-fernen, der Häufungsstelle aller dieser Bilder, nur zustrebt, wenn man auf der Riemann'schen Fläche unendlich viele Umläufe macht, ohne dasselbe jemals erreichen zu können.

Die Differentialgleichung

$$L^{\eta} u = c$$

hat in der u -Ebene allerdings den unendlich weiten Punkt zum singulären Punkt und so gar zum irregulären singulären Punkt, aber es überträgt sich das nicht auf das algebraische Gebilde $p=1$, weil der unendlich-ferne Punkt hier nur als Häufungsstelle der Periodenparallelogramme gilt und überhaupt keinem bestimmten Punkt auf dem algebraischen Gebilde entspricht.

Im Übrigen ist die Gleichung $L^{\eta} u = c$ leicht zu integrieren. Wir gehen zur Differenz,

tialgleichung 2. Ordnung zurück. Hat letztere die allgemeine Gestalt

$$y'' + p y' + q y = 0,$$

so lautet die Differentialresolvente 3. Ordnung:

$$[y] = 2q - \frac{1}{2} p^2 - \frac{dp}{dx};$$

setze ich speziell $p = 0$, so sieht man, daß die beiden Gleichungen:

$$y'' + q y = 0 \quad \text{und} \quad [y] = 2q$$

einander entsprechen.

Identificire ich $[y] = C$ mit $[y] = 2q$, so lautet also die zugehörige lineare Differentialgleichung

$$y'' + \frac{8}{2} y = 0.$$

Dies ist nun eine gewöhnliche lineare Differentialgleichung mit constanten Coeffici- enten, welche auf bekanntem Wege die bei- den Particularlösungen ergibt:

$$+ \sqrt{-\frac{8}{2}} \cdot u \quad - \sqrt{-\frac{8}{2}} \cdot u$$

$$y_1 = e^{+\sqrt{-\frac{8}{2}} \cdot u}, \quad y_2 = e^{-\sqrt{-\frac{8}{2}} \cdot u}$$

Hieraus folgt

$$\eta = \frac{y_1}{y_2} = e^{\sqrt{-2}C \cdot u},$$

wofür ich schreibe

$$\eta = e^{k \cdot u}.$$

Also haben wir das Resultat:

Diejenige Function, welche auf dem algebraischen Gebilde $p=1$ durch die unverzweigte Differentialgleichung definiert ist, ist die wohlbekannte Exponentialfunction e^{ku} .

Die unverzweigte Differentialgleichung enthält, wie man sieht, eine Constante, nämlich C .

Es seien nun n singuläre Stellen gegeben, welche in einem bestimmten Periodenparallelogramm der u -Ebene die Stellen α, β, \dots, n entsprechen mögen. Dann soll $F(u)$ an diesen Stellen je zweifach unendlich werden, und zwar so, dass die Coefficienten der unendlich werdenden Glieder 2. Ordnung $\frac{1-\alpha^2}{2}, \frac{1-\beta^2}{2}, \dots, \frac{1-n^2}{2}$, die Coefficienten der Glieder erster Ordnung α, β, \dots, N sind. Nun wird die Weierstraß'sche doppeltperiodische Function $\wp(u)$ an der Stelle $u=0$ gerade zweifach unendlich und zwar mit dem Coefficienten 1 im Glied zweiter Ordnung, während das Glied erster Ordnung fehlt. Durch Subtraction einer geeigneten Summe solcher \wp -Functionen kann man also gerade die Glieder zweiter Ordnung neutralisieren. Um die Glieder erster Ordnung

aufzuhoben, wendet man die Function

$$\frac{G'}{G}(u) = - \int g(u) du$$

an, welche an der Stelle $u=0$ nur einfach unendlich wird, aber nicht mehr doppeltperiodisch im gewöhnlichen Sinne ist, sondern bei Vermehrung des Arguments um die Perioden w_1, w_2 (in Weierstraß' Bezeichnung $2w, 2w'$) sich um $\eta_1, \eta_2 (2\eta, 2\eta')$ vermehrt.

Setzen wir daher

$$\begin{aligned} F(u) &= \frac{1-\alpha^2}{2} g(u-a) + \frac{1-\beta^2}{2} g(u-b) + \\ &\dots + \frac{1-\gamma^2}{2} g(u-n) + \alpha \cdot \frac{G'}{G}(u-a) + \\ &B \cdot \frac{G'}{G}(u-b) + \dots + N \cdot \frac{G'}{G}(u-n) \\ &\quad + ku + k', \end{aligned}$$

so müssen wir noch die $\alpha, B, \dots, N, k, k'$ solchen Bedingungen unterwerfen, dass $F(u)$ bei Vermehrung des Arguments um die Perioden w_1, w_2 ungeändert bleibt. Der allgemeine Ausdruck würde aber die Perioden haben:

$$(\alpha + B + \dots + N) \eta_1 + k w_1,$$

$$(\alpha + B + \dots + N) \eta_2 + k w_2.$$

Beide Ausdrücke sollen verschwinden, was zwei homogene lineare Gleichungen ergibt. Da die Determinante

$$\eta_1 w_2 - \eta_2 w_1 = \pm 2\pi i;$$

(\pm , je nachdem die Periode w_2 links oder rechts von w_1 liegt) also gewiss von 0 verschieden ist, so muss sowohl

$A + B + \dots + N = 0$ wie $k = 0$ sein, und man erhält also für $F(u)$ als allgemeinsten Ausdruck den folgenden:

$$F(u) = \frac{1-\alpha^2}{2} \cdot g(u-a) + \frac{1-\beta^2}{2} g(u-b) + \dots + \frac{1-\gamma^2}{2} g(u-n) + k' \\ + A \frac{\phi'}{\phi}(u-a) + B \frac{\phi'}{\phi}(u-b) + \dots + N \frac{\phi'}{\phi}(u-n)$$

mit der Bedingung

$$A + B + \dots + N = 0.$$

Die Anzahl der willkürlichen Constanten hierin ist leicht abzuzählen:

- | | |
|---|---------------|
| 1. n singuläre Punkte a, b, \dots, n | n Parameter |
| 2. n Exponentendifferenzen $\alpha, \beta, \dots, \gamma$ | n " |
| 3. n Coefficienten A, B, \dots, N mit einer Bedingungsgleichung | $n-1$ " |
| 4. eine additive Constante k' | 1 " |
- $$g_a = \frac{1}{3n} \quad \text{--}$$

Diese Zahl gilt aber nur für $n > 0$, da für $n=0$ keine Bedingungsgleichung auftreten kann; darum habe ich den Fall $n=0$ vorweg genommen.

Während wir bei $n=0$ eine Constante in der Differentialgleichung hatten, gibt es für $n > 0$

3 n Constanten.

Fragen wir weiter, wie viele von diesen $3n$ Constanten wesentlich sind, so ist folgendes zu bedenken. Im Falle $p=0$ konnten wir das algebraische Gebilde, für welches ja die schlichte x -Ebene ein Abbild war, auf ∞^3 verschiedene Weisen linear d. h. eindeutig in sich transformieren, und also etwa 3^n der singulären Punkte an vorgegebene Stellen, z. B. nach $0, \infty, 1$ legen.

Unsere in Parallelogramme eingeteilte u -Ebene aber können wir nur auf ∞^1 Weisen (mit einem complexen, also 2 reellen Parametern) so eindeutig transformieren, dass die Periodicität dieselbe bleibt, nämlich nur durch Parallelverschiebung um eine willkürliche Strecke mit willkürlicher Richtung. Wir können dadurch einen, aber nur einen Punkt der Ebene in einen beliebigen andern Punkt überführen, wir können z. B. einen der singulären Punkte nach u -ole gen. Dadurch können wir die Zahl der Constanten um 1 erniedrigen. Also:

Howie eine schlichte Ebene und also ein algebraisches Gebilde $p=0$ durch ∞^3 eine

deutige Transformationen in sich selbst über geht, so geht ein algebraisches Gebilde vom Geschlechte $p=1$ durch ∞ eindeutige Transformationen in sich über, entsprechend der Formel

$$u' = u + \text{const.}$$

Hierdurch sind wir in der Lage, von den $3n$ Constanten unserer Differentialgleichung für $n > 0$ eine zu zerstören, beispielsweise den singulären Punkt a in den 0 -Punkten der u -Ebene zu legen, was wir dadurch ausdrücken, dass wir sagen, die Differentialgleichung enthalte $3n - 1$ wesentliche Constanten.

Wir können die eindeutige Transformation des algebraischen Gebildes in sich, welche in transzendenter Form durch die Gleichung

$$u' = u + c$$

gegeben ist, übrigens auch in rein algebraischer Form ausdrücken, indem wir nach dem bekannten Additionstheorem

$$x = p(u+c), \quad s = -p'(u+c)$$

rational durch

$$x = psu \quad s = -p'u$$

ausdrücken. —

Als weitere Frage bietet sich uns nun die,

wie man η in Formen Π_1 und Π_2 zu spalten hat? Wie in allgemeinster, und wie in einfachster Weise?

Die Frage, wie man nun η in Nähler und Nenner Π_1 und Π_2 , in zweckmässiger Weise spalten kann, wollen wir hier nicht ausführen, weil es zu weit in die Theorie der elliptischen Funktionen hineinführen würde.

Nur eine specielle Spaltung will ich hier angeben, dieselbe, die wir eben im Falle der unverzweigten Differentialgleichung betrachteten: Im Allgemeinen wird man, unter p irgend eine zu der Parallelogrammeinteilung gehörige elliptische Function verstanden, behufs Übergang zur linearen Differentialgleichung

$$y_1 = \frac{\eta}{\sqrt{\frac{du}{du}}} \cdot e^{-\frac{1}{2} \int p du}$$

$$y_2 = \frac{1}{\sqrt{\frac{du}{du}}} \cdot e^{-\frac{1}{2} \int p du}$$

setzen. Nehmen wir hier speciell $p=0$, also

$$y_1 = \frac{\eta}{\sqrt{\frac{du}{du}}} \cdot y_2 = \frac{1}{\sqrt{\frac{du}{du}}} \cdot$$

so lautet die zugehörige lineare Differential-

gleichung

$$\frac{d^2y}{du^2} + \frac{F(u)}{2} \cdot y = 0.$$

Die singulären Punkte dieser Differentialgleichung auf dem algebraischen Gebilde sind diejenigen, welche den Unendlichkeitstellen $u = a, b, \dots, n$ von $F(u)$ entsprechen. Da der Coefficient von y' fehlt, so muss (nach S. 12) die Summe der Exponenten an jeder solchen Stelle = 1, also die Exponenten selbst $= \frac{1+\alpha}{2}, \frac{1+\beta}{2}, \dots, \frac{1+\nu}{2}$ sein.

Wir haben also eine solche Differentialgleichung vor uns, wie ich sie auf S. 12 als normierte Differentialgleichung bezeichnete. Damals mussten wir aber als Mangel jener normierten Differentialgleichung bemerken, dass im Unendlichen durch die Normierung sich eine überflüssige singuläre Stelle einstellte. Das kommt aber hier, wie wir schon soeben beim Beispiel der unverzweigten Differentialgleichung hervorhoben, nicht in Betracht.

Wir haben also den Satz:

Die lineare Differentialgleichung $\frac{dy^2}{du^2} + \frac{F(u)}{2} y = 0$ hat auf dem algebraischen Gebilde n und nur n singuläre Punkte, welche regulär sind und die Exponenten $\frac{1+\alpha}{2}, \frac{1+\beta}{2}, \dots, \frac{1+\nu}{2}$

Cesitzen.

Wir kehren nun zu der Differentialgleichung 3. Ordnung zurück, und zwar mit x als unabhängiger Variablen.

Dieselbe lautete (vergl. S. 159)

$$[\eta]_x = \frac{3f'^2 - 4ff''}{8f^2} + \frac{F(u)}{f},$$

oder homogen geschrieben:

$$\frac{1}{x_2^4} [\eta]_x = -\frac{f''}{24f^2} + \frac{F(u)}{f}$$

wobei

$$f = (x-a')(x-b')(x-c')(x-d')$$

und

$$g(x_1, x_2) = x_2^4 \cdot f(x)$$

ist, und für $F(u)$ sein rationaler Ausdruck durch $s = \sqrt{f}$ und x eingesetzt zu denken ist.

Wir fragen nun nach dem Bildungsgesetz der rechten Seite der vorstehenden Gleichung, und wie man dieselbe als algebraische Function der zweiblättrigen Fläche charakterisieren kann, ohne durch u hindurch zu gehen?

Zunächst wollen wir noch eine die Allgemeinheit nur unwesentlich beeinträchtigende, aber die Untersuchung sehr erleichternde Voraussetzung machen: Wir denken uns in dem

Periodenparallelogramm, dem Abbild des algebraischen Gebildes erstens diejenigen 4 Stellen markirt, welche den 4 Verzweigungspunkten der über der x -Ebene liegenden zweiblättrigen Riemann'schen Fläche entsprechen, dann die zwei Punkte, welche den beiden unendlich fernen Stellen der Riemann'schen Fläche entsprechen; endlich seien a, b, \dots, n die singulären Stellen der Differentialgleichung. Dann setzen wir voraus — was durch eine passende eindeutige Transformation des Gebildes immer erreicht werden kann, dass alle diese dreierlei Stellen voneinander verschieden seien, also:

Bei der Untersuchung der rechten Seite unserer Differentialgleichung wollen wir die vereinfachende Voraussetzung machen, dass keiner der Verzweigungspunkte der Fläche im Unendlichen liegt, und keiner der singulären Punkte von $F(u)$ in einen Verzweigungspunkt der zweiblättrigen Fläche oder in einen der beiden Punkte $x = \infty$ hineinfällt.

"Wir haben nun das Verhalten von $L_1 x$ an diesen dreierlei Stellen des algebraischen

Gebildes zu charakterisiren.

1. An einer singulären Stelle a, b, \dots, n , wo sich ja die Fläche schlicht verhalten soll, ergibt die analoge Überlegung wie bei der schlichten x -Ebene der Differentialgleichungen mit rationalen Coefficienten folgendes Verhalten:

In einem eigentlichen singulären Punkt der Differentialgleichung, der nicht in einen Verzweigungspunkt oder nach $x = \infty$ fällt, haben wir für $[y]_x$ eine Reihenentwicklung genau von der bekannten Art:

$$[y]_x = \frac{\frac{1-\alpha^2}{2}}{(x-a)^2} + \frac{1}{x-a} + \mathcal{P}(x-a).$$

2. An den beiden Stellen $x = \infty$ zeigt sich wie der, wie bei $\rho = 0$:

Bei $x = \infty$ verschwindet $[y]_x$ je vierfach.

3. Als neues Element gegenüber den rationalen Fällen stellen sich jetzt die Verzweigungspunkte der Fläche ein. Wie verhält sich $[y]_x$ an einem solchen?

In der Nähe eines Verzweigungspunktes wird bekanntlich das Verhalten einer Function des algebraischen Gebildes statt durch eine nach Potenzen von $x - a'$ fortschreitende durch eine

nach Potenzen von $(x-a')^{\frac{1}{2}}$ fortschreitende Entwicklung gegeben. $F(u)$, welches in a' nicht singulär ist, ist daher einfach durch eine $\mathcal{P}((x-a')^{\frac{1}{2}})$ gegeben. Ebenso soll seine Entwicklung haben

$$\eta = A_0 + A_1(x-a')^{\frac{1}{2}} + A_2(x-a')^{\frac{3}{2}} + A_3(x-a')^{\frac{5}{2}} + \dots$$

Hieraus leitet man für $[U]_x$ folgendes Verhalten ab:

$$[U]_x = \frac{\frac{1}{2}}{(x-a')^2} + * + \frac{A'}{x-a'} + \frac{B}{(x-a')^{\frac{1}{2}}} + \mathcal{P}((x-a')^{\frac{1}{2}}).$$

Also:

Die Reihenentwicklung von $[U]_x$ im Verzweigungspunkte $x=a'$ beginnt mit dem Gliede $\frac{\frac{1}{2}}{(x-a')^2}$, und es folgt dann gleich ein Glied $\frac{A'}{(x-a')}$,
als wenn man nicht einen Verzweigungspunkt der Riemann'schen Fläche, sondern einen singulären Punkt der schlichten Ebene mit der Exponentendifferenz $\frac{1}{2}$ vor sich hätte.

Dass wir es aber wirklich mit einem Verzweigungspunkte der Fläche zu tun haben, zeigen die folgenden Glieder, welche gebrochene Exponenten haben. Da an einem Verzweigungspunkt überhaupt $(x-a')^{\frac{1}{2}}$ an die Stelle von $x-a'$ tritt, indem es sich gerade reproduziert, wenn man die volle (zweiblättrige) Umgebung des Verzweigungspunktes umkreist, so hat man seit Riemann folgende Verabre-

dung getroffen:

Man misst das Unendlich werden einer Funktion in einem Verzweigungspunkte a' , wo 2 Blätter zusammenhängen, in der Weise, daß man sagt $\frac{1}{(x-a')^{\frac{1}{2}}}$ werde einfach unendlich. $L\eta_x$ wird also in a' vierfach unendlich, doch so, daß das dreifach unendlich werdende Glied der Entwicklung verschwindet.

Wir fassen jetzt das Verhalten in den drei erlei Punkten in folgenden Satz zusammen:

In jedem eigentlichen singulären Punkt der Differentialgleichung wird $L\eta_x$ auf der Riemann'schen Fläche doppelt unendlich.
Bei $x = \infty$ verschwindet es vierfach und
in den Verzweigungspunkten der Fläche
wird $L\eta_x$ vierfach unendlich, doch so,
dass nur die Glieder zweiter und erster
Ordnung ($\frac{1}{x-a}$ und $\frac{1}{(x-a')^{\frac{1}{2}}}$) willkürlich Coef-
ficienten behalten.

Fach behauptet nur:

Durch diese Angaben ist $L\eta_x$ vollkommen
definiert.

Um dies zu zeigen, muß ich eine Constantenabzählung auf dem algebraischen Gebilde anstellen und zeigen, daß vermöge des cha-

charakterisierten Verhaltens an den einzelnen Punkten [η_i]x genannten so viele Constanten enthält, als die gestrige Abzählung in der u-Ebene ergeben hat.

Eine solche Constantenabzählung einer algebraischen Function würde uns, wenn ich sie ausführlich ableiten wollte, in eine umständliche Theorie, die sich um den Riemann-Roch'schen Satz gruppirt, hineinführen, wo zu ich hier keine Zeit habe; ich will nur das Resultat dieser Theorie angeben, ohne Rücksicht auf etwaige Ausnahmefälle — die übrigens bei $p=1$ von selbst ausbleiben. Ich sage zunächst: Eine algebraische Function eines gegebenen Gebildes vom Geschlechte p, welche an N vorgegebenen Stellen je einfach unendlich werden darf, enthält noch $N-p+1$ willkürliche Constanten.

In unserem Falle liegen n zweifache co-Stellen bei a, b, ... n und 4 vierfache co-Stellen bei a', b', c', d'. Die erstenen zählen jede als zwei einfache, zusammen also als 2n einfache Unendlichkeitsstellen. An den Stellen a', b', c', d' sind nur die Coefficienten der Glieder erster und zweiter Ordnung

willkürlich. Für die Constantenabzählung zählen sie also nur als zweifache ∞ -Stellen, so dass wir schliesslich

$$N = 2n + 8$$

haben. p ist = 1, also $N - p + 1 = 2n + 8$. Aber jetzt haben wir noch zu berücksichtigen, dass an jeder der beiden Stellen $x = \infty$ vierfaches Verschwinden eintreten soll, was 8 Bedingungsgleichungen für die $2n + 8$ Constanten ergibt, so dass noch $2n$ Constanten willkürlich bleiben. Dabei haben wir aber die singulären Punkte $a, b, \dots n$ als vorgegeben betrachtet; betrachten wir auch diese als willkürlich, so kommen n weitere Constanten hinzu, so dass wir also tatsächlich $3n$ willkürliche Constanten finden, genau wie mit Hülfe von u .

Aus dieser Abzählung der Constanten geht hervor, dass der Ausdruck $[y]_x$ durch die drei angegebenen Eigenschaften vollkommen definiert ist.

Nun werden wir fragen, wie heisst die Differentialgleichung zweiter Ordnung

$$\frac{d^2y}{du^2} + \frac{f(u)}{2} \cdot y = 0,$$

in x ausgedrückt, oder homogen in x_1, x_2 ?

Wir setzen

$$\frac{du}{dx} = \frac{1}{Vf}, \text{ also } y_1 = \eta \sqrt{\frac{dx}{dyVf}}, y_2 = \sqrt{\frac{dx}{dyVf}},$$

und erhalten durch direkte Umrechnung:

$$f' \frac{d^2y}{dx^2} + \frac{1}{2} f' \cdot \frac{dy}{dx} + \frac{F(u)}{2} \cdot y = 0.$$

Betrachten wir die Punkte a', b', c', d' , so wird daselbst in der x -Ebene betrachtet der Coefficient von y' (nach Division durch den Coefficien-ten des ersten Gliedes) einfach unendlich mit dem Coefficienten $\frac{1}{2}$, und im Coefficienten von y kommt kein zweifach unendlich werdendes Glied vor, so dass sich in der x -Ebene betrachtet die Coefficien-ten 0 und $\frac{1}{2}$ ergeben würden. Aber die Entwicklung von $F(u)$ an der Stelle $x = a'$ enthält im allge-meinen auch Glieder mit Exponenten $\frac{1}{2}, \frac{3}{2}$ u.s.w. sodass derartige Glieder auch in die Entwicklung von y_1, y_2 hineinkommen. Wir müssen daher das Verhalten von y_1, y_2 an der Stelle a' im Riemann'schen Lime auf der Riemann'schen Fläche messen, und haben dann die Exponen-ten 0 und 1, wie in jedem sonstigen nicht-singulären Punkt der Differentialgleichung.

In den Punkten $a, b, \dots n$ ergeben sich

die Exponenten $\frac{1+\alpha}{2}, \frac{1+\beta}{2}, \dots \frac{1+\gamma}{2}$, da im Coefficienten von y' kein bei $x=a, b, \dots n$ unendlich werdendes Glied vorkommt. $x=\infty$ ist kein singulärer Punkt, da $\frac{f(u)}{u^2}$ daselbst nicht unendlich ist, also der Coefficient $\frac{f(u)}{u^2}$ von y vierfach verschwindet. Durch diese Bestimmungen ist das Verhalten der Differentialgleichung vollständig angegeben:

Wir können obige Differentialgleichung durch ihr Verhalten in den Verzweigungspunkten der Fläche und in den eigentlichen singulären Punkten des Gebildes charakterisieren, wobei wir ausdrücklich bemerken, dass $x=\infty$ kein singulärer Punkt ist.

Wir wollen nun die betrachtete lineare Differentialgleichung noch homogen machen, indem wir

$$x = \frac{x_1}{x_2}, \quad f(x) = \frac{\varphi(x_1, x_2)}{x_2^4}$$

setzen. Die Function y will ich rein formell als eine Form 6ten Grades von x_1, x_2 anfassen, schreibe also

$$y(x) = \Pi_0(x_1, x_2).$$

Berechne ich nun die zweite Überschiebung von Π über φ , so ergibt sich

$$(\Pi, \varphi)_2 = 12(f'y'' + \frac{1}{2}f'y'),$$

wodurch sich unsere Differentialgleichung in der Gestalt schreibt:

$$(\Pi, \varphi)_2 + 6F(yu). \Pi = 0.$$

Unsere Differentialgleichung zweiter Ord-
nung lässt sich in vorstehende elegante
Form setzen, und es ist an dieser Form bemer-
kenswert, dass die wirklichen singulären
Punkte, welche die Differentialgleichung auf dem
algebraischen Gebilde hat, alle in das zweite Glied
als Unendlichkeitsstellen von $F(yu)$ hineinge-
schoben sind, während die Verzweigungs-
Punkte der Riemann'schen Fläche, die nur
uneigentliche singuläre Punkte sind, aus-
schließlich in dem ersten Gliede $(\Pi, \varphi)_2$ ent-
halten sind.

Gleichzeitig haben wir

$$\Pi_1 = \eta \sqrt{\frac{dw}{d\eta}}, \quad \Pi_2 = \sqrt{\frac{dw}{d\eta}},$$

wo

$$dw = \frac{(x dx)}{\sqrt{\varphi}}$$

das zur Fläche gehörige überall endliche
Differential ist.

Die hiermit für $p=1$ gegebenen Entwickelun-
gen werden sich nun bei geeignetem Ansatz

ohne wesentliche Änderung auf die höheren algebraischen Gebilde übertragen lassen.

Hyperelliptische Gebilde.

Do. d. 10. Mai 1894.] Heute wollen wir die analogen Betrachtungen für den Fall eines hyperelliptischen Gebildes durchführen. Man pflegt ein solches in seiner Normalform durch eine Gleichung

$$s = \sqrt{f_{2p+2}(x)}$$

zu definieren, worin $f_{2p+2}(x)$ ein Polynom $(2p+2)$ -ten Grades ohne Doppelwurzeln bedeutet, d. h. man legt eine zweiblättrige Riemann'sche Fläche mit $2p+2$ Verzweigungspunkten zu Grunde. Das Geschlecht ist dann p . Wir führen gleich homogene Variable ein, und setzen

$$\sigma = \sqrt{q_{2p+2}(x_1, x_2)},$$

so dass σ eine ganze algebraische Form auf der zweiblättrigen Fläche ist, und zwar vom Grade $p+1$ in x_1, x_2 . Die Hesse'sche Determinante der rationalen ganzen Form $g_{2p+2}(x_1, x_2)$ lautet, wenn man sie durch die inhomogene Function $f(x)$ ausdrückt:

$$\mathcal{H}(p) = q_{11}q_{22} - q_{12}^2 = x_2^{2p} \cdot ((2p+1)(2p+2)f f'' - (2p+1)^2 f'^2).$$

Wir wollen nun eine Differentialgleichung dritter Ordnung hinschreiben, welche der Differentialgleichung des elliptischen Falles auf S z.B. analog gebildet ist; dabei müssen wir das Glied $\frac{g_6}{q^2}$ mit einem solchen Coefficienten behaften, dass es sich an einer Verzweigungsstelle der Riemann'schen Fläche, d.h. an einer 0 -Stelle a' des Polynoms $f(x)$ gerade verhält wie $\frac{3}{8} \cdot \frac{1}{(x-a')^2} \cdot \frac{1}{x_2^{-4}}$, oder was dasselbe ist, dass es ein Glied $\frac{3}{8} \left(\frac{f'}{f}\right)^2$ enthält. Man findet so, dass das Glied $\frac{g_6}{q^2}$ dem Coefficienten $-\frac{3}{8(2p+1)^2}$ bekommen muss. Ferner muss man statt der Function $F(u)$ eine algebraische Form vom Grade $2p-2$ einsetzen, damit auch das zweite Glied der rechten Seite die Dimension -4 in x_1, x_2 hat. Die Differentialgleichung lautet also

$$\frac{q}{x_2^4} [\eta]_x + \frac{3}{8(2p+1)^2} \cdot \frac{\mathcal{H}}{q} = \Gamma_{2p-2}(x_1, x_2).$$

Nun muss man natürlich die Form Γ so einrichten, dass an den singulären Stellen a, b, \dots, n der Differentialgleichung auf dem

algebraischen Gebilde die rechte Seite zweifach unendlich wird, z. B. bei $x = a$ wie

$$\frac{1}{x^4} \left(\frac{1-a^2}{2} + \frac{f_6}{x-a} + \dots \right).$$

Die Frage ist, wie viele Constanten in der Form Γ_{2p-2} enthalten sind, welche in doppelte Unendlichkeit stellen $a, b, \dots n$ besitzt.

Wir haben schon gestern den Riemann-Roch'schen Satz benutzt, dass eine algebraische Funktion, welche an N vorgegebenen Stellen unendlich werden darf, im Allgemeinen $N-p+1$ Constanten enthält. Um den Satz hier anwenden zu können, müssen wir die Form Γ_{2p-2} durch Division mit einer andern Form $(2p-2)$ ten Grades, etwa mit x_2^{2p-2} in eine „Function“ verwandeln. Dadurch kommt aber zu den schon vorhandenen n doppelten ∞ -Stellen noch in jeder der beiden Stellen $x_2 = 0$, d. h. $x = \infty$ je eine $2p-2$ fache ∞ -Stelle hinzu, so dass für die Function $\frac{1}{x_2^{2p-2}} \cdot \Gamma_{2p-2}(x_1, x_2)$

$N = 2n + 4p - 4$ ist. Diese Function, also auch die Form $\Gamma_{2p-2}(x_1, x_2)$ enthält folglich $2n + 3p - 3$ Parameter*). Dabei sind aber

*) und zwar gilt diese Abzählung nicht nur im allgemeinen, sondern immer, weil die sog. Annahmefolge des Riemann-Roch'schen Satzes hier nicht intreten.

die n Stellen a, b, \dots, n als fest gegeben an-
gesehen. Rechnen wir sie ebenfalls zu den
willkürlichen Parametern, so ergibt sich fol-
gender fundamentaler Satz, der, wie wir sehen
werden, nicht nur für die hyperelliptischen
Gebilde, sondern bei jedem beliebigen algebra-
ischen Gebilde seine Gültigkeit behält:

Die Form P_{2p-2} und also die Differential-
gleichung auf dem gegebenen algebraischen
Gebilde vom Geschlechte p enthält $3p-3$
+ $3n$ Constanten.

Setzen wir insbesondere $n=0$, richten
wir also unser Augenmerk auf die unver-
zweigten Differentialgleichungen, so erge-
ben sich $3p-3$ Constanten.

Sowie es auf dem hyperelliptischen Ge-
bilde p linear unabhängige überall end-
liche Integrale gibt, so gibt es ∞^{3p-3} un-
verzweigte Differentialgleichungen.

Wir können in unserem hyperelliptischen
Falle die allgemeine Gestalt der ganzen Form
 $P_{2p-2}(x_1, x_2)$ explizit angeben, so dass die darin
enthaltenen $3p-3$ willkürlichen Parameter
unmittelbar in Evidenz treten. Da $s = \sqrt{P_{2p-2}(x)}$
eine Quadratwurzel aus einem rationalen
Können, ich gebe nur asphalt hierauf nicht näher ein, weil es zu weit
führen würde.

Ausdruck ist, so kann jede rationale Function von s und x , d. h. jede algebraische Function des Gebildes in die Gestalt $R_1(x) + R_2(x)$. s gesetzt werden, und für jede ganze algebraische Function sind R_1 und R_2 Polynome von x . Hieraus folgt, dass die allgemeinste ganze algebraische Form vom Grade $2p-2$ die Gestalt hat:

$$\Gamma_{2p-2}^{(x_1, x_2)} = X_{2p-2}^{(x_1, x_2)} + Y_{p-3}^{(x_1, x_2)} \cdot \sqrt{q}_{2p-2}^{(x_1, x_2)},$$

worin für $p=1$ und $p=2$ das zweite Glied verschwindet. X und Y bedeuten hierin ganze rationale Formen von x_1, x_2 von den durch die Indices angezeigten Graden. Hier enthält nun X_{2p-2} gerade $2p-1$, Y_{p-3} für $p=2$ $p-2$ Constanten linear und homogen, was in der That die vorausgesagte Anzahl $3p-3$ gibt. Nur für $p=1$ gilt diese Formel nicht, sondern es ergibt sich, wie auch früher gefunden, die Constantenzahl 1. Wir haben also den Satz:

Um die allgemeinste unverzweigte Differentialgleichung zu bilden, halten wir $\Gamma = x + y \sqrt{q}$ zu setzen, wo x und y rationale ganze Formen vom Grade

x_{p-2} und $p-3$ in x_1, x_2 sind.

Um nun mehr von der Differentialglei-
chung 3. Ordnung zu der linearen Diffe-
rentialgleichung 2. Ordnung aufzusteigen,
schliessen wir uns wieder genau der Ana-
logie des elliptischen Falles an. Dort setz-
ten wir

$$\Pi_1 = \eta \cdot \sqrt{\frac{du}{dx}} \quad \Pi_2 = \sqrt{\frac{du}{d\eta}},$$

wobei das Differential du durch die For-
mel

$$du = \frac{dx}{\sqrt{F(x)}}$$

oder homogen geschrieben

$$du = -\frac{(x, dx)}{\sqrt{g_4(x_1, x_2)}}$$

definiert war.

Dieses du ist als Differential auf dem alge-
braischen Gebilde dadurch ausgezeichnet, dass
es nirgends unendlich wird und nirgends
verschwindet. (Man vergleiche wegen dieser
und der weiteren Angaben über Formen
auf dem algebraischen Gebilde meine Ab-
handlung: Zur Theorie der Abel'schen
Functionen. Math. Ann. Bd. 36. 1889).

Ein ganz ebenso gebildetes überall end-
liches und von 0 verschiedenes Differential
existiert auch in den Fällen $p > 1$; nur

ist es dann nicht eine Funktion von x , sondern eine Form von x_1, x_2 von einem Grade, der von 0 verschieden ist.

Im hyperelliptischen Falle lautet es

$$du = \frac{(x^*, dx^*)}{\sqrt{g_{2p+2}(x_1, x_2)}} ;$$

es ist also in x_1, x_2 von der Dimension $-(p-1)$.

Kun schreiben wir wieder, wie im elliptischen Fall

$$\Pi_1 = \eta_1 \sqrt{\frac{dw}{d\eta}}, \quad \Pi_2 = \sqrt{\frac{dw}{d\eta}}.$$

Die so erhaltenen Formen sind vom Grade $\frac{1-p}{2}$, in Übereinstimmung damit, dass wir im Falle $p=1$ Funktionen, d. h. Formen vom Grade 0 hatten. Die Exponenten der Formenschar Π_1, Π_2 an den Stellen a, b, \dots, n sind $\frac{1+\alpha}{2}, \frac{1+\beta}{2}, \dots, \frac{1+\nu}{2}$, an den Verzweigungsstellen a', b', \dots dagegen 0 und $\frac{1}{2}$, wenn man sie in der x -Ebene betrachtet, auf der Riemann'schen Fläche gemessen 0 und 1. Die Differentialgleichung endlich lautet

$$(\Pi, \varphi) - (p+1)(2p+1) \Pi \cdot \Gamma_{2p-2} = 0.$$

Beschränken wir uns auf diejenigen linearen Differentialgleichungen zweiter Ordnung auf dem hyperelliptischen Gebilde, welche auf

dem Gebilde unverzweigt sind, und deren Particularlösungen nirgendwo unendlich werden und keine gemeinsamen O-Punkte besitzen, so lauten diese Differentialgleichungen folgendermassen:

$$(II, 4)_{2} - (n+1)(2p+1) II. \Gamma'_{2p-2} = 0,$$

wofür Γ' der Ausdruck

$$\Gamma'_{2p-2}(x_1, x_2) = X_{2p-2}(x_1, x_2) + \psi_{n-3}(x_1, x_2) \cdot \sqrt{\varphi_{2p+2}(x_1, x_2)}$$

einzu tragen ist, und II vom Grade $\frac{1-p}{2}$ ist.

Hier drängt sich uns eine merkwürdige Beziehung zu der allgemeinen Lamé'schen Differentialgleichung auf. Die vorstehende Differentialgleichung ist nämlich genau ebenso gebaut, wie die allgemeine Lamé'sche Gleichung mit den O-Stellen von φ als singulären Stellen, also mit $n=2p+2$. Auch der Grad der Formen II_1, II_2 ist derselbe, wie bei der Lamé'schen Gleichung; denn im Lamé'schen Falle sind II_1, II_2 vom Grade $\frac{4-n}{4}$, was beim Einsetzen von $2p+2$ in der That den vorliegenden Grad $\frac{1-p}{2}$ gibt.

Nur der eine Unterschied liegt vor, dass im Lamé'schen Falle $\Gamma'_{2p-2}(x_1, x_2)$ eine ganze

rationale Form sein muss, während es hier auch ein Glied mit $\sqrt{V_{2p+2}} \frac{(x_1, x_2)}{(x_1, x_2)}$ enthalten darf, wenigstens im Falle $p \geq 3$. Also:

In den Fällen $p=1$ und $p=2$ ist unsere auf dem hyperelliptischen Gebilde unverzweigte Differentialgleichung identisch mit der allgemeinen Lamé'schen Gleichung für $n=4$ bzw. $n=6$, für $p \geq 3$ geht sie in die allgemeine Lamé'sche Gleichung für $n=2p+2$ über, wenn man in $\Gamma_{2p+2} \frac{(x_1, x_2)}{(x_1, x_2)} \psi = 0$ setzt.

Soviel über die Differentialgleichungen auf hyperelliptischen Gebilden.

Allgemeine algebraische Gebilde.

Wie werden wir die gefundenen Ansätze für den allgemeinen Fall eines beliebigen algebraischen Gebildes verallgemeinern können? Sehen wir einmal zu, worin eigentlich die Besondere Einfachheit in der Behandlung des hyperelliptischen Falles ruht, - offenbar in der Eigentümlichkeit der Function $s = \sqrt{V_{2p+2}} \frac{(x)}{(x_1, x_2)}$ bzw. der Form $\zeta = \sqrt{V_{2p+2}} \frac{(x_1, x_2)}{(x_1, x_2)}$. In Bezug auf die zweiblättrige Riemann'sche Fläche ist diese Form eine

fach so zu charakterisiren, dass sie auf der selben eindeutig und überall endlich ist, und dass ihre O -Stellen gerade die Verzweigungsstellen der Fläche, nämlich die O -Stellen des Differentialos (x, dx) sind.

Die Einfachheit der zweiblättrigen Riemann'schen Fläche für die analytische Behandlung beruht darin, dass die Verzweigungspunkte der Fläche die O -Stellen einer zur Fläche gehörigen algebraischen Form sind.

Man wird sich fragen, ob nicht auch bei einem allgemeinen algebraischen Gebilde unter den unendlich vielen zugehörigen Riemann'schen Flächen eine von der genannten Eigenschaft ist, dass es auf ihr eine ganze Form gibt, deren O -Stellen gerade die Verzweigungspunkte der Fläche sind? Nehmen ne eine solche Fläche eine „kanonische Fläche“.

Ich behaupte nun, dass man in der That für jedes algebraische Gebilde eines höheren Geschlechtes ν kanonische Riemann'sche Flächen aufstellen kann, d. h. Riemann'sche Flächen, deren Verzweigungspunkte die O -Stellen einer auf dem Gebilde existieren

den ganzen algebraischen Formen sind.

Der Beweis dieses Satzes (Math. Ann. 36) will ich hier nicht wiedergeben, sondern nur über die Eigentümlichkeiten der kanonischen Fläche das notwendigste berichten.

Die Blätterzahl der kanonischen Fläche ist immer ein Teiler von $2p - 2$ oder $2p - 2$ selbst, so dass man

$$2p - 2 = m \cdot d$$

setzen kann. Die Zahl der Verzweigungs-punkte ist

$$2p - 2 + 2m = m(d + 2).$$

Dies sind die O. Stellen einer ganzen Form, welche in x_1, x_2 vom Grade $(d + 2)$ ist, in Übereinstimmung mit dem allgemeinen Satze, dass die Anzahl der O. Stellen einer ganzen algebraischen Form immer gleich dem Produkt aus dem Grade der Form und der Blätterzahl der Fläche ist.

Die kanonische Fläche hat m Blätter, wo-
bei $2p - 2 = m \cdot d$ ist, die Zahl ihrer Verzwei-
gungspunkte ist $2p - 2 + 2m = m(d + 2)$, und
diese Verzweigungspunkte sind die O. Stellen
einer ganzen algebraischen Form der Fläche,
die wir C nennen, und die den Grad $d + 2$

Besitzt.

Fr. d. 11. Mai 1894.] Lassen Sie uns heute zuerst insbesondere zwei Beispiele einer kanonischen Riemann'schen Fläche betrachten, um davon unsere letzten Angaben bestätigt zu finden.

Das erste Beispiel ist natürlich die zwei-blättrige Fläche des hyperelliptischen Falls, selbst. Dabei ist $m = 2$, also $d = p - 1$, und die Form σ vom Grade $d + 2 = p + 1$.

In der That: die Verzweigungsstellen der Fläche werden durch die σ -Stellen der rationalen ganzen Form $\sqrt[p+2]{\varphi_{p+2}(x_1, x_2)}$ gegeben. Diese Form wird aber an jeder dieser Verzweigungsstellen auf der Fläche gemessen zweifach σ , z. B. bei $x = a$ wie $(x-a)^{\frac{2}{p+1}}$. Es ist daher $\sqrt[p+2]{\varphi_{p+2}(x_1, x_2)}$ eine Form, welche an jeder Verzweigungsstelle gerade einfach verschwindet, also

$$\sigma = \sqrt[p+2]{\varphi_{p+2}(x_1, x_2)}$$

die gesuchte Verzweigungsform. Der Grad derselben ist in der That der vorausgesagte $p+1$.

Als zweites Beispiel denken wir uns ein algebraisches Gebilde durch eine allgemeine Curve 4. Ordnung ohne Doppelpunkte vorgestellt, das Geschlecht ist dann $p = 3$, und es liegt das

allgemeinste Gebilde dieses Geschlechtes vor.
Die Gleichung der Curve laute in homogenen Punktkoordinaten

$$f(x_1, x_2, x_3) = 0,$$

worin f eine ganze rationale Form 4. Grades von x_1, x_2, x_3 bedeutet.

Wir denken uns nun die Curve von der einen Ecke $x_1 = 0, x_2 = 0$ des Coordinaten-dreiecks auf die gegenüberliegende Coordinatenaxe $x_3 = 0$ projizirt, wie auf S.50. Jedem Wertesystem x_1, x_2 entspricht dabei ein bestimmter Projektionsstrahl, und vier Werte von x_3 bzw. Punkte der Curve. Wir sehen also x_1 und x_2 allein als unabhängige Variable an, und bestimmen x_3 durch die Gleichung $f = 0$ als Function von x_1, x_2 , und zwar als homogene Function ersten Grades; denn wenn wir x_1 und x_2 beide mit irgend einer Constanten multiplizieren, müssen wir auch x_3 mit derselben Constanten multiplizieren, wenn die Gleichung $f = 0$ richtig bleiben soll.

x_3 ist also eine auf der Riemann'schen Fläche, der vierfach überdeckten x_3 -Axe, existirende ganze algebraische Form ersten Grades.

Wo liegen nun die Verzweigungspunkte

der Riemann'schen Fläche? Sie entsprechen denjenigen Projektionsstrahlen, welche die Curve 4. Ordnung berühren, bezw. ihren Berührungs punkten selbst. Diese Berührungs punkte liegen aber bekanntlich auf der „Polare“ des Punktes $x_1 = 0, x_2 = 0$ im Bezug auf die Curve $f = 0$, und die Gleichung dieser Polare ist

$$\frac{\partial f}{\partial x_3} = f_3(x_1, x_2, x_3) = 0.$$

Die linke Seite dieser Gleichung ist eine ganze rationale Form 3. Grades von x_1, x_2, x_3 , also auch eine ganze algebraische Form dritten Grades von x_1, x_2 , welche gerade in den Berührungs punkten der Projektionsstrahlen, d. h. in den Verzweigungs punkten der Riemann'schen Fläche verschwindet, mit andern Worten: f_3 ist die gesuchte Verzweigungsform. Es ist auch nicht etwa noch die Wurzel auszuziehen, denn die Polare schneidet jeden einfachen Berührungs punkt der Projektionsstrahlen einfach aus, so dass f_3 daselbst auf der Curve einfach verschwindet.

Wenn wir die Curve 4. Ordnung von der einen Ecke des Coordinatensystems aus auf

die gegenüberliegende Seite des Koordinatensystems projizieren, so erhalten wir eine 4-blättrige Riemann'sche Fläche, deren Verzweigungspunkte sich ergeben, indem wir die ganze algebraische Form dritten Grades von $x_1, x_2, f_3(x_1, x_2, x_3) = 0$ setzen.
 Die x_3 -Achse ist hier 4-fach überdeckt, wir haben also $m=4$. Da $p=3$ ist, so ist $2p-2=4$ und $d=1$. Der Grad der Verzweigungsform $d+2$ muss also = 3 sein, was in der That bei der Form f_3 zutrifft. -

Wir stellen jetzt die Differentialgleichung auf dem allgemeinen algebraischen Gebilde auf:

Indem wir η durch ζ^2 ersetzen und bedenken, dass im hyperelliptischen Falle $p=d+1$ ist, geht die linke Seite der Differentialgleichung auf L. 83 in folgenden Ausdruck über:

$$\frac{\zeta^2}{x_2^4} [\eta]_x + \frac{3}{8(2d+3)^2} \cdot \frac{\mathcal{H}(\zeta^2)}{\zeta^2},$$

wofür wir auch einfacher schreiben können:

$$\frac{\zeta^2}{x_2^4} [\eta]_x + \frac{3}{2(d+1)(d+3)} \cdot \mathcal{H}(\zeta).$$

Dieser Ausdruck bleibt aber, abweichend vom hyperelliptischen Fall, an den Verzweigungspunkten der Fläche im Allgemeinen nicht endlich, sondern wird an einem einfachen Verzweigungspunkt einfach, an einem mehrfachen Verzweigungspunkt 2-fach unendlich, mit Coefficienten, welche von den Entwicklungscoefficienten des η unabhängig sind.

Wir können daher setzen

$$\frac{6^{-2}}{x_2} [7]_x + \frac{3}{2(d+1)(2d+3)} \cdot H(6) = \frac{T}{6} + T_{2d}(x_1, x_2),$$

unter T eine bestimmte ganze Form vom Grade $3d+2$ verstanden, welche für die Fläche ebenso charakteristisch ist, wie c . *)

T ist hierin definiert als die allgemeinste algebraische Form $2d$ ten Grades auf unserer Fläche, welche in den gegebenen singulären Punkten in der Weise 2fach unendlich wird, dass $x_2^{-\frac{1}{6}} \cdot \frac{T}{6}$ sich verhält wie

$$\frac{\frac{1-\alpha^2}{2}}{(x-a)^2} + \frac{A}{x-a} + \dots$$

Die Constantenzählung nach dem Riemann-Roch'schen Satz ergibt, dass die Form T unter dieser Bedingung $2n + 3p - 3$, also wenn man auch die singulären Punkte $a, b, \dots n$ selbst mit zu den Constanten rechnet, $3p - 3 + 3n$ Constanten enthält. Also:

Es gibt auf unserer kanonischen Fläche und deshalb überhaupt auf dem algebraischen Gebilde bei gegebener Zahl n der singulären Punkte in der zugehörigen Differentialgleichung $3p - 3 + 3n$ willkürliche Constanten.

Von dieser Differentialgleichung 3. Ordnung steigen wir nun in ganz entsprechender Weise, wie beim hyperelliptischen Gebilde zur

*) Ursprünglich hatte ich in der Vorlesung das Glied $\frac{T}{6}$ weggelassen und erst Herr Pick hat mich darauf aufmerksam gemacht, dass hier eine Ueberdr.

linearen Differentialgleichung 2. Ordnung auf. Wir definieren durch die Formel

$$dw = \frac{(x, dx)}{G}$$

das überall endliche und nirgends verschwindende Differential der Fläche (vgl. Math. Ann. 36). Dann spalten wir η folgendermassen im Nähler und Nenner:

$$\Pi_1 = \eta \sqrt{\frac{d\omega}{d\eta}}, \quad \Pi_2 = \sqrt{\frac{d\omega}{d\eta}}.$$

Der Grad der Formen Π_1, Π_2 stellt sich da,
bei als $-\frac{d}{2} = -\frac{p-1}{m}$ heraus.

Die Differentialgleichung 2. Ordnung, welcher
 Π_1, Π_2 genügen, lautet

$$(\Pi, G^2)_2 + (d+2)(2d+3) \cdot \Pi \cdot \left(\frac{\epsilon}{G} + \frac{r}{2d} \right) = 0$$

Ich möchte diese Gleichung noch insbesondere für die oben behandelte allgemeine Curve 4. Ordnung specialisiren, weil sich daran eine gewisse Frage von allgemeiner Bedeutung anschliesst.

Es sei wieder $f(x_1, x_2, x_3) = 0$ die Gleichung der Curve 4ter Ordnung, welche das algebraische Gebilde repräsentirt. Dadurch wird x_3 als algebraische Form 1. Grades von x_1, x_2 auf dem Gebilde definiert. Jengel eine rationale Form von x_1, x_2, x_3 wird möglich vorlag.

dadurch eine algebraische binäre Form von x_1, x_2 , welche wir als unabhängige Variable auf der 4fach überdeckten Geraden, d. h. auf der Riemann'schen Fläche ansehen, auf die sich die Curve projiziert. Seit $\frac{d}{dx_1}, \frac{d}{dx_2}$ mögen die partiellen Differentialquotienten einer solchen Form bezeichnet werden, insofern man nur x_1, x_2 als unabhängige Variable ansieht, also x_3 durch x_1, x_2 ausgedrückt denkt. Dagegen mögen $\frac{\partial}{\partial x_1}, \frac{\partial}{\partial x_2}, \frac{\partial}{\partial x_3}$ die partiellen Differentialquotienten derselben Form bezeichnen, insofern man x_1, x_2, x_3 als unabhängig von einander ansieht.

Es ist dann der Zusammenhang dieser zweierlei Differentiationen miteinander durch folgende symbolische Formeln gegeben:

$$\frac{d}{dx_1} = \frac{\partial}{\partial x_1} + \frac{dx_3}{dx_1} \cdot \frac{\partial}{\partial x_3}; \quad \frac{d}{dx_2} = \frac{\partial}{\partial x_2} + \frac{dx_3}{dx_2} \cdot \frac{\partial}{\partial x_3}.$$

Dabei sind die Differentialquotienten $\frac{dx_2}{dx_1}$ und $\frac{dx_3}{dx_2}$ entlang der Curve $f(x_1, x_2, x_3) = 0$ zu nehmen, also

$$\frac{dx_3}{dx_1} = -\frac{f_1}{f_3}, \quad \frac{dx_3}{dx_2} = -\frac{f_2}{f_3}$$

zusetzen, so dass wir die Formeln erhalten:

$$\frac{d}{dx_1} = \frac{\partial}{\partial x_1} - \frac{f_1}{f_3} \cdot \frac{\partial}{\partial x_3};$$

$$\frac{d}{dx_2} = \frac{\partial}{\partial x_2} - \frac{f_2}{f_3} \cdot \frac{\partial}{\partial x_3}$$

Entsprechende Umsetzungsformeln sind für die zweiten, dritten u. s. w. Differentialquotienten auszurechnen.

In der Differentialgleichung ist nun $\sigma = f_3$ und der Grad von Γ ist = 2 zu setzen.

Zugleich lässt sich die Form Γ in einfachster Weise hinschreiben, nämlich

$$\Gamma = -\frac{1}{90} \frac{\partial \mathcal{H}}{\partial x_3} = -\frac{1}{90} \mathcal{H}_3,$$

unter \mathcal{H} in die Hesse'sche Covariante der Curve $f = 0$ verstanden.

Wir fassen Γ mit dem numerischen Factor vor dem zweiten Glied der linken Seite in der linearen Differentialgleichung zu einer algebraischen Form zweiten Grades zusammen, die wir Π nennen wollen. Wir haben also die lineare Differentialgleichung

$$(\Pi, f_3^2)_2 + \left(-\frac{1}{6} \frac{\mathcal{H}_3}{f_3} + \text{I}_{(2)}\right) \Pi = 0.$$

Hierin ist die Überschiebung so zu verstehen, dass man in f_3 erst x_3 durch x_1, x_2 auszudrücken hat, und dann mit den homogenen Variablen x_1, x_2 allein operirt. Hierin liegt aber eine unsym-

metrische Bevorzugung der einen Variablen x_3 . Um diese zu beseitigen wird man in $(\Pi, f_3^2)_2$ die Differentiationen $\frac{d^2}{dx_2^2}, \frac{d^2}{dx_1 dx_2}, \frac{d^2}{dx_1^2}$ durch Differentiationen nach x_1, x_2, x_3 ausdrücken, wozu die oben hingeschriebenen Formeln dienen. Auch die algebraische Form zweiten Grades \mathcal{R}_2 , werden wir symmetrisch durch x_1, x_2, x_3 ausdrücken. Man sieht leicht, dass die allgemeinste algebraische Form von x_1, x_2 vom 2. Grad mit der allgemeinsten rationalen Form 2. Grades von x_1, x_2, x_3 identisch ist. In der That stimmt die Constantenzahl in beiden genau überein.

Wollen wir eine unverzweigte Differentialgleichung haben, so brauchen wir für \mathcal{R} nur die allgemeinste ganze rationale Form 2. Grades von x_1, x_2, x_3 , d. h. die linke Seite der allgemeinsten Kegelschnittsgleichung einzusetzen.

Wir haben damit die ∞^6 unverzweigten Differentialgleichungen, die es bei der Curve 4. Ordnung gibt, wirklich hingeschrieben.

Wenn wir aber auch in dieser Weise die Differentialgleichung durch x_1, x_2, x_3 ausgedrückt denken, so befriedigt sie uns doch noch nicht,

so lange nicht x_1, x_2, x_3 ganz symmetrisch in derselben auftreten. Wir formulieren daher die Aufgabe:

Unsere Aufgabe wird sein, der Formel eine Gestalt zu erteilen, in welcher die einseitige Bevorzugung des x_3 vermieden ist, in welcher also statt der binären die ternäre invariante Auffassung zu Tage tritt.

Genau dieselbe Aufgabe tritt uns schon in der Theorie der Abel'schen Integrale entgegen, wenn wir dieselben nach dem Vorgange von Aronhold als Integrale auf einer algebraischen Curve darstellen, welche durch eine Gleichung zwischen homogenen Coordinaten x_1, x_2, x_3 gegeben ist. Sicht man da zunächst nur x_1, x_3 als unabhängige Coordinaten an, und denkt sich x_3 als algebraische Form der selben ausgedrückt, so schreibt sich ein Abel'sches Integral in der Gestalt

$$\int \frac{x_1 dx_2 - x_2 dx_1}{f_3} \cdot \varphi(x_1, x_2, x_3),$$

unter φ irgend eine rationale Form vom Grade 1 (wenn f vom 4. Grade ist) verstanden. Um hierin die Bevorzugung der Va-

riablen x_3 zu beseitigen, berücksichtigt man, dass auf der Curve identisch

$$\frac{x_2 dx_3 - x_3 dx_2}{f_1} = \frac{x_3 dx_1 - x_1 dx_3}{f_2} = \frac{x_1 dx_2 - x_2 dx_1}{f_3}$$

ist. Wir sehen: die Sache ist hier sehr einfach. Die Bevorzugung der x_3 in unserer Formel ist nur scheinbar. Wollen wir die Bevorzugung auch formel aufheben, so werden wir Zähler und Nenner des ersten Bruches mit einer beliebigen Constanten c_1 , des zweiten mit c_2 , des dritten mit c_3 multiplizieren und dann die Zähler einerseits, sowie andererseits die Nenner addieren, so dass folgender Ausdruck entsteht.

$$\begin{aligned} & c_1(x_2 dx_3 - x_3 dx_2) + c_2(x_3 dx_1 - x_1 dx_3) + c_3(x_1 dx_2 - x_2 dx_1) \\ & c_1 f_1 + c_2 f_2 + c_3 f_3 \\ & = |c_1, x_2, dx_3| \\ & \Sigma c_i f_i \end{aligned}$$

Die analoge Frage würden wir hier zu diskutieren haben:

Es wird zu untersuchen sein, wie die verschiedenen Ausdrücke miteinander verwandt sind, die sich aus unserer 2ten Überschiebung von Π mit f_3^2 durch Vertauschung der Indices 1, 2, 3 ergeben, und es ist dann weiter die

Aufgabe eine derartige Schreibweise einzuführen, welche diese genannten Ausdrücke symmetrisch berücksichtigt, und damit dem Π eine Definition gibt, die von dem gewählten Coordinatensystem unabhängig ist, die also ternär-invarianten Charakter besitzt.

Eine derartige Durcharbeitung der linearen Differentialgleichungen auf einem algebraischen Gebilde auch in formaler Hinsicht ist ein dringendes Bedürfnis, da wir uns bemühen müssen, so wie die Abel'schen Integrale als erste einfachste Transcendenten auf algebraischen Gebilden zum unentbehrlichen Hülfsmittel für alle Mathematiker beim Studium der algebraischen Gebilde geworden sind, so auch als eine weitere höhere Classe von Functionen diejenigen herauszuarbeiten, welche durch lineare Differentialgleichungen definiert werden. Dieselben werden ohne Zweifel für die Erkenntnis der Eigenschaften eines algebraischen Gebildes ebenso fruchtbar sein, als es die Abel'schen Transcendenten bislang waren.

Damit schließe ich die Einleitung dieser Vorlesung, in welcher ich zunächst Rechenschaft über die algebraischen Formulirungen unserer Differentialgleichungen auf rationalen und auf algebraischen Gebilden abgelegt habe. Noch Pfingsten wollen wir uns dann der Erforschung der transzendenten Eigenschaften der Functionen zuwenden, welche durch unsere Differentialgleichungen definiert sind. Dabei wird sich natürliche Weise der Anschluß an die geometrischen Methoden darbieten, die wir vor Ostern bei Untersuchung der hypergeometrischen Function entwickelt haben.

Haupttheil der Vorlesung: Von den transzendenten Eigen- schaften der Differentialgleichun- gen.

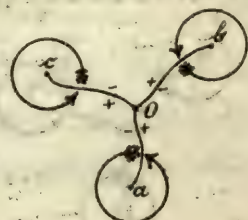
I. Allgemeine Darlegung.

[No. d. 21. Mai 1894.] Nachdem wir vor Pfingsten das algebraische Substrat unserer Behandl.

tungen, die expliziten Definitionsformeln unserer Differentialgleichungen gewonnen haben, wird es nunmehr unsere Aufgabe sein, die inneren Eigenschaften der hier-durch definierten Funktionen zu studiren, wobei wir je nach den besonderen Fragestellungen bald auf das η , bald auf y_1 , y_2 , bald endlich auf Π_1 , Π_2 uns beziehen werden.

Wollen wir hente einmal die der linearen Differentialgleichung 2. Ordnung entsprechenden Funktionen y_1 , y_2 ins Auge fassen, um an ihnen zunächst die Betrachtungen zu verallgemeinern, zu denen uns die Strohodromiegruppe bei $n=3$, $p=0$ Anlass gab.

Bei $n=3$, $p=0$ hatten wir eine schlichte \mathbb{X} -Ebene, in welcher drei singuläre Punkte a , b , c , bei deren Umlaufung die y_1 , y_2 sich linear substituieren. Um ein bestimmtes Paar von Ausgangszweigen zu definiren, zerschritten wir die \mathbb{X} -Ebene längs dreier von einem beliebigen Punkt O nach a , nach b und nach c hinlaufender Linie.



Irgend ein Zweigpaar y_1, y_2 ist in der so zerschrittenen Ebene eindeutig, besetzt aber auf dem positionen Ufer jedes Schrittes Werk, die sich aus denen auf dem negativen Ufer durch eine lineare Substitution ergeben, längs σ_a durch A , längs σ_b durch B , längs σ_c durch C , so dass z. B. längs σ_a

$$\left\{ \frac{y_1'}{y_1} \right\} = A \left\{ \frac{y_1}{y_2} \right\}$$

ist. Dabei sind die drei Substitutionen nicht unabhängig voneinander, sondern sie geben, wenn man zuerst C , dann B , dann A anwendet, die Identität

$$ABC = 1,$$

entsprechend der geometrischen Tatsache, dass ein alle drei Punkte umkreisender Weg sich auf irgend einen nicht singulären Punkt zusammenziehen lässt. Die Wiederholung und Combination der 3. Substitutionen A, B, C ergibt dann die Monodromiegruppe der y_1, y_2 : d. h. A, B, C sind die „erzeugenden Substitutionen“ der Monodromiegruppe. (Vergl. S. 100 der „Winterautographie“)

Diese Lehre von der Monodromiegruppe und ihren Erzeugenden haben wir nun auf den

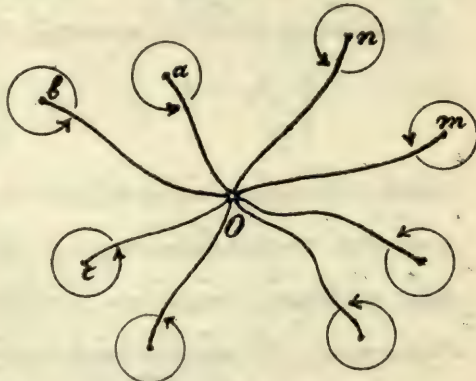
Fall eines höheren p mit beliebig vielen Verzweigungspunkten zu übertragen.

Zunächst im Falle $p=0$ haben wir eine schlichte \mathcal{X} -Ebene mit n singulären Punkten a, b, \dots, n . Wir ziehen wieder von einem beliebigen Punkt O aus Schnitte nach a, b, \dots, n und definieren vermöge der selben ein Zweigpaar y_1, y_2 , sowie n erzeugende Substitutionen A, B, \dots, N , welche der Relation

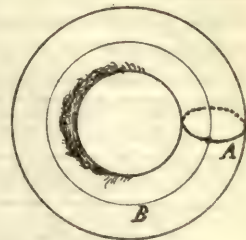
$$A \cdot B \dots N = 1$$

genügen, und welche miteinander kombiniert und wiederholt die Monodromiegruppe der y_1, y_2 erzeugen.

Haben wir $p > 0$, so tritt der neue Umstand ein, dass auch geschlossene nicht auf einen Punkt zusammenziehbare Wege auf der Riemann'schen Fläche existieren, denen ebenfalls lineare Substitutionen entsprechen. Am besten sieht man dies, wenn man die ringförmige Gestalt der Fläche zu Grunde legt. z.B. im Falle $p=1$ kann man sich die

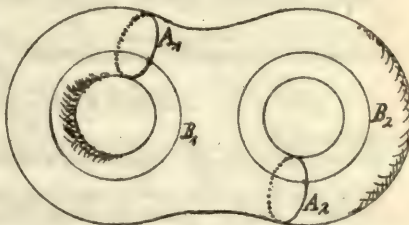


Riemann'sche Fläche in einen gewöhnlichen Kreisring deformirt olenken. Auf diesem sind insbesondere zwei geschlossene nicht in einen Punkt zusammenziehbare Wege möglich, nämlich eine Meridiancurve A und eine Breitencurve B



Alle übrigen geschlossenen Curven auf der Fläche kommen auf eine Wiederholung dieser beiden fundamentalen Wege zurück, nämlich der Durchlaufung der Meridiancurve A und der Durchlaufung der Breitencurve B.

Ahnlich ist es bei höherem z.B. die Doppelpelringfläche des Falles $p=2$ lässt jeder ihrer beiden Öffnungen entsprechend einmal einen Weg A zu, der durch die Öffnung hindurchgeht, andererseits einen Weg B, der um die Öffnung herumläuft. Ebenso bei $p > 2$, so dass wir diese allgemeine Sachlage haben:

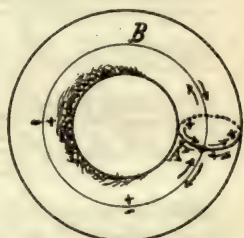


Auf einer Fläche von höherem p kann man

is Paare von jedesmal zwei Wegen (Hemi-diametrcurve und Breitencurve) so einführen, dass jeder andere geschlossene Weg, den man auf der Fläche ziehen mag, als Aufeinanderfolge ganzer Wiederholungen dieser Wege dargestellt werden kann.

Nun denken wir uns die Fläche zunächst des Falles $p=1$ längs der Fundamentalsalve aufgeschnitten. Dieselbe wird dadurch ein einfach zusammenhängendes Flächenstück, dessen Berandung von den beiden Ufern jedes Schnittes gebildet wird. Wir wollen nun den Rand dieser einfach zusammenhängenden Fläche entlang laufen und zuschauen, wie die einzelnen Randstücke aufeinander folgen.

Man sieht, dass man zuerst den Schnitt A entlang in einem gewissen Sinn läuft, den wir als positiven Sinn bezeichnen wollen, dann an B in einem bestimmten Sinn, der ebenfalls der positive sein soll, dann an A in negativem Sinn, endlich wieder an B in negativem Sinn, worauf man an die Ausgangsstelle des Randes zurückgelangt ist.



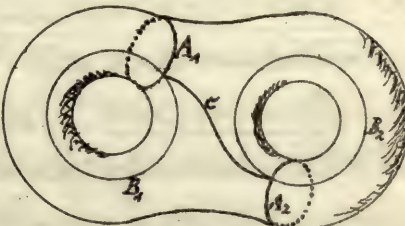
Wir bezeichnen die geschilderte Aufeinanderfolge der Wege mit

$$A^{+1} B^{+1} A^{-1} B^{-1}$$

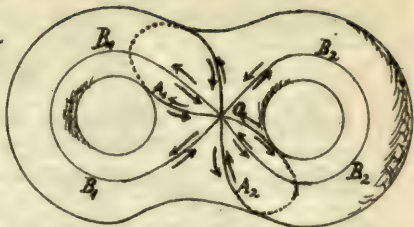
Also: Wenn wir die Fläche $p=1$ längs der beiden zusammengehörigen Curven zerschneiden, dann besteht die Begrenzung oder entstehenden zerschnittenen Flächen aus der aufeinanderfolge der Wege $A^{+1} B^{+1} A^{-1} B^{-1}$.

Wie ist die Sache bei $p=2$? Wenn wir da längs der oben beschriebenen Fundamentalwege zerschneiden, so besitzt das entstehende Flächenstück immer noch zweifachen Zusammenhang; und wir müssen noch die beiden Randcurven - die eine von $A_1^{\pm 1} B_1^{\pm 1}$, die andere von $A_2^{\pm 1} B_2^{\pm 1}$ gebildet - durch einen weiteren Schnitt c verbinden, den man etwa vom Kreuzungspunkt der Curven A_1, B_1 nach dem Kreuzungspunkt der Curven A_2, B_2 legen mag. Wir sagen also:

Wir reichen jetzt nicht aus mit den Schnitten A, B , einerseits $A_2 B_2$ andererseits, sondern wir brauchen noch ein Verbindungsstück c.



Dieser Verbindungsschnitt c ist aber sehr unbequem. Kann man denselben dadurch vermeiden, dass man, wie in nebenstehender Figur, die Kreuzungspunkte beider Schnittpaare an denselben Punkt der Fläche heranzieht.



Kann man die Verschneidung der Fläche $\rho=2$ so einrichten, dass der Kreuzungspunkt des Paares A_1, B_1 und der Kreuzungspunkt des Paares A_2, B_2 zusammenfallen und dass also das Verbindungsstück c überflüssig wird.

Nachdem wir die Fläche $\rho=2$ in dieser Weise „kanonisch“ zerschnitten haben, besteht ihre Berandung der Reihe nach aus der folgenden Aufeinanderfolge von Wegen:

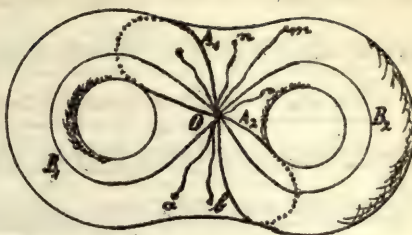
$$A_1^{++} B_1^{++} A_1^{-+} \bar{B}_1^{-+}, A_2^{++} B_2^{++} A_2^{-+} \bar{B}_2^{-+}.$$

Entsprechend ist es bei höherem ρ einzurichten.

Was bedeutet dies für die Theorie der linearen Differentialgleichungen auf einem algebraischen Gebilde?

Wenn n singuläre Punkte a, b, ... existieren, so haben wir Gelegenheit Absonderung eines

Zweigpaars y_1, y_2 ,
die gerade geschilderte
Überschreitung
nur noch durch n
etwa von der Ecke
 $B_p A_q$ des bisherigen
Schnittsystems aus
nach den Punkten $a, b, \dots n$ gehende Einschnitte
zu vervollständigen, die wir $\alpha, \beta, \dots N$ nennen.



In der so zerschmißtenen Riemann'schen Fläche ist y_1, y_2 gewiß eindeutig, da wir es mit einem einfach zusammenhängenden Flächenstück zu thun haben, innerhalb dessen sich jede geschloßene Curve auf einen beliebigen nichtsingulären Punkt zusammenziehen läßt. Bei Überschreitung eines Schnittes $\alpha, \beta, \dots N$ dagegen, d. h. bei Umlaufung eines Punktes $a, b, \dots n$ wird y_1, y_2 genau wie bei $\varphi = 0$ eine lineare Substitution $\alpha, \beta, \dots N$ erleiden. Aber auch bei Überschreitung der Schnitte B_1, A_1, B_2, A_2 d. h. bei Durchlaufung eines der Wege A_1, B_1, A_2, B_2 , liegt kein Grund vor, warum y_1, y_2 ungedeindert bleiben sollten; sie werden im Allgemeinen auch längs dieser Periodenwege lineare

Substitutionen erleidet, welche wir ebenso wie die Wege, nämlich mit $A_1, B_1, A_2, B_2 \dots$ benennen wollen. Wir sagen also zusammenfassend:

In der zerschnittenen Fläche, welche einfach zusammenhängend ist und keinen singulären Punkt in ihrem Innern enthält, definieren wir uns zunächst ein Zweigpaar y_1, y_2 . Vermöge der kananischen Verschneidung unserer Fläche setzen sich dann alle Substitutionen, welche y_1, y_2 bei Umläufen über die Fläche hin erleidet, aus $n + 2p$ Fundamentalsubstitutionen zusammen: $A, B, \dots N; A_1, B_1, A_2, B_2, \dots A_p, B_p$.

Aber diese sind nicht unabhängig voneinander, sondern sie müssen folgender Bedingung genügen: Wenn man den ganzen Rand des zerschnittenen Bereiches umläuft, so müssen sich y_1, y_2 reproduzieren, da ein solcher Weg auf einen beliebigen Punkt im Innern des Bereichs zusammengezogen werden kann. Es kommt so die Bedingung heraus:

Die $n + 2p$ Fundamentalsubstitutionen genügen der Fundamentalrelation:

$$A.B \dots N.A_1^{+1}B_1^{+1}A_2^{-1}B_2^{-1} \dots A_p^{+1}B_p^{+1}A_p^{-1}B_p^{-1} = 1.$$

Di. d. 22. Mai 1894.] Nachdem wir so die Erzeugenden der Monodromiegruppe überschen, wollen wir heute die Anzahl der Constanten in derselben abzählen.

Folge der $n+2p$ binären Substitutionen der y_1, y_2 , welche wir als Erzeugende gewählt haben, besitzt 4 Constanten, zusammen also $4n+8p$. Die Fundamentalrelation verringert aber diese Anzahl um 4. Die Gruppe enthält also insgesamt $4n+8p-4$ Constanten. Von diesen ist aber eine gewisse Zahl unwesentlich, da wir statt y_1, y_2 irgend zwei andere linear unabhängige Verbindungen derselben als Variable einführen, d. h. die Gruppe irgend einer linearen Transformation unterverfassen können; dadurch wird die Constantenzahl aber nicht um 4, sondern nur um 3 verringert, da eine simultane Multiplikation von y_1, y_2 mit einer beliebigen Zahl die Gruppe nicht ändert. Heithin hat die binäre Substitutionsgruppe der y_1, y_2 zusammen $4n+8p-4$ wesentliche Constanten.

Achten wir dagegen statt auf y_1, y_2 vielmehr auf den Quotienten η , so enthält

jede der nichthomogenen gebrochenen Substitutionen, welche η erleidet, nur 3 Constanten, die Erzeugenden zusammen also $3n + 6p$ Constanten. Diese Zahl vermindert sich vermöge der Fundamentalrelation um 3, vermöge der noch zur Verfügung stehenden linearen Transformation der Gruppe aber, mal um 3, so dass nur $3n + 6p - 6$ wesentliche Constanten übrig bleiben. Wir haben also den Satz:

Sofern wir die erzeugenden Substitutionen der Gruppe als willkürlich annehmen, enthält die Gruppe der y_1, y_2 $4n + 8p - 7$, die Gruppe des η $3n + 6p - 6$ wesentliche Constanten.

Wir wollen nun im Anschluss an diese Constantenzählung gewisse Fragen, die wir für $p=0$ schon vor Weihnachten erörtert haben, auf den allgemeinen Fall $p > 0$ ausdehnen.

1. Es kann ein singulärer Punkt ganz zahlreiche Exponenten haben, ohne dass doch in der Entwicklung eines Zweigs y_1, y_2 in der Umgebung desselben logaritmische Glieder auftreten. Der Punkt ist dann ein „Nebenpunkt“ in dem vor Weihnachten bei Besprechung von Riemann's Arbeit festgesetzten Sinne.

Er liefert als solcher keinen Beitrag zur Monodromiegruppe oder y_1, y_2 , sondern y_1, y_2 sind in seiner Umgebung eindeutig. Wir fragen nun:

Wie viele bewegliche Nebenpunkte müssen wir in eine Differentialgleichung neben den gegebenen „Hauptpunkten“ (d. h. welche eignen Beitrag zur Gruppe liefern) einführen, damit die Differentialgleichung genauso viele Parameter hat, als die allgemeine Monodromiegruppe nach unserer Abzählung?

Es ist dies die Fragestellung, welche für die Weiterbearbeitung von Riemann's Fragment über die linearen Differentialgleichungen vorab zu behandeln ist.

2. Wir werden diese Frage für die Differentialgleichung des η beantworten, wie wir überhaupt bei höherem p uns wesentlich mit η beschäftigen werden, da wir sonst bei $p=1$ die Theorie der elliptischen Funktionen, bei $p>1$ noch andere Transcendenten zu sehr heranziehen müßten.

Es sei p das Geschlecht, n die Anzahl der singulären Hauptpunkte der Differentialgleichung für η . Dann haben wir, wenn die Hauptpunkte vorgegeben sind, folgende noch

willkürliche Constanten:

$$\begin{array}{c} n \text{ Exponentendifferenzen} \\ n+3p-3 \text{ Accessorische Parameter} \end{array} \quad \begin{array}{c} n \text{ Constanten} \\ n+3p-3 \quad " \\ \frac{1}{2}n+3p-3 \quad " \end{array}$$

Es fehlen also an der Zahl $3n+6p-6$ der Gruppenparameter noch $n+3p-3$. Da jeder Nebenpunkt eine neue willkürliche Constante einführt, müssen wir also noch $n+3p-3$ willkürliche Nebenpunkte adjungiren.

Wollen wir bei gegebenem algebraischem Gebilde und gegebenen Hauptpunkten doch so viele Parameter in der Differentialgleichung haben, als in der allgemeinen Monodromiegruppe enthalten sind, so müssen wir die Differentialgleichung mit $n+3p-3$ beweglichen Nebenpunkten ausstatten.

3. Was für Functionen verhalten wir, wenn wir nur Nebenpunkte zulassen?

a) Bei $p=0$ treten dann überhaupt keine Substitutionen auf, η reproduziert sich also bei jedem Umlauf, ist folglich eine eindeutige Function in der ganzen x -Ebene. Da wir meistlich singuläre Stellen ausschließen, so ist η eine rationale Function von x :

$$\eta = R(x).$$

Die Annahme, dass nur Nebenpunkte vorhanden sind, ergibt für $p=0$ das triviale Resultat,

dass η eine rationale Funktion von x ist.

c.) Anders liegt die Sache schon bei $p=1$. Da sind noch zwei Periodenwege möglich, so dass wir im Allgemeinen eine Gruppe mit zwei Erzeugenden A und B haben.

Wir fragen, wie sich die Funktion η verhalten wird, wenn wir u als unabhängige Variable einführen?

Denken wir uns die u -Ebene mit ihrer Parallelagrammeinteilung konstruiert; dann liegen in jedem Parallelagramm eine gewisse Anzahl von Nebenpunkten, in deren Umgebung aber η eindeutig ist; Verzweigungspunkte für η gibt es aber in der ganzen u -Ebene nicht.

Da die u -Ebene mit dem einen wesentlich singulären Punkt im Unendlichen als Begrenzung ein einfach zusammenhängendes überall schlichtes Gebiet ist, so muss η , weil es überall unverzweigt ist, auch eindeutig sein. Bloß

Im Falle $p=1$ ist η eine eindeutige Funktion von u . Was aber geschieht mit η , wenn wir u um eine Periode w , oder w_2 vermehren? Einer Vermehrung des u um w , entspricht auf der geschlossenen Riemann'schen Fläche ein geschlossener Periodenweg A, einer Ver-

mehrung um w_2 ein Periodenweg B. Längs des ersten Periodenwegs aber erleidet η die gleich benannte lineare Substitution A, längs des zweiten die Substitution B. Wir erhalten also den Satz:

η ist eine eindeutige Function von u , welche bei Vermehrung des Arguments u um Perioden bestimmte lineare Substitutionen erleidet.

$$\eta(u + w_1) = A\eta(u), \quad \eta(u + w_2) = B\eta(u).$$

Diese Functionen sind insbesondere von Picard im Anschluß an frühere Untersuchungen von Hermite ausführlich behandelt worden.

Auf die explizite Darstellung derselben durch elliptische Θ -Functionen können wir hier nicht eingehen; nur ein Resultat, welches aus rein gruppentheoretischen Prinzipien folgt, wollen wir hier noch hervorheben:

Wir bilden uns $\eta(u + w_1 + w_2)$ auf zweierlei Weise, indem wir u einmal erst um w_1 , dann um w_2 vermehren, ein andermal indem wir u erst um w_2 , dann um w_1 vermehren. Beidemal muß man, da η in der u -Ebene eindeutig ist, zum selben Resultat gelangen, nämlich

$$AB\eta(u) = BA\eta(u).$$

Das heißt:

Die beiden Substitutionen A und B erweisen sich als vertauschbar.

Dies konnten wir aber, von vornherein wissen. Denn die Fundamentalrelation

$$ABA^{-1}B^{-1} = 1$$

geht, indem wir auf beiden Seiten BA noch rechtszusetzen, unmittelbar in $AB \cdot BA$ über, und umgekehrt folgt aus $AB \cdot BA$ die Fundamentalrelation in der von uns angegebenen Gestalt. Also:

Die Vertauschbarkeit von A und B ist gerade das, was im vorliegenden Falle die Fundamentalrelation besagt.

4.) Auf den Fall $p > 1$ ohne Hauptpunkte gehe ich hier nur zu dem Zwecke ein, um zu sagen, wie es nicht ist, um falschen Analogieschlüsse vom $p=1$ auf $p>1$ vorzubeugen, welche in der That gelegentlich gemacht worden sind.

Dieselbe Rolle, wie das überall endliche elliptische Integral u im Falle $p=1$, spielen in vielen auf höheres p bezüglichen Untersuchungen die überall endlichen Abel'schen Integrale u_1, u_2, \dots, u_p . z.B. lassen sich die algebraischen Funktionen s und z des algebraischen Gebildes als eindeutige $2p$ -fach periodische Funktionen

der zusammengehörigen Werte w_1, w_2, \dots, w_p ausdrücken, nämlich mit Hilfe der höheren Ω -Funktionen.

Man könnte nun nach der Analogie des Falles $p=1$ vermuten, dass auch η durch w_1, w_2, \dots, w_p eindeutig darstellbar wäre, etwa mit Hilfe von Ω -Funktionen. Dem ist aber nicht so. Wir sagen zunächst:

Die Änderungen von w_1, w_2, \dots, w_p bei Durchlaufung verschiedener Periodenwege sind immer commutativ, weil es sich ja nur um Hinzufügung additiver Constanten handelt.

Man kommt also von einem Ausgangswertesystem w_1, w_2, \dots, w_p zu demselben Wertesystem $w_1 + w_{11} + w_{12}, w_2 + w_{21} + w_{22}, \dots, w_p + w_{p1} + w_{p2}$, einerlei ob man den Weg A_1 , oder den Weg A_2 zuerst durchläuft. Wenn also η eindeutig in w_1, w_2, \dots, w_p sein soll, so muss es ebenfalls denselben Wert erlangen, einerlei ob man den Weg A_1 , oder A_2 zuerst durchläuft, d. h.

η kann nur dann eindeutig in w_1, w_2, \dots, w_p sein, wenn alle linearen Substitutionen, welche η bei beliebigen Umläufen auf der Riemann'schen Fläche erleidet, commutativ

sind.

Zur Veranschaulichkeit der φ_p Substitutionen A, B liegt aber hier gar kein Grund vor.

Denn die eine Fundamentalrelation

$$A, B, A_1^{-1}B_1^{-1} \dots A_p B_p A_p^{-1}B_p^{-1} = 1$$

kann unmöglich die vielen voneinander unabhängigen Relationen zur Folge haben, welche in der Veranschaulichkeit der φ_p Substitutionen untereinander liegen würden.

Danach ist folgendes die Sachlage, wenn wir uns daran erinnern wollen, was wir im Wintersemester über die Tendenz der Functiontheorie, überall eindeutige Functionen statt vieldeutiger einzuführen, gesagt haben:

Bei $p=1$ ist das Integral einer Gattung nicht nur für die algebraischen Functionen, sondern auch für unsere Differentialgleichungen ohne Hauptpunkte die uniformisirende Variable. Bei $p > 1$ dagegen sind die Integrale $u_1, u_2 \dots u_p$ zwar für gewisse Zwecke als uniformisirende Variable brauchbar, aber nicht für unsere Functionen η .

Wir müssen hier nach einer andern Verallgemeinerung des elliptischen u suchen, welche das gewünschte leistet,

und welche nur für $p=1$ in das überall endliche Integral übergeht. Diese richtige uniformisirende Variable wird durch die Theorie der automorphen Functionen geliefert.

5. Wir wollen nun, um unsern Stoff einzuteilen und unsere Gesichtspunkte für die weiteren Untersuchungen richtig zu fassen, uns zunächst eine allgemeine Auffassung von der systematischen Stellung unserer η -Functionen innerhalb der Functionentheorie bilden.

Wie ordnen wir η in die Functionen ein, die wir auf algebraischen Gebilden bereits kennen? Wir können folgendermassen sagen: Die einfachsten Functionen auf einem algebraischen Gebilde sind diejenigen, welche sich bei Umläufen auf demselben reproduzieren, d.h. die algebraischen Functionen. Die Monodromiegruppe derselben reducirt sich auf die Identität

$$\eta' = \eta.$$

Die nächsthöheren Functionen sind diejenigen, welche sich bei Umläufen additiv ändern:

$$\eta' = \eta + \alpha$$

d. h. die Abel'schen Integrale.

Dann kommen die multiplikativen Functionen

$$\eta' = \alpha \eta,$$

die von Riemann gefundenen und von Appell neuerdings eingehender untersuchten „Integrale multiplikativer Functionen“:

$$\eta' = \alpha \eta + \beta,$$

und endlich folgen als naturgemäße Verallgemeinerung unsere η Functionen als solche Functionen, welche bei Umläufen allgemeine lineare Substitutionen erleiden:

$$\eta' = \frac{\alpha \eta + \beta}{\gamma \eta + \delta} !$$

Wir können diese Aufzählung noch fortsetzen, indem wir statt η die y_1, y_2 zu Grunde legen. Wir haben in y_1, y_2 zwei Functionen der Riemann'schen Fläche, die sich bei beliebigen Umläufen homogen linear substituieren:

$$y'_1 = \alpha y_1 + \beta y_2; \quad y'_2 = \gamma y_1 + \delta y_2.$$

Es liegt nahe, Systeme von $3, 4, \dots, n$ Functionen y_1, y_2, \dots, y_n von der entsprechenden Eigenschaft in Betracht zu ziehen. Das gibt uns diesen Functionen unseres algebraischen Gebildes, welche linearen Differentialgleichungen n-ter Ordnung genügen. Dann wieder können

vier Functionspaare . . . auf dem Gebilde
in Betracht ziehen, welche sich linear und
ganz, aber nicht homogen substituieren:

$y'_1 = \alpha y_1 + \beta y_2 + C_1$, $y'_2 = \gamma y_1 + \delta y_2 + C_2$,
etc. etc. Wir bekommen so eine systematische
Reihe bestimmter functionentheoretischer
Fragestellungen. Ich erinnere insbesondere
an das, was in Bd. I meiner Riemann'schen
Flächen auf pag. 155 über die Minimalflächen
theorie gesagt ist. Innerhalb des so entstehen-
den allgemeinen functionentheoretischen Programms
nehmen, unsere hier zu betrachtenden y'_1 , y'_2 , eine wohldefinierte
Stelle ein.

Do. d. 24. Mai 1894.] Wir wenden uns nun der Rie-
mann'schen Fragestellung zu, die uns fortan
immer begleiten wird.

In der Theorie der Abel'schen Functionen liegt
bekanntlich die Sache so, dass man, nachdem man
Periodicität und Unendlichkeitstellen als die we-
sentlichen Elemente eines Abel'schen Integraler
kannt hat, die Unendlichkeitstellen und gewisse
Eigenschaften der Periodicität vorgibt, und zuerst
ob die Functionen dadurch auf dem algebraischen Ge-
bilde eindeutig bestimmt sind. Da ergibt sich,

dass die Integrale z. B. dadurch eindeutig festgelegt werden können, dass man die reellen Teile ihrer sämtlichen Perioden vorschreibt.

Ganz entsprechend werden wir es für die Differentialgleichungen, zunächst der 2. Ordnung, auf einem algebraischen Gebilde machen. Wir geben von den singulären Stellen die Hauptpunkte vor und fragen uns, was wir von der Monodromiegruppe noch verlangen können, und ob wir der Monodromiegruppe insbesondere solche Eigenschaften auferlegen können, dass die Differentialgleichung dadurch eindeutig bestimmt ist.

Wir haben bereits vor Weihnachten des Riemann'schen Fragmenses gedacht, wo eine solche Frage formulirt wird. Da gibt Riemann - um gleich von beliebigen p zu sprechen - die ganze Monodromiegruppe, d. h. ihre $n+2p$ Erzeugenden beliebig vor, und fragt, ob es zugehörige Functionen, d. h. zugehörige Differentialgleichungen auf dem algebraischen Gebilde gibt. Damit das allgemein möglich sei, müssen natürlich mindestens $n+3p-3$ bewegliche Nebenpunkte zugelassen sein. Bei beliebiger Zahl der zugelassenen Nebenpunkte handelt es sich

dann natürlich nicht um eine einzige Differentialgleichung, sondern um ein ganzes System verwandter Differentialgleichungen.

Riemanns eigene Fragestellung läuft darauf hinaus, ob man bei gegebener Riemannscher Fläche und gegebenen Hauptpunkten die Monodromiegruppe beliebig vorgeben darf, um dadurch eine ganze Schar miteinander verwandter Differentialgleichungen festzulegen.

Wir sagten aber schon im vorigen Semester, dass wir mit dieser Fragestellung zur Zeit noch nicht vollständig durchdringen, weil wir die Eigenschaften der konformen Abbildung noch nicht genügend beherrschen. Wir werden daher die Frage etwas modifizieren, wie wir schon andeuteten, indem wir nicht die ganze Monodromiegruppe vorgeben, sondern ihr nur gewisse Eigenschaften auferlegen, dafür aber die Existenz von Nebenpunkten ausschließen, und in dem wir zu sehen, ob dadurch eine einzelne Differentialgleichung eindeutig sich charakterisieren lässt. In der That gibt es einige Entwicklungen, die in dieser Hinsicht erfolgreich gewesen sind. Diese darzulegen wird fortan unsere eigentliche Aufgabe sein.

Wir stellen uns in diesem Semester die Aufgabe eine Reihe von einzelnen Entwicklungen kennenzulernen, vermöge deren auf einer Riemann'schen Fläche mit gegebenen Hauptpunkten eine Differentialgleichung durch Eigenschaften ihrer Konodromiegruppe vollständig festgelegt ist.

Dabei wird die Methode der conformaten Abbildung ein neesentliches Hilfsmittel sein. Ich erinnere daran, das wir im vorigen Semester bei Untersuchung der hypergeometrischen Function alles durch unsere geometrische Methode erreicht haben. Die Betrachtung der verschiedenen Kreislogendreiecke gab uns eine Übersicht über den Zusammenhang der verschiedenen verwandten Functionen untereinander und die Untersuchung der Gestalt des einzelnen Kreislogendreiecks lieferte uns ein Bild vom Gesamtverlauf der η -Function. Des Weiteren beherrschten wir geometrisch die analytische Fortsetzung der Function. Ich weise eigentlich auf diese geometrischen Dinge darum mit besonderem Nachdruck zurück, weil z. T. manche andere Mathematiker behaupten, die

Geometrie sei in der Functionentheorie überflüssig, und man müsse alles rein analytisch machen. Wenn veruche es doch, nur eine einzige der genannten Entwickelungen, ohne Geometrie durchzuführen! Statt uns auf einen voreingenommenen Standpunkt für oder gegen eine Methode zu stellen, wollen wir lieber mit einer Methode etwas machen. Wenn die Anderen hinterher auch ohne Geometrie können, so werden sie immer noch die zweiten sein.

Wir denken uns die Riemann'sche Fläche, wie neulich, durch $2p$ Periodenwege und n nach den singulären Punkten hinlaufende Einschnitte in ein einfach zusammenhängendes Flächenstück ohne singuläre Punkte im Innern zerschritten. Ein Zweig η bildet die so zerschnittene Riemann'sche Fläche auf ein einfach zusammenhängendes Flächenstück ab, dessen $2n + 4p$ Ränder einander paarweise durch im Ganzen $n + 2p$ lineare Substitutionen zugeordnet sind. Und zwar sind die beiden Ufer eines nach einem singulären Punkte gehenden Einschnittes $A, B, \dots N$ je durch die entsprechende Substitution $A, B, \dots N$ verbunden, die Ufer

eines Periodenweges A_k jedoch durch die Substitution B_k und umgekehrt. In seinem Innern wird der Bereich dann und nur dann Windungspunkte enthalten, wenn die Differentialgleichung auch Nebenpunkte besitzt; im Übrigen kann er, auch ohne Windungspunkte im Innerin, doch in mannigfachster Weise über sich selbst hinweggreifen, wofür wir im Winter schon beim Dreiecksfall viele Beispiele kennen gelernt haben.

Dann sind wir im Winter dazu übergegangen, die η -Kugel als Fundamentalfläche einer Nicht-Euklidischen Maßbestimmung anzusehen, wobei sich eine lineare Substitution allgemein als eine Schraubenbewegung um eine Axe darstellt, welche die beiden Fixpunkte der Substitution auf der Kugel verbindet. In unserem Fall haben wir $n+2$ Erzeugende;

Die zugehörigen $n+2$ Schraubenachsen bilden zusammen den „Kern“ der Figur, und in diesen Kern ist unser Periodizitätsbereich eingehängt.“

Verwandte Periodizitätsbereiche sind jeweils in denselben Kern mit derselben Kanten aufeinanderfolge eingehängt.

Mit dieser allgemeinen Ausdrucksweise ist noch nicht viel gewonnen, und wir werden wohl bis auf Weiteres darauf verzichten müssen, viel über diese allgemeineren Bereiche zu sagen, da wir schon für $p=0, n=3$ mit dem allgemeinsten Falle nicht zustande gekommen sind. Wir haben uns, da der allgemeine Fall zu schwer war, im vorigen Winkel auf die symmetrischen Fälle beschränkt. Dann hatten wir es nur mit der conformen Abbildung einer Halbebene auf ein Kreisbogen Dreieck zu thun, welches durch seine Winkel im Wesentlichen völlig bestimmt war.

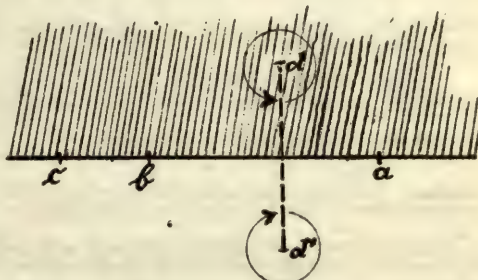
Wie wird sich in unserem allgemeineren Falle p, n das Problem vereinfachen, wenn wir uns ebenfalls auf den symmetrischen Fall beschränken? D. h. wenn wir uns nur mit Differentialgleichungen mit reellen Coefficienten beschäftigen? Sei zuerst $p=0, n$ beliebig. Die Verzweigungspunkte der Differentialgleichung müssen dann teils reell teils paarweise conjugirt complex sein, die zu den reellen Verzweigungspunkten gehörigen Exponentendifferenzen müssen reell oder rein imaginär sein, die zu den

conjugiert complexen Verzweigungspunkten gehörigen Exponentendifferenzen müssen conjugiert complexe Werte haben, und endlich die accessorischen Parameter müssen sämtlich reell sein. Wie bildet nun ein solches η die positive Halbebene x ab?

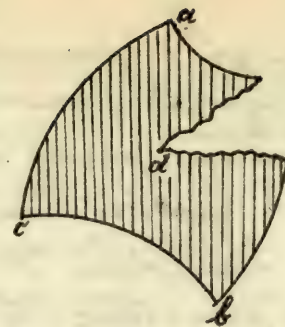
Zunächst sehen wir genau wie bei der hypergeometrischen Funktion: Teilstück der reellen Achse bildet sich als ein Kreisbogenab.

Wenn wir nun aber wie bei $n=3$ längs der reellen Achse zerschneiden und dann das Bild der einen Halbebene untersuchen, so bekommen

wir doch nur, wenn alle Verzweigungspunkte reell sind, ein gewöhnliches Kreisbogenpolygon. Wenn jedoch auch Paare complexer Verzweigungspunkte existieren, müssen wir Gebüfsbildung eines Zweigs von η auch diese noch in das Schnittsystem hereinziehen, indem wir etwa jedes Paar conjugierter Verzweigungspunkte je durch einen die reelle Achse kreuzenden Verzweigungsschnitt verbinden. Die über dieses Schnittes sind dann durch eine lineare



Substitution miteinander verbunden, schließen sich also bei der Abbildung in der η -Ebene keineswegs einander.



Wir bekommen so als Bild der Halbebene einen Bereich, der nur zum Teil von Kreisbögen begrenzt ist, zum Teil aber von Paaren anderer Randstücke, die durch lineare Substitutionen zusammengehören

Wir bekommen nur dann ein eigentliches Kreisbogenpolygon von n Seiten, wenn alle singulären Punkte reell sind und natürlich die Differentialgleichung selbst mit reellen Coefficienten vorausgesetzt ist.

Wenn hiernach die Behandlung der complexen Verzweigungspunkte zu schwer sein dürfte, werden wir uns in der Hauptsache auf reelle Verzweigungspunkte beschränken; aber auch dann noch stellt sich die Notwendigkeit heraus, dass sich jemand vorab in derselben Weise mit den allgemeinen Kreisbogenpolygonen beschäftigt, wie wir es im vorigen Semester mit den Kreisbogendreiecken gethan haben. In dieser Richtung liegen nur erst zwei Beiträge vor,

indem Herr Prof. Schönfliess einmal in Bd. 42 der Math. Ann. die geradlinigen Polygone untersucht hat, und neuerdings in Bd. 44 die Kreisbogenvierecke. Aber auch hierbei ist noch nicht alles so fertig, wie bei den Dreiecken.

Bei $p > 0$ werden wir zuerst fragen müssen, was überhaupt ein reelles algebraisches Gebilde ist? Wie die Riemann'sche Fläche eines solchen sich von anderen Riemann'schen Flächen unterscheidet? Wir kommen hiermit auf eine Theorie, die ich im Sommer 1892 ausführlich entwickelt (Riemann'sche Flächen II) und in Math. Ann. 42 veröffentlicht habe (Über Realitätsverhältnisse bei der Normalcurve der η). Die Grundauffassung ist die, dass zu einer reellen algebraischen Gleichung eine symmetrische Riemann'sche Fläche gehört.

Eine symmetrische Riemann'sche Fläche ist eine solche, welche durch eine conforme Abbildung zweiter Art, bei der die Winkel umgelegt werden, in sich selbst übergeht.

Wenn man das algebraische Gebilde statt durch eine Riemann'sche Fläche durch eine algebraische Curve darstellt, so findet man:

Die reellen Züge der Curve sind die Symmetrielinien der Fläche.

Wir fragen nun, welche Fläche in Bezug auf die Symmetrie zu unterscheiden sind, wie viel Symmetrielinien, resp. reelle Curvenzüge es gibt? u. s. w.

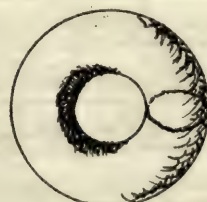
Wir schliessen dabei jetzt ausdrücklich die Fälle aus, wo eine Riemann'sche Fläche sich selbst auf mehrere Weisen symmetrisch ist, wo also ein algebraisches Gebilde auf mehrere reelle Weisen in Erscheinung treten kann.

Da bietet sich uns die Einteilung der symmetrischen Flächen in orthosymmetrische und diasymmetrische; unter orthosymmetrischen Flächen versteht man nämlich solche Flächen, die längs ihrer Symmetrielinien zerschnitten in zwei Stücke zerfallen, unter diasymmetrischen solche, welche dann immer noch zusammenhängendbleiben. Bei jeder Art sind noch eine Reihe von Unterarten zu unterscheiden je nach der Anzahl der Symmetrielinien, woüber ich morgen noch einiges weniger sagen will.
Fr. d. 25. Mai 1894.] Die orthosymmetrischen Flächen können $p+1, p-1, p-3 \dots$, allgemein $p+1-2\pi$ Symmetrielinien besitzen bis zu 2

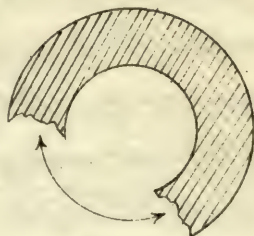
(bei ungeradem p) oder 1 (bei geradem p) herunter, die diasymmetrischen Flächen können $p, p-1, p-2 \dots 2, 1, 0$ Symmetrielinien besitzen:

Ersichtlich trifft nur bei den orthosymmetrischen Flächen die Vereinfachung ein, dass wir nur die Hälfte des algebraischen Gebildes, wie im Falle $p=0$ die Halbebene, auf die η -Ebene abzubilden brauchen, um von da nach dem Prinzip der Symmetrie weiter zu gehen.

Aber die Abbildung der Hälfte des algebraischen Gebildes auf ein einfache zusammenhängendes η -Polygon ist doch noch nicht ohne weiteres möglich, weil für $p > 0$ auch die einzelne Hälfte der Riemann'schen Fläche nicht höheren Zusammenhang besitzt, und man also um ein einfache zusammenhängendes Flächenstück zu bekommen, in welchem η eindeutig ist, noch weitere Querschnitte einführen muss. (wobei ich von dem Auftreten conjugirter imaginärer Verzweigungspunkte noch absiehen will). Man denke sich z. B. einen Kreisring, dessen Vorder & Hinterseite zu einander symmetrisch sind, längs der beiden Symmetrielinien, nämlich des innern



und des äußeren Breitenkreises aufgeschnitten. Dann bildet die eine, etwa die vordere, Hälfte immer noch ein zweifach zusammenhängendes Flächenstück, in welchem noch ein geschlossener nicht auf einen Punkt zusammenziehbarer Umlauf möglich ist, in welchem also η noch im Allgemeinen mehrdeutig ist. Man muss noch längs einer Meridiancurve ausschneiden, um ein eindeutiges η zu erhalten; es fügen sich dann aber in der η -Ebene die Ränder dieses Schnittes nicht aneinander, sondern sie sind durch eine lineare Substitution mit einander verbunden. Also:



Die Hälfte einer orthosymmetrischen Fläche $\rho > 0$ ist immer noch eine mehrfach zusammenhängende Fläche und es bedarf weiterer Querschnitte, um sie in eine einfach zusammenhängende Fläche zu verwandeln und um von einer einzelnen zugehörigen η -Function einen einzelnen Zweig abzuspalten.

Infolgedessen wird man in der η -Ebene im Allgemeinen einen Bereich bekommen, welcher neben einer Anzahl kreisförmiger

Kanten, welche den Symmetrielinien entsprechen, noch eine Anzahl Hülfskanten aufweist, die paarweise durch lineare Transformation aufeinander bezogen sind.

Direct Kreisbogenpolygone entstehen also von speziellen Fällen abgesehen (wo die zu den Hülfskanten gehörigen Substitutionen sich auf die Identität reduzieren) bei der Abbildung nur dann, wenn es sich um eine reelle Differentialgleichung auf einem Gebilde $p=0$ handelt und alle singulären Punkte reell sind.

Das ist's, was ich speziell über reelle Differentialgleichungen den gestrigen allgemeinen Bemerkungen über Periodicitätsbereiche hinzufügen wollte. Damit schließe ich meine allgemeinen Vorbemerkungen, um mich nun zur Besprechung spezieller Fragen zu wenden. Diese speziellen Fragen, mit denen wir uns beschäftigen wollen, werden alle folgenden Typus haben (dem wir schon gestern bezeichneten):

Gegeben ist eine Riemann'sche Fläche, gegen sind auf ihr die singulären Punkte; nun versucht man der zugehörigen Monodromiegruppe oder aber der zugehörigen conformen

Abbildung solche Bedingungen aufzuzeigen,
dass dadurch die Differentialgleichung gerade
eindeutig bestimmt wird.

Bevor ich mit diesen speziellen Problemen beginne, gestatten Sie mir einige allgemeine Gedanken über die Methoden der Mathematik voranzuschicken.

1. Die Geometrie der Alten, wie ihre Mathematik überhaupt ist wesentlich synthetisch, dieses Wort im alten eigentlichen Sinne verstanden. Ich meine damit, dass aus einzelnen Überlegungen allmählich ein Satz, aus einzelnen Sätzen ein Lehrgebäude mühsam zusammengesetzt wird, dass ein allgemeiner Satz so gewonnen wird, dass man der Reihe nach alle Specialfälle erledigt. [Was man in der modernen Mathematik unter „synthetischer Geometrie“ versteht, hat mit der alten Bedeutung des Wortes „synthetisch“ nichts zu thun; die moderne Bezeichnung „synthetische Geometrie“ will nur einen Gegensatz zur „analytischen Geometrie“ ausdrücken, und meint, dass die synthetische Geometrie sich ihres eignen Algorithmus bedient, der von der Betrachtung projectiver Punktreihen ausgeht, während

die „analytische Geometrie“ den Algorithmus der Analysis, der Algebra heranzieht. Im engen Sinne „synthetisch“ ist das eine so wenig wie das andere.]

2. Dem gegenüber ist der modernen Mathematik ein Charakterzug eigentümlich, den Sie alle kennen, und den ich als „algorithmisch“ bezeichnen möchte, da das Wort analytisch der Missdeutung zu sehr ausgesetzt ist. Damit meine ich folgendes: Wenn z.B. die Kegelschnitte untersucht werden sollen, so behandeln die Alten zuerst nacheinander die Eigenschaften des Kreises, der Parabel, der Ellipse, der Hyperbel, untersuchen z.B. unter welchen Umständen eine Gerade zwei, einen oder keinen Punkt mit der Curve gemein hat. Die algorithmische Methode dagegen, durch die moderne analytische Geometrie repräsentirt, setzt von vornherein die allgemeine Gleichung zweiten Grades an, und sagt, dass die selbe mit einer linearen Gleichung immer zwei Wurzeln gemein habe, dass also eine gerade Linie einen Kegelschnitt immer in zwei Punkten trifft. Trifft sie ihn tatsächlich nur in einem Punkte, so sagt man eben, das sind doch

zwei Punkte, sie fallen nur zusammen, und trifft sie ihn in Wahrheit gar nicht, so sagt man wieder, sie trifft ihn doch in zwei Punkten, die nur imaginär sind. Man erreicht also durch gewisse Verabredungen, durch geeignete verallgemeinernde Modifikation der Grundbegriffe, dass man allgemeine Sätze aussagen kann und dass man nur allgemeine Schlussreihen aneinanderzusetzen braucht, um allgemeine Resultate zu bekommen. Diese Farschaft der allgemeinen Schlussmethode, des Algorithmus, ist es, was ich als „algorithmisches Verfahren“ bezeichne.

3. Nun ist es das merkwürdige, dass die neueste Mathematik vielfach wieder synthetisch wird, wie die der Alten. In die Funktionstheorie z. B. hat man ja ursprünglich die complexen Gräßen $x + iy$ eingeführt, weil sich zeigte, dass man dadurch allgemeingültige Sätze erhält, z. B. dass eine Gleichung $f(z) = 0$ vom nten Grade immer n Wurzeln besitzt. Es schien recht eigentlich der Zweck der Functionentheorie von $x + iy$, allgemeingültige Sätze zu gewinnen, und noch vor 30 Jahren glaub-

te man, man habe in der That ein für alle denkbaren Functionen allgemeine Satze lieferndes Verfahren. Da kann die Göre Entdeckung der natürlichen Grenzen, welche den Functionentheoretiker wieder zu ausführlichen Fallunterscheidungen, d. h. zur synthetischen Methode zwingt; dies ist natürlich nur ein einzelnes Beispiel.

4. Man kann sich wohl die Auffassung eilen, dass noch der jetzt wieder beginnenden synthetischen einzelnen Material zusammentragenden Periode wiederum eine jüngere Generation kommen mag, welche den richtigen Standpunkt der Allgemeinheit finden wird, um das, was wir synthetisch Grundstückweise schaffen, auf algorithmischen Wege unter höherem Gesichtspunkt aus einem Guss fertig hinzustellen.

Jetzt aber geht in der gesammten Mathematik überall das Wiedereinsetzen der synthetischen Methode neben der algorithmischen her, und man kann die Probleme, die sich in den einzelnen Disciplinen bieten, sehr wohl danach unterscheiden, ob sie unter die eine oder die andere Behandlungsweise fallen. Ich glaube

man kann den Wert der beiden Methoden so gegeneinander abwägen: Seit der algorithmischen Methode bekannt man, wo sie überhaupt anwendbar ist, sicher etwas heraus, und zwar allgemeine, vielumfassende Sätze; es ist das aber dann weniger das Verdienst des einzelnen Mathematikers, sondern er arbeitet mit dem Kapital seiner Vorgänger, mit dem Vorrate von Ideen, den frühere Mathematiker durch Schaffung des Algorithmus angehäuft haben. Anders bei der synthetischen Methode; da kommt alles darauf an, den richtigen neuen Gedanken zu haben, da kann man nicht wissen, ob man etwas findet, da muss man seinen Weg selbst schaffen. Was man erreicht, ist vielleicht wenig, dafür aber in höherem Maße das Eigentum des Forschers. Der Algorithmus führt weiter in objectiver Hinsicht, aber nicht subjectiv; man ist weniger gezwungen selbstständig zu denken. Der Algorithmus gleicht dem Reisen mit der Eisenbahn, welches rasch und weit vorwärts führt, doch nur durch cultivirte Legenden, die synthetische Methode ist die

des Ansiedlers, der mit der Axt mühsam im Urwald vordringt und neue Gebiete der Cultur erobert. Gedenfalls muss die letztere Arbeit der ersten vorangehen.

Für eine Arbeit, die in gegebener Zeit fertig sein und gewiss zu einem abgeschlossenen Resultate kommen soll, ist ein Problem, welches algorithmische Behandlung zulässt, unstreitig zweckmässiger, während ein Problem der andern Art nur langsam vorwärts zu bringen ist, und dann gewöhnlich nach zu keinem völligen Abschluss führt, wie Sie an den letzten hiesigen Dissertationen von Schilling, van Vleck, Woods sehen, die sämtlich der zweiten Art angehören.

In dieser Vorlesung werden wir Probleme beiderlei Art behandeln, nämlich

a. Fragen algorithmischer Art, indem wir uns an die Ideenbildungen von Picard und Vessiot anschliessen, und ins Besondere die Frage nach der algebraischen Integrierbarkeit und die Theorie der Lamé'schen Polynome heranziehen werden.

b. Fragen synthetischer Art, wo uns

die allgemeinen Methoden im Stich las-
sen, zuerst das Oscillationstheorem, und
dann die Fundamentalsätze der auto-
morphen Funktionen, wo es sich darum
handelt, wann die η -Function eindeu-
tig umkehrbar ist.

Die Untersuchungen unter a. sind
leicht zu verallgemeinern, z. B. für Dif-
ferentialgleichungen 3. Ordnung, wäh-
rend bei denen der zweiten Gruppe noch
gar keine Möglichkeit einer solchen
Verallgemeinerung auch nur von ferne
zu sehen ist. Trotzdem wird man ih-
nen eine ganz besondere Bedeutung
nicht absprechen wollen.

II. Frage, betreffend die Rationalitäts- Gruppe.

Mö. d. 28. Mai 1894.] In dem jetzt zu beginnenden Teile der Vorlesung, der diejenigen Fragen behandeln soll, die eine mehr algorithmische Betrachtungsweise gestatten, werde ich mich im Wesentlichen an die Entwicklungen von Picard und Vessiot anschliessen, deren Grundideen ich bereits im vorigen Semester (Autographie S. 510-513), und früher in der Vorlesung über Höhere Geometrie II (Aut. S. 266-290) auseinandergesetzt habe.

Man bildet sich zunächst die Idee der „algebraischen Gruppe“, indem man hierunter eine solche Gruppe versteht, deren Substitutionen sich durch eine endliche Anzahl verschiedener Formeln ausdrücken lassen, in denen etwaige Parameter nur algebraisch vorkommen. Diese Begriffsbestimmung ist darum wichtig, weil nur zu algebraischen Gruppen algebraische Invarianten gehören, zu transzendenten Gruppen transzendente Invarianten (letzteres, wenn sie nicht zugleich zu einer umfassenderen Gruppe gehören sollen). Solcher algebraischer Gruppen gibt es für die linearen Substitutionen einer

Variablen η folgende 12, bei denen zugleich die
zugethörige einfachste rationale Differentiallin-
variante angegeben ist:

1.)	$\eta_1 = \eta$	Identität	Invariante:	η
2.)	$\eta_1 = \epsilon^p \eta$	Kreisteilungstypus	"	η^n
3.)	$\eta_1 = \epsilon^p \eta, \frac{\epsilon^p}{\eta}$	Diedertypus	"	$\eta^4 + \frac{1}{\eta^4}$
4.)		Tetraedergruppe		
5.)		Octaedergruppe		
6.)		Icosaedergruppe	"	$\frac{\mathcal{H}^3(\eta)}{128\pi^5(\eta)}$
7.)	$\eta_1 - \alpha\eta$	Erweiterter Kreisteilungstypus	"	$\frac{\eta'}{\eta}$
8.)	$\eta_1 - \alpha\eta, \frac{\alpha}{\eta}$	" Diedertypus	"	$(\frac{\eta'}{\eta})^2$
9.)	$\eta_1 - \eta + \beta$			η'
10.)	$\eta_1 - \epsilon^p \eta + \beta$		"	$(\eta')^n$
11.)	$\eta_1 - \alpha\eta + \beta$		"	$\frac{\eta''}{\eta'}$
12.)	$\eta_1 - \frac{\alpha\eta + \beta}{\eta + \alpha}$		"	$\frac{\eta''}{\eta'} - \frac{3}{2}(\frac{\eta''}{\eta'})^2$

Diese Reihenfolge der 12 möglichen algebraischen Gruppen wird ein rationelles Einteilungsprinzip für die Differentialgleichungen für die η -Funktion abgeben.

Zuvörderst jedoch muss ich auf die Gruppen der Tabelle selbst noch etwas eingehen, indem ich einige allgemeine Bemerkungen über dieselben gebe:

1. Jede Gruppe ist auf ein besonders gewähltes Koordinatensystem bezogen.

Z. B. in 7.), welche sich im Allgemeinen dahin charakterisieren lässt, dass es zwei Punkte

gibt, die bei allen Substitutionen der Gruppe festbleiben, ist der eine derselben zum O Punkt, der andere zum unendlich fernen Punkt der Variablen η gewählt, in 9) 10) 11), wo immer ein Punkt bei allen Substitutionen festbleibt, ist dieser zum Punkt $\eta = \infty$ gemacht worden.

2. Ich will folgende Sprechweise gebrauchen:

Eine Gruppe ist kleiner als eine andere, wenn sie nur einen Teil der Operationen der letzteren umfasst.

z. B. ist 1) kleiner als alle folgenden Gruppen, 4) ist kleiner als 5) u. s. w.

3. Es würde nicht schwer sein, für zwei und auch für 3 homogene Veränderliche die entsprechende Liste sofort hinzuschreiben, wobei natürlich längere Tabellen entstehen müssen.

Dies würde in Betracht kommen, wenn man die linearen homogenen Differentialgleichungen 2ter und 3ter Ordnung genau ebenso untersuchen wollte, wie jetzt die inhomogene Differentialgleichung 3. Ordnung für η .

Was hat nun die Aufzählung der algebraischen Gruppen überhaupt mit unserer Differentialgleichung

$$[R] = R(x) \text{ bzw. } = R(s, x)$$

zu thun?

Unter der „Rationalitätsgruppe“ der vorgelegten Differentialgleichung versteht man diejenige unter den 12 algebraischen Gruppen, welche eine doppelte Eigenschaft hat:

1. jede rationale Function $P(\eta, \eta', \eta'', \dots, s, x)$ der geeignet herausgewählten Particularlösung η und ihrer Differentialquotienten, welche bei den Substitutionen der Rationalitätsgruppe numerisch ungeändert bleibt, ist eine rationale Function von s und x ;

2. jede rationale Function von $\eta, \eta', \eta'', \dots$, welche eine rationale Function von s und x ist, bleibt bei den Operationen der Rationalitätsgruppe numerisch ungeändert.

In welchem Verhältnisse steht die Rationalitätsgruppe zur Monodromiegruppe der vorgelegten Gleichung? Letztere Gruppe, ist immer eine discontinuirliche Gruppe.

Wir halten hier der Einfachheit halber an der Idee fest, dass die Differentialgleichung nur reguläre singuläre Punkte besitzt, dass η also auf der Riemann'schen Fläche (s, x) keine wesentlich singulären Stellen besitzt. Unter dieser Voraussetzung gilt folgender

sonst nicht so einfach anzusprechende Satz:

Die Rationalitätsgruppe einer vorgelegten Gleichung ist unter den 12 möglichen algebraischen Gruppen die kleinste Gruppe, in der die Monodromiegruppe als Untergruppe enthalten ist.

Dies ist noch etwas zu erläutern. Nehmen wir an, eine $P(\eta, \eta', \dots)$ bleibe bei der so definierten algebraischen Gruppe numerisch unverändert. Dann muss sie auch bei der Monodromiegruppe als einer Untergruppe jener ersten algebraischen Gruppe unverändert bleiben, d. h. sie muss bei geschlossenen Umläufen von s und x auf der Riemann'schen Fläche unverändert bleiben, also eine eindeutige Funktion auf der Riemann'schen Fläche sein. Da nun aber für η , folglich auch für $P(\eta, \eta', \eta'', \dots)$ jede wesentlich singuläre Stelle ausgeschlossen ist, so kann diese eindeutige Funktion nur eine algebraische Funktion der Fläche sein, d. h. eine rationale Funktion von s und x .

Unsere eindeutige Function ist rational in x und s , weil sie nach Voraussetzung nur außer wesentlich singuläre Punkte hat.

Wir schließen daraus, dass die betreffende algebraische Gruppe entweder selbst die Rationalitätsgruppe ist, oder letztere als Untergruppe enthält.

Wenn zunächst noch zweifelhaft ist, ob unsere Gruppe die Rationalitätsgruppe selbst ist oder die Rationalitätsgruppe in sich enthält, so wird dieser Zweifel dadurch beseitigt, dass wir sagen, unsere Gruppe solle die kleinste sein, welche die Monodromiegruppe in sich enthält.

Wir fahren fort:

Durch diese Betrachtung selbst wird die Frage erledigt, ob es denn nur eine kleinste algebraische Gruppe gibt, in der unsere Monodromiegruppe enthalten ist.

In der That kann es nur eine solche „kleinste“ algebraische Gruppe geben, weil doch nur eine Rationalitätsgruppe existiert. —

Dies war das Verhältniss der Rationalitätsgruppe zur Monodromiegruppe; wir wollen dies aber auch noch geometrisch wenden, indem wir das Verhältnis der Rationalitätsgruppe zum Periodicitätsbereich untersuchen. Da ist zu sagen:

Die Rationalitätsgruppe einer gegebenen Gleichung ist diejenige kleinste algebraische Gruppe, der sämtliche Schraubenbewegungen angehören, durch welche die Kanten des Periodicitätsbereichs paarweise zusammengeordnet sind.

Was heißt das in *concreto*? Ich werde mich immer vorzüglich auf 3 Beispiele als die wichtigsten oder typischsten beziehen, nämlich auf die Gruppen 1), 6), 11); Wir fragen also insbesondere, was es geometrisch für den Periodicitätsbereich bedeutet, wenn die Rationalitätsgruppe die Gruppe 1), 6) oder 11) ist. Wenn 1) die Rationalitätsgruppe ist, so kommen gar keine von der Identität verschiedene Substitutionen, also als Schraubenbewegungen nur volle Umdrehungen vor. Der Periodicitätsbereich ist also eine geschlossene Riemann'sche Fläche, da seine Kanten sämtlich paarweise aneinander passen. In der That, da η eine rationale Funktion von x und s ist, so wird die Riemann'sche Fläche x, s eindeutig auf eine geschlossene Riemann'sche Fläche über der η -Kugel abgebildet.

Wenn die Gruppe 6), die Ikosaederguppe, die Rationalitätsgruppe ist, so liegen folgende geometrischen Verhältnisse vor:

Damit die Rationalitätsgruppe einer η -Differentialgleichung die Ikosaedergruppe sei, ist notwendig, dass alle Schrauben aus dem Kern, welche nicht identische Substitutionen

liefern, in die 6 fünfzähligen, 10 dreizähligen, 15 zweizähligen Lösen des Ikosaeders hinein fallen, und dass die zugehörigen Schraubenbewegungen Drehungen um $\frac{9}{5}$, $\frac{6}{3}$, $\frac{5}{2}$ des Kreisumfangs sind. (9, 6, 5 ganze Zahlen)

Außerdem ist natürlich notwendig, dass unsere Schraubenbewegungen nicht schon einer Untergruppe des Ikosaeders, d. h. einer Tetraedergruppe, oder einer geeigneten Diedergruppe, oder Kreisteilungsgruppe angehören.

Die Gruppe 11) als Spezialfall 10) oder 9) liegt vor, wenn alle Schraubenbewegungen des Kerns einen Fügelpunkt unverändert lassen, den wir dann als ∞ -Punkt wählen, d. h. wenn alle Schraubenoäcen des Kerns, zu denen nicht identische Schraubenbewegungen gehören, durch einen festen Punkt der Fügel hindurchlaufen.

Di. d. 29. Mai 1894.] Indem wir uns auf den Fall einer reellen Differentialgleichung $p=0$ mit reellen Verzweigungspunkten beschränken, wo wir als Abbild der Halbebene ein Kreisbogenpolygon haben, werden wir sagen:

Im Falle 1) darf dieses Kreisbogenpolygon nur von einer einzigen Kreislinie begrenzt sein.

Im Falle 6) muss das Kreisbogenpolygon von den Symmetriekreisen des Ikosaeders begrenzt sein, (deren es 15 gibt).

Im Falle 11) wird sich das Kreisbogenpolygon als geradliniges Polygon zeichnen lassen. Denn die begrenzenden Kreislinien müssen alle dort den festbleibenden Punkt der Kugel hindurchlaufen und ergeben also, wenn man von diesen aus stereographisch auf die Ebene projiziert, gerade Linien.

Nach diesen allgemeinen Erörterungen gehen wir an die spezielle Durchführung der Theorie. Dabei gliedere ich die Betrachtung immer so, dass ich bei jedem unserer 12 Typen folgende drei Fragestellungen unterscheide:

1. Aufstellung der η -Differentialgleichung in independenter Form;
2. Einordnung einer vorgelegten Differentialgleichung;
3. Festlegung etwaiger Parameter in der Differentialgleichung, so dass eine Differentialgleichung von gegebenem Typus resultirt.

Was diese drei Fragestellungen betrifft, so will ich dazu historisch vorerst folgendes bemerken: Es rubricieren hier drei Probleme, welche

die Mathematiker besonders beschäftigt haben.

a. Wann ist eine η -Differentialgleichung algebraisch integrierbar? Die Antwort hierauf lautet, dass dies gerade in den Fällen 1)-6) und nur in diesen der Fall ist.

Die Frage nach der algebraischen Integrierbarkeit ist also von selbst mit erledigt, wenn wir unsere Hauptfragen von 1) bis 6) erledigen.

b. Andere Mathematiker fragen nur, wann die Differentialgleichung reducibel ist, indem sie hierunter den Fall verstehen, wo die lineare Differentialgleichung 2. Ordnung für η auf eine solche niedrigerer Ordnung zurückgeführt werden kann.

Bei genauerer Untersuchung zeigt sich, dass das gerade die Fälle 1) 2) 3) 11) unserer Tabelle sind. Wir sagen also:

Die Frage, ob die Differentialgleichung für η reducibel ist oder nicht, kommt darauf hinaus, dass wir die Fälle 1) 2) 3) 11) unseres Schema's charakterisieren.

c. Theorie der Lame'schen Polynome. Ich behaupte, dass diese Theorie ein Beispiel für die Fragestellung 3) beim Typus 11) ist. Ich muss dies etwas ausführlicher erläutern.

Was ist überhaupt ein Lamé'sches Polynom?
 Es seien a, b, c, \dots, n die singulären Punkte
 $\alpha, \beta, \gamma, \dots, \nu$ die Exponentendifferenzen der Dif-
 ferentialgleichung mit beliebigem Vorzeichen
 genommen. Dann können wir ja η in zwei
 homogene Formen spalten

$$\eta = \frac{\Pi_1}{\Pi_2},$$

welche an den singulären Stellen die Exponenten
 0 und $\alpha, 0$ und β, \dots haben und vom Grade
 $\underline{\alpha + \beta + \gamma + \dots + \nu + 2 - n}$ sind.

Da kann nun ² der besondere Fall sein, dass
 eine der Particularlösungen sagen wir Π_2 selbst
eine rationale ganze Form ist:

$$\Pi_2 = q_k(x_1, x_2).$$

Dieses $q_k(x_1, x_2)$ nennt man - natürlich in viel
 allgemeinerem Sinne, als sie bei Lamé selbst
 vorkommen - ein Lamé'sches Polynom.

Wann tritt nun der geschilderte Fall ein?

Das Normal- Π_2 zweiter Art ist durch die Formel
 definiert:

$$\Pi_2 = \sqrt{\frac{dx}{d\eta}} (x_a)^{\frac{\alpha-1}{2}} (x_b)^{\frac{\beta-1}{2}} \dots (x_n)^{\frac{\nu-1}{2}}.$$

Daraus gewinnt man umgekehrt für η den Aus-
 druck:

$$\eta = \int (x dx) \cdot \frac{(x_a)^{\alpha-1} (x_b)^{\beta-1} \dots (x_n)^{\nu-1}}{q_k(x_1, x_2)^2}$$

Wir haben also für η einen Ausdruck in Form eines unbestimmten Integrals über einer multiplikativen Funktion gewonnen. Ein solches Integral kann aber bei geschlossenen Umläufen der Variablen nur Substitutionen von der Form

$$\eta_1 = \alpha \eta + \beta$$

erleiden, und wir haben daher den Satz:

Wenn die Differentialgleichung 2. Ordnung ein Lame'sches Polynom als Lösung zulassen soll, so muss η die Gestalt eines unbestimmten Integrals haben, und wir haben also einen Fall des Typus 11) oder insbesondere Fälle zu № 10 oder № 9 vor uns.

Umgekehrt, wenn ein Fall 11) oder 10) oder 9) vorliegt, so wird η ein unbestimmtes Integral sein und wir werden aus dem Kenner von η ein Lame'sches Polynom entnehmen.

Damit wissen wir in abstracto was Lame'sche Polynome sind. In der Theorie derselben stellt sich aber die Sache so, dass man zunächst eine Differentialgleichung 2. Ordnung mit einer gewissen Anzahl noch willkürlicher Parameter hat, und dass man nun fragt, ob und wie man dieser Parameter so festlegen kann, dass ein Lame'sches Polynom als Lösung auftritt?

Die Theorie der Lamé'schen Polynome wird so gewendet, dass man verlangt, in einer vorgelegten Differentialgleichung die noch unbekümmten accessorischen Parameter so zu bestimmen, dass der Fall des Lamé'schen Polynoms vorliegt.

Also in der That die Theorie der Lamé'schen Polynome ein Beispiel zu der Fragestellung 3).

Wir sehen aus diesen Bemerkungen, wie sich verschiedene Fragen, mit denen sich die Mathematiker in den letzten Fahrenzehnten beschäftigt haben, in unser allgemeines Schema einordnen lassen.

Fälle algebraischer Integrierbarkeit.

Nun geben wir zur Behandlung der einzelnen Typen über. Von den algebraischen Fällen 1) bis 6) will ich nur den Fall 1) und den Fall 6) als typische Beispiele untersuchen; dabei schließe ich mich an meine Darstellung in Math. Ann. 11. und 12. 1876-77 an.

Hist der Frage der algebraischen Integrierbarkeit überhaupt hat sich bekanntlich zuerst Fuchs beschäftigt in Crelle's Journal 81. 1875-76 und 83. 1877. Fuchs hat damals aber noch nicht die volle Aufzählung der endlichen Gruppen gehabt, und deswegen

lässen sich seine Resultate noch vervollständigen.

Im Falle 1) soll $\eta = \text{Rat}(x)$ sein; wir haben die betreffende Differentialgleichung zunächst independent aufzustellen.

Es sei $\eta = \frac{\varphi(x)}{\psi(x)}$, unter φ und ψ Polynome von mten Grade verstanden. Man findet:

$$\frac{\eta'''}{\eta'} - \frac{3}{2} \left(\frac{\eta''}{\eta'} \right)^2 = - \frac{3}{2} \left(\frac{\varphi''\psi - \varphi\psi''}{\varphi'\psi - \varphi\psi'} \right)^2 +$$

$$\frac{(\varphi'''\psi - \varphi\psi''') + 3(\varphi''\psi' - \varphi'\psi'')}{\varphi'\psi - \varphi\psi'}$$

Setzen wir zur Abkürzung

$$T = \varphi'\psi - \varphi\psi''$$

so kann man schreiben

$$\frac{\eta'''}{\eta'} - \frac{3}{2} \left(\frac{\eta''}{\eta'} \right)^2 = - \frac{3}{2} \left(\frac{T'}{T} \right)^2 + \frac{T'' + 2(\varphi''\psi' - \varphi'\psi'')}{T}.$$

Die rechte Seite dieser Gleichung muss eine einfache Covariante der beiden Polynome φ und ψ sein, und zwar eine sogenannte „Combinante“ derselben, d. h. eine solche Function, welche unverändert bleibt, wenn man für φ und ψ lineare Verbindungen derselben, $\alpha\varphi + \beta\psi$, $\gamma\varphi + \delta\psi$ einsetzt. In der That heißt das nichts anderes, als dass man für η eine lineare Funktion $\frac{\alpha\eta + \beta}{\gamma\eta + \delta}$ setzt, wobei ja die linke Seite unger

ändert bleibt. Wir wollen aber hierauf nicht weiter eingehen, sondern die functionentheoretische Seite mehr betonen, um gleich zu untersuchen, wann eine vorgelegte Differentialgleichung in der obigen Gestalt geschrieben werden kann.

Welches sind zunächst die singulären Punkte? Die singulären Punkte unserer Differentialgleichung erhalten wir durch Nullsetzen der Functionaldeterminante $\mathcal{F} = q'y - qy'$.

Was ferner die Exponenten betrifft, so ist zu sagen: Wir wissen von vornherein, dass im vorliegenden Falle nur Nebenpunkte als singuläre Punkte auftreten können, und dass daher die zugehörigen Exponentendifferenzen nur die ganzzahligen Werte 2, 3, 4, u. s. w. haben können.

Wir sagten schon, die singulären Punkte unserer Differentialgleichung seien die Wurzeln der Gleichung, die man durch Nullsetzen der Functionaldeterminante erhält. Genauer ist zu sagen, indem wir sogleich die Exponenten mit hereinziehen:

Ist $x = a$ eine ^{reelle} Wurzel der Gleichung $\mathcal{F} = 0$, dann ist die zur Stelle $x = a$ gehörige Exponentendifferenz:

$$\alpha = p + 1.$$

Do. d. 31. Novr 1894.] Zum Beweise gehen wir von der Annahme aus, dass α die Exponentendifferenz sei, und berechnen hieraus η als Funktion von x .

η soll also die Gestalt haben $(x-a)^{\alpha} \varphi(x-a)$; da man in $\eta = \frac{q}{\psi}$ die Polynome q und ψ jedenfalls als teilerfremd ansehen darf, so muss q die Form $q = (x-a)^{\alpha} q'$, haben, während ψ den Factor $(x-a)$ nicht enthält. Dann ist aber in

$$T = q' \psi - q \psi'$$

das erste Glied durch $(x-a)^{\alpha-1}$, das zweite mindestens durch $(x-a)^{\alpha}$ teilbar; folglich das ganze durch $(x-a)^{\alpha-1}$ und durch keine höhere Potenz von $x-a$ teilbar, also

$$\alpha - 1 = p,$$

worans die zu beweisende Gleichung unmittelbar folgt.

Die Exponentendifferenzen können hiernach nur $\alpha = 2, 3, 4, \dots$ sein, da für $\alpha = 1$ überhaupt kein singularer Punkt vorliegt. Damit können wir die allgemeine Gestalt der Differentialgleichung, wenigstens, was die quadratischen Glieder betrifft, sofort hinschreiben.

$$[\eta] = \sum \frac{1-\alpha^2}{2(x-a)^2} + \sum \frac{ab}{x-a},$$

und wir werden von einer Differentialgleichung

dieser Gestalt jedenfalls folgendes erste Kriterium für die rationale Integrierbarkeit angeben.

Soll unsere Differentialgleichung rational integrierbar sein, so dürfen in den quadratischen Gliedern der Partialbruchzerlegung nur die Exponentendifferenzen $\alpha = 2, 3, 4, \dots$ auftreten.

Es sollen aber in den Reihenentwicklungen auch keine logarithmischen Glieder auftreten. Dies gilt zunächst für die Umgebungen der Punkte a, b, \dots ; weiterhin aber darf auch kein singulärer Punkt mit $\alpha = 1$, aber logarithmischer Entwicklung vorkommen. Ein solcher Punkt würde in den quadratischen Gliedern nicht zur Erscheinung kommen, wohl aber in den Gliedern einer Ordnung. Mit Bezug hierauf sagen wir:

Eine weitere Bedingung ist, dass in den linearen Gliedern der Partialbruchzerlegung kein singulärer Punkt auftritt, der nicht auch in den quadratischen Gliedern auftrate.

Wenn man jetzt für die Punkte a, b, \dots mit den größeren ganzzahligen Exponentendifferenzen $2, 3, 4, \dots$ die Bedingungen explizit aufstellt, dass es keine logarithmischen Verzweigungspunkte, sondern nur Nebenpunkte sind, so erhält man für die A, B, \dots ein System von quadratischen

Gleichungen, deren Erfüllung die hinreichende Bedingung dafür ist, dass die Differentialgleichung rational integrierbar ist.

Nun kommt es aber darauf an, die Polynome q und p wirklich zu berechnen, nachdem wir die Verzweigungspunkte a und ihre Exponentendifferenzen α , d. h. die Functionaldeterminante

$$F = \prod (x-a)^{\alpha-1}$$

kennen. Wenn wir q und p beide von gleichem Grade m annehmen, so wird die Functionaldeterminante F den Grad $2m-2$ haben. Andererseits ist der Grad der Functionaldeterminante $= \sum (\alpha-1)$. Folglich setzt uns die Formel

$$2m-2 = \sum (\alpha-1) \\ \text{oder } m - \frac{\sum \alpha + 2 - n}{2} = \frac{\sum (\alpha-1) + 2}{2}$$

in den Stand, den Grad m der Polynome q und p sofort anzugeben.

Dann aber kommen hierin nur noch eine endliche Zahl zu bestimmender Constanten, nämlich die Coefficienten der beiden Polynome vor, und die kann ich jedenfalls durch eine endliche Anzahl von Coefficientenvergleichungen aus der vorgelegten Differentialgleichung bestimmen, sofern sie überhaupt rational integrierbar ist, und dabei kann ich durch einend-

eiche Anzahl von Versuchen zugeleich erfahren,
ob die Gleichung rational integrierbar ist.

Bei Aufgaben, wie die vorliegende, muss es immer der Hidpunkt sein, die Entscheidung auf eine endliche Anzahl von Versuchen zurück zu bringen. Dieses Moment wird im vorliegenden Falle erreicht, indem wir aus der Gestalt von φ den Grad der unbekannten Polynome q , ψ ableisten.

Wir wollen eine genauere Abzählung vornehmen. Durch eine lineare Transformation des y können wir jedenfalls bewirken, dass q und ψ folgende Gestalt haben:

$$q = x^m + * + Rx^{m-2} + \dots$$

$$\psi = * + x^{2m-2} + K' x^{m-2} + \dots$$

Hier haben wir im Ganzen $2m-2$ unbekannte Coeffizienten.

Setzen wir dies in T ein, so gilt die Gleichung

$$T = x^{2m-2} + 2K' x^{2m-3} + \dots = \Pi(x-\alpha)^{2-1}$$

gerade $2m-2$ Gleichungen für die $2m-2$ unbekannten Coeffizienten in den q , ψ . Und zwar sind die Gleichungen quadratisch, da die Coeffizienten von q mit denen von ψ multipliziert darin auftreten.

Wir haben durch den Vergleich mit T $2m-2$ Gleichungen für die Coeffizienten von q und ψ bekommen. Setzen wir weiter auch noch in

$$U = q''\psi' - q'\psi''$$

die für q und ψ angesetzten Ausdrücke ein, so liefert die gestern aufgestellte Gleichung

$$[7] = -\frac{2}{3} \left(\frac{T'}{T}\right)^2 + \frac{\frac{T'}{T} + 2U}{T},$$

durch Vergleich mit der vorgelegten Differentialgleichung nach weitere $2m-5$ quadratische Bedingungen für die unbekannten Coefficienten (das höchste Glied von U liefert nur wieder die schon bekannte Gleichung für m , und das zweite Glied liefert nur dieselbe Gleichung für k' , wie der Vergleich mit T). So haben wir im Ganzen $4m-\gamma$ unabhängige quadratische Gleichungen für die $2m-2$ Coefficienten.

Nachdem der Grad m der möglicherweise existierenden Polynome q und ψ festgelegt worden ist, müssen wir versuchen, ob gewisse $4m-\gamma$ quadratische Gleichungen für die Coefficienten von q und ψ mit einander verträglich sind und eventuell aus diesen quadratischen Gleichungen die zulässigen Werte von q und ψ bestimmen.

Die Bedingung für die Verträglichkeit dieser Gleichungen wird nichts anderes sein, als die Bedingung, dass die singulären Punkte nur Nebenpunkte sind, von welcher oben die Rede war. Wenn aber diese Bedingungen einmal erfüllt sind, was auf eine endliche Anzahl verschiedener Arten der Fall

sein kann, so ist in jedem einzelnen dieser möglichen Fällen jedenfalls im Wesentlichen nur eine bestimmte Function η möglich, welche der Differentialgleichung genügt, also:

Güter haben unsere $4m - f$ Gleichungen, wenn sie überhaupt ein Lösungssystem haben, auch nur ein Lösungssystem, weil doch unsere Differentialgleichungen ihre Integrale vollkommen bestimmen.

Wir haben es hier mit einem System überzähliger quadratischer Gleichungen zu thun, deren Verträglichkeit und deren ev. Lösung durch eine endliche Anzahl von Versuchen festzustellen ist. Bei der grossen Complication und Unständlichkeit, die sich der praktischen Ausführung dieser Aufgabe entgegensetzt, wird man jedenfalls gerne fragen, ob man nicht das selbe Problem auf anderem bequemerem Wege lösen kann?

In der That ist das der Fall, wenn man zur homogenen Formulirung übergeht.

Spalten wir η in zwei Normal - II, d. h. in zwei teilerfremde ganze Formen

$$\eta = \frac{\pi_1}{\pi_2}$$

so ist nach unsour früheren Überlegungen

(§ 18) der Grad dieser Formen durch die Formel gegeben

$$m = \frac{\sum \alpha + 2 - n}{2},$$

so dass unsere Formen Π_1, Π_2 im Grade genau mit dem Grade der Polynome φ, ψ übereinstimmen, in der That sind sie nichts anderes als die homogen gemachten φ, ψ . Die Formen Π_1, Π_2 genügen nun aber einer linearen Differentialgleichung zweiter Ordnung,

$$(\Pi, \Phi)_2 + (\Pi, \Psi)^{n-2}_1 + (\Pi, X)_0 = 0,$$

worin

$$\Phi = (xa)(xb)\dots(xn)$$

zu setzen ist, und Ψ, X leicht zu berechnen sind. Wir sehen:

Unsere ganze Frage kommt darauf hinaus, zu veranlichen, ob die homogene Differentialgleichung 2. Ordnung durch eine Schar ganzer rationaler Formen $\lambda\varphi + \mu\psi$ vom Grade m befriedigt wird.

Wir werden also eine ganze Form φ vom Grade m mit unbestimmten Coefficienten in die Differentialgleichung eintragen und bekommen so, da die linke Seite der Gleichung den Gesamtgrad $m+n-4$ hat, im Ganzen $m+n-3$ lineare homogene Gleichungen für die $m+1$ Coeffi-

cienten von q , wobei aber noch zwei dieser Coefficienten willkürlich bleiben sollen. Also bekommen wir die Bedingung :

Damit diese Gleichungen lösbar seien, müssen alle in gliedrigen Determinanten aus ihrer Coefficientenmatrix verschwinden, und es berechnen sich dann die q, p aus irgend $m-1$ unabhängigen linearen Gleichungen unserer Reihe.

Hiermit haben wir die Frage nach der rationalen Integrierbarkeit erledigt. So müßte man sämtliche 11 Fälle unserer Tabelle der Reihe nach durchgehen. Wir behandeln von den algebraischen Fällen nur noch als das complicirteste Beispiel den Fall der ikosaedrisch integri- laren Differentialgleichungen.

Wir fragen zuerst: Wie sieht die allgemeine Differentialgleichung aus, welche ikosaedrisch integrierbar ist? d. h. in der Form integrierbar ist.

$$\frac{yC^3(\eta)}{1728f^5(\eta)} = \text{Rationale Function von } x?$$

Wir wollen, da mit der Invariante $\frac{yC^3(\eta)}{1728f''(\eta)}$ auch irgend eine andere Combination 0 ten Grades der drei Formen C, f, T gleichberechtigt ist, um nicht eine derselben zu bevorzugen, die Integralgleichung in folgender Gestalt schreiben

$\mathcal{H}^3(\eta) : \mathcal{T}^2(\eta) : -1728 f^5(\eta) = q : X : 4$,
 wo q, X, γ drei Polynome ohne einen allen
 gemeinsamen Teiler bedeuten sollen, welche
 der Relation genügen

$$q + X + \gamma = 0.$$

Um nicht einen der verschiedenen hieraus zu
 bildenden Quotienten, etwa $\frac{q}{X}$, oder $\frac{X}{q}$ zu bevor-
 zugen, wollen wir (was übrigens nur eine vorü-
 bergehende Klassregel ist) eine rationale Func-
 tion von X , welche von den Verhältnissen der
 Polynome abhängt, mit Hilfe dreier Hilfs-
 größen a, b, c durch folgende Proportionen ein-
 führen:

$$q : X : \gamma = (b-a)(R-a) : (c-a)(R-b) : (a-b)(R-c).$$

Außerdem sollen T und U folgende identi-
 sche Differentialausdrücke bedeuten:

$$T = q\gamma' - q'\gamma = \gamma X' - \gamma' X = X\gamma' - X'\gamma,$$

$$U = q''\gamma'' - q''\gamma' = \gamma''X'' - \gamma'X' = X''\gamma'' - X''\gamma'.$$

Fr. d. 1. Juni 1894.] Ferner benutzen wir folgen-
 de Formeln:

$$R-a = \frac{-(a-b)(a-c)\gamma}{a\gamma+bx+c\gamma}, \quad R' = \frac{(a-b)(b-c)(c-a).T}{(a\gamma+bx+c\gamma)^2}.$$

Wir sehen nun das η unsere Differentialglei-
 chung zuerst einmal statt als Function von
 X vielmehr als Function von R an. Setzt

man aber die Invariante $\frac{H^3(\eta)}{T^{28}f^5(\eta)}$ - einer linearen Funktion von R , so ist das nichts anderes, als die gewöhnliche Icosaedergleichung, nur mit einer linearen Transformation der Variablen auf der rechten Seite. Als Funktion von R genügt der gewöhnlichen Differentialgleichung des Icosaeders, nur mit den Verzweigungsstellen bei $R = a, R = b, R = c$:

$$[\eta]_R = \frac{1}{(R-a)(R-b)(R-c)} \left\{ \frac{4(a-b)(a-c)}{9(R-a)} + \frac{9(b-a)(b-c)}{8(R-b)} \right. \\ \left. + \frac{12(c-a)(c-b)}{25(R-c)} \right\}.$$

Nun benutzen wir für den Übergang zu den Variablen x die von früher bekannte Formel

$$[\eta]_x = R'^2 [\eta]_R + [R]_x,$$

und erhalten so, wenn wir mit Hilfe von T und U vereinfachen, die Gleichung:

$$[\eta]_x = \frac{T'^2}{T \cdot U \cdot X} \left\{ \frac{4}{9q} + \frac{3}{8X} + \frac{12}{25U} \right\} - \frac{3}{2} \left(\frac{T'}{T} \right)^2 \\ + \frac{T'' + 2U}{T},$$

worin, wie es ja auch notwendig ist, die Hilfsgrößen a, b, c , wieder vollständig herausgefallen sind.

Damit haben wir die erste Aufgabe, nämlich die explizite Aufstellung der allgemeinsten

zum ikosaedrischen Typus gehörigen Differentialgleichung, wirklich gelöst.

Wir werden nun zweitens fragen: Wenn uns irgend eine Differentialgleichung vorliegt ist:

$$\Sigma \frac{1-\alpha^2}{2(x-a)^2} + \Sigma \frac{st}{x-a},$$

wie entscheiden wir, ob diese über ikosaedrisch integrierbar ist?

Wann lässt sich die rechte Seite in Gestalt unserer allgemeinen ikosaedrischen Gleichung schreiben?

Wir sehen zunächst, was die singulären Punkte betrifft:

Die singulären Punkte unserer Differentialgleichung werden durch die Wurzelpunkte von q, ψ, χ, τ geliefert.

Um nun aber über die Exponenten in denselben genaueres zu erfahren, werden wir bei q, ψ, χ, τ alle Arten vielfacher Wurzeln, die denkbar sind, zulassen müssen. Wir setzen also

$$q = \Pi (x-a)^{\alpha_i}, \quad \chi = \Pi (x-b)^{\beta_i}, \quad \psi = \Pi (x-c)^{\gamma_i}.$$

Außerdem spalten wir aber q noch in drei Teile, indem wir in den ersten, q_1 , alle Fraktionen zusammenfassen, deren Exponenten nicht durch 3 teilbar sind, im zweiten, q_2 , alle

Faktoren mit dem Exponenten 3 selbst und im dritten alle Faktoren mit Exponenten, die durch 3 teilbar, aber grösser als 3 sind. Das entsprechende geschehe bei χ und bei ψ , nur statt auf die Zahl 3 vielmehr auf die Zahl 2 bzw. 5 bezogen. Ich setze also

$$\varphi = \varphi_1 \cdot \varphi_2 \cdot \varphi_3 = \prod (x - \alpha_{i_1})^{\alpha_{i_1} \geq 0 \pmod{3}} \cdot \prod (x - \alpha_{i_2})^{\alpha_{i_2} = 3} \cdot \prod (x - \alpha_{i_3})^{\alpha_{i_3} = 3 \alpha'_{i_3} > 3};$$

$$\chi = \chi_1 \cdot \chi_2 \cdot \chi_3 = \prod (x - b_{i_1})^{\beta_{i_1} \geq 0 \pmod{2}} \cdot \prod (x - b_{i_2})^{\beta_{i_2} = 2} \cdot \prod (x - b_{i_3})^{\beta_{i_3} = 2 \beta'_{i_3} > 2};$$

$$\psi = \psi_1 \cdot \psi_2 \cdot \psi_3 = \prod (x - c_{i_1})^{8_{i_1} \geq 0 \pmod{5}} \cdot \prod (x - c_{i_2})^{8_{i_2} = 5} \cdot \prod (x - c_{i_3})^{8_{i_3} = 5 \psi'_{i_3} > 5}$$

Bilden wir uns jetzt aus φ, ψ, χ die Funktionaldeterminante T in der Gestalt $\varphi \chi' - \varphi' \chi$, so zeigt sich, dass dieselbe durch jeden Factor $x - a_i$ von φ in der Potenz $\alpha_i - 1$ teilbar sein muss, durch jeden Factor $(x - b_i)$ von χ in der Potenz $\beta_i - 1$. Ebenso findet man aus der anderen Darstellung $\chi \psi' - \chi' \psi$, dass jeder Factor $x - c_i$ $\gamma_i - 1$ mal in T enthalten sein muss. Hat T noch weitere Faktoren, so wollen wir diese mit $(x - d_i)$ $\delta_i - 1$ bezeichnen. Wir schreiben also:

$$T = \prod (x - a_i)^{\alpha_i - 1} \prod (x - b_i)^{\beta_i - 1} \prod (x - c_i)^{\gamma_i - 1} \prod (x - d_i)^{\delta_i - 1}$$

$$= T_1 \cdot T_2 \cdot T_3 \cdot T_4.$$

Zuvor sind nun die Wurzelpunkte a_i, b_i, c_i , d. von $\varphi, \chi, \psi, \tau$ singuläre Punkte der Differentialgleichung? Welche Exponentendifferenzen haben sie?

Ich sage:

Der singuläre Punkt a: hat die Exponentendifferenz $\frac{2i}{3}$, der Punkt b: die Exponentendifferenz $\frac{2i}{3}$, der Punkt c: die Exponentendifferenz $\frac{2i}{5}$, der Punkt d: die Exponentendifferenz $\frac{2i}{5}$.

Zum Beweise beachte man nur, dass in der Integralgleichung

$$\frac{\mathcal{H}^3(\eta)}{-1728 f^5(\eta)} = \frac{\varphi(x')}{\psi(x')}$$

an einer Nullstelle, wo $\varphi=0$ ist, auch $\mathcal{H}=0$ ist, und zwar so, dass die rechte Seite der Gleichung x_i fach als Funktion von x verschwindet, die linke Seite dagegen als Funktion von η dreifach verschwindet, so dass η als Funktion von x den Exponenten $\frac{2i}{3}$ hat. Entsprechend für die andern Punkte. Also:

Die Angaben über die Exponentendifferenzen folgen bereits aus der Integralgleichung und können selbstverständlich aus der Differentialgleichung durch direkte Partialbruchzerlegung bestätigt werden.

Die quadratischen Glieder der rechten Seite unserer Differentialgleichung heissen demnach:

$$\sum \left(\frac{1 - \alpha_i^2}{2(x-a_i)^2} + \frac{1 - \beta_i^2}{2(x-b_i)^2} + \frac{1 - \gamma_i^2}{2(x-c_i)^2} + \frac{1 - \delta_i^2}{2(x-d_i)^2} \right)$$

Wenn wir nun die einzelnen Teile einer vorgelegten Differentialgleichung, in der natürlich nur ganze Zahlen oder Multiplika von $\frac{1}{3}$ oder $\frac{1}{2}$ oder $\frac{1}{5}$ als Exponentendifferenzen vorkommen dürfen, mit dieser eben hingeschriebenen Summe identifizieren wollen, so wissen wir von einem Punkt, dessen Exponentendifferenz etwa $\frac{1}{5}$ oder $\frac{2}{3}$ ist, sofort, dass wir ihn als Wurzelpunkt ab von y ansetzen müssen.

Wenn er aber eine ganzzahlige Exponentendifferenz, etwa 2, hat ist er dann ein 6facher Punkt von y ? oder ein 4facher von X ? oder ein 10facher von Ψ ? oder endlich ein einfacher von T_4 ? Ein Wurzelpunkt von y, X, Ψ aber von der Multiplicität 3, 2, 5 würde überhaupt nicht als singulärer Punkt hervortreten. Wir sehen:

Aus den quadratischen Gliedern der Partialbruchzerlegung können wir die y, X, Ψ und das T_4 noch nicht ohne weiteres ablesen, weil einige Wurzelpunkte von y, Ψ, X geradezu weggfallen

(wenn $\alpha_i = 3$, oder $\beta_i = 2$, oder $\gamma_i = 5$ ist), und weil andere Wurzeln von q, ψ, χ von den überschüssigen Wurzeln der Functionalgleichung nicht zu unterscheiden sind (wenn $\alpha_i, \beta_i, \gamma_i$ durch 3, 2, 5 teilbar ist).

Trotzdem aber können wir den Grad in den Polynome q, ψ, χ aus der Partialbruchzerlegung sofort angeben.

Wir machen nämlich homogen, indem wir η in zwei teilerfremde ganze Π -Formen, Normal- Π zweiter Art, spalten, die wir hier mit η_1, η_2 bezeichnen:

$$\eta = \frac{\eta_1}{\eta_2}.$$

Als Normal- Π sind dieselben nach einem früher allgemeinen Satze vom Grad

$$\sum \left(\frac{\alpha_i}{3} - 1 \right) + \sum \left(\frac{\beta_i}{2} - 1 \right) + \sum \left(\frac{\gamma_i}{5} - 1 \right) + 2.$$

Die Ikosaederformen $H^3(\eta_1, \eta_2)$, $T^2(\eta_1, \eta_2)$, $-1728f^5(\eta_1, \eta_2)$ sind in η_1, η_2 vom 60ten Grade und dabei den Polynomen q, χ, ψ proportional. Die η_1, η_2 sind selbst ganze Formen von x_1, x_2 , ebenso also die $H^3(\eta_1, \eta_2)$, $T^2(\eta_1, \eta_2)$, $-1728f^5(\eta_1, \eta_2)$, und zwar sind letztere notwendig rationale Formen von x_1, x_2 . Zugleich sind sie teilerfremd. Folglich sind sie nicht nur proportional mit

den Polynomen q, X, Y , sondern sie sind genau
dezu mit den homogen geschriebenen $q(x_1, x_2)$,
 $X(x_1, x_2)$, $Y(x_1, x_2)$ identisch.

Der Grad der Polynome q, X, Y ist daher
 $m = 30 \left(\sum \left(\frac{e_i}{3} - 1 \right) + \sum \left(\frac{f_i}{2} - 1 \right) + \sum \left(\frac{g_i}{6} - 1 \right) + \sum (h_i - 1) + 2 \right).$

So haben wir den Grad unserer Polynome in
der That aus der Partialbruchzerlegung abgeleitet.
Die Unbestimmtheit betr. die einzelnen singulären
Punkte, die wir vorhin erwähnten, fällt dabei von
selbst heraus. Denn z. B. ein Punkt mit der Exo-
ponentendifferenz 2 liefert zu dem Klammer-
ausdruck immer den Beitrag 1, einerlei ob man
ihn zu q oder X oder Y oder T_6 rechnet, und ein
Punkt mit der Exponentendifferenz 1, der also
gar kein singulärer Punkt ist, mag er auch aus
dem q oder dem X oder dem Y herstammen,
liefert überhaupt keinen Beitrag.

Wir wollen aber jetzt die einzelnen singulären
Punkte noch genauer discutiren. Es handle sich z.
B. um einen Wurzelpunkt a_i von $q=0$. Wir
unterscheiden dann, ob er zu q_1 oder q_2 oder
 q_3 gehört, d. h. ob seine Multiplizität in q durch
3 nicht teilbar ist, oder = 3 ist, oder von 3 ver-
schieden, doch durch 3 teilbar ist.

a.) Es sei $a_i = a_{3i}$, d.h. die Exponentendifferenz in Bruch $\frac{e_{3i}}{3}$. Dann ist kein Zweifel, dass der Punkt in φ gehört und nicht etwa in X, Y oder in T_4 . Also:

Der Bestandteil φ_2 von φ ist direkt durch die Partialbruchzerlegung gegeben.

b.) Es sei $a_2 - a_3$ in d.h. die Exponentendifferenz = 1. Da keine logarithmischen Glieder auftreten dürfen, so kann a_{2i} überhaupt kein singulärer Punkt sein.

φ_2 tritt in den singulären Punkten überhaupt nicht hervor.

c.) Es sei $a_i = a_{3i}$, d.h. die Exponentendifferenz eine ganze Zahl, die größer als 1 ist. Da wieder keine logarithmischen Glieder auftreten dürfen, hat man den Satz:

φ_3 liefert Nebenpunkte der Differentialgleichung

Ganz das entsprechende gilt von den einzelnen Teilen der Y, X, T_4 endlich liefert nur Nebenpunkte der Differentialgleichung.

Hov. d. 4. Juni 1894.] Seien $a_{3i}, e_{3i}, c_{3i}, d_i$ die Nebenpunkte, dann sind ihre Exponenten $\alpha'_{3i}, \beta'_{3i}, \gamma'_{3i}, \delta_i$. Die Gesamtheit dieser Nebenpunkte und ihre Exponenten lassen sich aus der Differentialgleichung ablesen, ohne dass man freilich weiß,

welcher Punkt ein α_{3i} , welcher ein β_{3i} u.s.w. ist. Man kann daher jedenfalls das Produkt:

$$P = \Pi(x - \alpha_{3i})^{\alpha'_{3i}-1} \Pi(x - \beta_{3i})^{\beta'_{3i}-1} \Pi(x - c_{3i})^{f'_{3i}-1} \Pi(x - d_i)^{g'_{3i}-1}$$

aus der Differentialgleichung herauslesen. Dieses Product P ist aber ein Teiler der Functionaldeterminante T, welche ja die Factoren $x - \alpha_{3i}$, $x - \beta_{3i}$, $x - c_{3i}$, $x - d_i$ in den Potenzen $3\alpha'_{3i}-1$, $2\beta'_{3i}-1$, $5f'_{3i}-1$, $g'_{3i}-1$ enthält.

Nun sei irgend eine η -Differentialgleichung vorgelegt. Es ist zu entscheiden, ob dieselbe ikosadrisch integrierbar ist. Eine erste notwendige Bedingung ist natürlich folgende:

Außer Nebenpunkten dürfen nur solche singuläre Punkte vorkommen, deren Exponentendifferenzen Nullipala von $\frac{1}{3}$, von $\frac{1}{2}$ oder von $\frac{1}{5}$ sind.

Dann können wir aus der Differentialgleichung die q_1, X_1, ψ_1 unmittelbar ablesen. Da die Factoren von q_2 und q_3 sämtlich durch 3 teilbare Exponenten haben, ist $q_2 \cdot q_3$ die dritte Potenz eines Polynoms, ebenso $X_2 X_3$ die zweite, $\psi_2 \psi_3$ die fünfte Potenz je eines Polynoms, so dass wir ansetzen dürfen

$$q = q_1 \cdot q'^3, \quad X = X_1 \cdot X'^2, \quad \psi = \psi_1 \cdot \psi'^5.$$

Dabei lässt sich der gemeinsame Gesamtgrad m von q, X, ψ , also auch der Grad von q', X', ψ' aus der Differentialgleichung ablesen. Wir

Haben somit in φ' , X' , ψ' je eine wohlbestimmte Anzahl unbekannter Coefficienten, für die unbekannten Coefficienten ergeben sich zuerst eine Reihe von Gleichungen, indem man φ , X , ψ der Bedingung unterwirft, dass

$$\varphi + X + \psi = 0$$

sein muss, und eine zweite Reihe von Gleichungen durch die Bemerkung, dass die aus φ , ψ , X zu bildende Functionaldeterminante T durch das aus der Differentialgleichung abzulesende Product P teilbar sein muss. Hat man endlich die φ , ψ , X mit allen diesen Bedingungen in Einklang gebracht, dann hat man dieselben in die allgemeine Ikosaedergleichung einzusetzen, und die sogenannte Differentialgleichung mit der vorgelegten zu vergleichen.

Man sieht also, dass das ganze Problem darauf hinauskommt, eine endliche Anzahl unbekannter Coefficienten einer endlichen, wenn auch vielleicht sehr grossen Zahl überschüssiger algebraischer Gleichungen zu unterwerfen. Die Lösbarkeit ist also gewiss durch eine endliche Anzahl algebraischer Operationen zu entscheiden. In Math. Ann. 12 habe ich einige Beispiele auf diesem Wege durchgerechnet, bei denen ich

nur die Identität $\varphi + \chi + \psi = 0$ und die Teilbarkeit des T durch P zu benutzen brauchte.

Ich habe dieselben in der Wintervorlesung (Autographie 483-84) berührt. Im Allgemeinen ist jedoch die Rechnung unübersichtlich, so dass wir uns gern nach einer weiteren Vereinfachung umsehen werden.

Wir gehen zu dem Zwecke zur homogenen Schreibweise über. Die Normalform lautet:

$$(\Pi, \varphi)_2 + (\Pi, \chi)_1 + (\Pi, \psi)_0 = 0$$

wobei $\Phi = \Pi(x \cdot a_i)(x \cdot b_i)(x \cdot c_i)(x \cdot d_i)$ ist.

Wir nennen zwei Zweige von Π , deren Quotient $= \eta$ ist, mit η_1, η_2 , wie schon oben geschehen war.

Wir müssen jetzt einen in dieser Vorlesung noch nicht Berührten, aber sehr naheliegenden Gedanken formulieren.

Bilden wir nämlich aus η_1, η_2 die Ausdrücke

$$\eta_1^2, \eta_1 \eta_2, \eta_2^2,$$

so werden sich diese bei Umläufen der Variablen ternär linear substituieren, also einer linearen homogenen Differentialgleichung dritter Ordnung genügen.

Allgemein müssen die homogenen Funktionen von η_1, η_2 von der Ordnung zu einer linearen homogenen Differentialgleichung der Ordnung $(n+1)$

genügen, welche sich aus der Differentialgleichung zweiter Ordnung für η_1, η_2 rational berechnen lässt.

Daraus folgt:

Die Invarianten $H(\eta_1, \eta_2)$, $T(\eta_1, \eta_2)$, $f(\eta_1, \eta_2)$
als homogene ganze rationale Funktionen 30^{ten} ,
 30^{ten} , 12^{ten} Grades der η_1, η_2 genügen je einer
linearen homogenen Differentialgleichung mit
rationalen Coefficienten von der Ordnung 21, 31, 13.

Diese Differentialgleichungen seien mit

$$\mathcal{R}_{21} = 0 \quad \mathcal{R}_{31} = 0 \quad \mathcal{R}_{13} = 0$$

bezeichnet. Sie sind aus der vorgelegten Gleichung ohne prinzipielle Schwierigkeiten zu berechnen. Aber unsere η_1, η_2 sind ganze algebraische Funktionen der x_1, x_2 . Daher haben wir einfach mit unbestimmten Coefficienten in den q', x', y' anzusetzen

$$H = \sqrt[3]{q_1 \cdot q'}, \quad T = \sqrt{x_1 \cdot x'}, \quad f = \sqrt{f_1 \cdot y'}$$

und zu untersuchen, ob man die Coefficienten so bestimmen kann, dass die Gleichungen $\mathcal{R}_{21} = 0$, $\mathcal{R}_{31} = 0$, $\mathcal{R}_{13} = 0$ durch die angegebenen Werte von H, T, f erfüllt werden. Ich sage:

Wenn unsere linearen Differentialgleichungen durch solche Polynome q', x', y' befriedigt werden, dann ist unsere Differentialgleichung

wirklich ikosaedrisch integrierbar, und man
wird

$\mathcal{H}^3 : T^2 : -1728 f^5 q, q^{13} : X, X'^2 : Y, Y^{15} : q : X : Y$
setzen können, nachdem man in die q, X, Y noch
gesuchte Zahlenfaktoren aufgenommen hat.

Aber noch mehr. Ich behaupte:

Wenn nur die Gleichung $R_{13} = 0$ durch $\sqrt[5]{q, q'}$
befriedigt wird, dann haben wir auch bereits si-
cher ikosaedrische Integrierbarkeit, und die Glei-
chungen R_{21} und $R_{31} = 0$ werden nutzbar,
um auch q' und X' bequem auszurechnen.

Diese letzte Behauptung soll aber ausdrück-
lich voraussetzen, dass die vorgelegte Differen-
tialgleichung nicht schon einem der 5 vorange-
henden Typen unserer Tabelle angehöre.

Der Beweis ist einfach der folgende:

Wenn $R_{13} = 0$ eine Lösung von der Form
 $\sqrt[5]{q, q'}$ besitzt, dann muss die Konodromie-
gruppe der η_1, η_2 so beschaffen sein, dass eine
lineare Verbindung der $\eta_1^{12}, \eta_1^{11}, \eta_2, \dots, \eta_1 \eta_2^{11},$
 η_2^{12} sich als $\sqrt[5]{q, q'}$ darstellt. Diese Funktion ver-
hält sich aber bei Umläufen des X nur mul-
tiplicativ, ist also eine Invariante der Kono-
dromiegruppe.

Die Konodromiegruppe muss so beschaffen

sein, dass sie eine rationale ganze Invariante
12ten Grades besitzt. Daraus folgt, da wir die
Fälle 1, 2, 3, 4, 5 ausgeschlossen haben, dass
die Monodromiegruppe von η_1, η_2 direkt die
Icosaederguppe sein muss, womit dann
die ikosaedrische Integrierbarkeit der vorge-
legten Differentialgleichung außer Frage steht.

Im Falle wir ein y' und weiterhin ein x'
und ein q' bestimmen können, werden die
se bis auf einen numerischen Factor auch
völlig bestimmt sein, weil doch die vor-
gelegte Differentialgleichung nur auf eine
Weise integriert werden kann.

In der Weise, wie wir erst den Fall 1) und jetzt
den Fall 6) behandelt haben, wird man alle die
11 Fälle der Reihen nach durchzugehen haben. Wir
wollen nur noch den Fall 11) ausführlicher
besprechen. Das gibt dann die Theorie der
„Lame'schen Polynome“

Vorher will ich jedoch noch eine allge-
meinere Betrachtung einschalten.

Was ich über die ikosaedrische Integri-
barkeit als Beispiel der algebraischen Integri-
barkeit heute vorgetragen habe, ist in mehreren
Richtungen hin weiter entwickelt, als was

in der Litteratur vorliegt: In Math. Ann. 12 bleibe ich bei der inhomogenen, der η -Differentialgleichung stehen. Fuchs hat zwar die Differentialresolvente 13ter Ordnung, aber benutzt diese nur so, dass er fragt, ob sie durch die fünfte Wurzel aus einer rationalen Function befriedigt wird, - während es sich bei uns um eine rationale ganze Function $\sqrt[n]{\eta} \cdot \varphi'$ handelt, bei der wir den irrationalen Bestandtheil $\sqrt[n]{\eta} \cdot \varphi$, von Hause aus kennen.

Es wäre wünschenswert, dass diese ganze Behandlung einmal genauer ausgearbeitet, und dabei gleich auf die Differentialgleichungen 3. Ordnung ausgedehnt würde. Wir wollen hier das Problem der linearen Differentialgleichung 3. Ordnung in allgemeinem Umrisse formulieren

Wie können wir das Problem der linearen Differentialgleichungen 2. Ordnung am kürzesten bezeichnen?

Es handelt sich um eine binäre Formenschar

$$\Delta_1 \Pi_1 + \Delta_2 \Pi_2,$$

ein Formenbüschel.

Aus welchen Stücken soll nun dies Büschel bestimmt werden?

Die Form Π , ihre ersten und ihre zweiten Differentialquotienten in der linearen Differentialgleichung lassen sich sämtlich linear und homogen durch die drei zweiten Differentialquotienten $\Pi^{(1,1)}$, $\Pi^{(1,2)}$, $\Pi^{(2,2)}$ ausdrücken, so dass die Differentialgleichung allgemein die Form haben wird

$$A\Pi^{(1,1)} + B\Pi^{(1,2)} + C\Pi^{(2,2)} = 0.$$

Die Coefficienten dieser Differentialgleichung sind ihrem Verhältnisse nach durch die Determinanten der Matrize gegeben

$$\begin{vmatrix} \Pi_1^{(1,1)}, & \Pi_1^{(1,2)}, & \Pi_1^{(2,2)} \\ \Pi_2^{(1,1)}, & \Pi_2^{(1,2)}, & \Pi_2^{(2,2)} \end{vmatrix}.$$

Und diese Verhältnisse $A : B : C$ sollen dem Verhältnis dreier rationalen Functionen gleich sein. Also:

Das binäre Problem lässt sich folgendermaßen formulieren: Für ein Büschel binärer Formen sind die einfachsten Combinanten, nämlich die Determinanten der obigen Matrize, ihrem Verhältnisse nach als rationale Formen gegeben. Man soll hieraus das Formenbüschel berechnen.

Das η Problem entsteht, wenn wir nicht

das Büschel selbst, sondern den Quotienten zweier Formen des Büschels als unbekannte Funktionen betrachten.

Di. d. 5. Juni 1894.] Ganz entsprechend handelt es sich bei den linearen Differentialgleichungen 3. Ordnung um das ternäre Problem, ein "Formennetz" zu finden:

$$\lambda_1 \Pi_1 + \lambda_2 \Pi_2 + \lambda_3 \Pi_3,$$

von dem als einfachste Combinanten die Determinanten der Matrize

$$\left| \begin{array}{cccc} \Pi_1^{(m)}, \Pi_1^{(n_2)}, \Pi_1^{(122)}, \Pi_1^{(222)} \\ \Pi_2^{(m)}, \Pi_2^{(n_2)}, \Pi_2^{(122)}, \Pi_2^{(222)} \\ \Pi_3^{(m)}, \Pi_3^{(n_2)}, \Pi_3^{(122)}, \Pi_3^{(222)} \end{array} \right|$$

ihrem Verhältnisse nach als rationale Formen gegeben sind. Analog, wie man beim binären Problem statt Π_1, Π_2 selbst auch deren Verhältnis $\eta = \frac{\Pi_1}{\Pi_2}$ betrachten kann, so auch hier.

Bei der Behandlung dieser Differentialgleichungen wird man zunächst alle diejenigen Fälle zusammenfassen können, bei denen die Π_1, Π_2, Π_3 die nämlichen Verhältnisse aufweisen, oder, was dasselbe ist, nur um einen gemeinsamen Factor geändert sind.

Fehl bringe diese Verallgemeinerung der binären formentheoretischen Auffassung besonders deswegen hier zur Sprache, weil ich dabei (in Übereinstimmung mit gewissen Ansätzen bei Horn und Fuchs) noch einen weiteren Wunsch habe.

Es dürfte nämlich zweckmäßig sein, bei dem ternären Problem statt der binären unabhängigen Veränderlichen x_1, x_2 gleich drei unabhängige Veränderliche x_1, x_2, x_3 einzuführen, so dass es sich also um die Bestimmung der Formen Π_1, Π_2, Π_3 durch die dreiseitigen Determinanten der Matrix von 10 Reihen handelt:

$$\begin{vmatrix} \Pi_1^{(111)} & \Pi_1^{(112)} & \Pi_1^{(113)} & \Pi_1^{(122)} & \Pi_1^{(123)} & \Pi_1^{(133)} & \Pi_1^{(222)} & \Pi_1^{(223)} & \Pi_1^{(233)} & \Pi_1^{(333)} \\ \Pi_2^{(111)} & \Pi_2^{(112)} & \Pi_2^{(113)} & \Pi_2^{(122)} & \Pi_2^{(123)} & \Pi_2^{(133)} & \Pi_2^{(222)} & \Pi_2^{(223)} & \Pi_2^{(233)} & \Pi_2^{(333)} \\ \Pi_3^{(111)} & \Pi_3^{(112)} & \Pi_3^{(113)} & \Pi_3^{(122)} & \Pi_3^{(123)} & \Pi_3^{(133)} & \Pi_3^{(222)} & \Pi_3^{(223)} & \Pi_3^{(233)} & \Pi_3^{(333)} \end{vmatrix}$$

Das wird dann ein System partieller Differentialgleichungen nach den zwei unabhängigen Verhältnissen $\frac{x_1}{x_3}, \frac{x_2}{x_3}$ sein.

Es scheint richtig, beim Übergang zum Formen netz auch die Zahl der unabhängigen homogenen Variablen auf 3 zu vermehren und also nicht bloß lineare Differentialgleichungen 3. Ordnung

mit einer unabhängigen Variablen zu studieren, was ein spezieller Fall ist, sondern Systeme partieller Differentialgleichungen mit
2 unabhängigen Variablen.

Die gewöhnlichen linearen Differentialgleichungen 3. Ordnung erscheinen als ein spezieller Fall.

Bei diesen ternären Problemen wird man nun wieder die Monodromiegruppe und die Rationalitätsgruppe zu unterscheiden haben. Erstere wird, den discontinuirlichen Umläufen der Variablen entsprechend, immer eine discontinuirliche Gruppe sein, letztere dagegen kann discontinuirlich oder continuirlich oder endlich gemischt sein, ist aber ihrem Wesen nach jedenfalls eine algebraische Gruppe. Da wird nun die erste Aufgabe sein, zunächst einmal sämtliche überhaupt möglichen algebraischen ternären Gruppen aufzuzählen. Was die discontinuirlichen dieser Gruppen betrifft, so ist das von C. Jordan und mir selbst schon geschehen. Die continuirlichen algebraischen Gruppen braucht man mir aus der vollständigen Aufzählung aller continuirlichen Gruppen bei Lie (in den Werken Lie-Scheffers und Lie-Engel) herauszusuchen; die gemischten Gruppen endlich sind noch

nicht aufgezählt, doch dürfte es keine Schwierigkeit mehr bereiten, dieselben alle zu bilden. So wird man eine natürlich etwas umfangreichere Liste erhalten, welche der Liste der 12 Typen der η -Gruppe genau entspricht. Zu jeder dieser aufgezählten Gruppen wird man die einfachsten Invarianten aufstellen und sie rationalen Functionen der gegebenen Größen gleich setzen. Von da aus berechne man die Verhältnisse des dreihigen Determinanten derauf der vorigen Seite mitgetheilten Matrix. So bekommt man das dem einzelnen Typus zu gehörige ternäre Differentialproblem in unbeständiger Form. Darauf wird man zusehen, wie man von einer vorgelegten Differentialgleichung entscheidet, welchem der einzelnen Typen sie angehört, um so nicht nur eine bloß logische, sondern wirklich mathematisch durchgeföhrte Classification unserer ternären Differentialgleiche zu haben.

Nach dieser kleinen Einschaltung kehren wir wieder zur Betrachtung der η -Differentialgleichung zurück, indem wir jetzt den Fall 11) besprochen, d. h. die Theorie der Lamé'schen

Polynome.

Wir geben sofort die homogene Formulierung: Es handelt sich um die Frage, ob man die Differentialgleichung

$$(\tilde{\Pi}, \tilde{\Phi})_x + (\tilde{\Pi}, \tilde{\Psi})_y + (\tilde{\Pi}, \tilde{\chi})_z = 0$$

durch ein Polynom $E_k(x_1, x_2)$ befriedigen kann.

So oft ein solches Polynom als Particularlösung der Differentialgleichung existiert, dann nennen wir dies Polynom ein Lamé'sches Polynom.

Ob die allgemeine Lösung $\tilde{\Pi}$ eine ganze Funktion ist, darauf kommt es bei dieser Fragestellung nicht an, das wesentliche ist nur, dass der eine Exponent jedes singulären Punktes verschwindet.

Die singulären Punkte sind durch die Wurzelpunkte der Form $\tilde{\Phi} = (x_a)(x_b) \dots (x_n)$ gegeben.

Der eine Exponent jedes singulären Punktes ist $= 0$, der andere durch die Formel

$$\alpha = 1 + \frac{3k-2}{n} - \frac{(n-2)\psi(a)}{n(n-v)\phi'(a)}$$

gegeben. Da in dieser Formel ψ und ϕ unmöglich geschrieben sind, könnte es scheinen, also ob dieselbe nicht symmetrisch von den homogenen Coordinaten der Stelle a abhinge, was doch der Natur der Sache widerspricht. Aber man sieht leicht, dass man mit Hülfe

der im Punkte a geltenden Gleichung

$$\alpha_1 \varphi_1(a_1, a_2) + \alpha_2 \varphi_2(a_1, a_2) = 0$$

dieselbe Formel auch in den Gestalten:

$$\alpha = 1 + \frac{2K-2}{n} - \frac{(n-2)\alpha_2 \psi}{n(n-1) \varphi_1},$$

$$\alpha = 1 + \frac{2K-2}{n} + \frac{(n-2)\alpha_1 \psi}{n(n-1) \varphi_2},$$

oder auch mit Hülfe zweier willkürlichen Constanten c_1, c_2 in der symmetrischen Gestalt

$$\alpha = 1 + \frac{2K-2}{n} - \frac{(n-2)}{n(n-1)} \cdot \psi \cdot \frac{c_1 \alpha_2 - c_2 \alpha_1}{c_1 \varphi_1 + c_2 \varphi_2}$$

schreiben kann.

Wir wollen nun den Fall, dass α, β, \dots, r ganze Zahlen wären als Ausnahmefall betrachten. Da in der Reihenentwicklung von $E_k(x_1, x_2)$ jedenfalls keine gebrochene Potenz vorkommt, haben wir:

So lange die α, β, \dots, r nicht zufälligerweise ganze positive Zahlen sind, gehört das Polynom E_k in jedem singulären Punkt zum Exponenten 0.

Nun ist folgendes die characteristische Wendung in der Theorie der Lamé'schen Polynome: Haben wir sich die Formen φ und ψ , d. h. die singulären Punkte und ihre Exponenten gegeben, und fragt dann, ob man die Form X , welche die von uns sogenannten accessorischen Parameter ent-

hält, so bestimmen kann, dass eine Partiellelösung der Differentialgleichung ein Lame'sches Polynom wird?

Die Lösung dieser Aufgabe stellt sich also ein höheres algebraisches Problem heraus.

Ich will heute nur noch eine historische Bemerkung machen: Die geschilderte Fragestellung stammt aus der mathematischen Physik, wo sie aber nicht in voller Allgemeinheit auftritt. Vielmehr:

Der gewöhnliche Fall der mathematischen Physik ist dadurch charakterisiert, dass die $n-1$ ersten Exponentendifferenzen z.B. $\dots = \alpha = \frac{1}{2}$ sind, worauf die letzte Exponentendifferenz $\nu = 2k + \frac{n-3}{2}$ wird.

[Dr. d. 7. Juni 1894.] Es ist heute das algebraische Problem näher zu formulieren, von dem, wie wir in der letzten Stunde sagten, das Problem der Lamé'schen Polynome abhängt.

Man setze das Polynom $E_k(x_1, x_2)$ vom Grade k mit seinen $k+1$ unbestimmten Coefficienten in die Differentialgleichung

$$(E, \Phi)_2 + (E, \Psi)_1 + E, X_0 = 0$$

ein. Die entstehende ganze rationale Form $(n+k-4)$ ten Grades soll identisch verschwin-

den, d. h. ihre $n+k-3$ Coefficienten sollen verschwinden. Das gibt aber $n+k-3$ homogenen linearen Gleichungen für die $k+1$ Unbekannten. Damit diese verträglich seien, müssen besondere Bedingungen für die Coefficienten der P, Ψ, X erfüllt sein: Φ und Ψ sehen wir als gegeben an; dann hat X also ganze rationale Form vom Grade $n-4$ gerade $n-3$ willkürliche Coefficienten, genau ebensoviel, als wir Bedingungen erfüllen müssen, um alle Gleichungen verträglich zu machen. Die Aufgabe ist also folgendermassen zu formuliren:

Die sämtlichen $n+k-3$ linearen Gleichungen sollen die Folge von nur k Gleichungen sein.

Das hierdurch bedingte Verschwinden der $(k+1)$ reihigen Determinanten der aus den Coefficienten gebildeten Matrix liefert $n-3$ Bedingungen für die Coefficienten der P, Ψ, X , insbesondere, indem wir Φ und Ψ als gegeben ansehen, für die $n-3$ Coefficienten von X .

Die $n-3$ unbekannten Coefficienten von X treten linear aber nicht homogen in allen einzelnen Gliedern der Matrix auf und

Können daher als Unbekannte angesehen werden, durch welche wir unsere $n-3$ Bedingungsgleichungen befriedigen.

Es ist dann die Frage, wie viele Lösungen das genannte Gleichungssystem besitzt, wieviel Lame'sche Polynome von irgend einem bestimmten Grad also existieren?

Es hat diese Abzählung zuerst Heine in den Berliner Monatsberichten 1864 geleistet. Seine Entwicklungen sind sehr mühsam. Seitdem ist aber von Seiten der algebraischen Geometrie hier die Technik in der Behandlung solcher Matrixgleichungen sehr entwickelt worden. Man findet die Frage nach der Anzahl der gemeinsamen Lösungssysteme eines Systems von Matrixgleichungen in allgemeiner Form beantwortet bei G. Roberts in Crelle's Journal 67, 1867. Der Gegenstand ist übrigens in Salmon-Fiedler, Raumgeometrie, in dem Kapitel von der allgemeinen Theorie der algebraischen Flächen ausführlich dargestellt. Ich kann hier nur das Resultat angeben, wie es sich bei unserem speziellen Problem heraussstellt. Man findet:
Die Anzahl der verschiedenen Lösungen

systeme unseres Matrizegleichungssystems und also die Anzahl der verschiedenen Lamé'schen Polynome vom Grade k bei n singulären Punkten beträgt

$$\frac{(k+1)(k+2) \dots (k+n-3)}{1 \cdot 2 \dots (n-3)}$$

Z. B. im Falle $n=5$, $k=1$ handelt es sich um das Verschwinden einer Matrice mit 2 Horizontal- und 3 Verticalreihen, deren einzelne Glieder in den beiden gesuchten Coefficienten linear sind. Das bedeutet aber geometrisch den Schnitt einer Coordinatenebene mit einer Raumkurve 3. Ordnung. Man bekommt so 3 Lösungssysteme, in Übereinstimmung mit unserer Formel.

So weit ist diese Theorie ganz allgemein, von algorithmischem Charakter. Sehr synthetischer Charakter haben die folgenden Betrachtungen, welche sich auf Realität und Lage der Wurzelpunkte der verschiedenen Lamé'schen Polynome E_k beziehen.

Wir fragen: Wie viele reelle Wurzeln besitzt ein Polynom E_k , und wie verteilen sich dieselben auf die einzelnen durch die Verzweigungspunkte a, b, \dots, m, n gebildeten Seg-

mentie der reellen Wurzelnase?

Wir knüpfen zuerst an den eigentlichen Lamé'schen Fall an, wo alle Exponentendifferenzen mit Ausnahme einer einzigen = $\frac{1}{2}$ sind. Den letzten Punkt, dessen Exponentendifferenz von $\frac{1}{2}$ verschieden ist, nämlich = $2k + \frac{n-3}{2}$, pflegt man nach ∞ zu werfen. Wir haben also das Schema:



Dann wird behauptet:

Für vorliegenden Fälle sind alle E_k reell und haben reelle Wurzeln, die durchaus in den Intervallen von a bis m liegen.

Wir wollen diese Intervalle, welche, wenn n ins Unendliche gelegt wird, ganz im Endlichen liegen, als die „innern Intervalle“ bezeichnen.

Der ausgesprochene Satz ist schon von Heine bewiesen. Ich habe denselben in Math. Ann. 18 in der Weise vervollständigt, dass ich die Verteilung der Wurzeln auf die einzelnen Intervalle für die verschiedenen E_k näher bestimmt habe.

Die nähere Untersuchung beginnt mit der Überlegung, dass die Zahl der E_k gerade mit

der Anzahl von Möglichkeiten übereinstimmt,
 K Punkte auf $n-2$ Intervalle zu verteilen; die
Sache ist dann so, dass geradezu jeder ein-
zernen Verteilungsweise ein und nur ein Ex
entspricht.

Z. B. hat man für $n=4$ die K Punkte auf
 2 innere Intervalle zu verteilen, was gerade
 $K+1$ Möglichkeiten gibt, genau soviel, als
 es Polynome E_K gibt.

Dieses Theorem hat Stieltjes in Acta ma-
 thematica 6.1884 erweitert, und in einer ganz
 besonders anschaulichen Weise bewiesen.

Stieltjes sagt; das Theorem bleibt ungeän-
 dert bestehen, sobald $\alpha, \beta, \dots \in$ sämtlich L_1
 sind. Insbesondere dürfen $\alpha, \beta, \dots \in$ belie-
 bige negative Zahlen sein.

Die hierin liegende Erweiterung ist nicht
 überraschend; ich sage:

Wenn ich das Realitätstheorem nur im Fal-
le der mathematischen Physik kenne, so kann
ich von da aus den verallgemeinerten Stielt-
jes'schen Satz sehr leicht durch Continuität
ableiten. Folgendarmassen:

Da $\alpha < 1, \beta < 1, \dots \in L_1$ sein soll, so muss
 das Polynom E_K an jeder der Stellen $a, b, \dots m$

gewiss zum Exponenten 0 gehören. Das heißt:
Keine Wurzel des Polynoms E_x fällt innerhalb der singulären Punkte $a, b, \dots m$ hinin.

Ferner aber behaupte ich:

$E_x = 0$ kann niemals im Innern eines Intervalls eine mehrfache Wurzel haben.

Denn wäre das der Fall, so würde an der betreffenden Stelle nicht nur E , sondern auch E' verschwinden, folglich, da im Innern eines Intervalls der Coefficient φ von E'' in der Differentialgleichung

$$\varphi \cdot E'' + -E' + -E = 0$$

nicht verschwindet, müfste auch E'' und dann auch jede höhere Ableitung von E verschwinden, also E constant = 0 sein. Also:

Unsere Behauptung, dass E niemals eine Doppelwurzel im Innern eines Intervalls hat, folgt daraus, dass E einer linearen Differentialgleichung 2. Ordnung genügt.

Nun möge α, β, \dots zu sich langsam ändern, von den Werten $\frac{1}{2}$ ausgehend. Alle Wurzeln eines Polynoms liegen getrennt in den innern Intervallen, sie werden sich langsam und stetig verschieben, doch so, dass nie einer der Punkte mit einem Punkt

se a, b, \dots in oder mit einem der andern Wurzelpunkte zusammenrückt.

Da wären nun zwei Möglichkeiten, wie sich Anzahl und Verteilungsweise der reellen Wurzelpunkte ändern könnte. Einmal könnte ein Polynom zwar reell bleiben, aber zwei Wurzelpunkte conjugiert complex werden; das ist von vorne herein auszuschließen, weil die beiden Punkte dann erst zusammenrücken müßten. Andererseits könnte ein E_k überhaupt complexe Coefficienten bekommen; dann müßte aber ein anderes E_k die conjugiert complexen Coefficienten bekommen, und vorher müßten beide E_k identisch werden, was deswegen unmöglich ist, weil die Verteilungsweise der Wurzeln auf die reellen Intervalle von vorn herein für alle E_k wesentlich verschieden war. Folglich müssen alle Wurzeln reell bleiben und für jedes E_k dieselbe Verteilungsweise auf die Intervalle beibehalten, wie für $\alpha = \beta$.
 $\dots = \alpha - \frac{1}{2} . -$

Nun wollen wir zu dem allgemeinen Beweise von Stieltjes übergehen, der das betr. Theorem gleich nach seinem

vollen Umfange beweist.

Die Differentialgleichung für E hat die Form (unabh. Var. z)

$$E'' \left(\frac{1-\alpha}{z-a} + \dots + \frac{1-\nu}{z-n} \right) E' + (\dots) E = 0$$

Ist z_i einer der K Wurzelpunkte von E , so wird für einen solchen die Gleichung sich schreiben lassen:

$$\left(\frac{E''}{E'} \right)_{z=z_i} + \left(\frac{1-\alpha}{z_i-a} + \dots + \frac{1-\nu}{z_i-n} \right) = 0.$$

Nun ist

$$E = (z-z_1)(z-z_2) \dots (z-z_K).$$

Daraus berechnet man

$$\left(\frac{E''}{E'} \right)_{z=z_i} = \frac{2}{z_i-z_1} + \frac{2}{z_i-z_2} + \dots + \frac{2}{z_i-z_K}; \quad i=1, 2, \dots, K,$$

und man bekommt also den Satz:

Die Wurzelpunkte z_i ($i=1, 2, \dots, K$) eines Lame'schen Polynoms genügen den Gleichungen

$$\frac{1}{z_i-z_1} + \frac{1}{z_i-z_2} + \dots + \frac{1}{z_i-z_K} + \frac{\frac{1}{2}(1-\alpha)}{z_i-a} + \frac{\frac{1}{2}(1-\beta)}{z_i-b} + \dots + \frac{\frac{1}{2}(1-\nu)}{z_i-n} = 0,$$

und umgekehrt, wenn man K Punkte z_1, z_2, \dots, z_K hat, welche diesen Gleichungen genügen, dann bilden dieselben die Verschwindungsstellen eines Lame'schen Polynoms.

Fr. d. 8. Febr. 1894.] Die gestern gefundenen

Gleichungen für die Verschwindungsstellen eines Polynoms E_k lassen nun nach Stieltjes eine sehr einfache mechanische Deutung zu. Ich werde Ihnen dieselbe hier in der Weise entwickeln, wie es Bocher in seinem dem nächst erscheinenden Buche „Die Riemannentwicklungen der Potentialtheorie“ darstellt, nämlich unter Ausdehnung auf beliebig complexe z_1 , resp. $a, b, \dots n$.

Es sei z ein beweglicher Massenpunkt (u, z) , z' ein fester Punkt mit der Masse u' in einer z -Ebene. Bedeutet $r_{uu'}$ die gegenseitige Entfernung der beiden Massenpunkte, so stellt

$$U = u u' \log r_{uu'},$$

oder, was dasselbe ist

$$U = u u' R \log (z - z')$$

das „logarithmische Potential“ der beiden Punkte aufeinander vor, und es ist $\frac{\partial U}{\partial z}$ eine in der Richtung des Radius vector $r_{uu'}$ wirkende Kraft, welche der eine Punkt auf den andern ausübt, eine Abstafung, wenn u und u' gleiches, eine Anziehung, wenn die ungleiches Vorzeichen haben.

Als Function des Punktes z wird U ander

Stelle $z = z'$ negativ logarithmisch unendlich, außerdem aber an der Stelle $z = \infty$ positiv logarithmisch unendlich, als wenn sich im Unendlichen ebenfalls ein Massenpunkt und zwar von der Masse $-\mu'$ befände.

Wenn wir diese Sonderstellung des unendlich fernen Punktes vermeiden wollen, dürfen wir in der Theorie des logarithmischen Potentials auf einen beweglichen Punkt nur solche Massenaggregate wirken lassen, deren Summe = 0 ist.

Es seien nun n feste Punkte a, b, \dots, m , n je mit den Massen $\frac{1}{2}(1-\alpha), \frac{1}{2}(1-\beta), \dots, \frac{1}{2}(1-\mu), \frac{1}{2}(1-\nu)$ gegeben, und es bedeuten z_i ($i = 1, 2, \dots, k$) k bewegliche Punkte je mit der Masse 1. Das Gesamtpotential dieser Punkte auf einander ist dann durch die Summe vorgestellt:

$$\begin{aligned} U = R(U+iV) = R & \left[\sum_i \sum_j \log(z_i - z_j) + \sum_i \frac{1}{2}(1-\alpha) \log(z_i - a) \right. \\ & + \sum_i \frac{1}{2}(1-\beta) \log(z_i - b) + \dots + \sum_i \frac{1}{2}(1-\nu) \log(z_i - n) \\ & \left. + \frac{1}{2}(1-\alpha) \cdot \frac{1}{2}(1-\beta) \log(a-b) + \dots + \frac{1}{2}(1-\mu) \cdot \frac{1}{2}(1-\nu) \log(m-n) \right]. \end{aligned}$$

Auf irgend einen der beweglichen Punkte z_i wirken hier die $k-1$ übrigen beweglichen Punkte je mit der Masse 1, sowie die Punkte a, b, \dots, n je mit der Masse $\frac{1}{2}(1-\alpha), \frac{1}{2}(1-\beta), \dots, \frac{1}{2}(1-\nu)$, also

eine Massensumme

$$R - 1 + \sum \frac{1}{2} (1 - \alpha).$$

Wir treffen nun von Hause aus die Verabredung so, dass für den beweglichen Punkt z_i das Unendlichferne keine Unstetigkeit ist, d. h. wir setzen

$$R - 1 + \sum \frac{1}{2} (1 - \alpha) = 0.$$

In der That stimmt diese Festsetzung genau damit überein, dass der Grad eines Lamé'schen Polynoms

$$k = \frac{\sum (\alpha - 1) + 2}{2}$$

ist.

Nun fragen wir, ob die k beweglichen Punkte so zwischen den n festen Punkten angeordnet werden können, dass sie sich im Gleichgewicht - einerlei ob in stabilem oder in labilem - befinden. Die auf einen Punkt $z_i = x_i + iy_i$ wirkende Kraft ist durch ihre Componenten $\frac{\partial U}{\partial x_i}$ und $\frac{\partial U}{\partial y_i}$ gegeben; beide müssen verschwinden, wenn der Punkt z_i im Gleichgewicht sein soll:

$$\frac{\partial U}{\partial x_i} = 0 \quad \frac{\partial U}{\partial y_i} = 0;$$

mit $\frac{\partial U}{\partial y_i}$ muss auch $\frac{\partial U}{\partial x_i} = -\frac{\partial U}{\partial y_i} = 0$ sein. Dann kann man beide reelle Gleichungen in die

eine komplexe zusammenfassen:

$$\frac{\partial(u+iV)}{\partial z_i} = 0$$

oder, da $\frac{\partial}{\partial z_i} = \frac{\partial}{\partial(x_i+iy_i)} = \frac{\partial}{\partial x_i}$ ist:

$$\frac{\partial(u+iV)}{\partial x_i} = 0.$$

Die $2K$ Bedingungen für das Gleichgewicht sind in den K komplexen Gleichungen zusammengefasst:

$$\frac{\partial(u+iV)}{\partial z_i} = \sum_j \frac{1}{z_i - z_j} + \frac{\frac{1}{2}(1-\alpha)}{z_i - a} + \frac{\frac{1}{2}(1-\beta)}{z_i - b} + \dots + \frac{\frac{1}{2}(1-\nu)}{z_i - \nu} = 0.$$

$$i = 1, 2, \dots, k.$$

Diese Gleichungen sind über genau die Gleichungen, denen die K 0-Gstellen eines Lame'schen Polynoms genügen. Also:

Die k 0-Stellen eines Lame'schen Polynoms E_k sind direkt definiert als Gleichgewichtslage von K beweglichen Punkten, welche die Klasse 1 besitzen, während in den festen Punkten a, b, \dots, ν die Massen $\frac{1}{2}(1-\alpha), \frac{1}{2}(1-\beta), \dots, \frac{1}{2}(1-\nu)$ angebracht sind.

Im Falle von Stieljes ist

$\alpha < 1, \beta < 1, \dots, \nu < 1$ $v = 2K - 1 + \sum(1-\alpha) > 1$,
folglich sind die Massen in den Punkten a, b, \dots, m sämtlich positiv. Also:

Der einzelne Punkt z_i erfährt im Falle von
Stieljes nicht nur seitens der andern Punkte zu
Abstoßung, sondern auch seitens der $n-1$ festen
Punkte a, b, \dots, m , während er allerdings vom
Punkte n stark angezogen wird.

Nun beschränken wir die Lage der festen und der beweglichen Kassenpunkte auf die reelle Axe. Wir denken uns die K beweglichen Kassenpunkte irgend wie in die Intervalle zwischen den Punkten a, b, \dots, m hingestreut. Dieselben werden sich dann irgendwie in eine Gleichgewichtslage anordnen müssen, und zwar muss jeder der $\frac{(K+1) \cdot (K+n-3)}{\dots \cdot n-3}$ verschiedenen möglichen Verteilungsweisen der K Punkte auf die $n-2$ Intervalle mindestens eine Gleichgewichtslage entsprechen. Denn bei den Bewegungen, die sich nach der Ausstreuung einzstellen, kann kein Punkt über eine Intervallgrenze hinweggehen, weil er von dem betreffenden Punkte a, b, \dots, m vorher unendlich stark abgestoßen würde. Ebenso wenig, wie einer der Punkte z_i an einen Punkt a, b, \dots, m heranrücken kann, ebenso wenig können zwei derselben zusammenrücken. Wir haben also den Satz:

Wie immer wir die k Punkte also reelle Punkte auf die $n-2$ innern Intervalle verteilen mögen, ganz gewiss gibt es dieser Verteilungsweise entsprechend mindestens eine Gleichgewichtslage der Punkte und also ein entsprechendes Lame'sches Polynom E_k .

Nun gilt es gerade ebensoviel verschiedene Verteilungsweisen der Punkte, als es Polynome gibt. Jeder Verteilungsweise, haben wir gesehen, entspricht mindestens ein Polynom; also lässt sich schließen, dass jeder Verteilungsweise auch gerade nur ein einziges Polynom entspricht.

Andere Gleichgewichtslagen der k Punkte in der z -Ebene, als auf der reellen Axe kann es daher auch nicht geben, da ja schon die Zahl aller Polynome mit den gefundenen Gleichgewichtslagen auf der reellen Axe erschöpft ist. Also:

Alle Polynome E_k sind reell und liefern =0 gesetzl k reelle Wurzeln, welche auf die $n-2$ innern Intervalle so verteilt sind, dass das einzelne E_k durch die Art und Weise der Verteilung seiner n Wurzeln auf die $n-2$ Intervalle charactenisiert ist.

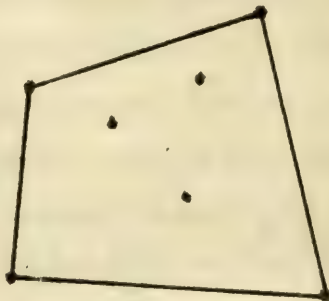
Böcher hat diesen Satz und den Beweis

von Stieltjes in folgender Weise für den Fall verallgemeinert, dass die singulären Punkte $a, b, \dots m, n$ allgemeine Lage in der komplexen Zahlenebene haben:

Es sei der Punkt n ins Unendliche geworfen. Alle übrigen, im Endlichen gelegenen Punkte schließe man in ein geradliniges Polygon ohne Überschlagsfe Winkel

ein. Dann gilt der Satz:

Die Wurzeln E_k der sämtlichen zugehörigen Gammischen Polynome sind in unserem geradlinigen Polygonge enthalten.



Denn wenn Punkte z_i außerhalb des Polygons liegen, so könnte man wenigstens durch einen dieser Punkte eine solche gerade Linie ziehen, dass nicht nur alle Punkte $a, b, \dots m$, sondern auch alle übrigen Punkte z_i , d. h. alle auf den betreffenden Punkt abgestossen wirkenden Punkte auf einer und derselben Seite der Geraden liegen. Dann kann der betr. Punkt aber auf keinen Fall im Gleichgewicht sein, sondern er muss nach der andern Seite hin abgestossen werden.

Construieren wir das Böcher'sche Polygon in dem Falle, wo die Punkte $a, b, \dots m$ sämtlich auf der reellen Axe liegen, so reduziert sich dasselbe auf einen unendlich



schmalen nur die Segmente der reellen Axe von a bis m einschliessenden Flächenstreifen. Daraus folgt unmittelbar, dass alle Wurzeln von $E_k = 0$ auf diesen $n-2$ Segmenten der reellen Axe liegen müssen.

Eine unmittelbare Folge des Böcher'schen Satzes ist, dass die sämtlichen Wurzeln z_i im Falle reeller $a, b, \dots m$ zwischen a und m auf der reellen Axe liegen. Es bleibt also unbekannt, wie sich die Punkte z_i auf die verschiedenen Intervalle von a bis m verteilen.

Wenn bei Beschränkung auf reelle z die Punktsysteme z_i des Stieltjes'schen Falles sich notwendig im stabilen Gleichgewicht befinden, so wird das Gleichgewicht sofort labil, sobald wir den Punkten z_i freie Beweglichkeit in der z -Ebene gestatten.

Denn man braucht nur durch denjenigen der Punkte z_i , der nach einer kleinen Verrück-

kung in das complexe Gebiet hinein am weitesten von der reellen Axe entfernt ist, eine parallele Gerade zur reellen Axe zu construiren, um zu sehen, dass dann alle abstossenden Punkte auf derselben Seite dieser Geraden, wie die reelle Axe sich befinden, und dass also der Punkt notwendig noch weiter von der reellen Axe fortgetrieben wird.

So viel über den Stieltjes'schen Gedanken,

zumal mit der Böcher'schen Erweiterung.
Di. d. 12. Juni 1894.] Wir wollen heute den in der vorigen Stunde Gesprochenen allgemeinen Stieltjes'schen Satz speciell für $n=3$, d. h. für die hypergeometrische Function genauer überlegen und insbesondere sehen, wie man den selben vermittelst der Methode der konformen Abbildung bestätigt.

Sind $\alpha, 0; \beta, 0; \gamma, 0$ die Exponenten der drei singulären Punkte a, b, c , so muss, wenn ein Polynom $\tilde{E}_k(x)$ zu der Differentialgleichung als Particularlösung existieren soll

$$\alpha + \beta + \gamma = 2k + 1$$

sein. Die Anzahl der \tilde{E}_k ist einfach = 1. In der That drückt man \tilde{E}_k leicht durch eine abbrechende hypergeometrische Reihe aus,

nämlich, wenn wir sogleich homogen machen:
 $E_k(x_1, x_2) = (x_1 - cx_2)^k \cdot F(k+1-\alpha-\beta, -k, 1-\alpha, \frac{x-a}{x-c} \cdot \frac{b-c}{b-a})$

Der Satz von Stieltjes behauptet nun, dass für $\alpha < 1, \beta < 1$ das vorstehende Polynom, d. h. die abbrechende hypergeometrische Reihe zwischen $x=a$ und $x=b$ gerade k reelle Wurzeln besitzt.

Andererseits haben wir im vorigen Semester aus der conformen Abbildung folgenden Satz über die Anzahl der reellen Wurzeln einer hypergeometrischen Reihe in ihrem Intervall abgeleitet (Lettre des Autors.)

Die Anzahl der 0-Stellen der einzelnen hypergeometrischen Reihe im Intervall ist

$$\underline{E\left(\frac{(|\alpha|-|\beta|+1)}{2}\right)+\varepsilon},$$

wo $\varepsilon=0$ oder -1 zu wählen ist, und zwar so, dass die Gesamtzahl der Wurzeln gerade oder ungerade ist, je nachdem die F -Reihe bei 1 positiv oder negativ ist.

Dass die so zu bestimmende Zahl gerade $= k$ wird, das wäre ins Einzelne auszuführen.

Wir aber wollen an dieser Stelle statt dessen das Resultat von Stieltjes lieber durch Betrachtung der conformen Abbildung ableiten, einerseits,

weil wir die Formel des vorigen Semesters selbst erst aus der conformen Abbildung abgeleitet haben, andererseits, um zu sehen, ob wir nicht mit der Methoden der conformen Abbildung wenigstens im Falle $n = 3$ noch über das Stieltjes'sche hinausgehende Resultate gewinnen können.

η stellt sich in Form eines Integrals dar:

$$\eta = \frac{\int (x-a)^{\alpha-1} (x b)^{\beta-1} (x c)^{\gamma-1} (x, dx)}{E_k(x_1, x_2)^2}.$$

Die positive Halbebene x -wird durch dieses Integral auf ein geradliniges Dreieck mit den Winkeln $\alpha\pi, \beta\pi, \gamma\pi$ abgebildet, wobei negative Winkel so zu verstehen sind, dass die betroffene Ecke im Unendlichen liegt. Denn für α, β, γ und η bei $x=a$ unendlich.

Aber diese eventuell bei $x=a, b, c$ liegenden Unendlichkeitspunkte von η collidieren nicht mit denjenigen ∞ -Punkten von η , welche von den 0 -Stellen des $E(x_1, x_2)$ herrühren, da ja diese durchaus von a, b, c getrennt liegen. Wenn eine 0 -Stelle von E auf der reellen Axe liegt, sagen wir zwischen a und b , so muss η auf der diesem Segment entsprechende

Dreieckseite ∞ werden, die Seite sich also durchs Unendliche hindurchziehen.

Wann dagegen E eine complexe O-Stelle hat, so tritt diese immer mit ihrer conjugirten zusammen auf, da ja für $n=3$ bei reellen α, β, γ die Differentialgleichung immer reell ist; von jedem Paare conjugirt complexer Wurzeln liegt aber immer eine in der positiven Hallebene, d. h. η wird ihr entsprechend einmal in der Dreiecksfläche unendlich, oder anders ausgedrückt, die Dreiecksfläche zieht sich einmal durchs Unendliche. Also:

Aus der Anzahl der Seitendurchgänge unseres Dreiecks, bezw. aus der Anzahl der Flächendurchgänge erfahren wir die Anzahl der reellen Wurzeln, von E im einzelnen Intervall und die Anzahl der complexen Wurzeln überhaupt.

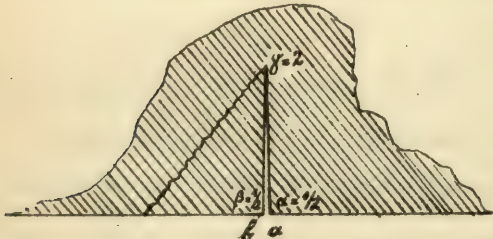
Im vorigen Semester haben wir uns mit dem allgemeinen Kreisbogendreieck beschäftigt und vom geradlinigen Dreieck nur nebenbei gesprochen. Wir fragten damals, wie oft eine Seite sich überschlage; diese Frage, auf eine geradlinige Seite bezogen, ist von der jetzigen, wie oft die Seite sich durch ∞ zieht,

etwas verschieden. Denn die Anzahl der Durchgänge durch ∞ kann ev. um 1 größer sein als die Zahl der Überschlagungen der Seite. Also:

Die hier vorliegende Fragestellung, wie oft die einzelne Seite des Dreiecks durch den ∞ -Punkt der η -Ebene läuft, ist der Fragestellung des Wintersemesters, wie oft sich die einzelne Seite überschlägt, d. h. über jeden beliebigen ihrer Punkte hinläuft, außerordentlich benachbart, aber doch nicht mit ihr identisch.

Wir wollen nun durch wirkliches Zeichnen der geradlinigen Dreiecke den Stieltjes'schen Satz beweisen.

1. Wir gehen aus von dem Dreieck $\alpha = \frac{1}{2}, \beta = \frac{1}{2}, \gamma = 2k$, welches für $k=1$ folgendes Aussehen zeigt, während man sich für $k > 1$ noch längs der geschlängelten Linie $k-1$ Halbebenen polar angehängt zu denken hat.



Man sieht aus der Figur, dass für $k=1$ die Seite α sich einmal durch ∞ zieht, und für $k>1$ noch $k-1$

mal mehr, d. h. allgemein k mal. Also.

Alle Wurzeln von E_k sind reell und liegen im Intervall von a bis b .

Nun wollen wir uns die Figur continuirlich abgeändert denken, und zwar, indem wir dabei die Größe des Winkels $\beta = \frac{\pi}{2}$ festhalten, und α einmal von $\frac{\pi}{2}$ bis zu seiner Grenze π wachsen lassen, dann von $\frac{\pi}{2}$ durch 0 zu negativen Werten abnehmen lassen.

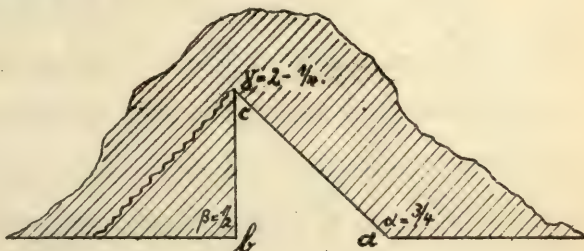
$$2). \alpha = \frac{3\pi}{4}, \beta = \frac{\pi}{2}, \gamma = 2k - \frac{1}{4}.$$

Man sieht, wenn der Schenkel ca des Winkels γ allmählich nach rechts gedreht wird, dass die Seite ab

solange nicht aufhört, einmal, bezw. bei $k=1$ polar angehängten Halbebenen k mal durch ∞ zu ziehen, als $\gamma > 1\frac{1}{2}$, $\alpha < 1$ bleibt. Das ist genau die Stieltjes'sche Grenze.

Unsere Figur behält ihren Character bis zu dem Moment, in welchem $\alpha = 1$ wird, wo andere Verhältnisse eintreten, die noch näher untersucht werden sollen.

3). Wir lassen nun β von $\frac{\pi}{2}$ an continuirlich



abnehmen. Zuerst:

$$\alpha = \frac{\pi}{4}, \beta = \frac{\pi}{2}, \gamma = 2k + \frac{1}{4}$$

Die Figur hat für $k=1$ das Aussehen nebenstehenden Dreiecks; für $k > 1$ hat

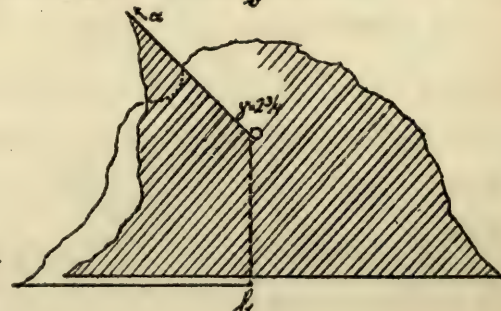
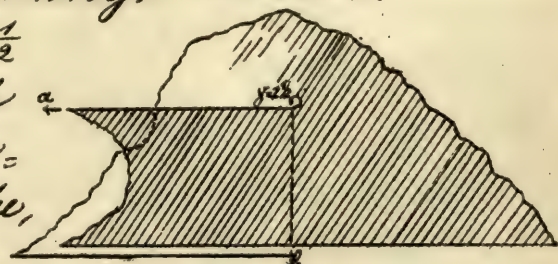
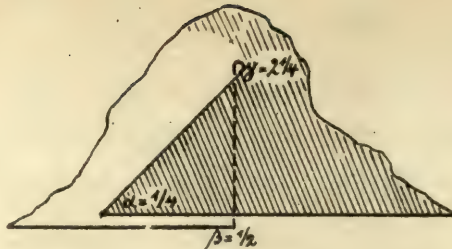
man nur noch $k-1$ Halbebenen einzuhängen, wodurch $k-1$ Seitendurchgänge hinzukommen. Wir sehen, dass andern Durchgängen durch ∞ nichts geändert ist. Da übrigens das Verhältnis des Falles $k > 1$ zum Falle $k=1$ immer wieder dasselbe einfache ist, soll in den folgenden Figuren immer nur der Fall $k=1$ berücksichtigt werden.

$$4/\alpha = 0, \beta = \frac{\pi}{2}, \gamma = 2k + \frac{1}{2}$$

Die Seite $a b$ geht auch jetzt gerade noch einmal durchs Unendliche, wie es sein soll. Dass a ins Unendliche zurück ist, darf dabei nicht mitgezählt werden.

$$5). \alpha = -\frac{\pi}{4}, \beta = \frac{\pi}{2}, \gamma = 2k + \frac{3}{4}$$

Wir können jetzt den



Schenkel c a beliebig immer weiter drehen, ohne dass sich ander Seite ab oder b etwas ändert. Es hängen sich dabei, so oft man um π oder 2π weiter gedreht hat, an die Dreiecksseite c a Halbebenen und Vollebenen lateral an; das ist die ganze Änderung.

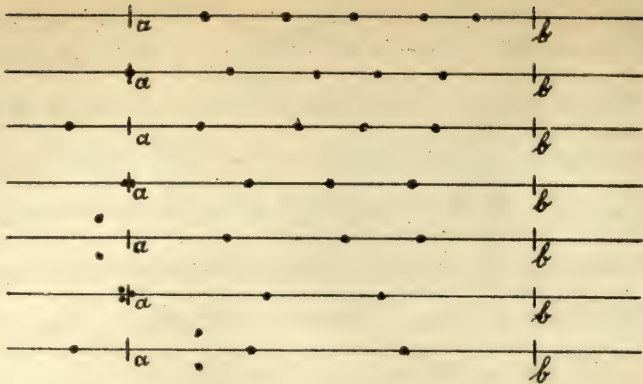
Wir sehen also:

Die hiermit erreichte Gestalt des Dreiecks ändert sich nun, wenn α weiter ins negative wächst, was die Seiten c , b , a angeht, gar nicht, nur der Schenkel c a dreht sich im Sinne des Uhrzeigers fortwährend um c herum, wobei er die Membrane des Dreiecks hinter sich herzieht.

Damit ist der Satz von Stieltjes, wenigstens in Bezug auf die Änderung von α vollständig bestätigt. Ganz entsprechendes findet man, wenn man nun auch noch β in unsern Figuren variiert.

Wie ist's nun aber wenn wir α über die Grenze 1 hinaus wachsen lassen? Ich will heute nur noch kurz das Resultat angeben, welches durch folgende schematische Figuren zu übersehen ist, bei denen ich $k = 5$ nehme.

- 1., $\alpha < 1, \beta < 1.$
 2., $\alpha = 1, \beta < 1.$
 3., $1 < \alpha < 2.$
 4., $\alpha = 2.$
 5., $2 < \alpha < 3.$
 6., $\alpha = 3.$
 7., $3 < \alpha < 4.$



Für $\alpha = 1$ rückt einer der vorher im Intervall ab gelegenen Wurzelpunkte nach a selbst hin ein und für $\alpha > 1$ darüber hinaus in das Intervall a c. Für $\alpha = 2$ wird dieser Punkt wieder an a herangezogen, zugleich mit einem der übrigen Punkte und für $\alpha < 2$ werden diese beiden Wurzelpunkte complex. Darauf wiederholt sich dasselbe Spiel mit den $k - 2$ nach reell gebliebenen und im Intervall ab gelegenen Wurzeln, bis schließlich alle Wurzeln complex sind, oder nur eine einzige reelle übrig bleibt.

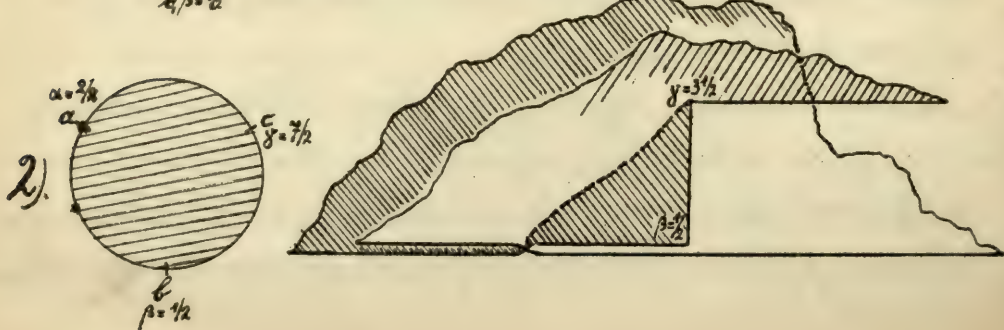
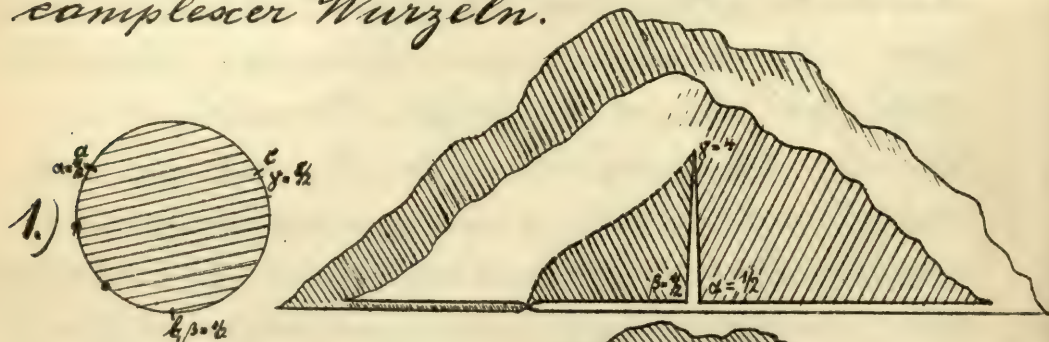
Dass alle Wurzeln complex werden, tritt ein, wenn k eine gerade Zahl ist und α zwischen k und $k + \frac{1}{2}$ liegt; dann liegt aber wegen $\beta = \frac{1}{2}$ auch γ zwischen k und $k + \frac{1}{2}$, die beiden Punkte α und γ sind also gleichberechtigt. Lässt man

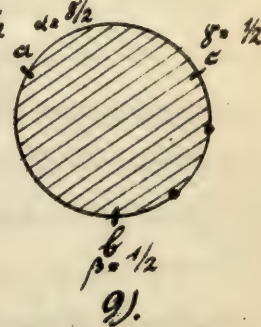
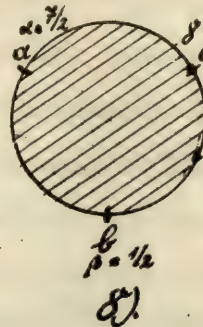
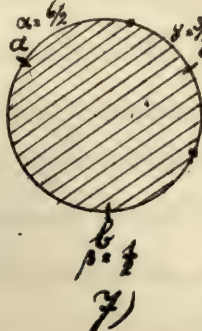
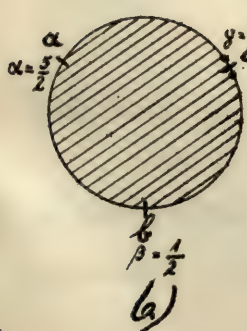
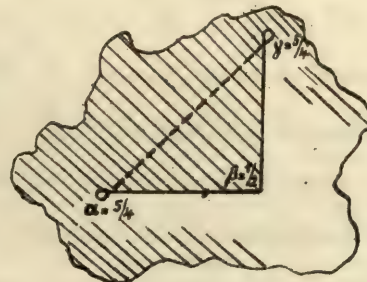
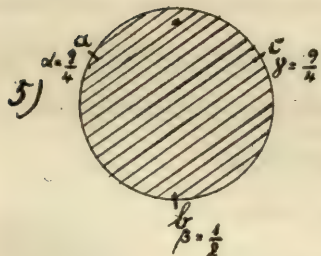
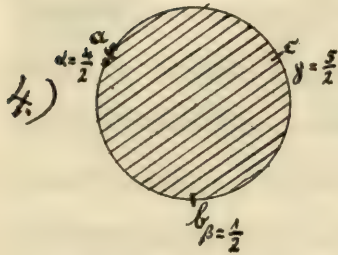
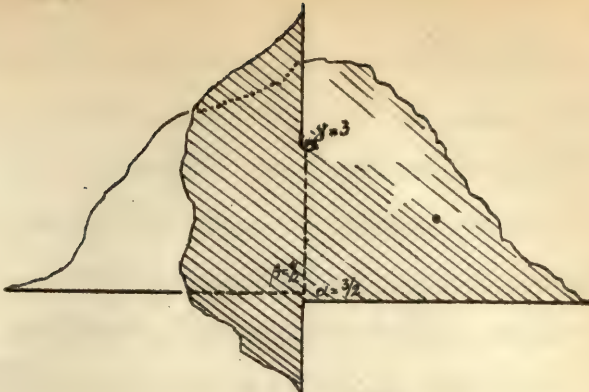
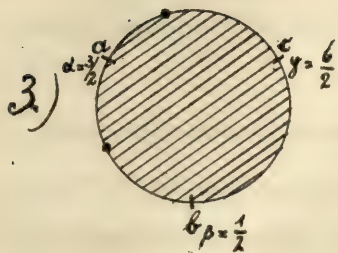
nun & weiter wachsen, immer bei festgehal-
tenem Werte von β , so nimmt dafür γ ab,
und wird kleiner als k . Es übernimmt da-
her jetzt das Intervall $c \dots b$ dieselbe Rolle
wie vorher das Intervall $a \dots b$, und es treten
nach und nach alle die complexen Wurzel-
punkte von E_k in das Intervall $c \dots b$
ein, indem nur die Figuren davori-
gen Seite in umgekehrter Reihenfolge
und mit Vertauschung von a und c
zu durchlaufen sind. Schliesslich, wenn
 $\lambda > 2k - \frac{1}{2}$, also $\rho < 1$ geworden ist, sind
wieder alle Wurzelpunkte reell, und wir
haben wieder den Stieltjes'schen Fall, nur
mit $c \dots b$ als innerem Segment. Ähnlich
wie für gerad zahlige k verläuft die
Sache bei ungeradem k ; nur bleibt
ein Punkt reell und wandert statt
durchs Complexae hindurch direkt durch
das Intervall $a \dots c$ hindurch aus $b \dots a$
nach $c \dots b$ hinein.

D. o. d. 14. Juni 1894.] Nur Illustration
mögen die Figuren für $k = 2$ sämmtlich
gezeichnet werden. Um die Gleichberech-
tigung der Intervalle $c \dots a$ und $c \dots b$ bes-

ser hervortreten zu lassen, will ich die reelle Zahlenahe durch einen Kreisersetzen, auf dem die Punkte a , b , c in gleichem Abstand verteilt sind.

Zum Beweise für die Richtigkeit der Figuren für die Verteilung der Wurzeln von E_k sollen ihnen sogleich die entsprechenden geradlinigen Dreiecke mit den Winkeln α , β , γ gegenübergestellt werden. Man sieht dann, dass in der That jedem Seitendurchgang durch ∞ eine reelle Wurzel in dem betr. Intervall entspricht, jedem Flächendurchgang ein Paar complexer Wurzeln.

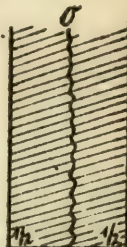




Die Dreiecke zu den Fällen 6) 7) 8) 9) brauche ich nicht zu zeichnen, da sie einfach die Spiegelbilder der Dreiecke 4) 3) 2) 1) sind.

Nun noch einige Bemerkungen zu den einzelnen Zeichnungen.

Als 1. Die Figur V haben wir konstruiert, indem wir zuerst ein Dreieck mit den Winkeln $\alpha = \frac{1}{2}$, $\beta = \frac{1}{2}$, $\gamma = 2$ konstruierten, und an dieses von der Ecke γ aus längs des Verzweigungsschmiedes eine Halbebene polar anhängten. Man könnte fragen, warum wir nicht lieber von dem Dreieck $\alpha = \frac{1}{2}$, $\beta = \frac{1}{2}$, $\gamma = 0$ ausgegangen sind und an dieses 2 Halbebenen polar angehängt haben? Wenn wir dies versuchen würden, indem wir von dem gewöhnlichen Dreieck mit den Winkeln $(\frac{1}{2}, \frac{1}{2}, 0)$ ausgehen, so sehen wir, dass wir durch polare Anhängung einer Halbebene nicht ein Dreieck, sondern zwei zum Teil übereinander - bzw. durcheinander geschoßene Dreiecke erhalten, die gar nicht mit einander zusammenhängen. Also:



Wir dürfen nicht von dem gewöhnlichen Dreieck $(\frac{1}{2}, \frac{1}{2}, 0)$ ausgehen, weil dieses gar keine polare Anhängung verträgt.

Wenn wir wirklich von einem Dreieck $\frac{1}{2}, \frac{1}{2}, 0$ ausgehen wollen, so dürfen wir nicht von dem oben gezeichneten Dreieck ausgehen, sondern von einem ausgearteten unendlich schmalen Dreieck von endlicher Höhe. Hier hat es dann in der That keine Schwierigkeit, eine Halbebene polar anzuhängen, wodurch wir unser Ausgangsdreieck $\frac{1}{2}, \frac{1}{2}, 2$ bekommen. Also sagen wir noch als Ergänzung zur vorigen Bemerkung:

Immer können wir mit dem Falle $y=0$ beginnen, wenn wir uns nicht scheuen, das Dreieck $(\frac{1}{2}, \frac{1}{2}, 0)$ in ausgearteter Form zu zeichnen.

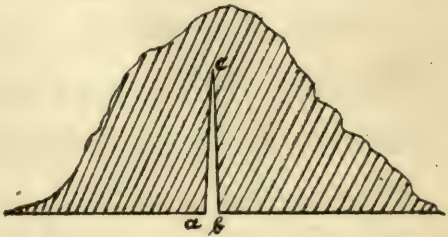
Ad 2. Die eine Ecke α ist ins Unendliche gerückt und hat logarithmischen Charakter bekommen. Dasselbe sehen wir bei der Figur 4). In beiden Fällen sind Wurelpunkte von E_x , bei 2) einer, bei 4) zwei mit a zusammengefallen. Wir sehen:

Unsere singulären Punkte erhalten bei



ganzzahliger Exponentendifferenz nur dann einen logarithmischen Charakter, wenn eine oder mehrere Wurzeln von E in den singulären Punkt hineinrücken. (vergl. hierzu die allgemeine Regel auf pag. 72, 428 der Winteranalyse).

Ad 3. Das Dreieck $(\frac{3}{2}, \frac{1}{2}, \frac{6}{5})$ erhält man am einfachsten, indem man an das nebenstehende Dreieck $(\frac{1}{2}, \frac{1}{2}, 2)$ längs ca eine Halbebene lateral anhängt.



Ad 4. Bei der Betrachtung des Dreiecks sehen wir:

Bei dem Dreieck 4) wird das Unendliche nur von der Ecke c selbst erreicht, und es sind also in der That beide Wurzeln von E_x nach a gefallen, wobei übrigens, wie schon oben bemerkt, ein logarithmisches Glied in der Reihenentwicklung von η auftritt.

Ad 5. Wir sehen hier an der Figur: Keine Seite des Dreiecks zieht sich mehr durchs Unendliche, wohl aber die Fläche des Dreiecks, dem Umstände entsprechend, dass $E_x = 0$ jetzt zwei komplexe Wurzeln bei

Besitzt, in jeder Halbebene eine.

Alle unsere Figuren zusammen geben uns jetzt den Satz:

Indem unsere Dreiecke jeweils die richtigen Winkel α , β , γ haben und mit ihren Seiten bzw. mit ihren Flächen genau so durch Unendliche ziehen, wie es der angegebenen Lage der Wurzeln von $E_k = 0$ entspricht, so wird durch die Gestalt der Dreiecke unsere Angabe über die Lage der Wurzeln von $E_k = 0$ bewiesen.

Überblicken wir unsere Figuren noch einmal im Ganzen, so müssen wir gestehen, dass dieselben trotz der Einfachheit der Voraussetzungen $\beta = \frac{1}{2}$ und $k = 2$ doch verhältnismäßig sehr complicirt sind.

In der That geschah das Heranziehen der Dreiecke mehr im Hinblick auf spätere Entwicklungen, wo die Methode der conformen Abbildung die einzige ist, die uns bleibt, also weil es im vorliegenden hypergeometrischen Falle oder überhaupt bei den Lame'schen Polynomen nötig wäre.

Mit rein algebraischen Mitteln ist die Frage der Wurzelverteilung bei der im Endlichen

abbrechenden hypergeometrischen Reihe von
Stieltjes in Comptes rendus 100. 1885 und
van Hilbert in Crelle's Journ. 103. 1883 ber-
handelt worden.

Wir aber wollen morgen sehen, dass wir
unsere Theoreme direkt durch Betrachtung
des logarithmischen Potentials unseres Punk
systems erweisen. Derartige Betrachtungen
 hat bereits früher in meinem Seminar Dr.
 von Vleck angestellt.

[Fr. d. 15. Juni 1894.] Die ν -Punkte z_i
 $(i=1,2,\dots,k)$ eines Polynoms E_k genügen, wie wir
 gesehen haben, den k Gleichungen

$$\frac{1}{z_i - z_1} + \dots + \frac{1}{z_i - z_k} + \frac{\frac{1}{2}(1-\alpha)}{z_i - a} + \frac{\frac{1}{2}(1-\beta)}{z_i - b} + \frac{\frac{1}{2}(1-\gamma)}{z_i - c} = 0. \\ (i=1,2,\dots,k).$$

Der Stieltjes'sche Fall liegt vor, wenn $\alpha < 1$
 und $\beta < 1$ ist ob. h. wenn $\frac{1}{2}(1-\alpha)$ und $\frac{1}{2}(1-\beta)$
 beide positiv sind, wobei dann $\frac{1}{2}(1-\gamma)$ not-
 wendig negativ ist. Die Schlussweise war
 dann folgende:



Wir haben uns a mit der positiven Klasse
 $\frac{1}{2}(1-\alpha)$, b mit der positiven Klasse $\frac{1}{2}(1-\beta)$, c mit

der negativen Klasse $\frac{1}{2}(1-\alpha)$ geladen zu denken. Wenn wir nun die Punkte z_1, z_2, \dots, z_k sämtlich mit der positiven Ladung 1 versehen und in das Intervall $a \dots b$ eingeschüttet denken, so müssen sie notwendig, da sie sowohl von den Enden des Intervalls wie untereinander abgestossen werden, eine Gleichgewichtslage innerhalb des Intervalls annehmen. Jede Gleichgewichtslage entspricht aber gerade der Wurzelverteilung eines E_k , und da es in unserem Falle $n=3$ nur ein E_k gibt, so ist gerade dieses durch unsere Gleichgewichtslage elektrischer Punkte gegeben, hat also notwendig seine Wurzeln sämtlich im Intervall $a \dots b$.

Nun werde $\alpha = 1$, so dass also der Punkt a seine abstossende Wirkung auf die Punkte z_1, z_2, \dots, z_k verliert; dann hindert nichts mehr, dass ein Punkt z_1 an den Punkt a heran oder darüber hinaus rückt.

Wir werden versuchen, ob wir nicht den für die z_i geltenden Gleichungen Genüge leisten können, indem wir einen der Punkte z_i , nämlich z_1 , nach a selbst legen.

Es sei $\frac{1}{2}(1-\alpha)$ vorerst nur eine sehr kleine positive Größe v. Wir setzen $z_1 = a + \varepsilon$, und

sehen zu, ob wir für ein ε , welches mit λ in einer noch zu bestimmenden Weise verschwindet, den Gleichungen genügen können. Die erste auf z_1 bezügliche Gleichung wird dann lauten

$$\frac{1}{a-z_2} + \frac{1}{a-z_3} + \dots + \frac{1}{a-z_k} + \lim \frac{\lambda^k}{\varepsilon} + \frac{\frac{1}{2}(1-\lambda)}{a-b} + \frac{\frac{1}{2}(1-\lambda)}{a-c} + (\varepsilon) = 0,$$

wobei (ε) eine Größe bedeutet, die mit ε wenigstens in der ersten Potenz verschwindet. Wir sehen, dass wieder der ersten Gleichung tatsächlich durch ein verschwindendes ε genügen können, wenn wir nur den Punkt z_1 für $\lim \frac{1}{2}(1-\lambda) = 0$ mit solcher Geschwindigkeit nach a hineinrücken lassen, dass

$$\lim \frac{\lambda^k}{\varepsilon} = \frac{1}{a-z_2} + \frac{1}{a-z_3} + \dots + \frac{1}{a-z_k} - \frac{\frac{1}{2}(1-\lambda)}{a-b} - \frac{\frac{1}{2}(1-\lambda)}{a-c}$$

ist. Also

Die erste Gleichung bleibt richtig, wenn wir nur für $\lim \lambda = 1$ den Punkt z_1 mit einer bestimmten Geschwindigkeit in den Punkt a hineinrücken lassen.

Die übrigen Gleichungen gehen nun für $\lim \lambda = 1$, $\lim z_1 = a$ in die folgenden über:

$$\frac{1}{z_i-z_2} + \frac{1}{z_i-z_3} + \dots + \frac{1}{z_i-z_k} + \frac{1}{z_i-a} + \frac{\frac{1}{2}(1-\lambda)}{z_i-b} + \frac{\frac{1}{2}(1-\lambda)}{z_i-c} = 0.$$

Diese $k-1$ Gleichungen für die übrigen Wurzelpunkte von E_k sind aber nichts anderes als die Gleichungen für die Wurzelpunkte des E_{k-1} im Falle $\alpha = -1$, $\beta = \beta$, $\mu = \mu$. Dies ist aber wieder ein Stieltjes'scher Fall; also liegen die $z_2, z_3 \dots z_k$ tatsächlich sämtlich im Intervall $a \dots c$. Wir haben also das folgende Resultat, welches in der Lagebestimmung der nicht nach a gerückten Wurzelpunkte über die Angaben der vorigen Stunde hinausgeht:

Wird $\alpha = 1$, so rückt ein Wurzelpunkt des E_k nach a , und die übrigen $k-1$ bleiben im Intervall ab und bilden dort die 0-Stellen desjenigen E_{k-1} , welches dem Wert $\alpha = 1$ entspricht.

Wird nun $\alpha > 1$, so entsteht im Punkt a eine schwache Anziehung. Der Punkt z_1 wird eine labile Gleichgewichtslage in dem Intervall $a \dots c$ finden, dessen beide Enden anziehend auf ihn wirken, er wird aber immer noch mehr in der Nähe von a bleiben, da dieser Punkt eine geringere Klasse als c hat. Der Punkt z_2 wird im Intervall $a \dots c$ jetzt näher an a heranrücken, da die abstoßende Wirkung des Punktes z_1 , einerseits durch dessen Verschiebung



nach links, anderer-

seits durch die schwache Anziehung des Punktes a verringert ist. Immer aber wird die Abstossung des Punktes z_2 , die Anziehung des Punktes a nach z_1 genügendem Massse überwiegen, um ein vollständiges Heranrücken von z_2 an a zu verhindern.

Nun werde $\alpha = 2$, die Kraft des Punktes a also $= -\frac{1}{2}$. Da wird die Anziehung des Punktes a auf den Punkt z_2 so gross, dass auch die Nähe des Punktes z_1 nicht mehr verhindern kann, dass z_2 nach a heranrückt; da durch wird aber auch die von a auf z_1 ausgeübte Anziehung so verringert, dass z_1 ebenfalls ganz an a herangehen muss, um nicht von dem Punkt x weggerissen zu werden. In der That werden wir unserm Gleichungssystem für lim $\alpha = 2$ Genüge leisten können, indem wir z_1 und z_2 in gewisser Weise gleichzeitig in a hineinrücken lassen.

Es werde $\alpha = 2$, also $\frac{1}{2}(1-\alpha) = -\frac{1}{2}$ gesetzt; dann lauten die ersten beiden Gleichungen, wenn man z_1 und z_2 beide nahe an a

annimmt etwa $z_1 = a - \varepsilon_1$, $z_2 = a + \varepsilon_2$, und wenn man kleine Größen von der Ordnung ε_1 bzw. ε_2 vernachlässigt:

$$\frac{1}{a-z_1} + \dots + \frac{1}{a-z_k} + \left(\frac{1}{\varepsilon_1 + \varepsilon_2} + \frac{1}{2\varepsilon_1} \right) + \frac{\frac{1}{2}(1-\beta)}{a-b} + \frac{\frac{1}{2}(1-\gamma)}{a-c} = 0,$$

$$\frac{1}{a-z_1} + \dots + \frac{1}{a-z_k} + \left(\frac{1}{\varepsilon_1 + \varepsilon_2} - \frac{1}{2\varepsilon_2} \right) + \frac{\frac{1}{2}(1-\beta)}{a-b} + \frac{\frac{1}{2}(1-\gamma)}{a-c} = 0.$$

Hieraus ergibt sich, dass bis auf Größen höherer Ordnung, zu deren Bestimmung als Funktion des Exponenten λ man auch die vernachlässigten Glieder berücksichtigen müsste,

$$\varepsilon_1 = \varepsilon_2$$

zu setzen ist. Also

Die Punkte z_1 und z_2 sollen von den beiden Seiten her mit gleicher Geschwindigkeit in den Punkta hineinrücken.

Die weiteren Gleichungen lauten dann:

$$\frac{1}{z_i - z_1} + \dots + \frac{1}{z_i - z_k} + \frac{\frac{3}{2}}{z_i - a} + \frac{\frac{1}{2}(1-\beta)}{z_i - b} + \frac{\frac{1}{2}(1-\gamma)}{z_i - c} = 0, \quad (i=3, 4, \dots k).$$

Das ist aber nichts anderes, als das Gleichungssystem für die 0-Stellen des E_{k-2} im Rießeschen Falle $\lambda = -2$, $\beta = \beta$, $\gamma = \gamma$.

Folglich haben wir den Satz:

Wird $\alpha = 2$, so bekommen wir eine Gleichgewichtslage, wenn wir zwei Wurzeln in den Punkten a hineinlegen und die übrigen $K-2$ im mittleren Intervall so arrangieren, wie es der Annahme $\alpha = -2, \beta = \beta, g = p$ nach Stiel jes entspricht.

Für $\alpha = 3, 4, \dots$ hat man die genau entsprechenden Überlegungen anzustellen; man findet, dass für $\alpha = 3$ 3 Punkte, für $\alpha = 4$ 4 Punkte u. s. w. in Punkte a zusammenrücken und zwar so dass sie in der complexen Ebene die Ecken eines regulären Polygons mit dem Centrum a bilden. Die restierenden $K-3$, $K-4, \dots$ Punkte, bilden jedesmal die Gleichgewichtslage für $\alpha = 3, \beta = \beta, 8 = 8$, resp. $\alpha = -4, \beta = \beta, 8 = 8$, etc. Auf solche Weise finden unsre obigen Angaben sämtlich ihre Bestätigung resp. Verallgemeinerung.

d. 18/694) Wendet man das Verfahren der letzten Nummer in der Weise an, dass man nicht nur α , sondern nachher auch β von einem echten Bruch bis zu einem beliebigen Werte anwachsen lässt, so findet man, wenn man mit γ den größten Winkel bezeichnet für



die Anzahl der Wurzeln in den einzelnen Intervallen folgende Werte:

Wenn $f \geq \alpha + \beta - 1$ ist:
im Intervall ab $k - E(\alpha) - E(\beta)$,

" " ac 0 oder 1, je nachdem $E(\alpha)$ gerade oder ungerade ist,

" " bc 0 " 1, " " $E(\beta)$ " " " " .

dagegen für $f < \alpha + \beta - 1$:

im Intervall ab 0 oder 1, je nachdem $k + E(\alpha) + E(\beta)$ " " " " ,

" " ac 0 " 1, " " $k + E(\alpha) + E(\beta)$ " " " " ,

" " bc 0 " 1, " " $k + E(\alpha) + E(\beta)$ " " " " .

Ist eine der Zahlen, etwa $\alpha > 0$, und $\beta < f$, so hat man

im Intervall ab $k - E(\beta)$,

" " ac 0 ,

" " bc 0 oder 1, je nachdem $E(\beta)$ gerade oder ungerade ist.

Diese Angaben gelten für nicht ganzzahlige α, β, f . Ist dagegen eine der Zahlen α, β, f eine positive ganze Zahl, so können sich in der betreffenden Ecke so viele Wurzeln vereinigen, als der Exponent angibt. Wir verfolgen das nicht genauer.

Wir stellen aber folgende Frage: Wenn wir die Anzahl φ der Wurzeln eines Polynoms E in einem Intervall, etwa in ab kennen, wenn wir ferner die Winkel α und β kennen, kön-

nen wir dann den Grad k des Polynoms und den dritten Exponenten γ angeben?

Wenn wir von dem Falle absehen, wo einer der beiden gegebenen oder beide Winkel negativ sind, so zeigt ein Blick auf unsere Tabelle:

Wenn die Anzahl der Wurzeln im Intervall ab grösser als 1 ist, dann kann man bestimmt sagen, welchen Wert k bezw. γ besitzt, nämlich

$$k = \varrho + E(\alpha) + E(\beta), \quad \gamma = 2\varrho + 1 + 2E(\alpha) + 2E(\beta) - \alpha - \beta.$$

Wenn aber ϱ auf 1 oder 0 herabsinkt, dann sind allgemein zwischen mehrere Werte von k beziehungsweise γ zulässig.

Ein geradliniges Dreieck ist daher durch eine Seite und die beiden anliegenden Winkel im Allgemeinen nur dann eindeutig bestimmt, wenn die Seite mindestens 2 mal durch Unendliche zieht.

Dies noch als Ergänzung zur vorigen Stunde.
Heute wollen wir in entsprechender Weise den Fall von 4 Punkten a b c d mit den Exponentendifferenzen $\alpha, \beta, \gamma, \delta$ behandeln.
Der Stieltjes'sche Fall liegt vor, wenn etwa $\alpha < 1, \beta < 1, \gamma < 1$, also $\delta = 2k + 2 - \alpha - \beta - \gamma$ im Allgemeinen > 1 ist, wenigstens für $k \geq 1$.
Dann liegen alle Wurzeln

$\underbrace{\text{K} \text{ Koeffizienten, auf } k+1 \text{ Weisen vertheilt}}$

 a b c

der $k+1$ existirenden Polynome in den beiden Intervallen ab und bc , und zwar so, dass jeder möglichen Verteilungsweise ein Polynom entspricht. Nun wollen wir von dem Stieltjes'schen Fall auf folgende Weise zu allgemeinen Fällen aufsteigen: Wir halten einmal β und γ fest, und lassen α wachsen unter gleichzeitiger Abnahme des δ , oder wir halten α und β fest und lassen γ wachsen. Beides wird natürlich ganz entsprechende Resultate ergeben, nur mit Veränderung von α und γ , so dass wir nur die eine Art der Änderung ausführlich zu betrachten brauchen. Dagegen ganz anders geartet wird die Veränderung der Polynome sein, wenn wir α und γ festhalten, und β wachsen lassen.

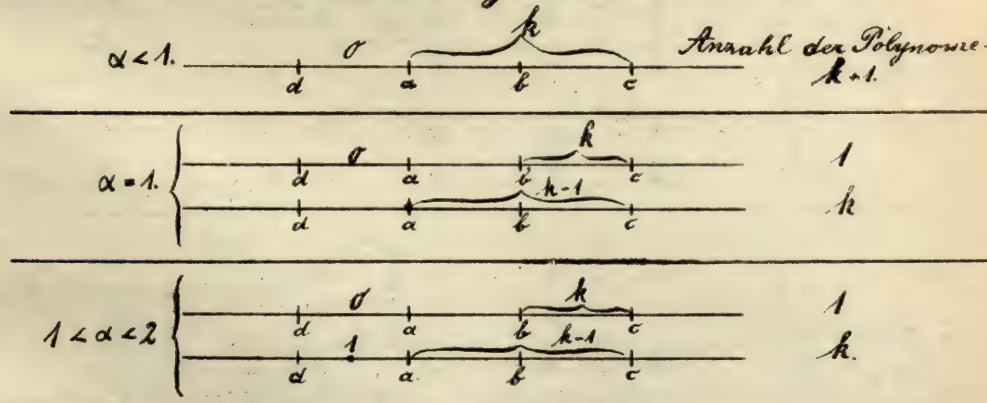
Heute möge β und γ festgehalten werden, und α möge nach und nach von einem echten Bruch als Anfangswert beginnend über 1, 2, 3, u. s. w. hinaus zu nehmen, natürlich unter entsprechender Abnahme des δ .

Es zeigt sich, dass für $\alpha = 1$ von denjenigen

Polynomen, welche noch Wurzelpunkte im Intervall $a b$ haben, ein Wurzelpunkt nach a rückt, dass dagegen das eine Polynom, dessen Wurzelpunkte sämtlich in C liegen, qualitativ ganz ungeändert bleibt. Dieses Polynom bleibt auch weiterhin ungeändert. Für $\lambda \geq 1$ rückt der in a liegende Wurzelpunkt der übrigen k Polynome über a hinaus in das Intervall $a b$. Für $\lambda = 2$ bleibt nun wieder außer dem schon vorhin ungeänderten gebliebenen Polynom ein weiteres Polynom ungeändert, nämlich dasjenige, welches in $a b$ keine Wurzelpunkte hat. Bei den übrigen $k - 1$ Polynomen wird der in a liegende Wurzelpunkt und ein Wurzelpunkt aus dem Intervall $a b$ nach a herangezogen, und für $\lambda \geq 2$ werden beide imaginär. Allgemein spaltet sich jedesmal, wenn λ eine ganze Zahl wird, ein weiteres Polynom ab, um weiterhin, was die Anordnung seiner Wurzeln betrifft, sich nicht mehr zu ändern, und bei den übrigen Polynomen werden λ Wurzeln entweder eine aus $a b$, die übrigen aus dem Complexen, oder eine aus a , eine aus $a b$, die übrigen aus dem Com-

plexen in a zusammengezogen. So geht es, bis $\alpha = k$, $S = k+1$ geworden ist. Dann wird $\alpha = k+1$, $S = k$ und es kehrt sich derselbe Vorgang in der Weise um, dass nun wieder alle Wurzeln durch d hindurchgehend nach und nach in das Intervall c hineinwandern, welches jetzt mit b zusammen „inneres Intervall“ geworden ist, wie es erst ab mit b war. Schließlich kommt man wieder zum Stieltjes'schen Fall zurück, nur dass dann alle Wurzeln in b und c liegen, statt wie zuerst, in a und b . Von da ab bleibt die Anordnung ganz unverändert.

Man bekommt so der Reihe nach folgende schematischen Figuren von $\alpha = 1$ bis $\alpha = k$:



Anzahl der Polynome:

$\alpha = 2.$	$\left\{ \begin{array}{c} d^0 \\ d^1 \\ d^0 \\ d \end{array} \right \begin{array}{c} a \\ a \\ a \\ a \end{array} \left \begin{array}{c} b \\ b \\ b \\ b \end{array} \right. \overbrace{\begin{array}{c} k \\ k-1 \\ k-2 \\ k \end{array}}^{c} \right. \right.$	1. 1. 1. $k-1.$
---------------	--	--------------------------

$2 \leq \alpha \leq 3$	$\left\{ \begin{array}{c} d^0 \\ d^1 \\ d^0 \\ d \end{array} \right \begin{array}{c} a \\ a \\ a \\ a \end{array} \left \begin{array}{c} b \\ b \\ b \\ b \end{array} \right. \overbrace{\begin{array}{c} k \\ k-1 \\ k-2 \\ k \end{array}}^{c} \right. \right.$	1. 1. $k-1.$
------------------------	--	--------------------

$\alpha = 3$	$\left\{ \begin{array}{c} d^0 \\ d^1 \\ d^0 \\ d \end{array} \right \begin{array}{c} a \\ a \\ a \\ a \end{array} \left \begin{array}{c} b \\ b \\ b \\ b \end{array} \right. \overbrace{\begin{array}{c} k \\ k-1 \\ k-2 \\ k-3 \\ k \end{array}}^{c} \right. \right.$	1. 1. 1. $k-2.$
--------------	---	--------------------------

$\alpha = k.$ $\delta = k+1.$	$\left\{ \begin{array}{c} d^0 \\ d^1 \\ d^0 \\ d^0 \text{ od } 1 \\ d^0 \end{array} \right \begin{array}{c} a \\ a \\ a \\ a \\ a \end{array} \left \begin{array}{c} b \\ b \\ b \\ b \\ b \end{array} \right. \overbrace{\begin{array}{c} k \\ k-1 \\ k-2 \\ 1 \\ 0 \end{array}}^{c} \right. \right.$	1. 1. 1. 1. 1.
----------------------------------	--	----------------------------

$k < \alpha < k+1.$ $k+1 > \delta > k.$	$\left\{ \begin{array}{c} d^0 \\ d^1 \\ d^0 \\ d^0 \text{ od. } 1 \\ d^1 \text{ od. } 0 \end{array} \right \begin{array}{c} a \\ a \\ a \\ a \\ a \end{array} \left \begin{array}{c} b \\ b \\ b \\ b \\ b \end{array} \right. \overbrace{\begin{array}{c} k \\ k-1 \\ k-2 \\ 1 \\ 0 \end{array}}^{c} \right. \right.$	1. 1. 1. 1. 1.
--	--	----------------------------

Die aus den Intervallen verschwindenden Wurzeln werden jedesmal paarweise conjugirt imaginär; wir haben also den Satz:

Wenn α wächst, aber β und γ ungeändert bleiben, so bleiben alle Polynome E reell, behalten aber nicht mehr lauter reelle Wurzeln. Ist insbesondere α eine ganze Zahl kleiner als $k+1$, so gibt es $k+1-\alpha$ Polynome, welche den Punkt a zur α -fachen Wurzel haben, und α Polynome, welche den Punkt a überhaupt nicht zur Wurzel haben.

Statt α könnten wir gerade so gut γ wachsen lassen. Was geschieht nun aber, wenn wir α und γ gleichzeitig wachsen lassen?

Wir wollen nur den Fall betrachten, dass $\alpha + \gamma \leq k$ bleibt, d. also $\geq k+1$ (wegen $\beta < 1$). Lassen wir α und γ zunächst nur bis $E(\alpha), E(\gamma)$ wachsen, so bekommt man folgende Tabelle, aus der die Tabelle für α, γ selbst durch Auflösung der in α bzw γ liegenden vielfachen Punkte hervorgeht.

$E(\alpha)$	$k - E(\alpha) - E(\gamma)$	$E(\gamma)$
$E(\alpha)$	$k - E(\alpha)$	0
$E(\alpha)$	$k - E(\alpha) - 1$	1
$E(\alpha)$	$k - E(\alpha) - 2$	0

Strahl:
 $k - E(\alpha) - E(\gamma) + 1$

$$\begin{array}{c}
 \text{E}(w) \quad k - E(\alpha) - E(\beta) + 2 \\
 \text{E}(\alpha) \quad k - E(\alpha) - E(\beta) + 1 \\
 \text{E}(\beta) \quad k - E(\alpha) \quad E(\beta) \\
 \hline
 \alpha \quad \quad \quad \quad \quad E(\beta) \\
 \hline
 1 \quad \quad \quad \quad \quad E(\beta) \\
 \hline
 \alpha \quad \quad \quad \quad \quad E(\beta) \\
 \hline
 \end{array}
 \quad
 \left. \begin{array}{c} 0 \text{ od. } 1 \\ 1 \text{ od. } 0 \end{array} \right\} E(\gamma).$$

$$\begin{array}{c}
 \text{E}(\alpha) \quad k - E(\alpha) - E(w) + 2 \\
 \text{E}(\beta) \quad k - E(\alpha) - E(w) + 1 \\
 \hline
 \alpha \quad \quad \quad \quad \quad E(w) \\
 \hline
 1 \quad \quad \quad \quad \quad E(w) \\
 \hline
 \alpha \quad \quad \quad \quad \quad E(w) \\
 \hline
 \end{array}
 \quad
 \left. \begin{array}{c} 0 \text{ od. } 1 \\ 1 \text{ od. } 0 \end{array} \right\} E(\gamma).$$

Gesamtzahl: $k+1$.

Also:

Anderst sich α und β gleichzeitig, bleibt aber $\alpha + \beta \leq k$, so lassen sich $k+1$ reelle Polynome mit bestimmter Wurzelverteilung sofort nachweisen.

Den Fall $\alpha + \beta > k$ wollen wir bei Seite lassen.

Wir gehen nun dazu über die Änderung der Polynome unter der Voraussetzung zu betrachten, dass α und β festgehalten, dagegen β vergrößert, entsprechend verkleinert werde. Man wird von Vornherein sagen können:

Wenn wir α und β innerhalb der Stieltjes'schen Grenzen festhalten und β wachsen lassen, so werden die bisherigen Theoreme, soweit sie allgemeine algebraische Verhältnisse

nisse betreffen, jedenfalls wiederkehren müssen;
sen; die Theoreme aber, welche sich auf die
Realität der Polynome und ihrer Wurzeln
bezühen, können möglicherweise eine Kodifi-
cation erfahren.

Zu den Theoremen der ersten Art, welche von der Aufeinanderfolge der 4 Punkte $\alpha, \beta, \gamma, \delta$ unabhängig sein müssen, gehört z. B. der Satz, der sich einfach von α auf β überträgt, dass, wenn β eine ganze Zahl $< k+1$ ist, immer $k+1-\beta$ Polynome den Punkt β als β -fachen Nullpunkt haben, die übrigen β Polynome aber dasselbe überhaupt nicht verschwinden.

Di. d. 19. Juni 1894.] Es möge z. B. $\alpha < 1, \gamma < 1$, da gegen $\beta = 1$ sein. Dann muss nach dem letzten Satz der vorigen Stunde ein E_k existieren, welches in β nicht verschwindet, und die übrigen k Polynome E_k müssen in β je eine einfache 0-Stelle haben.

Gehen wir auf die Stieltjes'sche mechanische Deutung zurück, so würden wir also für das ausgezeichnete, in β nicht verschwindende Polynom in a die positive Masse $\frac{1-\alpha}{2}$, in c die positive Masse $\frac{1-\beta}{2}$ und in δ die Masse $\frac{1-\gamma}{2}$, d. h. keine Masse anzu bringen haben. Der

Punkt b ist also für das ausgezeichnete Polynom gar kein singulärer Punkt, und es liegt also nur der schon besprochene Fall dreier singulären Punkte a, c, d mit Exponenten $\alpha < 1, \beta < 1, \delta = 2K + 1 - \alpha - \beta$ vor. Da dies ein Stieltjes'scher Fall ist, so können wir sofort den Satz aussprechen.

Das isolirte Polynom E_k hat in dem Intervall a bis c k Wurzeln, welche sich irgendwie auf die Teilintervalle $a b, bc$ verteilen.

Offenbar können wir über die Verteilung der selben auf $a b, bc$ gar nichts bestimmtes aussagen, da ja die Lage der Wurzeln von der Lage des Punktes b , der in ihren Bestimmungsgleichungen gar nicht vorkommt, ganz unabhängig ist und also b nachträglich noch zwischen zwei ganz beliebigen Wurzeln angenommen werden kann.

Es mögen allgemein etwa i Wurzeln des isolirten Polynoms in bc , $\frac{k-i}{k-i}$ Wurzeln in $a b$ liegen; i kann $\frac{1}{\alpha}$ je nach dem Werte des Doppelverhältnisses der 4 Punkte a, b, c, d jeden Wert von 0 bis K bedeuten, wir nehmen es, der Bestimmtheit halber, > 0 .

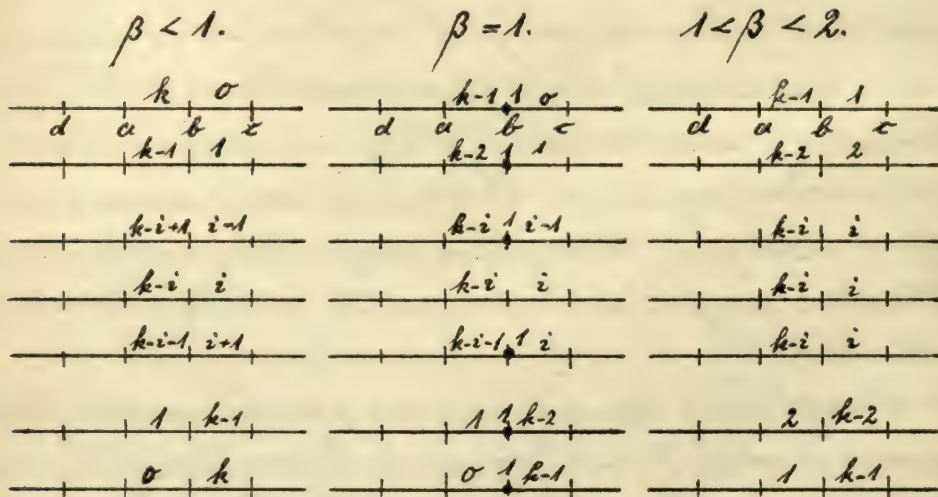


Von den k übrigen Polynomen wissen wir, dass sie eine Wurzel in C haben. Es ist also nur noch die Gleichgewichtslage von $k-1$ Punkten mit der Masse 1 zwischen folgenden festen Punkten zu bestimmen: a mit der positiven Masse $\frac{1-\alpha}{2}$, b mit der positiven Masse 1 - wegen des von vornherein dort anzunehmenden festen Wurzelpunktes -, c mit der positiven Masse $\frac{1-\beta}{2}$, und d mit der negativen Masse $-(k+1 - \frac{\alpha+\beta}{2})$.

Das ist aber nichts anderes, als die Bestimmung der Wurzelpunkte eines E_{k-1} , wenn die Exponenten $\alpha = \alpha$, $\beta = -1$, $\gamma = \gamma$, $\delta = 2k + 3 - \alpha - \beta$ sind, d. h. in einem Stieltjesschen Falle. Wir bekommen also noch k Polynome, welche alle eine Wurzel in C haben, während die $k-1$ übrigen Wurzeln auf alle möglichen Weisen auf die Intervalle a, b , b, c verteilt sind.

Vergleicht man die so gewonnenen Schmetata der $k+1$ Polynome E_k des Falles $\beta = 1$ mit den entsprechenden Polynomen des Falles $\beta < 1$ (folgende Seite), so sieht man, dass das $(i+1)$ -te Polynom mit der Verteilung $k-i$, i unglücklich geblieben ist, dass bei den vorhergehenden

immer eine Wurzel aus dem Intervall ab nach b gerückt ist, bei den nachfolgenden dagegen eine Wurzel aus bc nach b gefallen ist. Läßt man dann diese Wurzel noch über c hinaus bei den ersten Polynomen ins Intervall cc , bei den letzten ins Intervall ab hinein wandern, so bekommt man die Schemata für $\beta > 1$. In folgenden Figuren sind die so entstehenden Wurzelverteilungen für $\beta < 1$; $\beta = 1$, $\beta > 1$ nebeneinander gestellt.



Wir sehen hieraus:

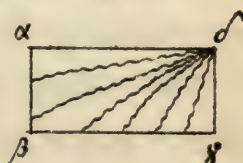
So bald β den Wert 1 überschreitet, finden sich nur noch $k-1$ Verteilungsweisen der Wurzeln

vor und darunter eine Verteilungsweise
3 mal (nämlich $k - i, i$).

Zudem jetzt 3 Polynome E_k von denselben
Wurzelverteilung vorliegen, ist die Möglicheit
gegeben, dass zwei Polynome zusammen
fallen und imaginär werden, womit ein
neues Element in die Sache hineinkommt,
dessen Tragweise wir nicht zu überblicken
vermögen.

Wir wollen dies daher nicht weiter verfol-
gen, sondern wollen vielmehr die gemacht-
ten Angaben durch die Betrachtung der zu-
gehörigen Vierecke bestätigen. Wir betrach-
ten vor Allem die Fälle von Stieljes.

Es möge zuerst $\alpha = \beta = \gamma = \frac{1}{2}$, $\delta = 2k + \frac{1}{2}$ sein.
 Wir erhalten das Viereck aus dem Viereck
 $\alpha = \beta = \gamma = \delta = \frac{1}{2}$, d. h. aus einem gewöhnlichen
 Rechteck durch polare Anhängung von
 k Halbebenen an die Ecke δ :
 und zwar kann man jede
 dieser Halbebenen entweder
 durch die Gerade $\alpha\beta$ begrenzen-,
 wodurch ein Wurzelpunkt des E im
 Intervall $a b$ entsteht - oder durch die Ge-
 rade $\beta\gamma$ - wodurch wir einen Wurzelpunkt

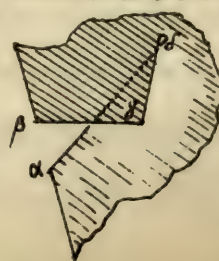
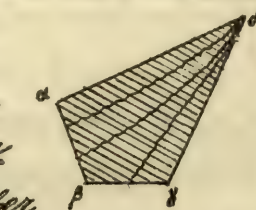


im Intervall E_k erhalten. Es sind das gerade $k+1$ Möglichkeiten, jede einem Polynom E_k entsprechend. Also:

Die Polygone, welche den $k+1$ verschiedenen E_k entsprechen, die es gibt, ergeben sich jedes aus einem gewöhnlichen Rechteck $\alpha = \beta = \gamma = \delta = \frac{1}{2}$, indem wir von der Ecke δ aus k Halbebenen polar einhängen, wobei uns freisteht, beliebig viele dieser Halbebenen durch die verticale Kante α β Beziehungsweise durch die horizontale Kante β γ begrenzen zu lassen, was gerade $k+1$ Möglichkeiten sind.

Lassen wir nun α, β, γ jedes um einen kleinen Betrag machen, so bleibt der Charakter der Figur vorerst derselbe.

Die Anhängungen von Halbebenen sind in derselben Ordnung vorzunehmen. Aber es ist nicht mehr nötig, dass jedes Viereck mit $k > 0$ aus einem Viereck $k = 0$ durch solche polare Anhängungen abzuleiten ist. Es kann z.B. ein Viereck $k = 1$ eventuell auch die Gestalt des in nebenstehender

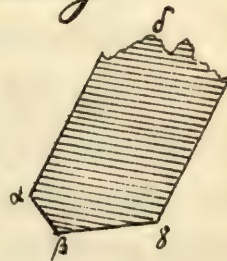


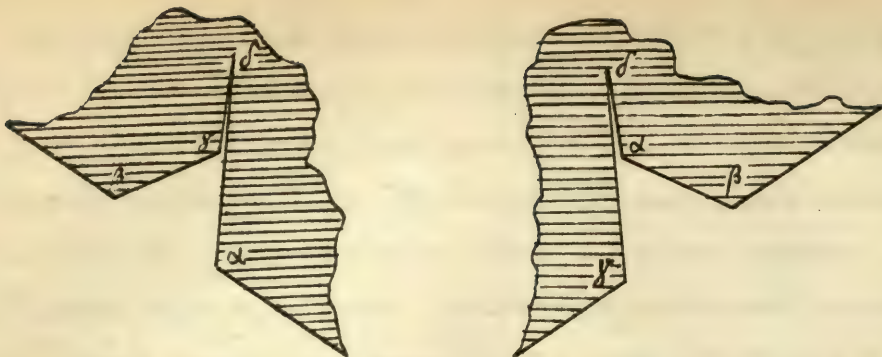
Figur gezeichneten Vierecks haben, welches nur aus einem überschlagenen Viereck abzuleiten wäre. Dann wird es nur notwendig, statt von dem Viereck $k=0$ von dem Viereck $k=1$ mit seinen schon manigfacheren Gestalten auszugehen, um die höheren Vierecke durch polare Einhängung von Hallebenen abzuleiten. Immer sieht man aber, dass der Prozess der Einhängung keine Schwierigkeiten bietet.

Im Beispiel $\alpha = \beta = \gamma = \frac{2}{3}$ bekommen wir für $k=0$ ein Viereck mit logarithmischer Ecke im Unendlichen. An die ses können wir von der Ecke S aus überhaupt keine Hallebenen einhängen.

Wir müssen also auch in diesem Falle die Vierecke für $k=1$ selbstständig konstruiren, um von ihnen aus dann zu den höheren Vierecken aufzusteigen. Die Sache gestaltet sich folgendermassen:

Für $k=1$ liegen zwei Wurzelverteilungen vor, nämlich $(1, 0)$ und $(0, 1)$. Diesen beiden entsprechen folgende beiden Vierecke:





Wollen wir nun aber von diesen beiden Vierecken aus ein solches für $k > 1$ herstellen, so zeigt sich, das zwar der Einhängung von Halbebenen nach $\alpha \beta$ hinüber, wie nach $\beta \gamma$ hinüber nichts im Wege steht; aber es tritt folgende Schwierigkeit ein: Wollen wir das Viereck konstruieren, welches einer Wurzelvertheilung (k_1, k_2) entspricht, so wissen wir nicht, ob wir dasselbe aus einem Viereck des Typus 1) durch Einhängung von $k_1 - 1$ Halbebenen nach $\alpha \beta$, und von k_2 Halbebenen nach $\beta \gamma$ hinüber, oder aus einem Viereck des Typus 2) durch Einhängung von k_1 Halbebenen nach $\alpha \beta$ und von $k_2 - 1$ Halbebenen nach $\beta \gamma$ herstellen sollen. Nur wenn $k_2 = 0$ ist, wissen wir, dass wir vom Typus 1) auszugehen haben,

und wenn $k_1 = 0$ ist, dass der Typus 2) zu benutzen ist. Diese Unbestimmtheit der Gestalt hat folgenden Grund:

Unsere 4-Ecke sind durch die Angabe ihrer Winkel und die Anzahl der Durchgänge durch α doch nur insoweit definiert, als die Verzweigungsstellen a, b, c, d auf der x -Achse gegeben sind. Betrachten wir diese letzteren selbst als veränderlich, so kommt noch ein reeller Parameter in die Figuren hinein, das Doppelverhältnis der a, b, c, d . Von dem Werte dieses Doppelverhältnisses wird es abhängen, ob bei dem einzelnem E_k das Stück $y-d$ länger oder kürzer als $\alpha\delta$ ist, ob also das entsprechende F_k ganz dem einen unserer beiden Typen zugeordnet ist, oder dem andern.

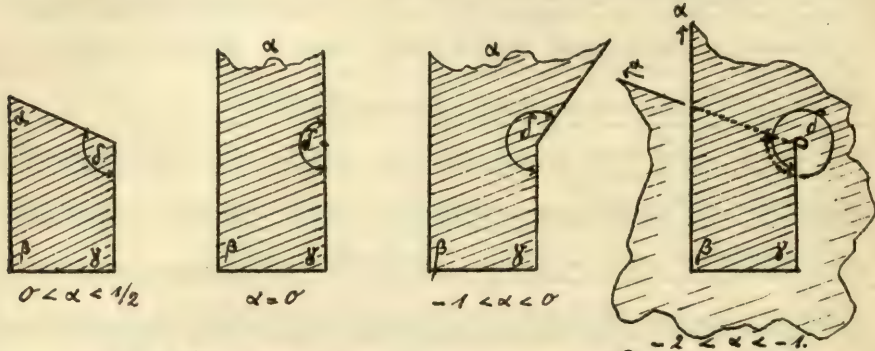
Wenn wir die Winkel innerhalb der Stieljesschen Gränze noch weiter wachsen lassen, werden die Gestalten der Vierecke noch manigfaltiger. Wir werden das nicht weiter verfolgen.

Ich will nur noch angeben, welchen Charakter die Figuren für negative Winkel bekommen. Es zeigt sich:

Indem wir α, β, γ abnehmen und negativ

werden lassen, vereinfachen sich unsere Figuren.

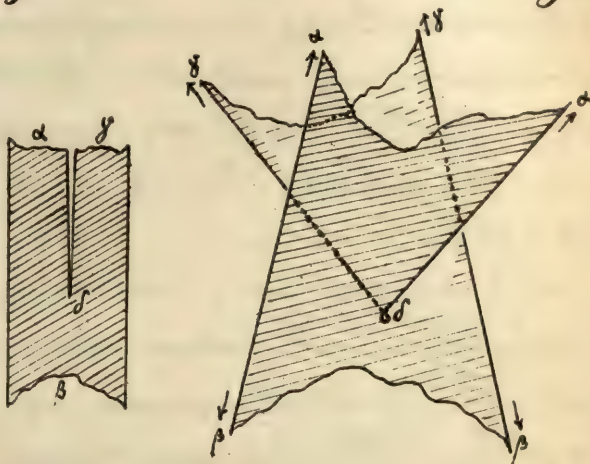
Es sei z. B. $\beta = \gamma = \frac{1}{2}$, und α nehme ab. Man bekommt dann etwa folgende Figuren:



Die polare Einhängung (van Saus) ist in jeder dieser Figuren sowohl nach α β wie nach β γ möglich, und die Anzahl der Einhängungen nach jeder dieser Seiten liefert die Anzahl der Wurelpunkte im Intervall ab bezw. b. Hieran wird offenbar nichts geändert, wenn man α beliebig weit ins negative wachsen lässt, d.h. den Schenkel $\alpha\delta$ der letzten Figur immer weiter dreht. Die Einfachheit der Figur liegt darin, dass hierbei die Ecken α , δ selbst ganz unverändert bleiben.

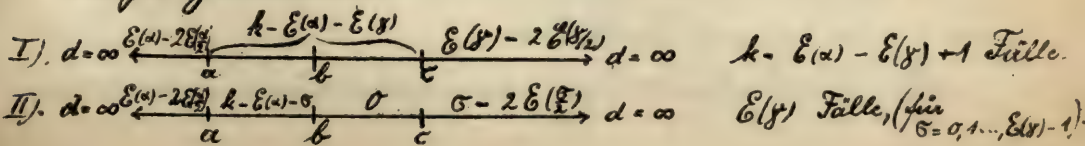
Es mögen noch das Viereck $\alpha - \beta - \gamma = 0, \beta, 2$, und ein Viereck mit durchaus negativen Winkeln Platz finden. (Folg. Seite) Bei beiden

ist Anhängung von Halbebenen sowohl nach α wie β wie γ unbeschränkt gestattet. Hier tritt die erwähnte Einfachheit in noch höherem Grade hervor. Man kann nämlich bei diesen Polygonen alle Seiten beliebig weiterdrehen, alle Winkel beliebig nach der negativen Seite vergrößern, ohne daß die Ecken (vonden nun 3 im Unendlichen liegen) ihre Lage ändern.



Do. d. 21. Juni 1894.] Es sollen nur noch die Viersegsfiguren für den Fall angegeben werden, daß $\beta = \frac{1}{2}$, $\alpha = \frac{1}{2} + E(\alpha)$, $\gamma = \frac{1}{2} + E(\gamma)$, also $\delta = 2k + \frac{1}{2} - E(\alpha) - E(\gamma)$ ist. Dabei nehmen wir $\delta > \alpha + \beta$ an.

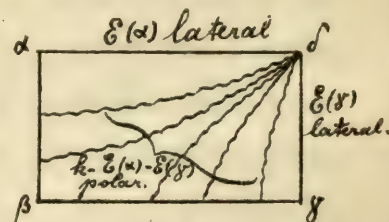
Zunächst als Schemata für die Wurzelverteilungen folgen aus den Figuren auf S. 239 die folgenden:



$$\text{III) } d=\infty \xleftarrow{\alpha} 0 \xrightarrow[b]{k-E(\gamma)-\tau} \xrightarrow[c]{E(\gamma)-2E(\beta_0)} d=\infty \quad E(\alpha) \text{ Fälle f\"ur } \begin{cases} \tau = 0, 1, \dots, E(\omega-1) \end{cases}$$

Die Zahl der Wurzeln in den äusseren Intervallen α und γd ist 0 oder 1, z.B. in αd der Fig. I gleich 0, wenn $E(\alpha)$ eine gerade Zahl ist, - 1, wenn $E(\alpha)$ eine ungerade Zahl ist, in Übereinstimmung mit dem Werthe des Ausdrucks $E(\alpha)-2E(\frac{\alpha}{2})$. Die Zahl der complexen Wurzeln ist in I): $2(E(\frac{\alpha}{2})+E(\frac{\beta}{2}))$, in II): $2(E(\frac{\alpha}{2})+E(\frac{\beta}{2}))$, in III) $2(E(\frac{\beta}{2})+E(\frac{\gamma}{2}))$.

Das Viereck zu I) entsteht aus einem gewöhnlichen Rechteck indem man an $\delta E(\alpha)$ Halbebenen, an $\gamma \delta E(\gamma)$ Halbebenen lateral anhängt, und indem man darauf von δ aus nach α und β bzw in jeder möglichen Verteilung auf diese beiden Seiten zusammen $k-E(\alpha)-E(\gamma)$ Halbebenen polar anhängt.



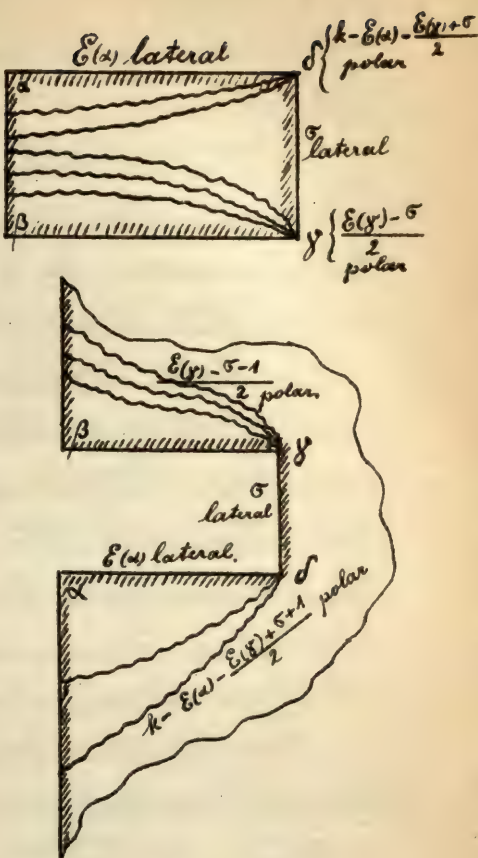
Bei II (und analog bei III, nur nur die Rolle von α und γ vertauscht ist) sind 2 Fälle zu unterscheiden, nämlich ob

a) $E(\gamma)+\sigma$ eine gerade Zahl oder b) $E(\gamma)+\sigma$ eine ungerade Zahl ist.

Im Falle a) erhält man das Viereck aus einem

gewöhnlichen Rechteck, indem man zuerst an die Seite ($\alpha \beta$) $E(\alpha)$, an die Seite ($\beta \gamma$) δ Halbebenen lateral, dann von δ nach $\alpha \beta$ $k - E(\alpha) - \frac{E(\beta)+\epsilon}{2}$ Halbebenen, davon je nach $\alpha \beta \frac{E(\beta)-\epsilon}{2}$ Halbebenen polar anhängt.

Im Falle C) jedoch muss man von einem Viereck mit den Winkelwinkeln $\frac{1}{2}, \frac{1}{2}, \frac{3}{2}, \frac{3}{2}$ ausgehen, und an $\alpha \beta$ $E(\alpha)$, an $\gamma \delta$ & Halbebenen lateral, dann von δ nach $\alpha \beta$ $k - E(\alpha) - \frac{E(\beta)+\epsilon+1}{2}$ und von je nach $\alpha \beta \frac{E(\beta)-\epsilon-1}{2}$ Halbebenen polar anhängen.



Mit diesen Figuren will ich abschließen, was ich überhaupt über die Lamé'schen Polynome sagen wollte. Nur noch eine kurze Bemerkung über die Verallgemeinerung der Lamé'schen Fragestellung auf Differentialgleichungen höherer Ordnung finde

hier Platz.

Wir waren ja von der homogenen Differentialgleichung

$$(\Pi, \varphi^n)_2 + (\Pi, \psi^{n-2})_1 + (\Pi, \chi^{n-4})_0 = 0$$

ausgegangen, indem wir fragten, wie man die Coefficienten in χ bestimmen müsse, damit man für Π ein Polynom $E_\chi(x_1, x_2)$ setzen kann?

Wir bekamen ein ganz bestimmtes algebraisches Problem, über welches wir eine Reihe allgemeiner Sätze aufstellen konnten, sobald wir aber auf Realitätsfragen eingingen, bekamen unsere Untersuchungen jenen synthetischen Character, bei dem man Fall von Fall zu unterscheiden hat.

Nun denken wir uns die entsprechende Differentialgleichung mter Ordnung:

$$(\Pi, \varphi^n)_m + (\Pi, \psi^{n-2})_{m-1} + \dots + (\Pi, \omega^{n-m})_0 = 0.$$

Da würden wir in analoger Weise fragen können, ob wir etwa die Coefficienten von ω so bestimmen können, dass man der Differentialgleichung durch ein Polynom $E_\chi(x_1, x_2)$ Genüge leisten kann. Diese Frage ist in der That bereits behandelt, nämlich in noch etwas specialisirter Form von Heil Cert in Math. Ann. 28. 1886: „Über einen

allgemeinen Gesichtspunkt für invariantentheoretische Untersuchungen im binären Formengebiet", und dann in der schon erwähnten Arbeit von Wäsch. All' das sind algebraische Untersuchungen von algorithmischem Charakter.

Die verallgemeinerste Fragestellung hat nach Hilbert und Wäsch bei zahlreichen Fragen der Invariantentheorie und der projektiven Geometrie ihre gute Bedeutung. Man möchte wissen ob man hier ebenso wie in Fälle $m=2$ anknüpfen kann, wie im Falle $m=2$ geschehen ist.

Damit schließen wir überhaupt diesen ersten Teil unserer Vorlesung, in welchem wir wesentlich in Anschluss an den Begriff der Rationalitätsgruppe algebraische Fragen besprechen wollten.

Nunmehr im zweiten Teile werden wir unser Augenmerk auf die Monodromiegruppe richten, wobei wir überall zu speziellen Fragestellungen von durchaus synthetischem Character gelangen werden.

III. Eigentlich - transzendentale Untersuchungen.

A. Das Oscillations theorem

(Gestalt des einzelnen Polygons).

Wir fragen allgemein, ob wir der Kanodromiegruppe solche Eigenschaften auferlegen können, dass die Differentialgleichung dadurch bestimmt ist. Insbesondere bei den jetzt folgenden Betrachtungen handelt es sich um gestaltliche Eigenartigkeiten des einzelnen Polygons, — etwa wie oft eine Seite sich überschlägt, — während wir erst in einem weiteren Abschnitt mit Eigenschaften des ganzen Polygonnetzes uns beschäftigen werden, welches durch analytische Wiederholung des einzelnen Polygons entsteht, also z. B. verlangen werden, dass das Polygonnetz die Ebene nur einfach überdeckt.

Was nun das Oscillationstheorem betrifft, so ist dasselbe aus gewissen physischen Betrachtungen hervorgegangen, über die ich hier kurz referiren will.

Es sei ρ die Dichte, s die Spannung einer transversal schwingenden Seite. Dieselbe

sei längs der x -Achse ausgespannt, und der Ausschlag an einer Stelle sei q . t sei die Zeit. Dann ist die Gestalt der Saite zu einer Zeit t bekanntlich durch die Differentialgleichung:

$$\int \frac{\partial^2 q}{\partial t^2} = S \cdot \frac{\partial^2 q}{\partial x^2}$$

bestimmt. Man betrachte nun insbesondere stehende harmonische Schwingungen, d. h. solche, wo alle Punkte der Saite gleichzeitig und gleichphasig je eine harmonische Schwingung ausführen. q ist dann das Produkt aus einer Function y von x allein, und aus \sin oder $\cos \frac{2\pi t}{T}$, unter T die Dauer der harmonischen Schwingung verstanden,

$$q(x, t) = y(x) \cdot \sin\left(\frac{2\pi t}{T}\right).$$

Die Differentialgleichung für $q(x, t)$ verändert sich dann in eine gewöhnliche lineare Differentialgleichung für $y(x)$:

$$S \frac{d^2 y}{dx^2} + \left(\frac{2\pi}{T}\right)^2 p \cdot y = 0,$$

oder, indem wir den Coefficienten von y zu einer Constante K zusammenfassen,

$$S \cdot y'' + K y = 0.$$

Diese Gleichung gibt unmittelbar die Gestalt der Saite zur Zeit des größten Ausschlages. Die Gestalt zu einer beliebigen Zeit erhält

man, indem man alle Ordinaten der Curve im Verhältnis $1 : \sin\left(\frac{2\pi^4}{\lambda}\right)$ verkleinert, bezw. im Theichen wechselt.

ρ und s sind hier Constanten, welche von vornherein fest angenommen sind, κ ist ein ebenfalls konstanter Parameter, dem man aber zunächst beliebige Werte geben kann.

Zwei particuläre Lösungen der Differenzialgleichungen lauten

$$y_1 = \sin \sqrt{\frac{\kappa}{s}} \cdot x, \quad y_2 = \cos \sqrt{\frac{\kappa}{s}} \cdot x.$$

Die O-Punkte der ersten Lösung liegen an den Stellen $x = 2v\sqrt{\frac{\kappa}{s}} \cdot \frac{\pi}{2}$, diejenigen der zweiten Lösung dagegen an $x = (2v+1)\sqrt{\frac{\kappa}{s}} \cdot \frac{\pi}{2}$,



wobei uns das Gesetz entgegentritt, dass die O-Punkte der verschiedenen Particularlösungen y_1, y_2 auf der x-Achse gerade alternieren.

Der Abstand zwischen zwei aufeinander folgenden Knotenpunkten, die halbe Wellenlänge, hat den Wert

$$\frac{\pi}{2} = \sqrt{\frac{s}{\kappa}} \cdot \pi.$$

Die Wellenlänge ist also noch eine veränderliche

Größe, welcher wir durch Annahme des Parameters jeden beliebigen Wertes teilen können.

Dabei gilt jedoch unsere Saite als beiderseits unbegrenzt. Wie sich das ändert, wenn die Saite begrenzt, an den Enden befestigt ist, werden wir morgen sehen.

[Fr. d. 22. Juni 1894.] Wir denken nun die Saite

begrenzt; l sei ihre Länge, $x=0$ und $x=l$ seien ihre Enden. Dann sind folgendes die wichtigsten in der mathematischen Physik vorkommenden Grenzbedingungen: Es soll für $x=0$ und für $x=l$

1.) $y=0$, 2.) $\frac{dy}{dx}=0$, 3.) $y + p \frac{dy}{dx} = 0$ sein,
 wobei in 3.) p eine positive Konstante und
 $d\ell$ eine von der Saite nach außen gerichtete
 Differentiation $\pm dx$ bedeutet. Indem die
 erste, zweite oder dritte dieser Bedingungen
 für $x=0$ und unabhängig davon für $x=l$
 vorgeschrieben sein kann, sehen wir im Gan-
 zeng Falle zu unterscheiden. Es fragt sich,
 wie man den Parameter K bestimmen muss,
 um im einzelnen Falle stehende Schwin-
 gungen zu bekommen:

Ich sage, es gibt in jedem Falle eine An-
zahl wohlbestimmter Parameterwerte

K_0, K_1, K_2, \dots welche dadurch individualisiert sind, dass im Innern der Strecke $0, 1, 2, \dots$ Schwingungsknoten d. h. Null-Punkte der Function y liegen.

Mit andern Worten, die unsern Grenzbedingungen genügenden Lösungen sind noch in unendlicher Zahl vorhanden, aber so, dass jede von ihnen durch Angabe einer gewissenganzen Zahl charakterisiert werden kann. Dieser Satz mit allen seinen daran anschließenden Erweiterungen ist es, den ich als das Oscillationstheorem bezeichne.

Wir wollen uns der Einfachheit halber bei den folgenden Erläuterungen an den beiden Enden der Saite immer die gleichen Grenzbedingungen denken, so dass wir nur 3 Fälle zu unterscheiden haben.

Im Falle 1) und 2) ist der Satz dann leicht zu beweisen.

1) Soll für $x = 0$ y verschwinden, so muss man $y = \sin \sqrt{\frac{r}{s}} \cdot x$ ansetzen. Die 0-Stellen dieser Lösung liegen bei $x = \pi \sqrt{\frac{r}{K}}, 2\pi \sqrt{\frac{r}{K}}, 3\pi \sqrt{\frac{r}{K}}, \dots$ $x = l$ soll eine 0-Stelle sein; also ist $l = r \pi \sqrt{\frac{r}{K}}$ zu setzen, oder $K = \frac{r^2 \pi^2 s}{l^2}$.

Die Lösung hat dann $(V-1)$ 0-Stellen im Intervalle,

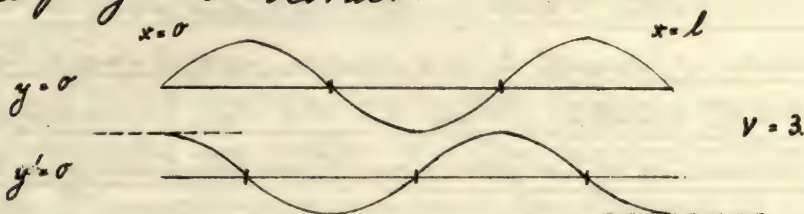
so dass man der Reihe nach $r = 1, 2, 3, \dots$ zu setzen hat, um K_0, K_1, K_2, \dots zu erhalten.

2) Im Falle $y' = 0$ hat man ganz ähnlich

$$y = \cos \sqrt{\frac{r}{\alpha}} x, \quad K = \frac{r \cdot 2 \pi s}{\alpha}$$

zu setzen, erhält aber r (statt $r-1$) 0. Stellen im Intervall, so dass die Reihe der Werte r mit 0 beginnt.

Die Saite hat in den beiden Fällen 1) und 2) etwa folgende Gestalt:



Die Lösungen für $r = 1, 2, 3, \dots$ unterscheiden sich dadurch, dass die Saite entweder als Ganzes schwingt, oder sich in mehrere stehende Schwingungenteile, dass sie also je nachdem den Grundton und seine harmonischen Oberlöne gibt.

3) Im Falle $y + p \frac{dy}{dx} = 0$ ist die Bestimmung der Constanten schwieriger. Man hat zu setzen

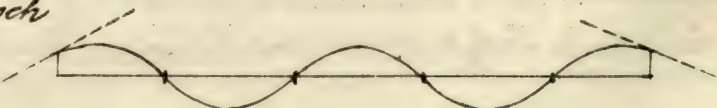
$$y = \sin \sqrt{\frac{r}{\alpha}} (x - \ell),$$

(was gerade so gut ist, als wenn wir eine lineare Function von \sin und von $\cos \sqrt{\frac{r}{\alpha}} \cdot x$ angesetzt hätten). Jetzt sind die beiden Zahlen K und ℓ

simultan so zu bestimmen, dass den Bedingungen Genüge geleistet wird, während man bei 1) und 2) den Wert von ξ bereits kann. Das führt aber auf transzendentale Gleichungen, die nur durch Näherung zu lösen sind (vergl. Riemann - Hattendorf S. 158 ff. sowie meine Vorlesung über partielle Differentialgleichungen Teil II.)

Der dritte Fall unterscheidet sich von den Fällen 1) und 2) dadurch, dass man die unendlich vielen Werte K_0, K_1, K_2, \dots , welche den aufeinanderfolgenden Oszillationszahlen entsprechen sollen, nicht *a priori* in rationaler Form angeben kann, sondern nur durch Stetigkeitsbetrachtungen ihre Existenz darthun kann. Analytisch sind dieselben zusammen mit dem zugehörigen ξ durch die beiden transzendenten Gleichungen gegeben, welche aussagen, dass an den beiden Enden der Saite die Grenzbedingungen erfüllt sind.

Geometrisch bedeutet die Grenzbedingung des Falles 3), dass die Tangente im Endpunkte eine Neigung proportional dem Ausschlag besitzt. Physikalisch



Kann man sich an einer Saite den Fall 1) dadurch realisiert denken, dass man die Saite an den Enden genau festhält, dem Fall 3) dagegen, indem man die Enden nur so befestigt, dass sie den Schwingungen der Saite etwas nach geben. Der Fall 2) dürfte dagegen an einer Saite nur schwierig zu realisieren sein, leicht dagegen, indem man einen elastischen Stab mit freien Enden in Longitudinalschwingungen versetzt.

Die Existenz der disreten Lösungen k_0, k_1, k_2, \dots bedeutet in allen Fällen, dass die Saite außer ihrem Grundton nach eine unbegrenzte Reihe von Obertönen geben kann; in den Fällen 1) und 2) sind diese Obertöne zum Grundton genau harmonisch, im Falle 3) dagegen nicht, was sich mathematisch dadurch auspricht, dass man die Werte k_0, k_1, k_2 in den Fällen 1) und 2) in einfachster Weise sofort angeben, in 3) aber nur durch Näherung berechnen kann.

Diese Theorie ist nun ohne Weiteres auf nicht homogene Saiten zu übertragen. φ und s seien Funktionen von x , q der Ausschlag als Funktion von x und t . Dann lautet die partielle

Differentialgleichung:

$$\rho \frac{\partial^2 y}{\partial t^2} = \frac{\partial}{\partial x} \left(s \frac{\partial y}{\partial x} \right).$$

Setzen wir, wie oben, $y = y \sin \left(\frac{2\pi t}{T} \right)$, so wird

$$\frac{d}{dx} \left(s \frac{dy}{dx} \right) + \rho \left(\frac{2\pi}{T} \right)^2 y = 0,$$

oder indem wir den mit einem willkürlichen Parameter multiplizierten Coefficienten von y mit $K \cdot q(x)$ bezeichnen:

$$s y'' + s' y' + K \cdot q(x) \cdot y = 0.$$

Nun ist die Sache so, dass der Character der Lösungen im Grossen und Ganzen derselbe ist, wie bei der homogenen Saite. Insbesondere:
Der erste, was wir bemerken, ist, dass jede Lösung y unserer Differentialgleichung einen oscillatorischen Character hat.

Zwei Lösungen y , welche derselben Differentialgleichung genügen, haben alternierende O-Stellen.

Wenn K wächst und wir halten einen O-Punkt der y -Curve fest, so schieben sich alle folgenden O-Punkte auf den ersten zu.
Daraufhin gilt auch das Oscillationstheorem für eine begrenzte Saite von der Länge

l, bei der wir irgend welche von unsr
Grenzbedingungen vorschreiben.

Diese Sätze betr. die unkomplizierten Saiten
sind in den berühmten Arbeiten von Sturm
und Liouville in Bd. I und II von Liou-
ville's Journal 1836-38 zum ersten Male
ausgesprochen und mathematisch bewiesen.
Leider hat Sturm, der ursprünglich dabei von
physikalischen Betrachtungen ausging, das
in seiner Arbeit ganz zurücktreten lassen.*)

Der Existenz der verschiedenen Lösungen
 y_0, y_1, y_2, \dots der Differentialgleichung ent-
sprechen in der Akustik, wie wir schon an-
deuteten, die sämtlichen Overtöne der Saite.
Von da kommt man – da sich akustisch jeder
Ton der Saite aus dem Grundton und den Ober-
tönen zusammensetzt – von selbst zu dem
Satz, dass sich eine willkürliche Funktion
in dem Intervall der Saite in der Gestalt
entwickeln lassen muss

$$\sum_{r=0}^{r=\infty} a_r y_r,$$

wie bei constantem ρ und s in eine Fourier'sche Reihe.

Mit dem Beweise dieser Entwickelbarkeit, der

*) Die physikalischen Betrachtungen brauchen nicht gerade vom Problem

Convergenz der Reihen, der Berechnung ihrer Coefficienten haben sich Sturm und Liouville besonders eingehend beschäftigt, (was ja in der gegenwärtigen Vorlesung durchaus zu rücktreten muss).

Ich habe zu erwähnen, dass man die hier vorliegenden Fragen in neuerer Zeit wieder aufgenommen hat. Man kann die Behauptungen von Sturm und Liouville sofort auf die allgemeine Differentialgleichung

$$Ly'' + Ny' + Ny = 0$$

übertragen, falls im Intervall $\frac{N}{L}$ immer endlich und $\frac{N}{L}$ immer positiv ist. Picard denkt sich nun N als ganze Function eines Parameters K und fragt insbesondere, wie er die ausgezeichneten Werte K_0, K_1, K_2, \dots , deren Existenz durch das Oscillationstheorem verlangt wird, durch ein convergentes Verfahren wirklich im gegebenen Fall berechnen, und dadurch in ihrer Existenz sicher stellen kann. (Comptes Rendus 1893-94)

In der That genügen, die Existenzbeweise, wie sie Sturm und Liouville führen, keineswegs den heutigen Anforderungen der Strenge. Man wird verlangen, alle die von ihnen der Gaitenschwingungen auszugehen, bei Sturm stand das Problem der Wärmeleitung im Vordergrunde.

gegebenen Entwicklungen in neuer Weise abzuleiten.

No. d. 25. Juni 1894.] Wir dagegen werden viel mehr den Standpunkt einnehmen, dass wir auf die formal strenge mathematische Begründung der Sätze weniger Gewicht legen, als dass wir uns die physikalische und geometrische Anschauung speciell des Oscillationstheorems so lebendig vor Augen führen, dass wir vermittelst desselben neue theoretische Sätze gewinnen, es vielleicht weiterbilden und so das Gebiet der mathematischen Erkenntnis erweitern. Die strenge logisch lückenlose Begründung derselben ist zwar notwendig; aber die überlasse ich andern. Die Naturen sind eben verschieden: was dem einen, dem visuell veranlagten, eine unwidersprechliche zwingende Anschauung ist, dass sieht oder fühlt der auditiv veranlagte nicht; er muss die Bilder erst durch anschauungslose abstracte Begriffe, oder vielmehr durch die sprachlichen Symbole solcher Begriffeersetzen, um dieselben durch logische d.h. sprachliche Verknüpfungen umzuformen.

Aber jeder einzelne darf doch gewiss auf diejenige Art, die seiner Natur entspricht, und mit der er am meisten leisten wird, seinen Teil zur Forderung des Ganzen beitragen. Wenn wir der Mathematik neue Gedankenkreise, neue Probleme und Fragestellungen, neue Beweisansätze erobern, so ist das gewiss nicht weniger verdienstlich, als die detaillierte Durcharbeitung einzelner Gebiete. —

Ich werde dabei zumeist eine gegen früher abgeänderte physikalische Deutung zu Grunde legen.

Die Differentialgleichung der unhomogenen schwingenden Saite lautete

$$sy'' + s'y' + g\left(\frac{2\pi}{T}\right)^2 y = 0.$$

Wir wollen dieselbe durch Einführung einer andern unabhängigen Variablen t so umfassen, dass das Glied mit y' wegfällt; wir können dann, indem wir t als die Zeit deuten, die Differentialgleichung als Bewegungsgleichung eines elastisch schwingenden Punktes ansehen, wobei die elastische Kraft nur mit der Zeit variabel ist.

Wir setzen

$$A = \int \frac{dx}{s},$$

und bekommen dann

$$\frac{dy}{dt^2} = -g \cdot s \left(\frac{2\pi}{\delta}\right)^2 \cdot y = -K \cdot \psi(x) \cdot y,$$

warin K als ein veränderlicher positiver Parameter anzusehen ist. Dies drückt in der That, wenn $\psi(x)$ an einer Stelle x , d. h. zu der entsprechenden Zeit t einen positiven Wert hat, aus, dass der Punkt y mit einer Kraft an seine Ruhelage $y=0$ herangezogen wird, welche seiner Entfernung von der Ruhelage proportional ist. Diesen Charakter, den einer elastischen Schwingung, wird die Bewegung so lange erhalten, als $\psi(x)$ positiv ist. Vergrößert man den Parameter K , so wird der Elastizitätscoefficient vergrößert, die Schwingungen werden also notwendig beschleunigt, ihre Anzahl in einem gegebenen Zeitintervall vergrößert. Die Grenzbedingungen sind Bedingungen für Elongation und Geschwindigkeit des Punktes am Anfang und am Ende des Zeitintervalls.

Das Oscillationstheorem besagt: es ist möglich, durch geeignete Wahl des Parameters K die attractive Kraft so zu temperieren,

dass unser Punkt bei Erfüllung gewisser Anfangs- und Endbedingungen in gegebener Zeit eine bestimmte Anzahl von Schlägen durch die Ruhelage hindurchgeht.

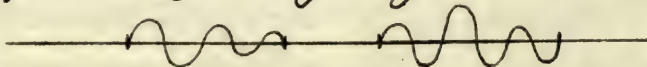
Verallgemeinerung des Oscillationstheorems.

Das so formulirte Theorem habe ich nun in Math. Ann. 18: „Über Körper, welche von con-
focalen Flächen zweiten Grades begrenzt sind“
1881 in 2 Richtungen zu verallgemeinern gesucht.

Erstens ging ich von einer Differentialglei-
chung mit zwei willkürlichen Parametern
 K, λ aus:

$$y'' = -\psi(x; K, \lambda) \cdot y$$

und betrachtete demgemäß auf der x -Achse
zwei Segmente gleichzeitig.



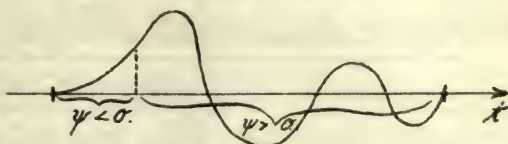
Die Frage habe ich so gestellt, ob man über die beiden Parameter K und λ so verfügen kann, dass in zwei verschiedenen Segmenten zwei beliebig vorgegebene Oscillationsbedingungen erfüllt werden.

Dabei lässt es sich nicht vermeiden, dass wir Funktionen $\psi(x; k, \lambda)$ einführen, welche im einzelnen Intervall daszeichen wechseln, so dass für den beweglichen Punkt auf einer repulsive eine attractive Periode folgt oder umgekehrt.

Es wird dann, wenn wir etwa t als Abscisse, den Ausschlag y als Ordinate gezeichnet denken, die Curve an den Stellen mit negativem Werte von ψ gegen die t -Achse convex, an den Stellen mit positivem Werte von ψ dagegen concav sein. Die Oscillationen kommen dadurch zu Stande, dass die attractive Kraft die Wirkung der repulsiven im Ganzen überwiegt. Es fragt sich natürlich, ob unter so veränderten Umständen die früheren Betrachtungen noch in Geltung bleiben.

Zurzeitens aber will ich gleich die Aufmerksamkeit auf den andern Punkt richten:

Es war bislang immer vorausgesetzt, dass der Elastizitätscoefficient in dem Zeitintervall nie unendlich werde. Schon



wir aber von irgendeiner linearen Differenzialgleichung mit den auf der reellen Axe gelegenen singulären Punkten a, b, c, \dots aus, so wird ja der Coefficient von y , also der Elasticitätscoefficient, in der Nähe dieser Punkte unendlich gross.

Es ist dann die Frage, ob man die Segmente, von denen die Oszillationseigenschaft verlangt wird, bis an die singulären Punkte herannehmen kann.

Ich will jetzt in der Weise verfahren, daß ich mich an die besondere in Math. Ann. 18 besprochene Gleichung anschließe.

Es handelt sich dort um 4 singuläre Punkte, von denen drei je die Exponentendifferenz $\frac{1}{2}$ haben, während die Exponentendifferenz des vierten Punktes, den man etwas nach ∞ legen mag, einen beliebigen Wert $\delta = 2k + \frac{1}{2}$ haben

$$\xrightarrow{\text{a} = \frac{1}{2}, \quad \beta = \frac{1}{2}, \quad \gamma = \frac{1}{2}, \quad d = \infty, \quad \delta = 2k + \frac{1}{2}}$$

soll, unter k einen - nicht notwendig ganzzahligen - Parameter verstanden.

Wenn k insbesondere eine ganze Zahl sein soll - wie bei den Lamé'schen Polynomien der vorigen Woche - dann wollen wir es mit k bezeichnen.

In Bd. 18 der Annalen hatte ich übrigens zunächst ein anderes Ziel als jetzt im Auge:

Die damalige Aufstellung des Oscillationstheorems war nicht allein Beitrag zur Lehre von den linearen Differentialgleichungen mit einer Veränderlichen gemeint, sondern als ein Hilfsmittel, um Normal-Funktionen zu finden, nach denen ich in der Potentialtheorie willkürliche Funktionen in Reihen entwickeln könnte.

Speciell handelte es sich damals darum, für einen von 6 confocalen Flächen 2. Grades begrenzten Körper die Randwertaufgabe der Potentialtheorie zu lösen, d. h. zu gegebenen Oberflächenwerten ein im Innern des Körpers stetig verlaufendes Potential zu konstruieren.

Dies ist der Ansatz von 1881. In der Vorlesung über Lamé'sche Funktionen von 1889-90 habe ich die Beobachtung noch etwas verallgemeinert. Es erwies sich zweckmäßig, statt confocaler Flächen 2. Grades ein allgemeineres Orthogonalsystem zu Grunde zu legen, von dem die confo-

calen Flächen 2. Grades nur eine Ausartung sind, nämlich ein System confocaler Cycliden, d. h. von Flächen viersten Grades, welche den unendlich fernen Kugelkreis doppelt enthalten. Der Name „Cycliden“ stammt von Dupin, hat bei ihm aber noch eine speciellere Bedeutung. nämlich:

Unter den allgemeinen Cycliden ist die Dupinsche Cyclide speciell dadurch ausgezeichnet, dass sie 4 Doppelpunkte im Endlichen enthält.

Bei den confocalen Cycliden treten an Stelle der oben besprochenen 4 singulären Punkte mit 3 Exponentendifferenzen $\frac{1}{2}$ und der einen willkürlichen Exponentendifferenz $2K + \frac{1}{2}$ fünf singuläre Punkte sämtlich mit der Exponentendifferenz $\frac{1}{2}$.

$$\begin{array}{cccccc} a & b & c & d' & d'' \\ \alpha = \frac{1}{2} & \beta = \frac{1}{2} & \gamma = \frac{1}{2} & \delta = \frac{1}{2} & \delta'' = \frac{1}{2} \end{array}$$

Die zugehörige Differentialgleichung nenne ich die „verallgemeinerte Lamé'sche Gleichung“, die besondere Lamé'sche Gleichung entsteht aus ihr, wenn die zwei Punkte d' und d'' zusammenrücken. Dass dann in der That eine beliebige Exponentendifferenz herauskommt, das haben wir zu

Aufang dieses Semesters gesehen. Des Näheren liegt die Sache so:

Die verallgemeinerte Lamé'sche Differenzialgleichung hat nur feste Exponentendifferenzen, dazu aber zwei willkürliche accessoriische Parameter k, λ . Die gewöhnliche Lamé'sche Gleichung dagegen hat nur einen accessoriischen Parameter λ , dafür aber hängt die eine Exponentendifferenz $\delta = 2k + \frac{1}{2}$ von einem willkürlichen Parameter k ab. In jedem Falle hat man also 2 willkürliche Parameter zur Verfügung.

Ich habe nun versucht, auch für diese verallgemeinerte Lamé'sche Gleichung das Oscillationstheorem mit zwei Intervallen durchzuführen.

Es bietet sich dabei die Aufgabe, das Oscillationstheorem für alle diejenigen Fälle zu untersuchen, die aus der verallgemeinerten Lamé'schen Gleichung durch irgend welches Zusammenrücken von singulären Punkten entstehen können.

Diese Theorie ist von Böcher in seiner Preisarbeit von 1891 behandelt. In größerer Ausführlichkeit wird man dieselbe in dem gerade im Erscheinen begriffenen Buche von Böcher: „Über die Reihenentwicklungen der

Potentialtheorie" auseinandergesetzt finden.

Di. d. 26. Juni 1894.] Wir wollen die gewöhnliche Lamé'sche Differentialgleichung in unkonjugierter Gestalt so normieren, dass bei den im Endlichen gelegenen singulären Punkten a, b, c je die Exponenten $\frac{1}{2}, 0, -\frac{1}{2}$, bei $d = \infty$ folglich, da die Summe aller Exponenten $n-2=2$ sein muss, die Exponenten $+K + \frac{1}{2}, -K$ vorliegen. Sie lautet dann:

$$\frac{d^2y}{dx^2} + \frac{dy}{dx} \cdot \left(\frac{\frac{1}{2}}{x-a} + \frac{\frac{1}{2}}{x-b} + \frac{\frac{1}{2}}{x-c} \right) + \frac{y}{(x-a)(x-b)(x-c)} \cdot \left\{ -K \cdot (K + \frac{1}{2})x + \lambda \right\} = 0.$$

Wir setzen nun, um das Glied $\frac{dy}{dx}$ wegzuschaffen:

$$t = \int_0^x \frac{dx}{2\sqrt{(x-a)(x-b)(x-c)}}, \quad x = p(t),$$

wo also $p(t)$ eine doppeltperiodische Funktion von t ist, welche von der Weierstraß'schen Funktion $\wp(t)$ nur unverändert verschieden ist. Die Differentialgleichung geht über in

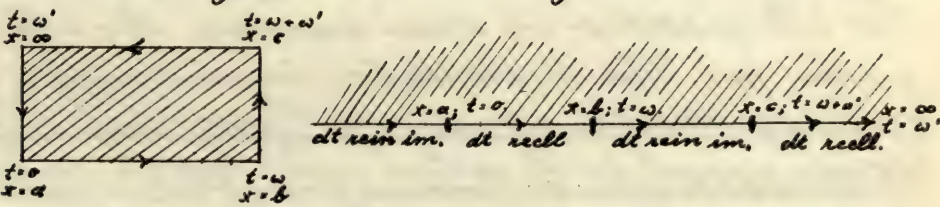
$$\frac{d^2y}{dt^2} = (2K(2K+1)x - 4\lambda)y = (A_t x + B_t)y = (A_t p(t) + B_t)y.$$

Unsere Lamé'sche Differentialgleichung hat hier die Gestalt einer linearen Differentialgleichung mit doppeltperiodischen Coefficienten angenommen, und das ist diejenige Form der Gleichung, welche beispielsweise Her-

mitte in seinen berühmten Untersuchungen
zu Grunde gelegt hat, wie man bei Halphen
vergleichen möge.

"Wir hier lassen zunächst die allgemeinen fun-
 ktionstheoretischen Betrachtungen bei Seite.

Unsere Aufgabe ist es, uns den Verlauf der Lö-
 sungen im Reellen recht klar zu machen.
 Zuerst müssen wir den Zusammenhang der Ar-
 gumente x und t uns deutlich vor Augen fü-
 ren. Lassen wir x die ganze reelle Zahlenebene
 durchlaufen, so beschreibt t die Umgrenzung
 eines Rechteckes, des vierten Teils eines Perio-
 denparallelogramms von $\wp(t)$:

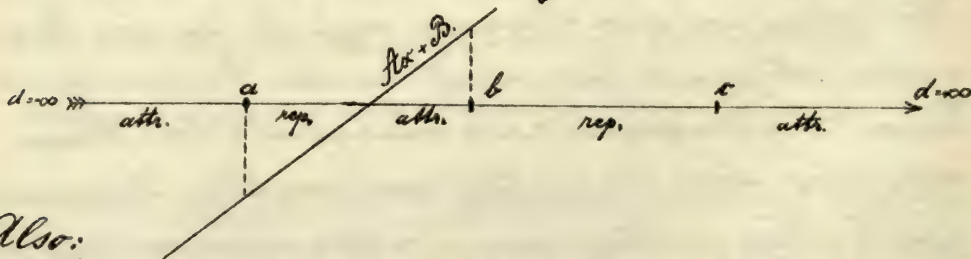


Wir sehen aus den Figuren, dass dt in den Inter-
 vallen ab und $c\infty$ reell, in den Intervallen bc
 und ∞a dagegen rein imaginär ist. Wenn
 wir also eine Variable mit reellen Frequen-
 zen haben wollen, um unsere mechanische Deu-
 tung anwenden zu können, so können wir in
 den Intervallen ab und $c\infty$ die Größe t
 selbst brauchen, in bc und ∞a aber müssen

wir $t = it$ als Variable einführen, wodurch $\frac{dy}{dt^2}$ sein Zeichen wechselt.

Nun kommt es ja bei unserer mechanischen Deutung darauf an, ob $(Ax + B)$ positiv ist oder negativ, und zwar wird in den Intervallen ab und $x \rightarrow \infty$ Attraction im ersten Fall, im zweiten Fall Repulsion, dagegen in den Intervallen b und a bei positivem $(Ax + B)$ Repulsion, bei negativem Attraction zu finden sein.

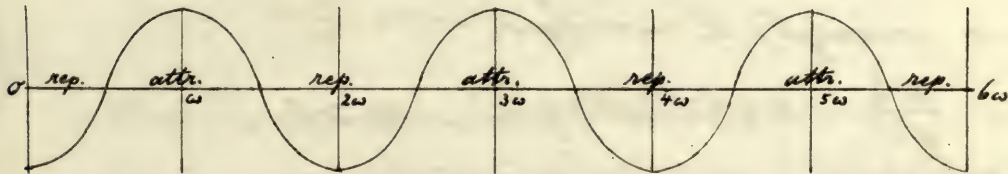
Denken wir uns über der x -Axe als Abscisse $Ax + B$ als Ordinate aufgetragen, so erhalten wir eine Gerade $y = Ax + B$, welche die x -Axe in zwei Gebiete scheidet, so dass in dem einen $Ax + B$ positiv, in dem andern $Ax + B$ negativ ist. Sie wird dabei irgend eines n von den Verzweigungspunkten begrenzten Intervalle der x -Axe in zwei Teile spalten,



Also:

Die ganze x -Axe ist in 5 Stücke zerlegt und diese zeigen von $d = \infty$ beginnend bis zu $d = -\infty$ alternirend attractives und repulsives Verhalten.

Wollen wir die entsprechende Construction über der reellen t -Axe ausführen, indem wir $A \cdot p(t) + B$ senkrecht dazu antragen, so müssen wir bedenken, dass, während t die reelle Axe von 0 über $w, 2w, 3w, \dots$ durchläuft, dass dann der Punkt x immer nur zwischen a und b hin und her geht. Die der Hilfsgeraden $Ax + B$ entsprechende Curve $A \cdot p(t) + B$ ist also periodisch und wird etwa folgendes Aussehen haben:



Das Bild der Hilfsgeraden über der t -Axe ist eine periodische Curve, welche übrigens nur dasjenige Stück der Hilfsgeraden (und dieses unendlich oft) wiedergibt, das zwischen $x=a$ und $x=b$ liegt.

Die Tangente dieser Curve in den Punkten $0, w, 2w, \dots$ ist horizontal, da $\frac{d(A \cdot p(t) + B)}{dt} = A \cdot 2\pi(x-a)(b-x)$ für $x=a$ und $x=b$ verschwindet.

Nun lassen Sie uns noch eine allgemeine Verabredung treffen. Es fragt sich, wie wir die Stärke der Oscillation zweier verschiedenen Funktionen in

einem Intervall vergleichen wollen, wenn auch unvollständige Oscillationen am Ende des Intervalls vorkommen?

Es möge etwa ein positiver fester Wert von $\frac{y'}{y}$ am Anfangspunkt $t=0$ des Intervalls vor geschrieben sein (im besondern Fall der Wert 0 oder ∞). Wir bedenken nun, dass $\frac{y'}{y}$ überall im Intervall, sobald attractives Verhalten vorliegt, monoton abnimmt (ausser in den Nullpunkten von y , wo es von $+\infty$ nach $-\infty$ springt). Dann aus

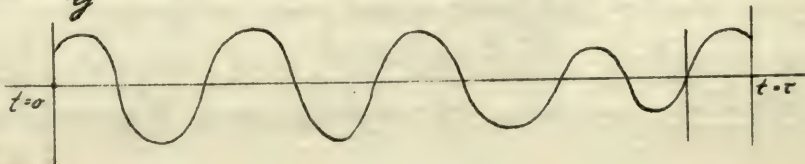
$$\frac{d\frac{y'}{y}}{dt^2} = -\psi(t; A, B) \frac{y'}{y}, \quad \psi > 0$$

folgt

$$\frac{d}{dt}\left(\frac{y'}{y}\right) = \frac{y''}{y} - \left(\frac{y'}{y}\right)^2 = -\psi - \left(\frac{y'}{y}\right)^2 < 0.$$

Während jeder Halbosillation geht so $\frac{y'}{y}$ von $+\infty$ bis nach $-\infty$.

Eine unvollständige Halbosillation werden wir also mit einem um so grösseren Bruch teil mitzählen haben, je tiefer während der selben $\frac{y'}{y}$ von $+\infty$ an herabsinkt.



Jedesmal, wenn $\frac{y'}{y}$ von $+\infty$ bis $-\infty$ läuft, haben wir eine 1, jedesmal wo dieses Intervall nicht vollständig durchlaufen wird, einen um so größeren echten Bruch anzusetzen, ein je größerer Teil einer Halboscillation durchlaufen wird, und zu summieren, d. h. wir müssen eine Function suchen, welche während der Oscillationen beständig wächst, und zwar bei jeder Halboscillation um eine Einheit. Eine diesen Bedingungen genügende Function ist

$$-\frac{1}{\pi} \operatorname{arctg} \frac{y'}{y}.$$

Der Zuwachs dieser Function von $t=0$ bis $t=\tau$ wird also als Maß für die Stärke der Oscillation im Intervall $t=0$ bis $t=\tau$ dienen können. Also:

Zwei Curven, welche bei $t=0$ mit demselben vorgeschriebenen Wert von $\frac{y'}{y}$ beginnen, werden hinsichtlich der Stärke ihrer Oscillationen im Segment verglichen, indem man für beide Curven den Ausdruck

$$\left[-\frac{1}{\pi} \operatorname{arctg} \frac{y'}{y} \right]_{t=0}^{t=\tau}$$

Gildet.

Eine genauere Discussion des oben gegebenen Ausdrucks *)¹

$$\frac{d}{dt} \left(\frac{y'}{y} \right) = -\psi - \left(\frac{y'}{y} \right)^2$$

ergibt den Satz, der physikalisch unmittelbar klar ist:

Wenn das ψ im ganzen Intervall wächst, die Kraft *)² also durchweg vergrößert wird, so wächst bei unserer Integralcurve, die für $t=0$ mit dem vorgeschriebenen Werte $\frac{y'}{y}$ beginnt, die Stärke des Oscillation.

Es sei nun in dem Intervall ab ein Segment $I=(0, t)$ gegeben. Das Oscillationstheorem besagt, dass man die Constanten A_0 und B_0 so bestimmen, d. h. der Hülfsgeraden $Ax + B$ eine solche Richtung und Lage geben kann, dass in dem Segment eine ganz bestimmte

vorgegebene Stärke der Oscillation entwickelt wird, also wenn $\frac{y'}{y}$ bei $t=0$ vorgegeben ist, dass in dem Segment eine bestimmte Zahl von O-Schlägen liegt und dass $\frac{y'}{y}$ bei $t=t$ wieder einen vorgeschriebenen Wert hat.

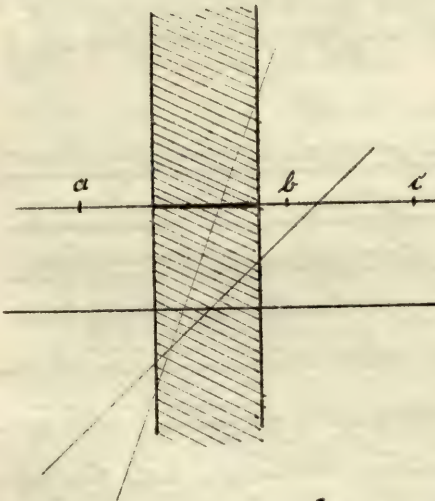
*)¹. Man vergl. die Entwicklungen von Gauß, l. c.

*)². Es möge hier und im Folgenden diese eigentlich ungenaue Kurz-Ausdrucksweise, gestattet sein wo es sich auch nicht um die Kraft selbst handelt - diese wäre $(Ax+B)y$ - sondern nur um den Coefficienten $(Ax+B)$, den Elastizitätscoefficienten.

Da das nur eine Bedingung für die Lage der Geraden ist, so gibt es natürlich noch ∞^1 Geraden, welche der Bedingung genügen, in dem einen Segment denselben Oscillationszustand hervorzurufen. Wir fragen dann:

Wie sieht die Enveloppe aller derjenigen Hilfsgeraden aus, welche in unserem Segmente eine bestimmte Oscillationsbedingung befriedigen lassen?

Do. d. 28. Juni 1894.] Wir denken uns in der (x, y) Ebene durch die Endpunkte des Segmentes zwei zur x -Achse senkrechte gerade Linien gezogen; diese begrenzen dann in der x, y Ebene einen Streifen, dessen Breite durch die Länge des Segments gegeben ist.



Damit durch die Differentialgleichung

$$\frac{dy}{dt^2} = (Ax + B), y$$

überhaupt Oscillationen in dem Segment hervorgerufen werden, muss $(Ax + B)$ wenigstens in einem Teile des Segments negativ sein, d. h. die Gerade $y = Ax + B$ muss notwendig den unterhalb der x -Achse liegenden Teil des Streifens

durchsetzen.

Setzen wir z. B. $A = 0$, verlangen also, dass die Gerade der x -Achse parallel ist, so kann man B auf elementarem Wege - dem es handelt sich dann nach Einführung von t als unabhängigiger Variabler, nur um Sinus schwingungen - so als negative Größe bestimmen, dass gerade die vorgegebene Oscillationszahl herauskommt, und zwar nur auf eine Weise. Was ferner die übrigen möglichen Lagen der Hilfsgeraden bei vorgegebener Oscillationszahl betrifft, so ist der Satz auszusprechen:

Zwei verschiedene Hilfsgeraden, welche dieselbe Oscillationseigenschaft liefern, müssen sich innerhalb des verticalen Streifens schneiden.

Denn wenn sie sich innerhalb des Streifens nicht schneiden, wäre bei der einen von ihnen ($Ax + B$) im ganzen Intervall grösser, die anziehende Kraft also durchweg kleiner als bei der andern, was auch eine Verschiedenheit der Oscillationszahlen zur notwendigen Folge haben müsste. Damit ist der Satz bewiesen.

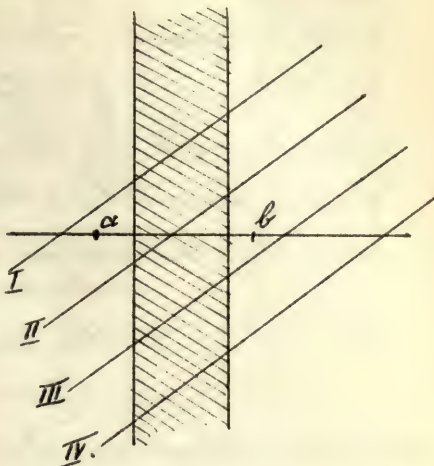
Wählen wir für A irgend einen bestimmten Wert - wie oben den Wert 0 - so ist damit die Richtung der Hilfsgeraden gegeben. Wenn

wir nun die Hülfsgerade noch mit sich selbst parallel verschieben, etwa von der Lage ℓ in nebenstehender Figur nach unten zu, so wird dabei die anziehende Kraft im ganzen Intervall gleichzeitig verstärkt, ebenso also auch die Oszillationszahl stetig vergrößert, bis zu jedem beliebig großen Werte hin, so dass dabei die vorgegebene Oszillationszahl einmal und nur einmal erreicht wird. Wir haben also den Satz:

Die Richtung der Hülfsgeraden kann beliebig sein; dann ist aber die Lage der Hülfsgeraden durch die Forderung der vorgegebenen Oszillationseigenschaft eindeutig bestimmt.

In der That können ja nicht zwei parallele Geraden zu derselben Oszillationseigenschaft gehören, da sich zwei solche Geraden nicht im Streifen schneiden würden, entgegen dem vorhin ausgesprochenen Satze.

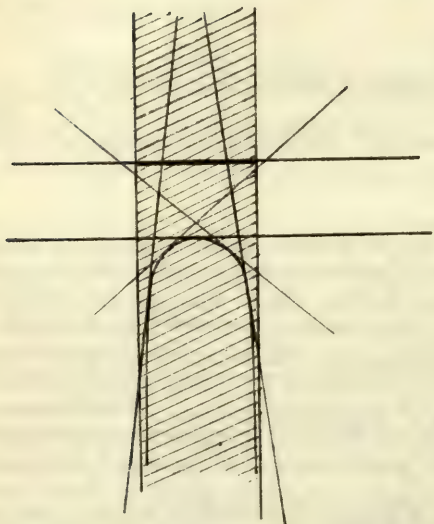
Denken wir uns nun bei vorgegebener



Oscillationsbedingung alle möglichen zugehörigen Hülfsgeraden konstruiert, so ist das eine einfach unendliche Schaar von Geraden, welche eine gewisse Curve einküllen. Jrgend ein Punkt dieser Hüllecurve ist der Schnittpunkt zweier unendlich benachbarter Geraden, muss also, wie der Schnittpunkt irgend zweier Geraden der Schaar überhaupt, innerhalb des verticalen Streifens liegen.

Die Hüllecurve hat eine solche Gestalt, dass alle ihre Punkte in dem verticalen Streifen liegen, und zu jeder Richtung eine einzige parallele Tangente vorhanden ist.

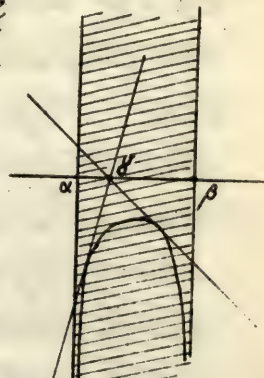
Die Hüllecurve kann keine andere Gestalt haben, als die in nebenstehender Figur angegebene, bei welcher die Ränder des Streifens Asymptoten sind.



Man könnte in Zweifel sein, ob die Curve nicht vielleicht die nebenstehende Gestalt haben muss, welche ja mit den obigen Angaben über die Anzahl der Tangenten von gegebener Richtung ebenso gut verträglich wäre. Aber man kann zeigen, dass von jedem Punkte der Strecke $\alpha\beta$ mindestens 2 Tangenten an die fragliche Hüllcurve existieren, dass also das Segment $\alpha\beta$ von der Hüllcurve nicht geschnitten werden kann.



In der That, lassen wir eine Gerade sich um einen beliebigen Punkt p des Segmentes $\alpha\beta$ drehen, etwa indem sie sich bei α nach unten senkt, so wird man auf der Teilstrecke αp Anziehung, auf der Teilstrecke $p\beta$ Abstofung haben, und zwar werden mit zunehmender Neigung der Hilfsgeraden beide, die Anziehung, wie die Abstofung auf der ganzen Strecke dem Tangens der Neigung proportional vergrößert. Dabei wird die Oszillationszahl auf der Strecke αp

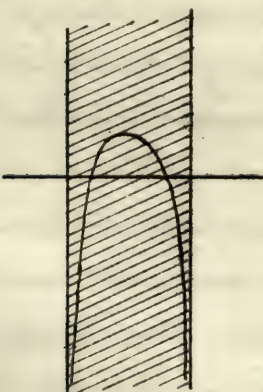


vergrößert, auf der Strecke $\gamma\beta$, nach der negativen Seite hin, verkleinert. Nun ist aber physikalisch klar, dass man die Oscillationszahl auf einer Strecke $\alpha\gamma$, wo nur Anziehung herrscht, durch Verstärkung der Anziehung beliebig vergrößern kann, dass dagegen die Oscillationszahl auf der Strecke $\gamma\beta$, wo nur Abstofzung herrscht, nie bis auf -1 heruntersinken kann, wie sehr man die Abstofzung auch verstärken mag. Daraus folgt, dass man durch stetige Drehung der Hülfsgeraden um den Punkt γ oder Oscillationszahl auf der ganzen Strecke $\alpha\beta$ jeden beliebig großen Wert erteilen kann, also auch mindestens einmal den vorgegebenen Wert. Ein Zweifel bleibt höchstens, wenn die vorgegebene Oscillationszahl kleiner als $O_0 = \frac{1}{\pi} \arctg \frac{c^2 t}{1+c^2 t}$ ist, wobei c den Wert $\frac{\gamma'}{\gamma}$ am Anfang des Segments und t die Länge des Segments in A gemessen bedeutet. Im Allgemeinen also d. h. wenn die vorgegebene Oscillationszahl nicht kleiner als die eben angegebene Größe O_0 ist, insbesondere stets, wenn die Oscillationszahl ≥ 1 sein soll, gibt es mindestens eine Lage der Hülfsgeraden durch γ mit positivem Werte von

λ_1 , für welche sie zur Tangente wird. Genau eben so findet man mindestens eine Lage mit negativem λ_1 , wo also von α bis β Abstoßung, von β bis γ Anziehung herrscht; damit ist unsere Behauptung bewiesen.

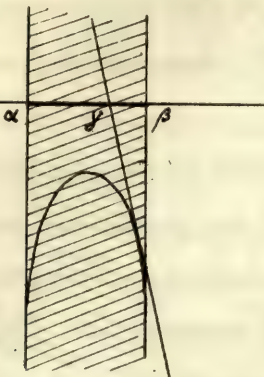
Wenn die vorgegebene Oscillationszahl < 0 ist, dann kann man allerdings nicht mehr von allen Punkten des Segmentes Tangenten an die Hüllkurve legen. Dann aber lässt sich zeigen, dass die horizontale Tangente der Hüllkurve oberhalb der x -Achse verläuft, dass also die Curve im wesentlichen eben,

so wie vorhin liegen muss, nur mit dem Unterschied, dass sie ihren Scheitel jetzt über die Abscissenachse erhebt. Die später an die Gestalt der Hüllkurve anzuknüpfenden Folgerungen werden durch diese Modification in keiner Weise berührt.



Dass die Curve die Begrenzungsgeraden des Streifens tatsächlich zu Asymptoten haben muss und dieselben nicht etwa schan in

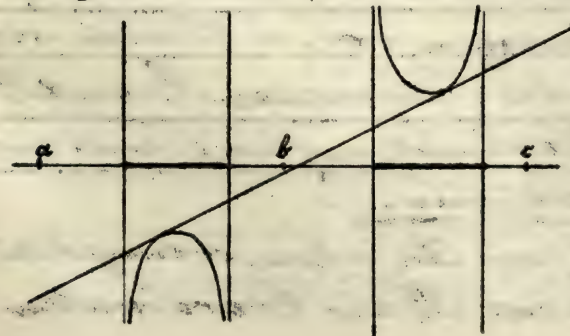
Endlich erreicht, wie in nebenstehender Figur, sieht man leicht, wenn man in dieser Figur von einem Punkte γ des Segmentes, welcher dem Endpunkt sehr nahe liegt die nach vorn abwärts gerichtete Tangente an die Curve zieht. Da diese Gerade über dem Segmenttheil $\alpha \gamma$ sich sehr hoch erhebt, unter das Segmenttheil $\gamma \beta$ aber nur bis zu einer endlichen Tiefe hinabsinkt, so entspricht sie dem physikalischen Falle, dass längs γ eine anfangs sehr grosse abstoßende Kraft wirkt, längs des verschwindend kleinen Segmentstücks $\gamma \beta$ aber nur eine endlich bleibende anziehende Kraft. Eine endlich bleibende Kraft kann aber in einem unendlich kleinen Zeitintervall gewiss keine Oscillationen von gegebener, nicht verschwindender Größe hervorrufen, zumal auch noch der Punkt in Folge der abstoßenden Kraft längs $\alpha \gamma$ bei Beginn des Intervalls $\gamma \beta$ einen sehr grossen Wert von y' besitzt. Also muss, wenn $\gamma \beta$ unendlich klein genommen wird, längs



gr die anziehende Kraft unendlich gross werden, d. h. die Tangente muss unendlich tief hinunterreichen, die Begrenzungsgerade des Streifens also als Tangente der Curve betrachtet ihren Berührungs punkt im unendlich-fernen haben, d. h. Asymptote sein.

Die Hüllcurve erstreckt sich nach unten, wie gezeichnet, wenn das Segment in ab oder in cd liegt. Wenn dagegen das Segment in da oder in bc liegt, so tritt Attraktion dann ein, wenn die Hüllsgerade oberhalb der x-Achse verläuft, und die Figur ist also in der Weise umzukehren, dass die Hüllcurve in der oberen Hälfte des Streifens verläuft.

Nun mögen zwei Segmente betrachtet werden, welche nicht übereinander greifen. Dieselben können sonst aber beliebig in ein und denselben oder in verschiedenen Intervallen liegen. Nur Beispielweise soll das eine in ab, das andere in bc gezeichnet werden. Nun sei für jedes der beiden Segmente unabhän-



gig voneinander, eine Oscillationsbe-

dingung vorgegeben. Man denke sich dann über jedem der beiden Segmente die der betreffenden Oscillationsbedingung entsprechende Hüllkurve construiert.

Unsere beiden Hüllkurven haben dann, sobald die Segmente überhaupt getrennt liegen, notwendig eine und nur eine gemeinsame Tangente, wie die Figur zeigt.

Denn hätten sie zwei gemeinsame Tangenten, so müßten sich dieselben sowohl in dem Vertikalstreifen über dem einen Segment, wie in demjenigen über dem andern Segment schneiden, was unmöglich ist.

Damit haben wir das Oscillations theorem erreicht:

Schreiben wir für zwei Segmente der κ -Classe, welche kein Stück miteinander gemein haben, und welche in verschiedenen oder in demselben Intervall liegen können, zwei beliebige Oscillationsbedingungen vor, so können wir, dementsprechend die Parameter α und β der Lamé'schen Gleichung auf eine und nur auf eine Weise bestimmen.

Der Beweis ist, wie Sie sehen, so eingekleidet, dass wir α und β als Coordinaten

einer geraden Linie deuten. Es fragt sich, wie die Betrachtung sich anders, wenn man Δ und β als Punktkoordinaten deutet und die einzelnen Schritte durch strenge mathematische Schlüsse begründet. Näheres darüber findet man in dem Buche von Pockels über $\Delta u + k^2 u = 0$ S. 117-120. Wir werden das erweiterte Oscillationstheorem in dem Umfang unserer jetzigen Betrachtung fortan als bewiesen ansehen.

Jetzt werden wir die Segmente bis an die singulären Punkte a , b , c , d heranziehen.

Es möge z. B. ein Segment von a bis b reichen, d. h. mit dem Intervall $a \leq b$ identisch sein.

Es fragt sich, was wir an die Stelle der Grenzbedingungen, daß y' an den Enden des Segments vorgeschriebene Werte haben soll, jetzt zu setzen haben.

An einer gewöhnlichen Stelle etwa $x=0$, gibt es zwei „Fundamentalslösungen“ von der Form

$$y_1 = 1 + c_1 x + c_2 x^2 + c_3 x^3 + \dots,$$

$$y_2 = 1 + c_1' x + c_2' x^2 + c_3' x^3 + \dots,$$

und die allgemeine Lösung setzt sich aus diesen in der Gestalt zusammen:

$$y = c_1 y_1 + c_1' y_2 - v + ux + c_2'' x^2 + c_3'' x^3 + \dots$$

Dann ist an der Stelle $x=0$

$$y' = u, \quad y = v, \quad \frac{y'}{y} = \frac{u}{v}.$$

Die Grenzbedingung der Physik, welche
 y' als gegeben ansieht, kann auch so for-
mulirt werden: wir geben das Verhältnis
 $u:v$ derjenigen Constanten, mit deren Hülfe
sich die Lösung y aus den beiden zum Punkt
 $x=0$ gehörigen Fundamentallösungen y_1, y_2 zu
sammensetzt.

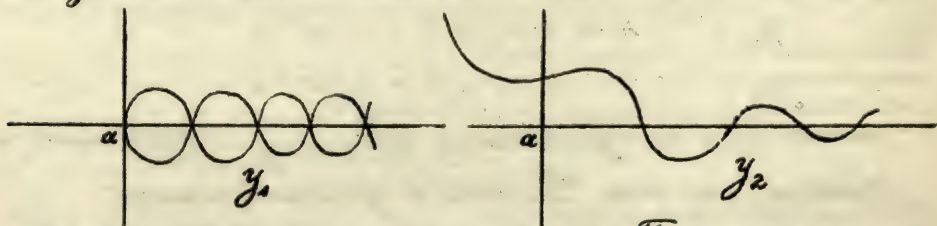
Dies überträgt sich nun sofort auf den Fall,
wo der Anfangs- oder Endpunkt des Segments
ein singulärer Punkt ist.

Z. B. bei a existieren zwei Fundamentallösungen

$$y_1 = (x-a)^{\frac{1}{2}} (1 + c_1(x-a) + c_2(x-a)^2 + \dots),$$

$$y_2 = \quad (1 + c_1'(x-a) + c_2'(x-a)^2 + \dots).$$

Die beiden Lösungen verlaufen etwa nach
Art der folgenden beiden Curven, die erste
so, dass sie nur rechts von a reell ist



und bei a selbst mit vertikaler Tangente im,

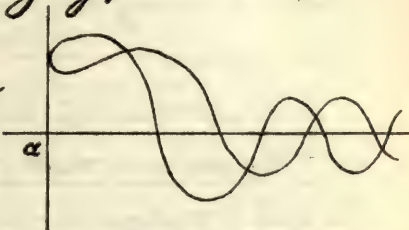
liegt, die zweite aber so dass sie die Gerade $x = a$ unter irgend einem Winkel schneidet, und zwar in der Höhe $y = 1$. Wenn man y_1 mit i multipliziert, so ist sie nur links von a , statt rechts reell, indem ein anderer Teil der Lösung y_1 irreelle Erscheinung tritt.

Die allgemeine Lösung

$$y = u y_1 + v y_2$$

zeigt einen Verlauf, wie nebenstehende Curve, bei reelem u nur rechts, bei rein imaginärem u nur links vom Punkte a in reelle Erscheinung tretend. Wählen wir v immer kleiner, so wird die Umliegung der Curve an der Geraden $x = a$ immer särfer, indem zugleich die beiden von der Umliegung auslaufenden Curvenzweige immer näher aneinander hinlaufen, bis sie schliesslich für $v = 0$ ganz zusammenfallen zu einem einzigen Curvenstück, welches an der Geraden $x = a$ einfach abbrechen würde, wenn sich nicht als Fortsetzung links ein plötzlich aus dem imaginären heraustrretender Curvenzweig einstellte. Also:

Die typische Gestalt der allgemeinen Curve



y schliesst nicht nur die Curve y_1 , sondern auch die Curve y_2 als einen Grenzfall ein, wobei die Curve y_2 als doppeltzählend auftritt und eben darum eine reelle Fortsetzung über $x = a$ hinaus gestattet.

Die Grenzbedingung lässt sich nun so aussprechen:

Die specielle Curve y , welche im Innern des Segments eine bestimmte Anzahl mal durch 0 gehen soll, soll an der Grenze a zu einem bestimmten Quotienten $\frac{u}{v}$ gehören, wo u, v die Factorien sind, mit deren Hülfe sich y aus den beiden Fundamentalsystemen y_1, y_2 zusammensetzt.

Es handelt sich bei dieser Übertragung der Grenzbedingungen auf die ausgearteten Segmente nicht nur um eine Analogie, sondern um ein genaues Entsprechen, wie sich sofort ergibt, wenn wir die Variable t einführen.

Nämlich die Differentialgleichung mit t hat bei $x = a$, d. h. bei $t = 0$ überhaupt keinen singulären Punkt. Da sich nun $x = a$ wie t^2 verhält, multipliziert mit einer Potenzreihe nach t , so wird y_1 und y_2 in t die Ge-

stalt haben

$$y_1 = t \cdot \varphi_1(t), \quad y_2 = \varphi_2(t),$$

d. h. y_1 und y_2 sind auch in Bezug auf t Fundamentallösungen, nämlich Fundamentallösungen des nichtsingulären Punktes $t=0$.
Wir sehen also:

Wir können unser Oscillations theorem auch auf den Fall anwenden, wo sich unsere Segmente bis an die singulären Punkte heranziehen, nur müssen wir uns $\frac{y}{t}$ in den singulären Punkten dabei so gegeben denken, dass wir t als unabhängige Variable dabei meinen.

Fr. d. 29. Juni 1894.] Wir wollen heute zuschauen, wie man vom Oscillations theorem aus, bezogen auf zwei benachbarte Intervalle ab , bc , zu den Lamé'schen Polynomen zurückgelangt, indem wir damit in unseren jetzigen Betrachtungen eine Neubestätigung der früher ganz anders gefundenen Sätze finden.

Die beiden Segmente seien also geradezu die bei den Intervalle ab und bc . Es sollen in ab m Nullstellen, in bc n Nullstellen je einer Lösung y vorhanden sein, und zwar soll die Lösung y des Intervalls ab in a und b sich verhalten, wie $(x-a)^{\frac{m}{2}} \varphi(x-a)$ bzw. wie $(x-b)^{\frac{n}{2}} \varphi(x-b)$, die

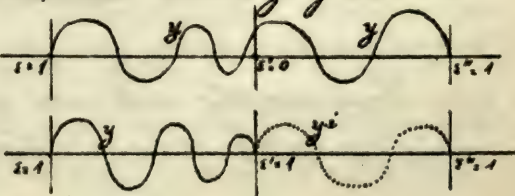
Lösung des Intervalls bc bei $x=c$ wie $(x-c)^{\frac{\epsilon'}{2}} \varphi(x-c)$, bei $x=c$ wie $(x-c)^{\frac{\epsilon''}{2}} \varphi(x-c)$, wobei $\epsilon, \epsilon', \epsilon''$ jedes den Wert 0 oder 1 haben kann; d. h. es sind für y im Sinne des letzten Satzes der vorigen Stunde in den Segmentgrenzen die Werte 0 oder ∞ vorgeschrieben.

In unserer Festsetzung liegt die partielle Verabredung, dass im Punkte c von linker Seite her und von rechter Seite her jedesmal dieselbe Randbedingung erfüllt sein soll.

Wenn, wie hier die Lösung y des Intervalls ab und die Lösung y des Intervalls bc , in einem Punkte c beide wie die erste, oder beide wie die zweite Fundamentallösung des Punktes sich verhalten sollen, so können sie sich nur um einen constanten Factor unterscheiden. Also:

Infolge unserer Verabredung betr. den Punkt c werden die in den beiden Segmenten zu betrachtenden Particularlösungen jetzt dieselben sein, soweit sie überhaupt bestimmt sind nämlich bis auf einen constanten Factor.

Wenn $\epsilon'=0$ ist, so zieht die Lösung y als ein und dieselbe reelle analytische Curve von a über b nachc.



Wenn dagegen $\xi' = 1$ ist, so ist die Lösung nur in dem einen Intervall, etwa $a b$, durch eine reelle Curve darstellbar, und wird erst nach Multiplikation mit i in C reell, dafür aber in $a b$ imaginär. Die Oscillationsbedingung wird jedoch durch eine solche Multiplikation mit i nicht berührt, so dass wir die Curve y links von b getroast durch die Curve y_i rechts von b fortsetzen dürfen.

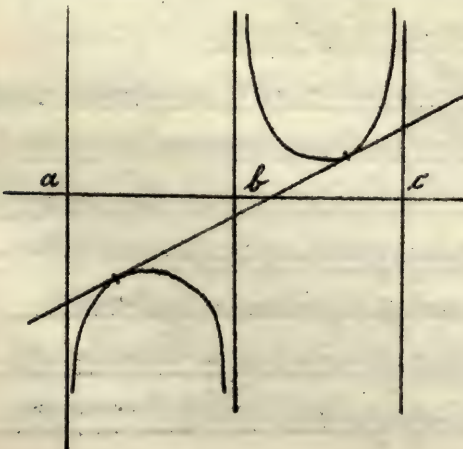
Wir setzen nun

$$y = (x-a)^{\frac{\xi}{2}} \cdot (x-b)^{\frac{\xi'}{2}} \cdot (x-c)^{\frac{\xi''}{2}} \tilde{P}(x),$$

unter $\tilde{P}(x)$ eine Funktion von noch zu bestimmendem Charakter verstanden.

Man sieht, dass $\tilde{P}(x)$ im Endlichen sich überall unverzweigt und wie eine ganze Function verhält. Im Unendlichen muss es daher auch

nötwendig unverzweigt sein. Die Zeichnung der Hülkurven über $a b$ und $b c$ zeigt, dass die Hülfsgerade $A x + B$ jedenfalls nicht vertical, A also jedenfalls von endlichem Werte ist. Dann ist aber



der Punkt $x = \infty$ für die Differentialgleichung ein regulärer singulärer Punkt, mit den Exponenten $-k$ und $k + \frac{1}{2}$, wo $2k(2k+1) = n$ ist.
y muss sich daher im Unendlichen wie eine Potenz x^k verhalten, wobei der Exponent k durch die Gleichung

$$2k(2k+1) = n.$$

bestimmt ist.

Da nun $P(x)$ für $x = \infty$ unverzweigt sein muss, so muss

$$k = k - \frac{\varepsilon + \varepsilon' + \varepsilon''}{2}$$

eine ganze Zahl und $P(x)$ ein Polynom vom Grade k sein.

Die Particularlösung y_1 , welche bei einem beliebigen unserer 8 Bedingungssysteme in Betracht kommt, ist analytisch in der Form darstellbar,

$$y = (x-a)^{\frac{1}{2}}(x-b)^{\frac{1}{2}}(x-c)^{\frac{1}{2}}P(x),$$

wo $P(x)$ ein rationales Polynom ist, welches sich sofort als Lamé'sches Polynom erweisen wird.

In der vorigen Woche haben wir die Lamé'schen Polynome in der Weise eingeführt, dass wir ihren Grad k gaben und dann zeigten, dass alle k Wurzeln reell auf die beiden Intervalle ob und bc verteilt liegen. Jetzt umge-

Kehrt geben wir die Anzahl $m+n$ der reellen Wurzeln von $P(x)$ nebst ihrer Verteilungsweise m, n auf die beiden Intervalle ab, so, und wir zeigen nun, dass $m+n$ der Grad des Polynoms ist, dass also unser Polynom weder im Reellen noch im Complexen irgend welche anderen Wurzeln hat, als durch unsere Oscillationsforderungen von vornherein geschrieben sind.

In der That sieht man leicht mit Bezugnahme auf unsere früheren Betrachtungen über Lamé'sche Polynome, dass $P(x)$ ein solches sein muss und zwar ein solches in den Stieltjes'schen Grenzen, dessen k Wurzeln alle reell und zwischen a und c gelegen sind, sodass also $k = m+n$ sein muss. Denn wenn y bei a, b, c die Exponenten $\frac{1}{2}, 0; \frac{1}{2}, 0; \frac{1}{2}, 0$ besitzt, so muss auch P einer linearen Differentialgleichung genügen und zwar mit den Exponenten $\frac{1-\epsilon}{2}, \frac{-\epsilon}{2}; \frac{1-\epsilon'}{2}, \frac{-\epsilon'}{2}; \frac{1-\epsilon''}{2}, \frac{-\epsilon''}{2}$ bei a, b, c , d.h. mit den Exponenten $\pm \frac{1}{2}, 0; \pm \frac{1}{2}, 0$, wo + oder - zu nehmen ist, je nachdem $\epsilon, \epsilon', \epsilon''$ gleich 0 oder = 1 ist.

$P(x)$ ist also ein Polynom, welches einer Differentialgleichung genügt, die an den Stellen

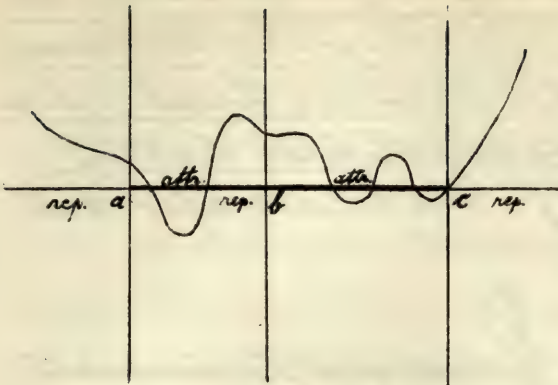
α, β, γ die Exponenten $\pm \frac{1}{2}$ und 0 besitzt.

Die Lamé'schen Polynome, auf welche wir hier
kommen, liegen alle innerhalb der Stieltjes'schen
Grenzen, und es gelten für sie also in der That
die Realitätsverhältnisse, auf die wir uns so-
ben bezogen haben.

Wir wollen nun aber den ganzen Zusammenhang von Neuem ableiten, ohne Hülfsnahme der Stieltjes'schen Betrachtungen, nur aus dem Oscillationstheoreme heraus. Wir bekommen so zugleich eine Controle der früheren Überlegungen, besonders wenn wir auch hier versuchen über die Stieltjes'sche Grenze hinauszugehen.

Es handelt sich, wie gesagt, insbesondere darum, dass $P(x)$ keine anderen Wurzeln haben soll, als die durch die Oscillationseigenschaft von vorne herein gegebenen. In dieser Hinsicht sage ich zunächst:

Die Hülfsgerade muss im Intervall abnotwendig ganz oder teilweise negative, in loc ganz oder teilweise positive Ordinaten haben; sie muss daher notwendig in a und links von a durchweg unterhalb, in c und rechts von c überhalb der x Achse liegen, also muss so-



wohl in da, wie in cd
repulsives Verhalten
herrschen, so dass es
in diesen Intervallen
keine Wurzeln mehr
geben kann. (Die Zeich-
nung ist so zu ver-
stehen, dass die Curve
zwischen a C und cd
so gezeichnet ist, wie

sie sich in der t-Ebene, zwischen bc und da,
so wie sie sich in der $t' = it$ -Ebene darstellt).

Dass unser P in den beiden äusseren Inter-
vallen cd, da keine 0-Stellen mehr hat, geht
ohne Weiteres daraus hervor, dass dort $\Re x + \beta$
 > 0 bzw. < 0 ist, so dass repulsives Ver-
halten in den betreffenden Intervallen der
Zeit t statt hat.

Nun muss man aber auch noch nachweisen,
dass $P(x)$ keine complexen Wurzeln hat.

Um zu sehen, dass $P(x)$ im Complexen keine
Wurzeln mehr besitzt, suche ich das Polygon zu
konstruieren, welches dem Quotienten zweier Par-
ticularlösungen unserer Differentialgleichung
entspricht und wünsche zu zeigen, dass wir

mit Notwendigkeit auf diejenige Gestalt der
Polygone komme, die wir früher ausgehend
vom Realitätstheorem der Lamé'schen
Polynome bereits aufgestellt haben.

Mo. d. 2. Juli 1894.] Wir bilden also den
Quotienten

$$\eta = \frac{y_2}{y_1},$$

wobei wir für y_1 gerade die Particularlösung nehmen:

$$y_1 = (x-a)^{\frac{E}{2}}(x-b)^{\frac{E}{2}}(x-c)^{\frac{E}{2}} P(x).$$

η bildet die Halbebene auf ein Kreisbogenpolygon ab. Wir behaupten:

Unser Kreisbogenpolygon ist in diesem Fall
eingeradliniges Polygon.

Die Behauptung folgt einfach daraus, dass

$$\eta = \int \frac{dx}{(x-a)^{\frac{1}{2}}(x-b)^{\frac{1}{2}}(x-c)^{\frac{1}{2}} y_1^2}, \text{d.h. im vorliegenden Falle}$$

$$\eta = \int \frac{dx}{(x-a)^{1+\frac{1}{2}}(x-b)^{1+\frac{1}{2}}(x-c)^{1+\frac{1}{2}} P(x)^2},$$

das Integral einer multiplikativen Funktion ist.

Zugleich erkennen wir aus dieser Formel den Satz:

Die Winkel des geradlinigen Polygons, welche den Punkten a, b, c entsprechen, sind rechte Winkel und liegen im Endlichen oder im Unendlichen, je nachdem das betreffende

$\epsilon, \epsilon', \epsilon''$ gleich 0 oder 1 ist.

Um die Natur der vierten, dem Punkte d oder x-Ebene entsprechenden Ecke zu erkennen, führen wir homogene Schreibweise ein, indem wir $x = \frac{x_1}{x_2}$ setzen. Wir bekommen dann, wenn k der unbekannte Grad des Polynoms $P_{k(x)}$ ist, den Ausdruck:

$$\eta = - \int \frac{x_2^{2k+\epsilon+\epsilon'+\epsilon''-\frac{1}{2}} (x, dx)}{(x_a)^{\epsilon+\frac{1}{2}} (x_b)^{\epsilon'+\frac{1}{2}} (x_c)^{\epsilon''+\frac{1}{2}} P_k(x_1, x_2)^2}.$$

Daraus liest man ab, dass der vierte Winkel des Polygons

$$\delta = \pi (2k + \epsilon + \epsilon' + \epsilon'' + \frac{1}{2})$$

sein muss. Also:

Der Grad k unseres Polynoms bestimmt sich nach der vorstehenden Formel durch Betrachtung der Größe des vierten Winkels im Viereck.

Wenn uns also die geometrische Figur des Polygons einen bestimmten Wert des vierten Winkels ergibt, so kann uns dieser zur Bestimmung des Grades von k dienen.

Ich wünsche aber diese Betrachtung noch von der benutzten Integralformel unabhängig zu machen; d.h. ich will den Satz, dass unser

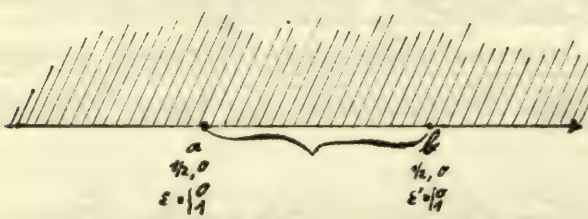
Polygona geradlinig ist, direkt ableiten, und ebenso den Satz, dass jede Ecke im Endlichen oder im Unendlichen liegt, je nachdem das betreffende $\varepsilon = 0$ oder -1 ist.

Unser

$$y_1 = (x-a)^{\frac{1}{2}}(x-b)^{\frac{1}{2}}(x-c)^{\frac{1}{2}} P_k(x)$$

ist offenbar gleichzeitig für jeden der drei Punkte a, b, c Fundamentallösung, nämlich die zum Exponenten 0 oder $\frac{1}{2}$ gehörige, je nachdem das betreffende $\varepsilon = 0$ oder -1 ist.

Nun wollen wir überhaupt einmal folgenden Fall untersuchen: Eine reelle lineare Differentialgleichung mit beliebig vielen singulären Punkten habe in zwei auf der



reellen Axe aufeinanderfolgenden Punkten a, b je die Exponenten $\frac{1}{2}$ und 0. Es

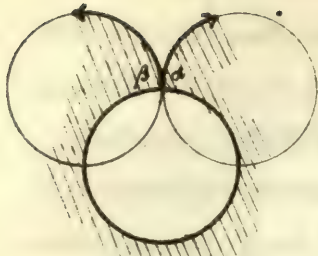
existiere eine Lösung y_1 der Differentialgleichung, welche gleichzeitig für jeden der beiden Punkte Fundamentallösung ist, und welche in dem Intervall $a \dots b$ in mal verschwindet. Das ergibt im Ganzen 4 Möglichkeiten, je nach dem Exponenten, zu welchem y_1 in jedem

der beiden Punkte gehört; es gehöre y , in a zum Exponenten $\frac{t}{2}$, in b zum Exponenten $\frac{t'}{2}$, wo t und t' jedes = 0 oder - 1 sein kann.

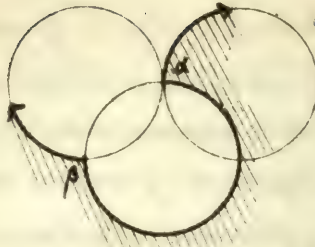
Wir betrachten dann das Abbild, welches der Quotient irgend zweier partikulären Lösungen der Differentialgleichung von dem Segment ab sowie von den angrenzenden Stücken der Nachbarsegmente der reellen x -Axe entwirft. Die Segmente der reellen Axe werden natürlich, da es sich um eine reelle Differentialgleichung handelt, auf Kreisstücke abgebildet, die auf gewissen Kreislinien liegen. Es ist nun zu behaupten:

Die drei Kreislinien, auf denen unsere drei Kreisbögen liegen, schneiden sich in einem Punkte, und zwar fällt mit diesem Schnittpunkte das Bild von a bzw. das Bild von b dann und nur dann zusammen, wenn t bzw. $t' = 1$ ist.

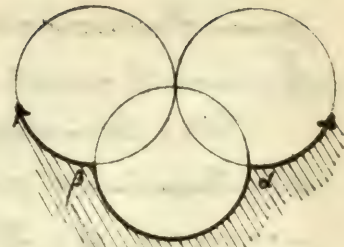
Man erhält so, jenachdem beide t , oder nur ein t , oder kein $t = 1$ ist, etwa folgende drei Figuren :



$$\varepsilon = 1; \varepsilon' = 1.$$



$$\varepsilon = 1; \varepsilon' = 0.$$



$$\varepsilon = 0; \varepsilon' = 0.$$

Dabei hat man sich jedoch die Seite $\alpha\beta$, was in den Figuren nicht angedeutet ist, noch einmal um den ganzen Kreis herumlaufend zu denken.

Setzen wir speziell $\eta = \frac{y_2}{y_1}$, unter y , die ausgezeichnete Lösung verstanden, so fällt der Schnittpunkt der drei Kreislinien ins Unendliche und man hat also den Satz:
Die drei aufeinanderfolgenden Seiten unseres Polygons werden sich als gerade Linien darstellen, und die Ecken $\alpha\beta$ werden im Endlichen liegen oder im Unendlichen, je nachdem das zugehörige ε bzw. $\varepsilon' = 0$ oder = 1 ist.

Sie sehen, was ich behauptete, ist genau in dem enthalten, was oben bewiesen ist, aber in der Form allgemeiner, da nur zwei Ecken in Rücksicht gezogen werden.

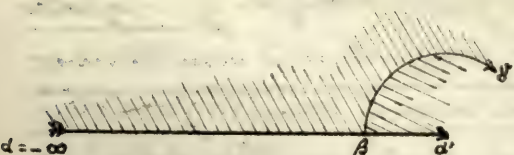
Der Beweis ist am einfachsten, wenn $\epsilon \cdot \epsilon' = 1$ ist.

Nämlich $\frac{y_2}{y_1}$ fängt bei a mit dem Wert a an - da $y_1 = 0$ ist -, geht noch m mal durchs Unendliche, und hört in \mathcal{C} wieder mit dem Wert ∞ auf. Die Ecken α und β liegen also in der That in demselben Punkt der η -Ebene, nämlich, wenn man $\eta = \frac{y_2}{y_1}$ wählt, im Punkt ∞ . Also

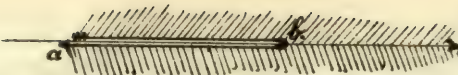
Der erste Fall erledigt sich ohne weiteres, wenn man beachtet, dass $\frac{y_2}{y_1}$ von ∞ bis ∞ läuft, wenn x von a bis \mathcal{C} geht.

Im zweiten Falle $\epsilon = 1, \epsilon' = 0$ wird $\eta = \frac{y_2}{y_1}$ bei geeigneter Wahl der Lösung y_2 auf der reellen Axe von $-\infty$ nach einem endlichen Punkt β laufen - dazwischen natürlich noch m mal durch ∞ - wenn man x

von a nach \mathcal{C} laufen lässt. Das folgende an \mathcal{C} anstoßende Segmentstück wird sich dann als ein



rechteckig an die gerade Linie $-\infty \beta$ angesetztes Kreisbogenstück darstellen. Nun denke man sich einerseits das η -Polygon an βy an.



dererseits die positive x -Hallebene an C gespiegelt. Man sieht dann, dass das untere

Ufer des Segmentes ab dem Spiegelbild der Strecke ∞B , d. h. der Strecke $B\alpha'$ entsprechen muss, wo α' den Mittelpunkt der Kreislinie $\beta\gamma$ bedeutet. Der Punkt γ wandert also von $-\infty$ nach β und von da nach α' , wenn x von a längs des oberen Ufers von b nach c und dann längs des unteren Ufers nach a zurückläuft.

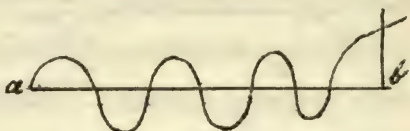
Nun denke man sich über dem

Segment ab die Curve

y_1 gezeichnet. Wegen $\epsilon' = 0$

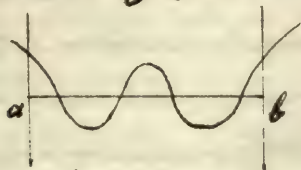
hat dieselbe in $x = b$ über-

haupt keinen singulären Punkt, wird also einfach wieder von b nach a zurück durchlaufen, wenn der Punkt x von b nach a zurückläuft. y_1 muss also mit dem Werte 0, $y = \frac{y_1}{y_1}$ folglich mit dem Werte ∞ endigen, wenn x wieder von b nach a zurück kommt. Das heißt aber, dass der Punkt α' , der Mittelpunkt der Kreislinie $\beta\gamma$, im Unendlichen liegt, dass also die Kreislinie $\beta\gamma$ eine gerade Linie ist, was zu beweisen war.



Im dritten Falle $\epsilon = \epsilon' = 0$ verlässt uns auch

das Symmetriepsinzip, und wir müssen zu dem allgemeineren Prinzip der analytischen Fortsetzung greifen.



Da wegen $\epsilon = \epsilon' = 0$ für y , weder a noch b ein singulärer Punkt ist, so reproduziert sich y_1 , wenn κ einen geschlossenen Umlauf um beide Punkte a und b ausführt. Jegnd eine andere Particularlösung y_2 dagegen wird sowohl bei Umlauf um a wie bei Umlauf um b je eine lineare Substitution erfahren, und zwar wegen des Exponenten $\frac{1}{2}$ von der Form $y_2' = -y_2 + c y_1$. Bei gleichzeitigem Umlauf um a und b kommt man also

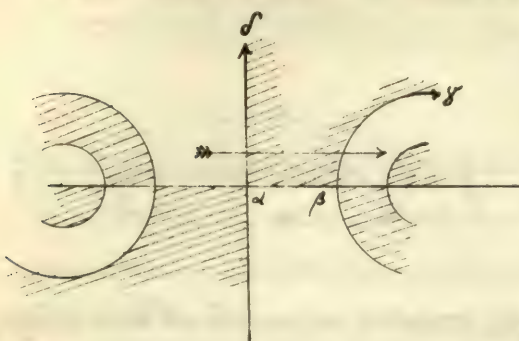
$$\begin{aligned} y_2' &= y_2 + C y_1 \\ y_1' &= y_1 \end{aligned} \quad \left\{ \begin{array}{l} \end{array} \right.$$

Folglich $\eta' = \eta + C$.

Im dritten Falle bemerken wir zunächst, daß dem Umlauf um a & b die parabolische Substitution $\eta' = \eta + C$ entspricht.

Nun möge $\eta = \frac{y_2}{y_1}$ so gewählt sein, daß die beiden von a auslaufenden Segmente der x -Achse

sich auf zwei rechtwinklig zueinander stehende gerade Linien $\alpha, \beta, \alpha^{\circ}, \beta^{\circ}$



abbilden (was keine Paraxialisation ist). Es wird sich dann im Allgemeinen auf einen Kreisbogen β° abbilden, welcher in β rechtwinklig an α° ansetzt. Nun

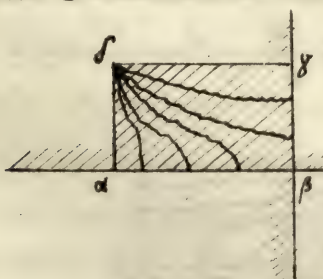
spiegeln wir die positive x -Halbebene an α° , und an β° hintereinander. Von dem einen Spiegelbild zum andern gelangt man dann durch eine Umlaufung beider Punkte a und b . Wenn man also in der η -Ebene in entsprechender Weise erst an der Geraden α° , dann am Kreise β° spiegelt (vergl. den der Figur beigegebenen Pfeil), so wird das erste Spiegelbild durch eine close Parallelverschiebung $\eta' = \eta + C$ in das zweite übergehen müssen. Dies ist aber nicht anders möglich, als indem nicht nur die Kante α° , sondern auch die Kante β° eine gerade Linie ist, was behauptet wurde. —

Hiermit ist unser allgemeiner Satz vollständig bewiesen. Wendet man denselben im Falle von 4 singulären Punkten mit einer

den drei Punkten a, b, c gemeinsamen Trinomiallösung $y_1 = (x-a)^{\frac{e}{2}}(x-b)^{\frac{e'}{2}}(x-c)^{\frac{e''}{2}}P(x)$ zweimal an, so ergibt sich, dass alle 4 Seiten des η -Ecks als gerade Linien gewählt werden können, und dass die den Punkten a, b, c entsprechenden Winkel α, β, γ rechte Winkel sind, die im Endlichen oder Unendlichen liegen, je nachdem $e, e', e'' = 0$ oder $= 1$ ist. Dabei muss die Seite α nach unserer Voraussetzung über die 0-Stellen von $P(x)$ noch m mal, β n mal durchs Unendliche ziehen.

Wir wollen nun zeigen, dass ein so beschaffenes Viereck notwendig als vierten Winkel $\pi(2k + \frac{1}{2} + e + e' + e'')$ hat, unter k die Zahl $m+n$ verstanden.

Di. d. 3. Juli 1894.] Wir wollen dies nur für den Fall $e + e' + e'' = 0$ näher ausführen. Wir müssen da 4 im Endlichen sich rechtwinklig kreuzende gerade



Linien haben, zwischen denen eine Membran so einzuhängen ist, dass ab m mal, b n mal durch ∞ zieht. Ich sehe hierfür

Keine andere geometrische Möglichkeit, als die eines gewöhnlichen Rechtecks, an welches von S nach α β m Halbebenen, von S nach $\beta\gamma$ n Halbebenen polar eingehängt sind. (Desnáher vergleiche man wegen der Notwendigkeit dieser Construction Schönflies Math. Ann. 42) Dann wird aber in der That $S = 2(m+n) + \frac{1}{2}$, also $k = m+n$.

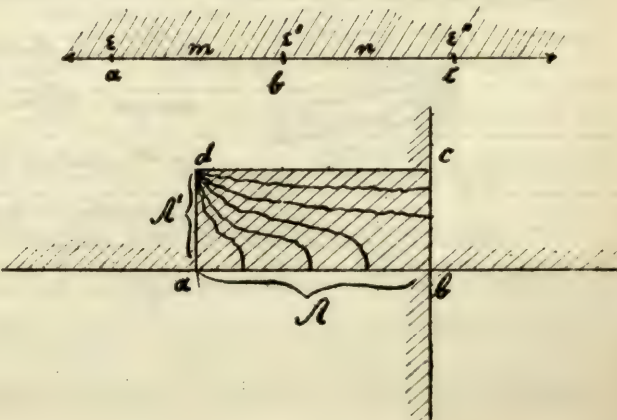
Wir haben so von den Oscillationsbetrachtungen aus vollen Anschluß an die Theorie der Lame'schen Polynome gewonnen.

Wir wollen nun heute weiterhin den allgemeinen analytischen Charakter der Function η untersuchen, welche die x -Ebene auf unser Kreisbogenviereck abbildet.

Wir werden vier verschiedene geometrische Bilder zueinander in Beziehung setzen, nämlich:

1.) Die x -Ebene mit den beiden Halbebenen, in die sie durch die reelle Axe zerlegt wird.

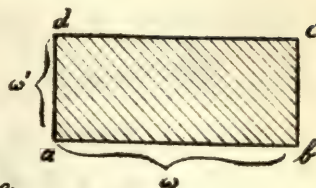
2.) Die y -Ebene, worin der positiven x -Halbebene



das Rechteck mit den polar einge hängten Halbebenen entspricht.

3. Die Ebene der Variablen

$$A = \int_a^x \frac{dx}{2\sqrt{(x-a)(x-b)(x-c)}},$$



welche die positive x -Halbebene auf ein schlichtes Rechteck abbildet.

4. Die zweiblättrige Riemann'sche Fläche der Function

$$S = 2\sqrt{(x-a)(x-b)(x-c)}.$$



Wir wollen zuerst 3) und 4) vergleichen, insbesondere zusehen, was wir unter geschlossenen Wegen einerseits in der x -Ebene, andererseits in der Riemann'schen Fläche x, s zu verstehen haben.

Es ist sofort zu sehen, dass in der x -Ebene schon jede Umkreisung eines einzelnen der Punkte a, b, c ein geschlossener Weg ist, in der Riemann'schen Fläche aber erst eine Umkreisung zweier Verzweigungspunkte geschlossen ist. Wenn wir also von der Monodromiegruppe des η sprechen, so müssen wir wohl unterscheiden, ob wir sie auf geschlossene Umläufe in der x -Ebene oder in der Riemann'schen Fläche beziehen. Die zweite Monodromiegruppe ist natürlich eine ausgezeichnete Untergruppe der

ersten.

Bei geschlossenen Umläufen in der x -Ebene erleiden y_1, y_2 , sowie η Substitutionen von der Gestalt

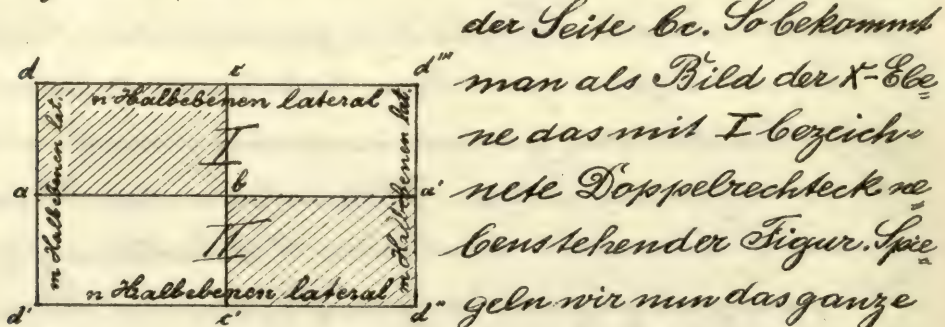
$$y_1' = y_1, \quad d\eta' = d\eta, \quad \eta' = \eta + 2\pi,$$

$$y_2' = \pm y_2 + 2\pi y_1,$$

unter 2π gewisse Periodicitätsconstanten verstanden.

Diese Substitutionen resultiren geometrisch, wenn wir die Abbildung der positionen x -Halbebenen auf das oben beschriebene η -Rechteck vermöge des Princips der Symmetrie analytisch fortsetzen.

Man spiegle erst, indem man von den eingeschlossenen Halbebenen absieht, das Rechteck an



der Seite bc . So bekommt

man als Bild der x -Ebene das mit I bezeichnete Doppelrechteck ne-

gensetender Figur. Spie-

geln wir nun das ganze nochmals an der unteren Kante $a'b'a'$, so ist

dies genau dasselbe, als wenn man an die x -Ebene noch eine zweite x -Ebene längs ab durch einen Verzweigungsschnitt anhängt. (wodurch wir zur zweiblättrigen Fläche über der x -Ebene

übergehen). Aber um auch die in das η -Rechteck eingehängten Halbebene zu berücksichtigen, so ist klar, dass an unserem vierfachen Rechteck die Einhängung etwa einer Halbebene von d nach ab zusammen mit der Einhängung der symmetrischen Halbebene von d' nach ab nichts anderes ist, als die laterale Anhängung einer Vollebene an die Kante dd' . Entsprechend bei den andern Kanten. Also

Um unsere Figur, welche eine conforme Abbildung der zweiblättrigen Riemann'schen Fläche auf die η -Ebene ist, möglichst einfach aufzufassen, denken wir uns das schlichte Rechteck $dd'd''d'''$ in der Weise erweitert, dass wir längs der horizontalen Kanten jedesmal n Vollebenen, längs der verticalen Kanten jedesmal m Vollebenen lateral anhängen.

Den auf der x -Ebene geschlossenen Umläufen entsprechen, wie wir sahen, Substitutionen von der Gestalt $\eta' = \eta + 2\pi i$; z. B. einer Umlauf um a die Substitution $\eta' = -\eta$, d. h. eine Drehung des Rechtecks $da'b'c'a$ um den Punkt a um den Winkel π . Alle andern Substitutionen kann man als close Verschiebungen ev. in Verbindung mit dieser ersten Drehung $\eta' = -\eta$ dar-

stellen

Betrachtet man dagegen nur Umläufe, die auf der Riemann'schen Fläche geschlossen sind, so ergibt sich folgendes:

Vervielfältigt man die gewonnene Figur $d \cdot d' \cdot d''$ doppelperiodisch, so hat man die sämtlichen Wertsysteme vor Augen, welche bei Umläufen auf der zweiblättrigen Riemann'schen Fläche erhält, entsprechend der Formel

$$\eta' = \eta + 2\pi R + 2\pi' R'$$

wo r, r' beliebige ganze Zahlen sind, $2\pi, 2\pi'$ die Unwächse, welche erhält, indem man die geschlossenen Wege um a und um b auf der Riemann'schen Fläche zurücklegt.

In y_1, y_2 lauten die Substitutionen auf der zweiblättrigen Fläche

$$y'_2 = y_2 + (2\pi R + 2\pi' R') y_1, \quad y'_1 = y_1.$$

Diese Formeln, welche sich auf die zweiblättrige Riemann'sche Fläche beziehen, unterscheiden sich von den auf die x -Ebene bezüglichen nur dadurch, dass das doppelte Vorzeichen fehlt und also nur parabolische Substitutionen vorkommen.

Bei allen diesen parabolischen Substitutionen

nen bleibt die Lamé'sche Lösung y , unverändert.

Wir werden überhaupt bei irgend einer binären Substitution der y_1, y_2 zu fragen haben, ob es solche lineare Combinationen von y_1, y_2 gibt, die sich bei der Substitution jede nur multiplicativ verhalten, d. h. ob es solche particuliäre Lösungen der Differentialgleichung, Fundamentallösungen, gibt, die bei dem betreffenden Periodenweg der Riemann'schen Fläche sich nur multiplicativ verhalten. Man hat von hier aus bekanntlich den Satz:

Zu jedem geschlossenen Wege der unabhängigen Variablen gehören zwei Fundamentallösungen der Differentialgleichung, welche bei Durchlaufung des geschlossenen Weges sich bis auf einen Factor reproduzieren.

Im Falle einer parabolischen Substitution fallen die beiden Fundamentallösungen zusammen, im Falle einer rein multiplicativen Substitution ($y_1' = S y_1, y_2' = S y_2$) werden sie unbestimmt.

Hiermit bekommen wir eine besondere Bedeutung unserer Lamé'schen Polynome innerhalb der Monodromiegruppe:

Die doppeltzählende Fundamentallösung

welche in dem eben ausgesprochenen Sinn zu jeder einzelnen parabolischen Substitution zu gehört, ist im Falle unserer Umläufe auf der zweiblättrigen Riemann'schen Fläche alle mein das Lamé'sche Polynom selbst. Das Lamé'sche Polynom lässt sich also charakterisieren als gemeinsame und einzige Fundamentallösung unserer Differentialgleichung für alle geschlossenen Wege, welche auf unserer zweiblättrigen Riemann'schen Fläche möglich sind.

Wie ist überhaupt die Lamé'sche Differentialgleichung auf der x, s Fläche statt auf der x -Ebene zu kennzeichnen?

Aus den Exponenten $\frac{1}{2}, 0; \frac{1}{2}, 0; \frac{1}{2}, 0; k + \frac{1}{2}, -k$ werden, wenn man sie auf der Fläche misst, die Exponenten $1, 0; 1, 0; 1, 0; 2k + 1, -2k$.

Folglich:

Unsere Lamé'sche Differentialgleichung betrachtet als Differentialgleichung auf der zweiblättrigen Riemann'schen Fläche ist eine von den unverzweigten Differentialgleichungen auf dieser Fläche.

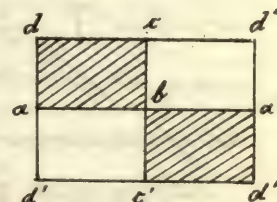
Sie hat nur an der Stelle d einen Nebenpunkt.

Das Geschlecht der Fläche ist in unserem Falle = 1. Für die unverzweigten Differentialgleichungen auf $p=1$ haben wir früher (S. 73) den Satz gelernt, dass η, η_1, η_2 eindeutige Functionen des Integrals erster Gattung, also der Variablen

$$t = \int \frac{dx}{2\sqrt{(x-a)(x-b)(x-c)}}$$

sind. Insbesondere

Wenn t sein Periodenparallelogramm durchläuft (die Schaffirung entspricht der Einteilung der Riemann'schen Fläche in zwei positive und zwei negative Halbebenen, wie oben beim η Parallelgramm), so durchläuft η die oben (§ 316) gezeichnete Figur und von da aus ergibt sich die analytische Fortsetzung in übersichtlichster Form nach dem Gesetz der Symmetrie.



Fragen wir nun nach einer expliziten eindeutigen Darstellung von η durch t , so bedenken wir, dass η als Function von t im Periodenparallelogramm, wenn wir uns auf den Fall $\delta = \delta' = \delta'' = 0$ beschränken,

an m Stellen von ab und den symmetrischen m Stellen von ba' , ferner an n Stellen von bc und an den symmetrischen n Stellen von bc' je einfach unendlich wird, und bei Vermehrung von t und die Perioden ebenfalls additive Perioden erhält.

Eine derartige Function lässt sich aber ce kanstlich immer in der Form darstellen:

$$\eta = c_1 \xi_1(t) + c_2 \xi_2(t) + \dots + C \cdot t + C',$$

wobei ξ_1, ξ_2, \dots Integrale zweiter Gattung mit je einer einfachen ∞ Stelle im Parabologramm sind.

Aber die Coefficienten sind nicht beliebig, sondern:

Von einer beliebigen Vereinigung von Integralen zweiter Gattung $c_1 \xi_1 + c_2 \xi_2 t + \dots + C t + C'$ unterscheidet sich unser η insbesondere dadurch, dass sämtliche Nullpunkte des Differentials

$$d\eta = \frac{x_2^{x_1 t} dx}{(x-a)^{\frac{1}{2}} (x-b)^{\frac{1}{2}} (x-c)^{\frac{1}{2}} P_k(x_1, x_2)^2}$$

in die eine Stelle d zusammenrücken.

Diese Eigenschaft könnte man an die Spitze stellen und so die Lehre von den Lamé'schen Polynomen von der Theorie der elliptischen

Integrale aus zur Ableitung bringen.

Die Hermite'sche Gleichung.

[Do. d. 5. Juli 1894.] Wir wollen heute über die Untersuchungen von Hermite über die Differentialgleichung $\frac{d^2y}{dx^2} = (\lambda p(x) + \beta) y$ berichten, welche zuerst 1872 in den „feuilles lithographiques de l'École Polytechnique“ erschienen, und dann in den „Comptes Rendus Bd. 85-94, 1874-1882 unter dem Titel: „Sur quelques applications des fonctions elliptiques“ mitgeteilt sind.

Ich kann auf die Einzelheiten der Theorie, welche sich auf die elliptischen Functionen beziehen, nicht eingehen, sondern verweise in dieser Richtung auf die Zusammenstellung der Hermite'schen Untersuchungen bei Halphen im 2. Bd. seiner elliptischen Functionen. Dafür aber werde ich eine Reihe geometrischer und funktionentheoretischer Gesichtspunkte hervorheben, wie ich es bereits in Math. Ann. 40 gethan habe.

Wenn die Differentialgleichung

$$\frac{d^2y}{dx^2} = (\lambda x + \beta) y$$

eine Lösung der Form

$$y = (x-\alpha)^{\frac{e}{2}}(x-\beta)^{\frac{e'}{2}}(x-\gamma)^{\frac{e''}{2}} P_k(x)$$

haben soll, so muss α die Gestalt haben

$$\alpha = 2K(2K+1),$$

$$\text{wo } K = k + \frac{e+e'+e''}{2}$$

der Grad der geforderten Lösung y , $2k$ also eine beliebig vorzugebende ganze Zahl ist. P ist dann durch die Forderung, dass P ein Polynom sein soll, auf eine endliche Anzahl disreter Möglichkeiten eingeschränkt.

Herrnute hat nun an diesem Werte.

$$\alpha = 2K(2K+1)$$

festgehalten, dem Baber beliebige veränderliche Werte anzunehmen gestattet. Die Lameischen Polynome bezw. die zugehörigen y , erscheinen dann als gewisse spezielle Fälle allgemeiner Functionen, welche bestimmten ausgezeichneten Werten des stetig veränderlichen Parameters β entsprechen.

Zuerst wollen wir abzählen, wie viele solcher ausgewiesenen Werte von β es bei gegebenem K gibt.

Wir unterscheiden dabei, ob $2K$ eine ungerade oder eine gerade Zahl ist

1. $2K \equiv 1 \pmod{2}$. Dann sind folgende 4 Fälle möglich:

$$\left. \begin{array}{l} \text{I)} \epsilon = 1, \epsilon' = 0, \epsilon'' = 0, \\ \text{II)} \epsilon = 0, \epsilon' = 1, \epsilon'' = 0, \\ \text{III)} \epsilon = 0, \epsilon' = 0, \epsilon'' = 1, \\ \text{IV)} \epsilon = 1, \epsilon' = 1, \epsilon'' = 1. \end{array} \right\} k = k - \frac{1}{2}$$

In jedem der 4 Fälle ist die Zahl der zugehörigen Polynome gleich $k+1$, dem um 1 vermehrten Grade k der Polynome, da sich ja die k 0-Stellen genau auf $k+1$ Weisen auf die zwei Intervalle verteilen lassen.

Also hat man zu I., II., III. je $k + \frac{1}{2}$, zu IV. $k - \frac{1}{2}$ Polynome, zusammen also $4k+1$ Polynome. Also:

Zu einem gegebenen Werte von α , oder was dasselbe ist, von $2k$, gehören bei freier Auswahl der ϵ im vorliegenden Falle $4k+1$ Polynome und dementsprechend $4k+1$ ausgezeichnete Werte des accessorischen Parameters β .

Ist

2) $2k \equiv 0 \pmod{2}$, so hat man die Fälle

$$\begin{array}{ll} \text{I. } \epsilon = 0, \epsilon' = 1, \epsilon'' = 1, & \text{Anzahl } k \\ \text{II. } \epsilon = 1, \epsilon' = 0, \epsilon'' = 1, & \left. \begin{array}{ll} k = k-1 & " \\ & k \end{array} \right. \\ \text{III. } \epsilon = 1, \epsilon' = 1, \epsilon'' = 0, & " \\ \text{IV. } \epsilon = 0, \epsilon' = 0, \epsilon'' = 0, & k = k \end{array} \quad \begin{array}{ll} & \\ & \\ & \\ & \hline & \end{array} \quad \begin{array}{ll} & \\ & \\ & \\ & \hline & \end{array}$$

$$\text{Ges. } 4k+1$$

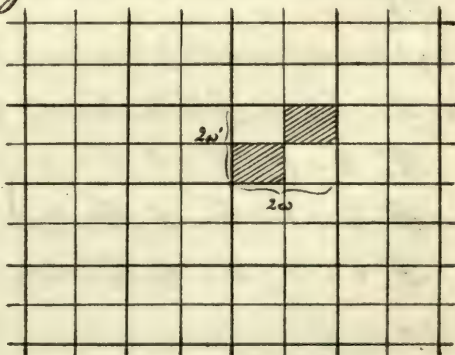
Unsere Abzählung bleibt also im Resultat auch dann bestehen, wenn β keine gerade Zahl ist.

Nun werden wir mit Hermite auf die ausgezeichneten Werte des β nur beiläufig achten, und β ganz beliebige Werte annehmen lassen. St. dagegen werden wir festhalten $= 2K(2K+1)$, wo $2K$ irgend eine ganze Zahl ist. Die Folge davon ist, dass der Punkt $x = \infty$ nach wie vor die Exponenten $-k, k + \frac{1}{2}$ besitzt, während die Exponenten bei $x = a, b, c$ natürlich erst recht ungewöhnlich bleiben. Daraus folgt:

Unsere Differentialgleichung ist bei dem Werte $2K(2K+1)$ von β nach wie vor auf der Riemann'schen Fläche unverzweigt und der weitere Schluss ist, dass die Lösungen der Differentialgleichung in den Hilfsvariablen t eindeutig sind.

Wir werden infolgedessen natürlich als unabhängige Veränderliche einführen.

Wir denken uns in der t Ebene die Parabologrammeinteilung. Gedem Periodenweg auf der



Riemann'schen Fläche x, s entspricht dann in der t -Ebene der Fortschritt von einem Punkte des Ausgangsrechtecks zu dem congruenten Punkte eines andern Rechtecks, d. h. Vermehrung von t um eine Periode. Alle Periodenwege auf der Fläche lassen sich wegen $\rho = 1$ aus zweien zusammensetzen, und entsprechend alle Perioden der t -Ebene aus zwei primitiven Perioden $2w, 2w'$, den Seiten des Periodenrechtecks.

Bei Vermehrung von t um $2w$ und um $2w'$ müssen daher y_1, y_2 je eine lineare binäre Substitution S und T erfahren, aus denen sich durch Wiederholung und Combination die allgemeinste Substitution zusammensetzt, welche y_1, y_2 bei irgend einem Umlauf auf der Riemann'schen Fläche erleiden:

$$\begin{aligned} S) \quad y_1(t+2w) &= \alpha_{11} y_1(t) + \alpha_{12} y_2(t), \\ y_2(t+2w) &= \alpha_{21} y_1(t) + \alpha_{22} y_2(t), \end{aligned}$$

$$\begin{aligned} T) \quad y_1(t+2w') &= \beta_{11} y_1(t) + \beta_{12} y_2(t), \\ y_2(t+2w') &= \beta_{21} y_1(t) + \beta_{22} y_2(t). \end{aligned}$$

Diese S und T werden dann wegen der schon früher dargelegten Gründe mit einander vertauschbar sein, so dass $ST = TS$ ist. Außerdem ge-

haupte ich:

Die Substitutionen S und T haben im vorliegenden Falle die Determinante 1.

Denn aus $y_1'' = (\alpha_x + \beta) y_1$

und $y_2'' = (\alpha_x + \beta) y_2$

folgt. $y_1'' y_2 - y_2'' y_1 = \frac{d}{dx} (y_1 y_2 - y_1' y_2) = 0,$
 $y_1 y_2 - y_1' y_2 = \text{Const.}$

Wenn man nun y_1, y_2 der Substitution S oder T unterwirft, so muss sich $y_1' y_2 - y_2' y_1$ mit der Substitutionsdeterminante multipliciren, was mit der Constantz des Ausdrucks nur so vereinbar ist, dass die Substitutiondeterminante = 1 ist.

Nun werden wir versuchen, S und T je auf eine kanonische Form zu bringen. Da muss man unterscheiden, ob die quadratische Gleichung

$$\begin{vmatrix} \alpha_{11} - g & \alpha_{12} \\ \alpha_{21} & \alpha_{22} - g \end{vmatrix} = g^2 - (\alpha_{11} + \alpha_{22})g + 1 = 0$$

zwei verschiedene Wurzeln oder eine Doppelwurzel hat. Im ersten Falle ist S nichtparabolisch, im zweiten parabolisch. Im ersten Falle ist $g_1 g_2 = 1$, so dass man $g_1 = g, g_2 = \frac{1}{g}$ setzen kann, im zweiten Falle dagegen ist $g^2 = 1, g_1 \cdot g_2 = \pm 1$.

Fm nichtparabolischen Falle gibt es zwei Fundamentallösungen y_1, y_2 die sich der betreffenden

Periode gegenüber jede multiplicatio verhalten:

$$\underline{y_1(t+2w) = \varrho \cdot y_1(t)},$$

$$\underline{y_2(t+2w) = \frac{1}{\varrho} \cdot y_2(t)},$$

im parabolischen Falle dagegen existirt nur eine solche Fundamentalslösung y_1 , zu der man dann noch eine beliebige andere Lösung y_2 hinzunehmen muss, so dass sich die parabolische Substitution in der kanonischen Gestalt so schreibt:

$$\underline{y_1(t+2w) = \pm y_1(t)},$$

$$\underline{y_2(t+2w) = \mu y_1(t) \pm y_2(t)}.$$

Nun möge δ , welches wir zuerst als nicht-parabolisch voraussetzen wollen, in der kanonischen Gestalt geschrieben sein. Die Substitution T soll nun mit δ vertauschbar sein, d.h.

$$\begin{pmatrix} \varrho & 0 \\ 0 & \frac{1}{\varrho} \end{pmatrix} \begin{pmatrix} \beta_{11} & \beta_{12} \\ \beta_{21} & \beta_{22} \end{pmatrix} = \begin{pmatrix} \beta_{11} & \beta_{12} \\ \beta_{21} & \beta_{22} \end{pmatrix} \begin{pmatrix} \varrho & 0 \\ 0 & \frac{1}{\varrho} \end{pmatrix}$$

oder

$$\begin{pmatrix} \varrho \beta_{11}, & \varrho \beta_{12} \\ \frac{1}{\varrho} \beta_{21}, & \frac{1}{\varrho} \beta_{22} \end{pmatrix} = \begin{pmatrix} \beta_{11} \varrho, & \beta_{12} \cdot \frac{1}{\varrho} \\ \beta_{21} \cdot \varrho, & \beta_{22} \cdot \frac{1}{\varrho} \end{pmatrix},$$

folglich

$$\varrho \beta_{12} = \beta_{12} \frac{1}{\varrho},$$

$$\frac{1}{\varrho} \beta_{21} = \beta_{21} \varrho,$$

also, da ϱ von ± 1 verschieden ist

$$\beta_{12} = \beta_{21} = 0.$$

Schreiben wir nun für β_{11} und β_{22} 0 und $\frac{1}{C}$, mit Rücksicht darauf, dass die Substitutionsdeterminante $= \beta_{11} \cdot \beta_{22} - 1$ ist, so lautet T notwendig

$$y_1(t+2w) = C \cdot y_1(t),$$

$$y_2(t+2w) = \frac{1}{C} y_2(t),$$

und wir haben somit den Satz:

Wegen der Vertauschbarkeit von L und T haben die beiden Substitutionen im vorliegenden nicht parabolischen Falle dieselben beiden Fundamentalslösungen y_1, y_2 und lassen sich beide gleichzeitig in der hier hingeschriebenen kanonischen Form schreiben.

Analog im parabolischen Falle: mit L zusammen ist auch T parabolisch von der Form

$$y_1(t+2w) = \pm y_1(t),$$

$$y_2(t+2w) = r y_1(t) \pm y_2(t) \quad (\text{t unabhängig von } y_2),$$

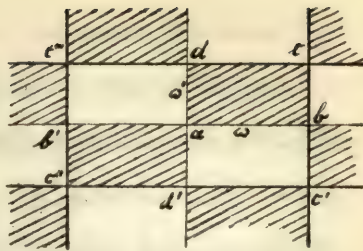
und die beiden parabolischen Substitutionen liefern dieselbe doppeltzählende Fundamentalslösung.

Wir haben nun den funktionentheoretischen Charakter der Fundamentalslösungen im allgemeinen und im parabolischen Falle zu untersuchen.

Es möge die Ecke a des Periodenparallelo-

gramms in den O-Punkt der t-Ebene gelegt sein. Dann ist $x = p(t)$ eine gerade Funktion des Arguments t. Die Gleichung

$$\frac{d^2y}{dt^2} = (\mathcal{A} p(t) + \mathcal{B})y$$



bleibt daher ungeändert, wenn man t durch -t ersetzt. Ersetzt man also in einer Lösung, etwa in y_1 , t durch -t, so muss man wieder eine Funktion von t bekommen, welche eine Lösung der Differentialgleichung ist. Wir wollen sehen, in welcher Beziehung die Lösungen $y_1(-t)$, $y_2(-t)$ zu den Lösungen $y_1(t)$, $y_2(t)$ stehen.

Wir schreiben, um zuerst vom allgemeinen Fall zu reden, S in der Form:

$$y_1(t) = \frac{1}{p} \cdot y_1(t+2w),$$

$$y_2(t) = p \cdot y_2(t+2w).$$

Ersetzen wir nun t durch $-t - 2w$, so ergibt sich

$$y_1(-t-2w) = \frac{1}{p} y_1(-t),$$

$$y_2(-t-2w) = p \cdot y_2(-t),$$

d.h. $y_1(-t)$ als Funktion von t betrachtet multipliziert sich bei Vermehrung von t um $2w$ mit $\frac{1}{p}$, $y_2(-t)$ mit p . Diejenige Lösung der Differentialgleichung, welche sich mit

$\frac{1}{\rho}$ multipliziert, ist aber notwendig abgetrennt von einem Factor, den ich durch geeignete Bestimmung der willkürlichen multiplikativen Constante in y_2 gleich 1 machen kann, identisch mit $y_2(t)$ und die Lösung, die sich mit ρ multipliziert, identisch mit $y_1(t)$. Also ist im vorliegenden allgemeinen Falle:

$$y_1(-t) = y_2(t)$$

$$y_2(-t) = y_1(t).$$

Ebenso ergibt sich im parabolischen Fall, dass $y_1(-t)$ von $y_1(t)$ selbst nur um einen constanten Factor verschieden sein kann:

$$y_1(-t) = \alpha \cdot y_1(t).$$

Vertauscht man hierin t mit $-t$, so ergibt sich nach Umsetzung der Seiten und Division mit α

$$y_1(-t) = \frac{1}{\alpha} \cdot y_1(t),$$

also $\alpha = \frac{1}{\alpha}$, mithin $\alpha = \pm 1$ und

$$y_1(-t) = \pm y_1(t).$$

Wir bilden jetzt das Product

$y_1 \cdot y_2$, Beziehungsweise

im parabolischen Fall, das Quadrat y_1^2 .

Man sieht, dass $y_1 y_2$ bzw. y_1^2 eine gerade Funktion von t ist, welche sich nicht ändert, wenn man t um $2w$ oder um $2w'$ vermehrt.

Eine solche Function ist aber, wenn sie, wie hier keine wesentlich singulären Stellen im Periodenparallelogramm besitzt, notwendig eine rationale Function von $p(t) = x$.

Da für y_1 und y_2 die Stelle $t=0$ d. h. $p(t)=x=\infty$ überhaupt die einzige singuläre Stelle im Periodenparallelogramm ist, so muss die besagte rationale Function von $p(t)=x$ eine ganze Function sein, und wir haben also das Resultat:

Im parabolischen Falle wird y_1^2 ein Polynom in x (und wir kommen also gerade zum Falle der Lamé'schen Polynome zurück); in den anderen Fällen aber, die jetzt neu hinzutreten, ist $y_1 \cdot y_2$ ein Polynom in x .

[Fr. d. 6. Juli 1894.] Um die letzte Bemerkung noch näher auszuführen:

Wenn y_1^2 ein Polynom ist, so müssen, da y_1 nur in a, b, c, ∞ verzweigt sein kann, alle Wurzeln des Polynoms, welche nicht nach a, b, c fallen, Doppelwurzeln sein, und wir kommen also, indem wir die Quadratwurzel ausziehen, zu dem Ausdruck:

$$y_1 = (x-a)^{\frac{1}{2}}(x-b)^{\frac{1}{2}}(x-c)^{\frac{1}{2}} P(x),$$

was gerade die frühere zum Lamé'schen Falle führende Forderung ist. Also:

Wenn S und T parabolisch sind, kommt man notwendig zum Lamé'schen Ausnahmefall.

(Bisher hatten wir nur gewusst, dass der Lamé'sche Ausnahmefall zu parabolischen S, T führt).

Wir setzen allgemein:

$$y_1, y_2 = F_{2K}(x) = x^{2K} + a_1 x^{2K-1} + a_2 x^{2K-2} + \dots + a_{2K-1} x + a_{2K}.$$

Der parabolische Fall ist hierin mit enthalten, insoweit y_2 mit y_1 gegebenenfalls identisch werden kann.

Im speciellen Falde hat F(x) den Wert

$$(x-a)^{\delta} (x-\bar{c})^{\delta'} (x-\bar{c})^{\epsilon} \cdot E_K(x)^2,$$

so dass alle Wurzeln von F(x), welche nicht nach a, b, c fallen, Doppelwurzeln sind, und dass nach jedem der Punkte a, b, c entweder keine oder nur eine Wurzel fällt.

Im allgemeinen Falde dagegen verschwindet F(x) in keinem der Punkte a, b, c, und hat in den andern Punkten keine Doppelwurzeln.

Die letzten Behauptungen sieht man so ein: Verschwindet y_1 in a, so müsste es eine Entwicklung haben:

$$y_1 = (x-a)^{\frac{1}{2}} \varphi_1(x-a).$$

y_2 muss dann folgende Gestalt haben:

$$y_2 = (x-a)^{\frac{1}{2}} \varphi_1(x-a) + \varphi_2(x-a),$$

wobei das Anfangsglied von φ_2 nicht verschwin-

den kann, da sonst y_2 mit y_1 zusammenfiel.

Multiplicirt man aber nun y_1, y_2 aus, so kann $(x-a)^{\frac{1}{2}}$ nicht herausfallen, sondern es bleibt mit der gewiss nicht verschwindenden Potenzreihe φ_1, φ_2 multipliziert. y_1, y_2 könnte daher kein Polynom sein.

Sollte endlich y_1, y_2 im Intervall eine Doppelwurzel haben, so müfste entweder y_1 oder y_2 eine Doppelwurzel haben, oder y_1 und y_2 müfsten eine gemeinsame Wurzel haben. Das erste ist unmöglich, weil sonst ein singulärer Punkt vorläge, das zweite, weil dann y_2 mit y_1 zusammenfiel.

Wir gehen nunmehr mit unseren analytischen Entwicklungen weiter.

Die tieferen Bedeutung der Hermite'schen Theorie, welche wir gestern begonnen haben und heute noch ein wenig fortsetzen, liegt darin, dass sie zum ersten Male die Lösung linearer Differentialgleichungen mit den elliptischen Funktionen in Verbindung brachte.

Das wesentliche dabei ist, dass die Lösungen eindimensionale Functionen der Hilfsvariablen t werden.

Die Untersuchungen von Hermite haben bald

darauf durch Poincaré ihre Fortsetzung in der Weise gefunden, dass man lineare Differentialgleichungen auf höheren Riemann'schen Flächen studirt und nun die algebraischen Funktionen der Fläche als eindeutige automorphe Functionen einer Hilfsvariablen darstellt.

Aber so weit sind wir noch nicht, wir wollen noch den Hermite'schen Fall weiter discutiren, indem wir uns fragen, wie F berechnet werden kann. Wir sagen zunächst:

$F = y_1 y_2$ oder $= y_1^2$ genügt, wie überhaupt die quadratischen Verbindungen $y_1^2, y_1 \cdot y_2, y_2^2$ einer linearen Differentialgleichung 3. Ordnung, und zwar ist es die einzige Lösung derselben, welche ein Polynom oder überhaupt eine doppeltperiodische Function ist.

Letzteres sieht man sofort, wenn man auf die Substitutionsformeln S und T zurückgeht.

Diese Differentialgleichung 3. Ordnung berechnen wir nun. Wir haben der Reihe nach:

$$\begin{aligned} z &= y^2, & z' &= 2yy', & z'' &= 2yy'' + 2y'^2 = 2(Ax+B)y^2 + 2y'^2, \\ z''' &= 2Ax'y^2 + 4(Ax+B)yy' + 4y'y'' = 2Ax'y^2 + 8(Ax+B)yy'. \end{aligned}$$

Im Ausdruck für z'' setzen wir

$$y^2 = z, \quad 2yy' = z'$$

ein und bekommen so die gesuchte Gleichung:

$$z''' = 4(Ax + B) \cdot z' + 2Ax^2z.$$

Um nun zu sehen, durch welches Polynom in x derselben genügt wird, führen wir noch für A die unabhängige Variable x ein, wodurch wir erhalten:

$$2f \frac{d^3z}{dx^3} + 3f' \frac{d^2z}{dx^2} + (f'' - 2Ax - 2B) \frac{dz}{dx} - Az = 0.$$

$$(f = (x-a)(x-b)(x-c)).$$

Es ist dann leicht durch Einsetzen von

$$F(x) = z = x^{2K} + a_1 x^{2K-1} + \dots + a_{2K}$$

ein recurrentes Bildungsgesetz für die a_1, a_2, \dots, a_{2K} zu berechnen.

Wir sehen nun F als bekannt an; wir wollen daraus y_1 und y_2 selbst berechnen. Es ist

$$F = y_1 \cdot y_2,$$

$$F' = y'_1 y_2 + y_1 y'_2.$$

Dazu ist $C = y'_1 y_2 - y_1 y'_2$. (vergl. S328)

Die Konstante C muss jedoch noch berechnet werden. Wir bilden

$$C^2 = F'^2 - 4y_1 y_2 \cdot y'_1 y'_2 = F'^2 - 4F y'_1 y'_2,$$

$$\begin{aligned} F'' &= 2y'_1 y'_2 + y''_1 y_2 + y_1 y''_2 = 2y'_1 y'_2 + 2(Ax + B)y_1 y_2 \\ &= y'_1 y'_2 + 2(Ax + B) \cdot F, \end{aligned}$$

$$2y'_1 y'_2 = F'' - 2(Ax + B) \cdot F.$$

Dies in C^2 eingesetzt ergibt:

$$C^2 = F'^2 - 2FF'' + 4(Ax + B) \cdot F^2$$

Unser Polynom F hat also die merkwürdige Eigenschaft, dass

$$\underline{F'^2 - 2F \cdot F'' + 4(Ax + B) \cdot F^2}$$

eine Constante C^2 ist *

Ist $y_2 = y_1$, so ist $y_1' y_2 - y_1 y_2' = 0$, also $C=0$
Nun berechnen wir y_1 und y_2 selbst.
Ist $C=0$, so ist $y_1^2 = F$ und also

$$y_1 = \sqrt{F}$$

sodass wir aus dem F selbst über das Eintreten des parabolischen Falles entscheiden können.

Ist aber C von 0 verschieden, so folgt aus

$$F' = y_1' y_2 + y_1 y_2'$$

$$C = y_1' y_2 - y_1 y_2'$$

$$F = y_1 y_2,$$

dass $\frac{y_1'}{y_1} = \frac{F+C}{2F}$, $\frac{y_2'}{y_2} = \frac{F-C}{2F}$, ist folglich:

$$y_1 = \sqrt{F} \cdot e^{+\int \frac{C}{2F} dt}, \quad y_2 = \sqrt{F} \cdot e^{-\int \frac{C}{2F} dt}.$$

Auf solche Weise kann man die y_1, y_2 im gegebenen Falle wirklich mit Hülfe von F berechnen.

Natürlich zeigen diese y_1, y_2 bei Vermehrung des t um Triaden ein multiplicatives Verhalten.

Hermite bezeichnete solche Functionen als doppelt periodische Functionen der zweiten Art und untersucht allgemein, wie man solche doppelt periodische Functionen der 2. Art durch ϑ -Functionen darstellen kann.

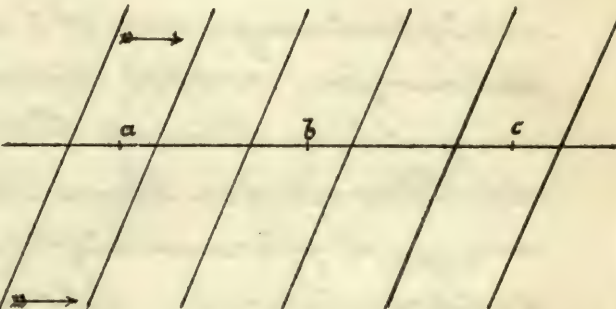
Wir wollen diese analytischen Fragestellungen

*) Wie schreibt sich das vernöge homogene Variable in invariante Form?

gen nicht weiter verfolgen, statt dessen aber versuchen, uns von den Eigenschaften der Hermite'schen Gleichung im Reellen wie im Complexen ein möglichst vollständiges geometrisches Bild zu machen. In der That ordnet sich die Hermite'sche Gleichung vortrefflich in unseren allgemeinen geometrischen Gedankengang ein. Im vorigen Winter haben wir die geometrische Theorie der linearen Differentialgleichungen mit 3 singulären Punkten entworfen, wobei mit den Exponenten der singulären Punkte Alles gegeben war. Mit der Theorie der Lamé'schen Polynome sind wir zu Differentialgleichungen mit 4 singulären Punkten übergegangen. Aber da bei lag noch eine Specialisirung vor, durch welche die Fragestellung den Entwicklungslinien des vorigen Winters noch besonders nahe gerückt erscheint: Differentialgleichungen mit 4 singulären Punkten enthalten neben den Exponenten an sich noch einen accessorischen Parameter (das β der Hermite'schen Gleichung), dieser aber muss, im Falle der Lamé'schen Polynome, noch in ganz spezieller Weise festgelegt werden. Es

ist offenbar ganz consequent, dass wir jetzt zur Betrachtung solcher Gleichungen mit 4 singulären Punkten übergehen, bei denen das B willkürlich bleibt.

Wir beginnen die geometrische Discussion der Hermite'schen Gleichung im Reellen. Wir betrachten zunächst die Lage der Hülfsgeraden $y = Ax + B$. Dieses ist ja von vornherein klar, dass sich die Hülfsgerade bei veränderlichen B parallel mit sich selbst verschiebt. Wir werden vor allen Dingen fragen,



welches die $4k+1$ Lagen dieser Hülfsgeraden sind, die den $4k+1$ Fällen Lamé'scher Polynome entsprechen? Wie insbesondere diese $4k+1$ Lagen nach der Verteilung der Polynomnurzeln und den Werthender $\epsilon, \epsilon', \epsilon''$ aufeinander folgen?

Wir wollen uns an das Beispiel $2k=5$, also $A=30$, $4k+1=11$ halten. Wir fragen:

Wo liegen die Hülfsgeraden der 11 ausgezeich-

nenen Fälle? in welche Intervalle sind sie eingeschlossen? und wie folgen sie aufeinander?

Wir haben da 4 Kategorien zu unterscheiden:

$$\begin{array}{c} \text{I} \\ E=0, E'=0, E''=1 \\ 3 \text{ Fälle} \end{array}$$

$$\begin{array}{c} \text{II} \\ E=0, E'=1, E''=0 \\ 3 \text{ Fälle} \end{array}$$

$$\begin{array}{c} \text{III} \\ E=1, E'=0, E''=0 \\ 3 \text{ Fälle} \end{array}$$

$$\begin{array}{c} \text{IV} \\ E=1, E'=1, E''=1 \\ 2 \text{ Fälle.} \end{array}$$

Es soll sich darum handeln:

1. zu untersuchen, wie die Hülfsgeraden der ausgezeichneten Fälle je derselben Kategorie zu einander liegen,

2. wie die Hülfsgeraden der ausgezeichneten Fälle verschiedener Kategorien zu einander liegen.

Mo. d. 9. Juli 1894.] Zunächst in der Kategorie I sind die drei möglichen Fälle durch folgende Schemata für die Lage der O-Stellen der ausgezeichneten Lösung y gekennzeichnet, wozu die zugehörigen y -Curven natürlich die



rechts gezeichnete Gestalt haben, indem sie durch die Ordinate bei a und c , wo ϵ -Cezv. $\epsilon' = 0$ ist, in beliebiger Weise hindurchgehen, bei t aber, wo $\epsilon' = 1$ ist, die x -Achse senkrecht schneiden.

Wir reduzieren diese Curven, um die elastische Kraft, welche die Oscillationen hervorruft, beurteilen zu können, auf die Zeit als unabhängige Variable, d. h. zwischen a und c führen wir t , zwischen b und c $t' - \omega t + \frac{2\pi}{i}$ als unabhängige Variable ein. Über dieser t -Cezv. t' -Achse gehen die Curven bei den a und c entsprechenden Punkten 0 und ω horizontal durch die Ordinate, bei $t' = \omega + \frac{2\pi}{i}$ dagegen schneiden sie die t' -Achse in beliebiger Richtung. Die

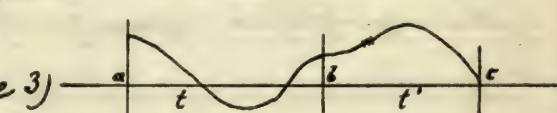
Curven müssen Wende-



punkte besitzen an den Stellen, wo sie die t



Achse schneiden, ferner,



wo sie aus einem In-

terval in das andere

übertreten, ohne die t -Achse zu schneiden, also bei a und c . Wenn die Curve nach einen weiteren Wendepunkt besitzt, (in der Figur mit m bezeichnet), so

muss dieser der Stelle entsprechen, wo die Hülfsgerade die x -Achse schneidet. In der Fig. 1) ist es nun, da die Curve sowohl die Ordinate a wie b horizontal schneiden muss, ohne einmal durch die Achse zu gehen, klar, dass noch ein solcher Wendepunkt im Intervall liegen, dass also die Hülfsgerade die x -Achse im Intervall abschneiden muss. Bei 2) und 3) lässt sich nur noch angeben, dass wenigstens entweder in ab oder in bc ein Wendepunkt liegen muss, welcher den Schnitt der Hülfsgeraden mit der x -Achse anzeigt. Denn die Curve muss sowohl im Intervall ab wie im Intervall bc wenigstens teilweise concav gegen die t -Achse sein, da sie sonst bei ihrer horizontalen Richtung in c die t -Achse nicht immer halb bezw. am Ende des betr. Intervalls erreichen könnte. Bei c muss aber ein Wechsel von Concavität zu Convexität eintreten, es sei denn, dass die Hülfsgerade genau in c die x -Achse schneide, was ein spezieller Fall ist, den wir hier ausschliessen dürfen. Die Curve wird sich also von c aus entweder in ab hinein oder in bc hinein convex erstrecken, und sie muss daher

in diesem Intervall noch einen Wendepunkt besitzen, w. z. b. w. . Wir haben also für die Lage der Hilfsgeraden zunächst folgendes Resultat:

Im Falle 1) muss die Hilfsgerade die x-Achse notwendig zwischen a und b schneiden, in den Fällen 2) und 3) wenigstens noch zwischen a und c.

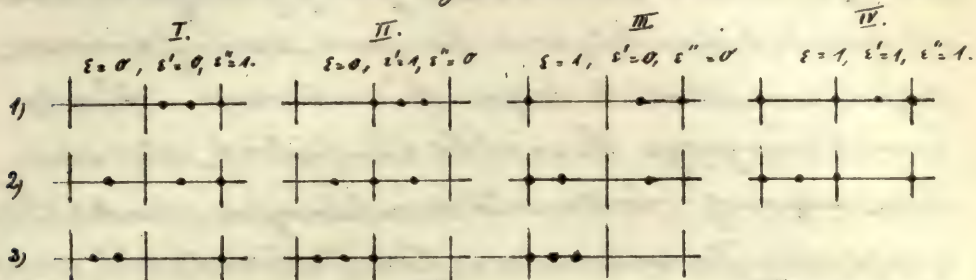
Ich behaupte nun aber noch genauer:

Die Hilfsgerade des Falles 1) liegt um hörnen, dann kommt die Hilfsgerade des Falles 2) und dann die Hilfsgerade des Falles 3).

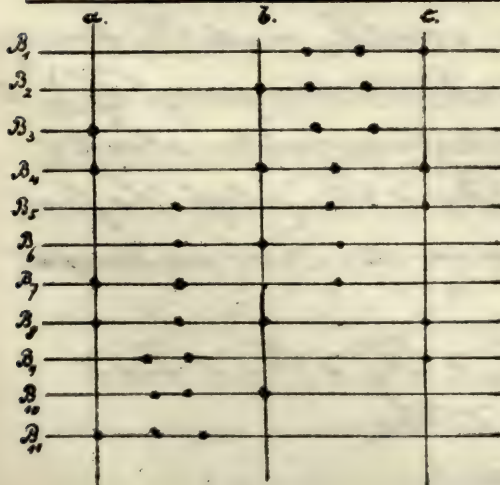
Diese Angabe über die gegenseitige Lage der drei Hilfsgeraden entspricht einfach dem Umstände, dass wir für das Stück bc der l'Achse bei denselben Randbedingungen das eine Mal $2\frac{1}{2}$, das andere Mal $1\frac{1}{2}$ und das drittensonst nur $\frac{1}{3}$ Halboscillationen haben, was nur damit verträglich ist, dass in dem Elastizitätscoefficienten $Ax + B$ die Konstante B das erste Mal den größten, das letzte Mal den kleinsten Wert hat.

Disentirien wir in derselben Weise, wie hier die Fälle der Kategorie I, auch die Kategorien II, III, IV, so finden wir immer halbjähr-

der dieser Kategorien die durch folgende Schemata gegebene Reihenfolge, wobei immer die Fälle einer Kategorie nach abnehmenden Werten von β geordnet sind.



Schwieriger, als die Reihenfolge der Fälle je einer Kategorie, ist die Reihenfolge der Fälle verschiedener Kategorien zu beurteilen. Ich behaupte:
Wenn die gegenseitige Reihenfolge aller 11 ausgezeichneten Hilfsgeraden angeht, so kommt zuerst immer eine Hilfsgerade aus I, dann eine aus II, dann eine aus III, dann eine aus IV u. s. f.



Man bekommt so folgendes Schema für die Anordnung der 11 Fälle nach abnehmenden Werten der zugehörigen Werte von β .

Um die Werte β für irgend zwei aufeinanderfolgenden Wurzelverteilungen

zu vergleichen. Braucht man nur die Oscillationswerte in einem solchen der beiden Intervalle ab, so zu vergleichen, in welchem entweder die Anfangs- oder die Endbedingung für $\frac{y'}{y}$ übereinstimmt; (das letztere kommt darauf hinaus, dass man statt t bzw. $t' - t$ resp. $-t'$ als unabhängige Variable einführt, also die Schwingung rückwärts durchlaufen denkt). Dann zeigt eine Zunahme der Oscillationszahl in ab, oder eine Abnahme der Oscillationszahl in ob immer eine Abnahme des Wertes von B_n .

H. B. um B_1 und B_2 zu vergleichen, achte man auf das Intervall ab, in welchem die Grenzbedingung $(\frac{y'}{y})_c = 0$ gemeinsam ist. Dabei ist die Oscillationszahl für B_1 gleich 0, für B_2 gleich $\frac{1}{2}$, folglich $B_1 > B_2$.

Für die Vergleichung von B_2 und B_3 benutze man ob, in welchem die Endbedingung $(\frac{y'}{y})_c = 0$ übereinstimmt, die Oscillationszahlen aber $2\frac{1}{2}$ und 2 sind, woraus $B_2 > B_3$ folgt. So fortlaufend gewinnt man in der That die Ungleichung

$$\begin{aligned} B_1 &> B_2 > B_3 > B_4 > B_5 > B_6 > B_7 > B_8 > \\ &B_9 > B_{10} > B_{11}, \end{aligned}$$

welche zu beweisen war.

Dabei stellt sich ein scheinbarer Widerspruch heraus, indem beim Übergang von einem B_1 zum nächsten die Oscillationszahl sich immer nur in dem einen der beiden Intervalle ändert. Es fragt sich, wie es mit unserer physikalischen Auffassung vereinbar ist, dass trotz durchgängiger Annahme des Elastizitätscoeffizienten im ganzen Intervall doch die Schwingungszahl die gleiche bleibt? Darauf ist zunächst zu sagen:

Unser Satz von der Annahme der Oscillationszahl bei durchgängiger Annahme des elastischen Kraftcoeffizienten war nur für den Fall bewiesen, dass wenigstens eine der beiden Grenzbedingungen des Intervalls dieselbe bleibt.

Lassen sie uns nun z. B. auf das Intervall $c-c$ in den Fällen B_1 und B_2 achten. Die Oscillationszahl ist jedesmal $2\frac{1}{2}$, die Grenzbedingungen aber sind gegenseitig verändert, nämlich $(\frac{y}{y'})_c = 0$, $(\frac{y'}{y})_c = \infty$. Bei B_1 , $(\frac{y}{y'})_c = \infty$, $(\frac{y'}{y})_c = 0$ bei B_2 . Der Satz findet also keine Anwendung.

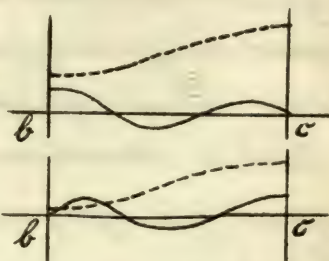
Aber wir werden wünschen, die Sache noch vollständiger zu verstehen. Zu dem Zwecke zeichnen wir die entsprechenden y -Curven, wie sie

über A' sich darstellen; zugleich möge in jede der Figuren die Curve eingezeichnet werden, welche der Hilfsgeraden über der x -Axe entspricht (gedrückt), sie möge als „Hilfscurve“ benannt werden; die Curve, welche der Lösung y der Differentialgleichung entspricht,

welche den Ort des schwingenden Punktes wieder gibt, heiße die „Ortscurve“. Die Hilfscurven der beiden Fälle sind natürlich congruent, nur die Ordinaten der zweiten um eine constante Strecke gegen die Ordinaten der ersten verkleinert.

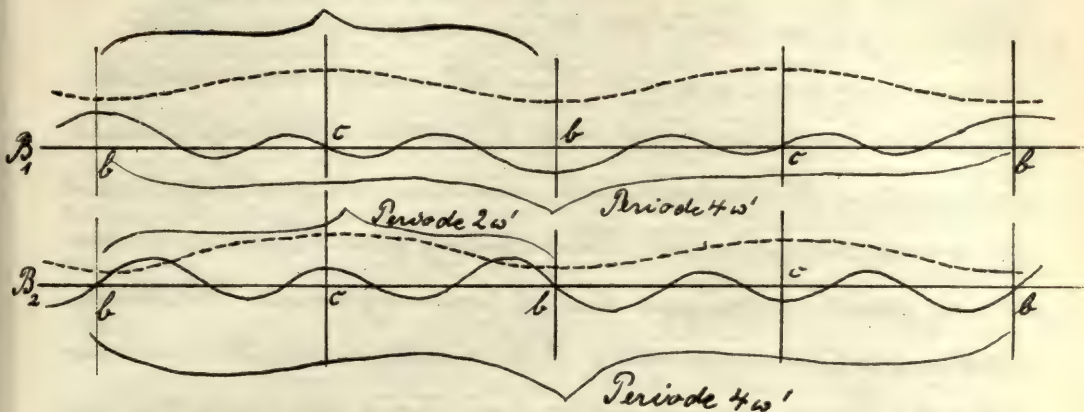
Nun denken wir uns beide Figuren nach links und rechts über der A' -Axe analytisch fort gesetzt (also nicht wie die Figuren auf S. 342

, wo links und rechts von b verschiedene unabhängige Variablen gelten, sondern wie in Fig. auf S. 219). Die Hilfscurve wie die Ortscurve erweitern sich dann zu periodischen Curven, und zwar, wie man sieht, die erstere zu einer solchen mit der Periode $2w'$, die letztere zu einer solchen mit der Periode $4w'$ (unter $2iw'$ die verticale Seite des Periodenpa-



parallelgramms der 1-Ebene verstanden)

Periode $2\omega'$



Wir haben beidemal zwei periodische Ortskurven von derselben Zahl von O-Stellen bei zwei periodischen Kräften, von denen die eine um ein constantes Stück größer ist als die andere.

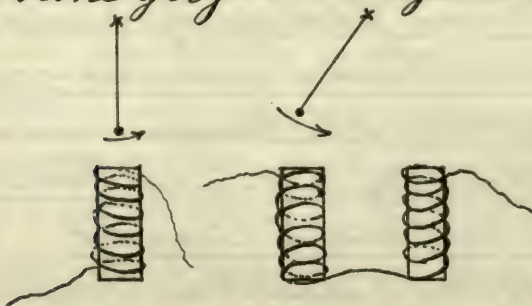
Der Unterschied der beiden Fälle liegt in der Phase. Das eine Mal ist bei C ein Schwingungsbau und bei c ein Schwingungsknoten, das andere Mal ist es umgekehrt:

Das eine Mal füllt das Minimum des Elastizitätscoeffizienten mit einem Schwingungsbau, das Maximum mit einem Knoten zusammen, das andere Mal umgekehrt das Minimum des Elastizitätscoeffizienten mit einem Knoten, das Maximum mit einem Bau.

Nun ist aber doch die elastische Kraft aller

nicht nur von dem Elasticitätscoefficienten abhängig, sondern auch von der Elongation des bewegten Punktes. Wenn also in der Nähe eines Knotens, wo der Punkt nicht weit von der Achse entfernt ist, der Elasticitätscoefficient über den Durchschnitt hinaus vergrößert wird, so wird das für die Bewegung des Punktes jedenfalls viel weniger beschleunigende Wirkung haben, als wenn der Elasticitätscoefficient eine gleiche Zeit lang, aber zur Zeit des größten Ausschlags, verstärkt wird, wo er mit einer viel größeren Componente in Wirkung tritt.

Man könnte sich das physikalisch etwa so realisirt denken, dass auf ein unter dem Einfluss der Schwere wirkendes eisernes Pendel noch ein Electromagnet periodisch im Sinn der Schwere einwirkt, aber das einmal, wenn das Pendel seine tiefste Lage hat, das andere Mal, so oft es seine größte Elongation hat:



Also:

Die elastische Kraft wird viel besser ausgenutzt, wenn die Maxima der elastischen Kraft auf die Schwing-

zungsbauche fallen und die Minima auf die Knoten, als umgekehrt.

Wir schließen hieraus, dass im Falle B_2 , die elastische Kraft besser zur Beschleunigung für die Schwingung des Punktes y ausgenutzt wird, als im Falle B_1 . Da aber das Resultat das Gleiche ist, nämlich 10 Halboscillationen auf die Periode 4π , so schließen wir, dass die elastische Kraft im ersten Falle größer ist als im Falle 2), dass die Hülfscurve in 1) also grässere Ordinaten hat als im Falle 2).

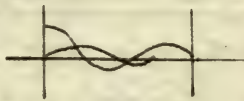
Di. d. 10. Juli 1894.] Wir haben gestern gesehen, dass die ausgezeichnete, nämlich die periodische Lösung y_1 , im Falle B_2 trotz der geringeren Elastizität doch dieselbe Oszillationszahl aufweist, wie im Falle B_1 , weil die elastische Kraft im Falle B_2 besser ausgenutzt wird.

Wie steht es nun aber mit der allgemeinsten, nichtperiodischen Lösung y_2 , der Differentialgleichung? Deren Anfangsbedingungen kann man doch gewiss so einrichten, dass schon im Falle B_1 sofort die günstigste Ausnutzung der elastischen Kraft vorliegt, oder im Falle B_2 , dass sofort die ungünstigste

Ausnutzung vorliegt. Nun braucht die Curve y_2 bei B_1 nur mit einem Schwingungsbauhe, bei B_2 dagegen mit einem Knoten beginnen zu lassen.



Dann müssen die Oscillationen von y_2 im Falle B_1 kürzer, im Falle B_2 länger als die



Oscillationen der ausgezeichneten Lösung y_1 sein. Längs der Strecke w' wird also bei B_1 y_2 eine stärkere Oscillation besitzen als y_1 , umgekehrt bei B_2 . Dasselbe gilt von jeder der folgenden Strecken w' , da immer die Lösung y_1 die ungünstigste bezw. günstigste Ausnutzung der elastischen Kraft hat.

Das scheint nun aber im Widerspruch mit dem Sturm-Liouville'schen Satze zu stehen, dass die Ostellen irgend zweier Particularlösungen, also auch y_1, y_2 immer alternieren müssen, dass also auf grosse Längen hin die durchschnittliche Oscillationslänge von y_1 und y_2 die gleiche sein muss.

Um diesen Scrupel zu erledigen, gehen wir auf die geometrische Bedeutung der Substitution, welche y_2 bei Vermehrung um eine Reihe von Perioden 2 w' erfährt,

für die Gestalt der Curve y_2 und die Lage ihrer O-Stellen zurück. Es ist nämlich

$$y_2(t' + \omega) = \pm y_2(t') + c y_1(t'),$$

$$y_2(t' + n \cdot \omega) = \pm y_2(t') + n \cdot c y_1(t').$$

Wenn man also die Lösung y_2 statt im dem Ausgangsintervall in einem sehr weit nach rechts hingelagerten Intervall $2\omega'$ betrachtet, wo $n \cdot c$ sehr groß gegen ± 1 ist, so wird sich daselbst die Curve y_2 nur noch sehr wenig von der ($n c$) mal vergrößerten Curve y_1 unterscheiden, insbesondere werden die O-Stellen von y_2 immer näher an die O-Stellen von y_1 herangerückt sein.

Die analytische Fortsetzung der Lösung y_2 verwandelt sich immer mehr in ein Multiplum der Lösung y_1 . Dieses Multiplum $n c y_1$ ist die asymptotische Grenze, der sich die analytische Fortsetzung der Lösung y_2 unbegrenzt annähert.

Achten wir insbesondere auf die O-Stellen von y_2 , so sehen wir, dass dieselben mit wachsen der Zeit t' den O-Stellen von y_1 immer näher rücken.

Es löst sich also unser Scrupel jetzt in folgender Weise (wobei ich, der Einfachheit

halber, nur den Fall B^c, im Auge habe):

Es ist vollkommen richtig, dass die Halboscillationen von y_2 zunächst rascher aufeinander folgen, als die von y_1 ; aber das hat zur Folge, dass die Phase von y_2 oder Phase von y_1 immer näher rückt und dass in denselben Stapse auch y_2 sich den ungünstigen Ausnutzungsbedingungen der Kraft nähert, wie sie bei y_1 vorliegen. Die Oscillationen von y_2 werden daher denen von y_1 immer ähnlicher, und die O-Stellen von y_2 sind eine asymptotische Grenze für die O-Stellen von y_1 , denen dieselben immer näher kommen, ohne sie je zu erreichen oder gar zu überschreiten.

Wenn die erste O-Stelle von y_2 nach rechts hin zwischen die in O gelegene und die erste nach rechts gelegene O-Stelle von y_1 fällt, wird die entsprechende O-Stelle von y_2 in den weiteren Intervallen immer näher an die der O entsprechende O-Stelle von y_1 heranrücken. Ebenso wird aber auch beim Fortschreiten nach links immer mehr die links von O gelegene O-Stelle von y_2 an die der O entsprechende O-Stelle von y_1 heranrücken, so dass, wenn man

die Curve y_2 von $-\infty$ bis $+\infty$ mit der Curve y_1 , auf ihre Oscillationen hin vergleicht, die erstere von der zweiten sich nur durch Einschiebung einer einzigen Halbosillation unterscheidet.

Dies steht im Einklang damit, dass, wenn in der Grenze für $n = +\infty$ die Schwingungen des y_2 im selben Sinne erfolgen wie die von y_1 (bei positivem c), dass dann für $n = -\infty$ die Schwingungen in entgegengesetztem Sinne stattfinden, da dann

$$y_2(t'-2w) = \pm y_2(t') - nc y_1(t')$$

ist. Umgekehrt, wenn c negativ ist.

Schließlich dürfen wir also sagen, dass auf die ganze Strecke von $-\infty$ bis $+\infty$ bei dem y_2 nur eine einzige Halbosillation mehr vor kommt, als bei dem y_1 , und dass also dies der einzige durch die günstige Annahme der Anfangsphase herbeigeführte Gewinn ist. —

Ganz ähnlich ist es im Falle von B_2 , nur dass die Lösung y_2 dort schließlich eine Halbosillation weniger ausführt, als die Lösung y_1 .

Wir haben uns mit der so gewonnenen Erkenntnis des asymptotischen Charakters der ausgezeichneten Lösung im Verhältnis

zur allgemeinen Lösung eigentlich nur den geometrischen Sinn der parabolischen Substitution klar gemacht.

Überhaupt findet etwas analoges immer statt bei einer Differentialgleichung mit periodischen Coefficienten, sobald die dem Periodenzuwachsent sprechende lineare Substitution der Particular Lösungen parabolischen Character hat, und es ist dabei nicht etwa nötig, wie das zunächst im Beispiel der Fall war, dass die periodische Lösung zu überhaupt 0-Stellen hat, auch wenn sie keine 0-Stellen hat, stellt sie nach rechts und nach links hin mit einer wachsenden Zahl $n \in \mathbb{N}$ multipliziert (nach einer Seite natürlich mit entgegengesetztem Vorzeichen genommen) eine Asymptote für die andern Lösungen dar, welche dann zwischen $-\infty$ und $+\infty$ je eine 0-Stelle besitzen müssen.

Diese Betrachtungen haben eine besonders wichtige Bedeutung nicht nur in der mathematischen Physik, sondern ganz besonders auch in der modernen theoretischen Astronomie. Den ersten Ansatz dazu gab die Methode, mit welcher der americanische Astronom Hill den Umlauf des Mondperigaeums

entwickelt hat.

Lineare Differentialgleichungen 2. Ordnung mit periodischen Coefficienten und gerade die Frage, wie sich die Lösungen dieser Gleichungen im Laufe der Zeit verhalten, sind ein Hauptgegenstand der modernen Astronomie, wo die Abweichung der Bahn des Himmelskörpers von gewissen Normalbahnen eben durch solche Differentialgleichungen untersucht wird.
 (Des Nahen vergleiche man Poincaré, Msc. céleste.)

Wir wollen noch eine allgemeine Bemerkung über das Verhältnis der jetzigen Betrachtungen zu den Sturm'schen Fragestellungen zufügen:

Wir werden bemerken, dass diese Fragestellung, welche sich speziell auf Differentialgleichungen mit periodischen Coefficienten bezieht, als eine Fortsetzung der Sturm'schen Fragestellung erscheint, insofern untersucht wird, wie sich die O-Stellen verschiedener Particularlösungen oder die Particularlösungen selbst bei immer wiederholtem Zutritt einer Periode gegeneinander verschieben, während

Sturm zu sieht, wie sich innerhalb eines festen Stückes der Asce t die O-Stellen der Par-
ticularlösungen verschieben, wenn man einen in der Differentialgleichung vorkom-
menden Parameter abändert.

Wir kehren zu unsren eignen Betrachtungen zurück.

Wir haben im parabolischen Falle der Differen-
tialgleichung

$$\frac{dy}{dx} = (Ax + B) \cdot y.$$

d. h. im Falle der Lamé'schen Polynome, die geometrische Bedeutung der Hauptlösung y , als Asym-
tote der allgemeinen Lösung kennen gelernt.

Jetzt werden wir den allgemeinen Hermite'schen Fall, ins Auge fassen, dem Parameter B also einen ganz beliebigen Wert beilegen.

In diesem allgemeinen Falle gibt es im Inter-
vall $[a, b]$ { an dem ich der Bestimmtheit halber
festhalte } statt einer zwei ausreichende Par-
ticularlösungen der Differentialgleichung,
 y_1, y_2 , welche jede multiplicatives Verhalten
zeigen:

$$y_1'(t' + 2w) = \sigma \cdot y_1(t')$$

$$y_2'(t' + 2w) = \tilde{\sigma} \cdot y_2(t')$$

Wir werden nun zuschauen, ob diese beiden ausge-

zeichnen, multiplikativ periodischen Lösungen zur allgemeinen Lösung eine ähnliche Beziehung haben, wie die periodische Lösung zur allgemeinen Lösung im parabolischen Fall.

Zwecks dieser geometrischen Discussion müssen wir wieder zwei Fälle unterscheiden, nämlich

1. den hypabolischen Fall:

C, y_1, y_2 reell,

2. den elliptischen Fall

C complexe, aber vom absoluten Wert $\sqrt{y_1 y_2}$ conjugirt complex.

Zur Unterscheidung dieser beiden Fälle gibt es ein einfaches analytisches Kriterium.

Wir denken uns nach den Formeln auf §. 337 das reelle Polynom $F = y_1 \cdot y_2$ und hieraus die reelle Constante C^2 berechnet.

Diese muss mit

$$\left(y_1 \frac{dy_2}{dt} - y_2 \frac{dy_1}{dt} \right)^2$$

identisch sein.

Führen wir, da wir im Intervall Co operieren, für $dt = i \cdot dt'$ ein, um reelle Zeitzuwächse zu haben, so wird

$$\left(y_1 \frac{dy_2}{dt'} - y_2 \frac{dy_1}{dt'} \right)^2 = - C^2$$

sein müssen, unter t' eine reelle Variable verstanden.

Wenn nun y_1 und y_2 reell sind, so steht links das Quadrat einer reellen Größe, C^2 muss also einen negativen Wert haben.

Lind aber y_1 und y_2 conjugirt complexe, etwa $y_1 = u + i v$, $y_2 = u - i v$, so ist $y_1 \frac{dy_2}{dt} - y_2 \frac{dy_1}{dt} = 2i(v \frac{du}{dt}, - u \frac{dv}{dt})$, so steht also links das Quadrat einer rein imaginären Größe, C^2 muss also positiv sein. Im parabolischen Fall muss endlich C^2 bekanntlich verschwinden. Also:

Ob wir im Intervall bc der x -Achse hyperbolisches oder ellistisches oder parabolisches Verhalten haben, das hängt von dem Vorzeichen der Constante Cab , die durch $(y_1 \frac{dy_2}{dt} - y_2 \frac{dy_1}{dt})^2$ definiert ist, und zwar haben wir hyperbolisches, ellistisches oder parabolisches Verhalten, je nachdem C negativ, positiv oder 0 ist.

Diese Angabe gilt für das Intervall bc ; sie gilt natürlich ebenso für das Intervall da , wo wir abgesehen vom Vorzeichen dieselbe reelle Variable t' als Zeit deuten. Dagegen in ab und cd deuten wir t selbst als Zeit, und dt selbst ist reell. Infolgedessen kehrt sich daselbst die Regel für die Bestimmung des elliptischen und des

hyperbolischen Verhaltens gerade um.

Wir bemerken also, dass das Vorzeichen von C^* in den aufeinanderfolgenden Intervallen da, ab, ed alternirende Bedeutung hat, so dass, wenn nicht gerade in allen Intervallen parabolisches Verhalten vorliegt, wie in den aufeinanderfolgenden Intervallen alternirend elliptisches und hyperbolisches Verhalten haben.

Do. d. 12. Juli 1894.] Wir haben gestern Sätze über elliptisches und hyperbolisches Verhalten in den einzelnen Intervallen der x -Achse ausgesprochen, ohne überhaupt zu wissen, was das eigentlich für zwei verschiedene Verhaltungsarten sind. Dies wollen wir heute zuerst feststellen.

Bei hyperbolischem Verhalten etwa in ab coexistieren zwei reelle Particularlösungen y_1, y_2 , welche bei Vermehrung des Arguments t um die dem Doppelintervall $a b a$ entsprechende Periode $2w$ sich reell multiplicativ verhalten, also, unter σ eine reelle Constante verstanden, die wir γ_1 voraussetzen können, den Gleichungen genügen:

$$y_1(t+2w) = \sigma \cdot y_1(t),$$

$$y_2(t+2w) = \frac{1}{\sigma} y_2(t).$$

Wir sehen hieraus:

Wir haben zwei reelle Fundamentalslösungen, welche multiplikativ periodisch sind.

Die O-Stellen von y_1 , oder von y_2 sind genau periodisch, und zwar haben y_1 und y_2 innerhalb der Periode je dieselbe Anzahl von O-Stellen, welche wir v nennen.

Es folgt letzteres einfach daraus, dass die O-Stellen von y_1 und y_2 alternieren müssen.

Die Amplituden der Schwingungen werden dagegen bei y_1 nach rechts hin immer grösser, nach links hin immer kleiner, umgekehrt bei y_2 .

Irgend eine Particularlösung

$$y = c_1 y_1 + c_2 y_2$$

verwandelt sich bei Vermehrung von c_1 um eine beliebige Periode ϑ n W in

$$y' = c_1 \cdot g^n y_1 + c_2 g^{-n} y_2,$$

so dass also bei sehr grossem positivem n das erste, bei sehr grossem negativem n das zweite Glied immer mehr überwiegt. Also:

Eine beliebige Particularlösung $c_1 y_1 + c_2 y_2$ fällt bei analytischer Fortsetzung nach rechts hin je weiter, immer mehr mit der analytischen Fortsetzung der Lösung y_1 .

Zusammen, dagegen bei analytischer Fortsetzung
nach links hin schließt sie sich an die analytische
Fortsetzung der Lösung φ_1, φ_2 asymptotisch an

Während wir also im parabolischen Fall für das asymptotische Verhalten nach rechts und links hin nur eine Function in Betracht zu ziehen hatten, haben wir jetzt deren zwei verschiedene.

Und anders beim elliptischen Verhalten.

Wir setzen, da y_1 und y_2 , sowie ρ und $\frac{1}{\rho}$ conjugiert complex sind

$$y_1 = u + iv,$$

$$y_2 = u - iv,$$

$$\rho = e^{i\varphi}.$$

Um reelle Lösungen zu erhalten, müssen wir

$$u = \frac{y_1 + y_2}{2} \quad v = \frac{y_1 - y_2}{2i}$$

bilden. Diese zeigen bei Vermehrung von t um eine Periode folgendes Verhalten:

$$u' = u \cos \varphi - v \sin \varphi,$$

$$v' = u \sin \varphi + v \cos \varphi,$$

und bei Vermehrung um n Perioden wird daraus:

$$u^{(n)} = u \cos n\varphi - v \sin n\varphi,$$

$$v^{(n)} = u \sin n\varphi + v \cos n\varphi.$$

Es wäre nun zu unterscheiden, ob die Größe

Ein rationaler Teil von $2K$ ist oder nicht;
wir werden nur vom ersten Fall sprechen, also
 $\varphi = 2K \frac{M}{N}$

setzen, und den irrationalen Fall als Grenzfall ansehen.

Wir sehen dann, dass

$$u^{1/M} = u, \quad v^{1/M} = v$$

wird; also, da auch für $y - c_1 u + c_2 v = y^{1/M} y$
wird:

Das charakteristische Verhalten des elliptischen Falls liegt darin, wenigstens im Falle eines rationalen Winkels φ , dass nach Durchlaufung einer gewissen Anzahl von Perioden jede reelle Particularlösung in sich selbst unverändert zurückkehrt.

So viel über den Unterschied des hyperbolischen und des elliptischen Verhaltens in einem Intervall.

Heute wollen wir uns nun über das Verhalten der Differentialgleichung

$$\frac{dy^2}{dt^2} = (Ax + B) y$$

nicht nur für einzelne Werte von B und für einzelne Intervalle der x -Axe, sondern für alle Werte von B und x gleichzeitig (natürlich bei festgehaltenem Werte $A = 2K(2k+1)$) eine

Übersicht in folgender Weise bilden:

Wir richten ein Koordinatensystem x, \tilde{B} ein, in welchem wir die ausgezeichneten Werte von \tilde{B} durch $4k+1$ wagrechte, die drei Verzweigungsgrade $x = a, b, c$ durch drei verticale Geraden zu markieren haben. Die (x, \tilde{B}) -Ebene zerfällt so in $4(4k+2)$, also bei unserem Beispiel $2k=5$ in 48 Felder, von denen jedes einzelne dem Falle entspricht, daß \tilde{B} zwischen zwei aufeinanderfolgenden ausgezeichneten Werten und x in einem bestimmten Intervall der x -Axe liegt.

Wir fragen nun, ob sich die Differentialgleichung in irgend einem Intervall bei irgend einem nicht ausgezeichnetem Werte von \tilde{B} elliptisch oder hyperbolisch verhält, und werden so die einzelnen der 48 Felder in solche von elliptischem und in solche von hyperbolischem Verhalten einteilen und dem entsprechend mit e oder h bezeichnen (Figuren auf 369. Seite). Da die ausgezeichneten Werte von \tilde{B} , für welche in jedem Intervall das Verhalten parabolisch wird, immer elliptisches von hyperbolischem Verhalten trennen müssen, da ebenso die Verzwei-

gungswerte $x = a, b, c$ elliptisches von hyperbolischem Verhalten trennen, wie wir soeben lernten, so muss die Einteilung der Ebene in elliptische und hyperbolische Felder in der Weise eines Schachbretts sich darstellen, mit 24 elliptischen und 24 hyperbolischen Feldern.

Außerdem wollen wir uns aber auf jeder Geraden β die O-Punkte von y_1 und die von y_2 gleichzeitig markirt denken, d. h. die O-Punkte von

$$y_1 \cdot y_2 = F(x, \beta).$$

Denken wir die Gerade β beweglich, so werden die auf ihr liegenden O-Punkte von $y_1 \cdot y_2$ eine Curve beschreiben, deren Gleichung geradezu

$$F(x, \beta) = 0$$

ist. Dieselbe ist von der Ordnung $2k$ in x und ebenso in β (wie sich aus dem Bildungsgesetze des Polynoms ergibt).

Wir können über diese Curve Folgendes aussagen:

1. Innerhalb eines elliptischen Feldes ist $y_1 \cdot y_2 = u^2 + v^2$, und dieses besitzt keine reellen O-Punkte, da u und v im Intervall nicht gleichzeitig verschwinden können. In

einem hyperbolischen Feld dagegen steht dem Verschwinden von y_1, y_2 nichts im Wege. Also:

Indem wir nach den reellen O-Stellen von y_1, y_2 fragen, erhalten wir nur Punkte in den hyperbolischen Intervallen. Es ist aber nicht gesagt, dass in jedem hyperbolischen Intervall reelle O-Punkte liegen müssen.

Es kommt das darauf hinaus, dass die Curve $F(x, \beta) = 0$ sich durch kein elliptisches Feld hindurchzieht.

2. Nimmt B einen der ausgezeichneten Werte an, so wird $y_2 = y_1$, und F verschwindet, wo es innerhalb eines Intervalls geschieht, zweifach, wo es aber an einer der Stellen a, b, c geschieht, nur einfach. Das heisst für unsere Curve $F(x, \beta) = 0$:

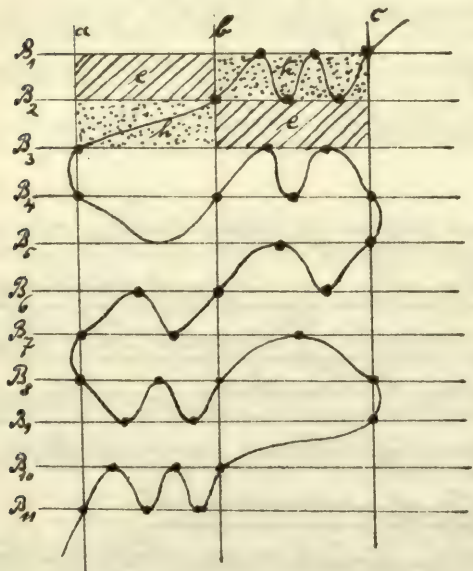
In allen O-Punkten von y_1 für einen der ausgezeichneten Werte β_1, β_2, \dots muss die Curve die betreffende horizontale Gerade $\beta = \beta_1, \beta_2, \dots$ berühren, außer in den O-Punkten, welche mit a, b , oder c zusammenfallen, wo die Curve die Gerade nur einfach schneidet.

3. Ferner folgt aus den früheren Sätzen über F : Unsere Curve hat keine anderen horizontalen Tangenten, als die ausgezeichneten $4k+1$ Linien,

denn F hat sonst keine Doppelwurzeln.

Unsere Curve schneidet die Verticallinien $x=0, b, c$ nirgends als in den bekannten auf den Geraden B_1, B_2, \dots liegenden Punkten; denn das Polynom F kann nur in den ausgewiesenen Fällen in den Punkten a, b, c verschwinden.

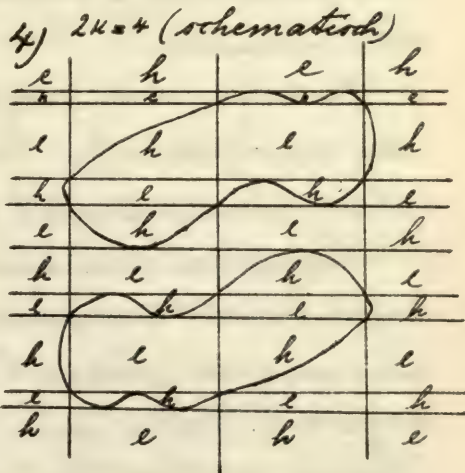
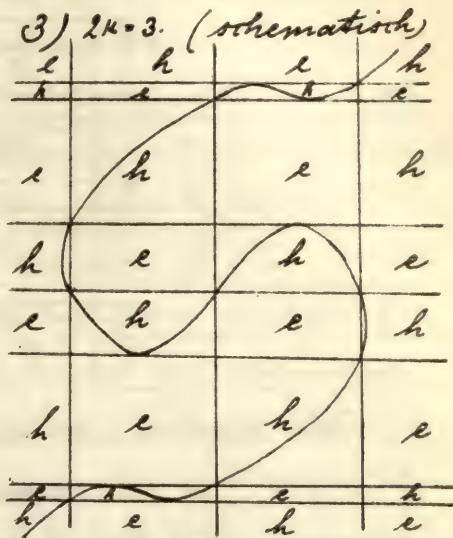
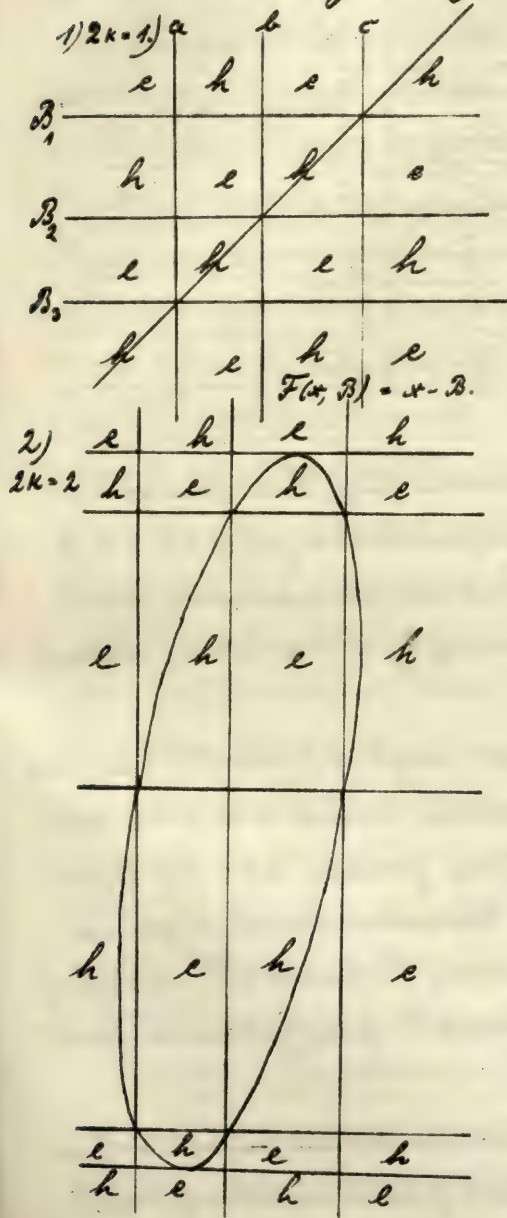
Um nun die Entscheidung über die Verteilung der Bezeichnungen e und h in unsere 48 Fällen zu treffen, brauchen wir nur für ein einziges Feld die Frage zu beantworten, ob es hyperbolisch oder elliptisch ist.

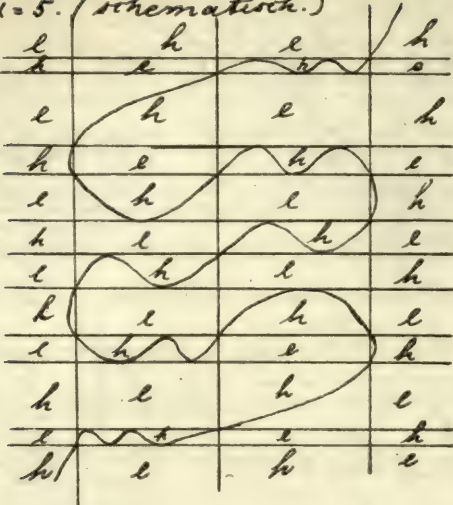


Achten wir z. B. in nebenstehender Figur, wo auf den Geraden B_1, B_2, \dots die Ostellen von Feingittern sind, auf die schraffierten Felder, so sehen wir, dass in dieselben die Curve unmöglich eingetreten kann, da sie sonst nur eine Eintrittsstelle (bei $x=c, B=B_2$) aber keine Austrittsstelle

haben würde. Da die Curve aber doch notwendig durch den Punkt $x=c, B=B_2$ hin-

durchgehen muss, so kann sie nur in die beiden punktierten Felder eintreten, diese sind also mit h zu bezeichnen.



5). $2K = 5$. (schematisch.)

Wir haben nebenstehend die Curven für $2K = 1, 2, 3, 4, 5$ wirklich gezeichnet, für $2K = 1, 2$ genau, für $2K = 3, 4, 5$ nur schematisch, da die genauen Dimensionen zu unübersichtlich sein würden.

Interessant ist dabei, dass die Zahl der rechten horizontalen Tangenten, wenn wir jede mit ihrer Multiplicität zählen, gerade $2K(2K-1)$ ist.

Schneiden wir unsere Curven durchgängig eine nicht ausgezeichnete Gerade P_0 , so erhalten wir in jedem Intervall eine gewisse Zahl r von Nullstellen von F .

Einer vollen Periode $2\pi w$ entspricht das hin und zurück, also doppelt zu durchlaufende

Intervall ab. y_1, y_2 besitzt also in der Periode 2π gerade $2v$ O-Stellen; da nun y_1 und y_2 gleich viel O-Stellen besitzen, so ist v zugleich die Anzahl der O-Stellen sowohl von y_1 wie von y_2 längs einer Periode 2π .

Unsere Figuren geben uns also nicht bloss die Unterscheidung hyperbolischer und elliptischer Intervalle, sondern auch für jedes hyperbolische Stück einer horizontalen Geraden β die Zahl v der Verschwindungsstellen von y_1 oder y_2 im Doppelintervall. Diese Zahl ist nämlich gleich der Anzahl der reellen Schnittpunkte, welche die Gerade β im Intervall mit der Curve F_0 gemein hat.

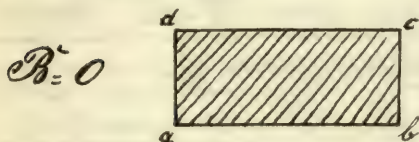
So weit haben wir durch Close Discussion im Reellen das Studium der Hermite'schen Differentialgleichung gefördert. Um nun auch die Verhältnisse im Complexen zu untersuchen, werden wir uns wieder der Methode der conformen Abbildung bedienen, und dieselbe wird uns eine große Reihe neuer Ergebnisse liefern.

Unsere Methode soll die sein, dass wir zunächst noch einmal die conforme Abbildung in den ausgezeichneten parabolischen

Fällen studiren, um dann die so erhaltenen Figuren als Ausgangspunkte zu benutzen, von wo aus sich die Figuren für ein allgemeines B durch stetige Abänderung müssen erreichen lassen.

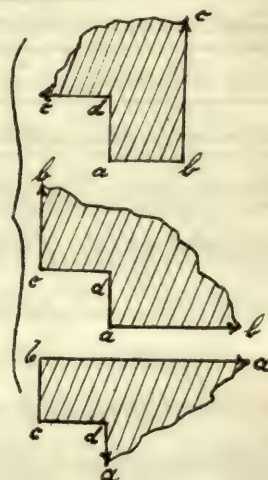
Sie will nur die Figuren für die Fälle $2K = 0, 1, 2$ angeben, indem ich die richtige Reihenfolge der B_i festhalte:

$$\underline{2K = 0}$$

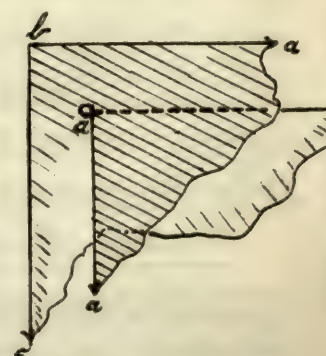
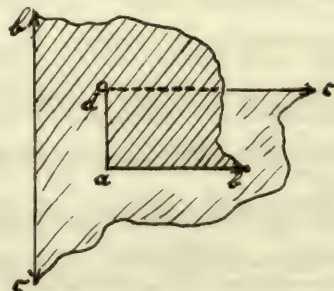
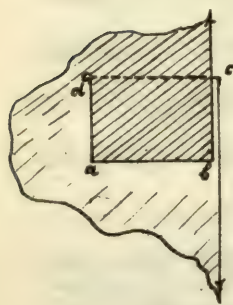


$$B = 0$$

$$\underline{2K = 1}$$

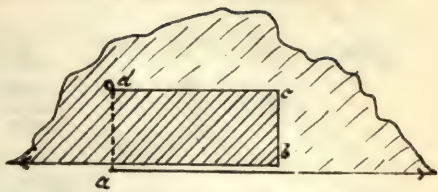
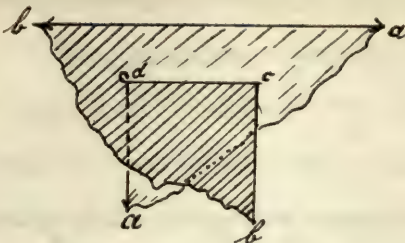


$$\underline{2K = 2}$$



(Nicht wesentlich verschieden
von dem Rechteck in der
 t -Ebene, da ja y hier = $c + t \cdot c'$)

2 K = 2. (Fortsetzung).



Nunmehr fragen wir nach den Figuren für allgemeine, nicht ausgezeichnete Werte von β .

Seien y_1, y_2 die beiden Fundamentalslösungen und

$$\eta = \frac{y_1}{y_2},$$

so werden wir fragen, wie sich die einzelnen Intervalle der reellen x -Axe in der Ebene der Variablen η darstellen.

In einem hyperbolischen Intervall sind y_1, y_2 beides reelle Funktionen, nur eo. multipliziert mit irgend einer complexen Constanten. Infolgedessen hat man den Satz

Ein hyperbolisches Intervall bildet sich auf ein Stück der reellen η -Axe, oder wenn man den multiplikativen Constanten in y_1, y_2 allgemeine Werte lässt, auf ein Stück einer geraden Linie ab, welche durch den O-Punkt der η -Ebene geht.

In einem elliptischen Intervall dagegen ist abgesehen von multiplikativen Constanten $y_1 = u + i v$, $y_2 = u - i v$; also hat

$$\eta = \frac{y_1}{y_2} = \frac{u + iv}{u - iv}$$

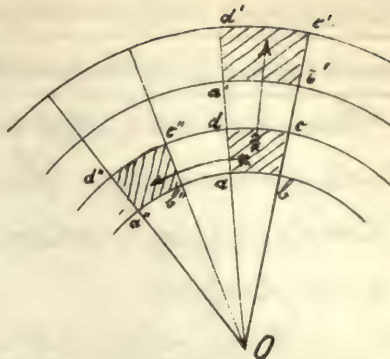
den absoluten Wert 1, und das allgemeine η von constanten absoluten Wert. Folglich:

Ein elliptisches Intervall der x-Achse bildet sich als ein Stück des Einheitskreises der η -Ebene ab, oder, wenn wir den multiplikativen Constanten in y_1, y_2 allgemeine Werte geben, als ein Stück eines beliebigen um $\eta=0$ als Centrum herumgelegten Kreises.

Die Bilder der 4 Intervalle, welche ja abwechselnd elliptisch und hyperbolisch sind, müssen demnach auf zwei concentrischen Kreislinien und zwei vom Centrum auslaufenden Geraden liegen. In ein solches Gerüst ist die Membran des Vierecks so einzuhängen, dass die richtigen Winkel herauskommen.

Es werde zuerst der einfachste, der Fall $2K=0$ erläutert.

Die Halbebene x bildet sich etwa auf das Viereck $a' b' c' d'$ nebenstehender Figur ab. Wenn x von c nach c' und wieder zurück nach c läuft, bewegt sich $\eta = \frac{y_2}{y_1}$ von b über c nach c' , A' wächst um $2\pi i$.



Aus der Substitution

$$y_1' = \sigma \cdot y_1 \quad y_2' = \frac{1}{\sigma} y_2$$

ergibt sich für diesen Weg die Substitution

$$\eta' = \sigma^{-2} \cdot \eta$$

der Variablen η . Also ist $OB' = \sigma^{-2} \cdot OB$, und σ^2 ist nichts anderes als das Greckenverhältnis $\frac{OB}{OB'}$, oder allgemeiner das Verhältnis zwischen dem Radiusvector des ursprünglichen und des transformierten Punktes.

Läßt man andererseits x einem Umlauf um Oa machen, so nimmt A um $2\pi i$ ab, und es wird

$y_1' = e^{-i\varphi} y_1$, $y_2' = e^{+i\varphi} y_2$, $\eta' = e^{2i\varphi} \cdot \eta$

2φ ist dann der Winkel, den der Radiusvector des transformierten Punktes mit demjenigen des ursprünglichen Punktes bildet. Also:

Die hyperbolische Substitution erscheint als eine von O auslaufende Ähnlichkeitstrans.

formation mit dem Parameter σ^{-2} , und die elliptische Substitution also eine Drehung um O mit dem Drehwinkel 2φ .

Wedenken wir, dass die beiden Substitutionen, jede durch zweimalige Spiegelung des Vierecks abcd entstehen, dass also $cc' = 2 \cdot cc$ und $bb' = 2ab$ ist, so folgt:

Speciell erscheint σ als das Streckenverhältnis $\frac{cb}{cc'}$, oder, was dasselbe ist, als das Doppelverhältnis $\frac{cb}{cc'} \cdot \frac{cc'}{cc}$, aber als die Bogenlänge der Kreisbogenseite ab.

Damit haben diese beiden Constanten ihre einfache geometrische Bedeutung bekommen; es ist das namentlich für das φ wichtig, weil dasselbe jetzt absolut definiert erscheint, währendes in die früheren Formeln nur modulo 2π einging.

Ferner aber bemerken wir:

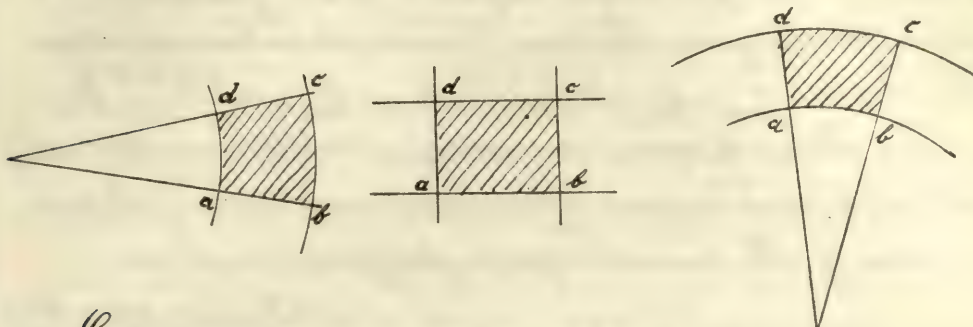
Als neues Resultat, abgeleitet aus der konformen Abbildung, haben wir die Formeln

$$\frac{\sigma_c}{\sigma_d} = \frac{ca}{cd}$$

$$y_{ab} = y_{dc}.$$

Anstatt ab und cd zu Kreisbögen zusammenzubiegen, kann man auch umgekehrt die Figur des parabolischen Falles so deformieren, dass ab und cd gerade Linien, cc und ad

Kreisbögen werden. Zwischen diesen und den heute als Beispiel benutzten Fall stellt sich dann als Übergang das geradlinige Rechteck des parabolischen Falls



Es entspricht dies der schematischen Eintheilung der x. B. Ebene in Felder, welche im vorliegenden Falle

$2K=0$ die neben-

stehende einfache Gestalt auf-

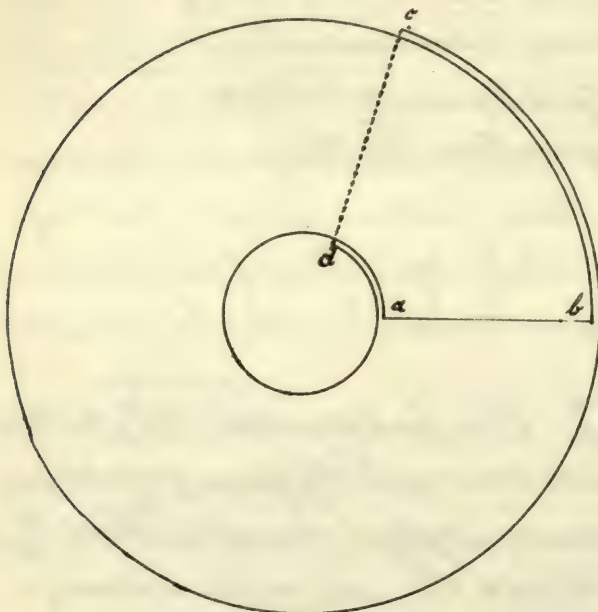
weist:

Mo. 15. Juli 1894.] Wir haben das letzte Mal für den Fall $2K=0$ das η -Polygon gezeichnet, und zwar für den ausgezeichneten Wert $B_3=0$ sowie für zwei Werte B_3 , die nur wenig oberhalb bzw. unterhalb dieses ausgezeichneten Wertes liegen.

Aber das Aussehen der Figur, kann sich sehr ändern - wenn sie auch im Sinn der

analysis situs denselben Charakter behält, sobald B sehr gross positiv oder negativ wird. Das φ der beiden Kreisbogenseiten wird dann immer grösser, und gleichzeitig das c der geradlinigen Seiten (entsprechend den Formeln $\varphi_{ad} = \varphi_{bc} = \frac{2\pi}{x}\sqrt{B}$, $c_{ab} = c_{dc} = e^{2\pi\sqrt{B}}$).

Die Kreisbogen werden sich dann beliebig oft überschlagen können, und wir bekommen z. B. eine Figur folgender Art:



Immer aber bleiben die Relationen, die wir das vorige Mal aus der Figur abgelesen haben:

$c_{ab} = c_{dc}, \varphi_{ad} = \varphi_{bc}$
auch im Falle unserer neuen
Figur richtig.

Jetzt aber brauchen wir nicht mehr

wie früher, wo wir zu dem Zwecke ausschliesslich auf die Coefficienten der Substitution T_{bc} angewiesen waren, nur mod 2π zu

Bestimmen, sondern wir können ihm auch einen absoluten Wert beilegen:

In Übereinstimmung mit der früheren Definition des φ , aber über dieselbe hinausgehend, werden wir unter φ jetzt direkt die Länge der Kreisbogenseite bc verstehen.

Ist $\varphi = \frac{m}{n} \pi$, unter m und n teilerfremde ganze Zahlen verstanden, so werden 2n unserer Vierecke nebeneinandergelegt gerade in Kreisringe vollkommen ausfüllen, was bei einer kleinen Zahl von Vieren nicht statt hat.

Die Folge hiervon ist die schon auf S. 363 analytisch constatirte Eigentümlichkeit der elliptischen Substitution:

Unsere elliptische Substitution hat die Eigenschaft, zum ersten Mal nach n -maliger Durchlaufung des Doppelintervalls die identische Substitution zu geben.

Dabei überschlägt sich die Kreisbogenseite genau n mal, geht also, wenn sie durch eine passende lineare Transformation zur geraden Linie gestreckt wird, n mal durchs Unendliche. Wählt man in $\eta = \frac{y_2}{y_1}$, y_2 und y_1 als reelle Lösungen, so erhält

man eine solche gerade Linie, auf der dann also y in mal ∞ wird, d. h. y , genau in mal verschwindet. Also:

Das genannte Verhalten der elliptischen Substitution kommt darauf hinaus, dass bei normaligem Durchlaufen des Doppelintervalls jede reelle Particularlösung y der linearen Differentialgleichung 2. Ordnung in Halboscillationen ausführt.

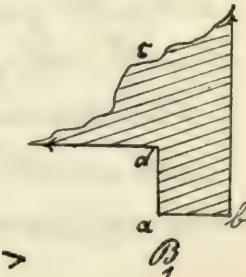
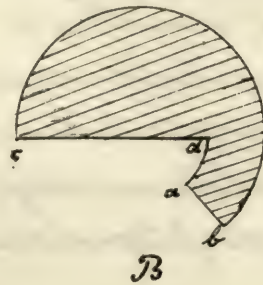
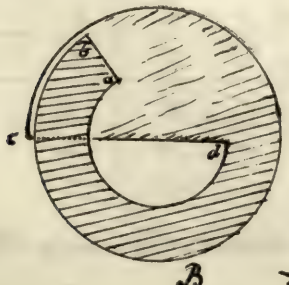
Indem wir die Amplitude q der elliptischen Substitution in der hier geschilderten Weise als eine Kreisbogenlänge festlegen, drücken wir nicht nur die Periodicität der elliptischen Substitution, sondern auch die Art der Oscillationen der Particularlösungen y durch eine ganz bestimmte Größe aus.

Was den Multiplikator C der hyperbolischen Substitution angeht, so beschränken wir uns einstweilen auf die Bemerkung, dass derselbe von 1 beginnend immer mehr wächst, wenn B von B_1 beginnend zunimmt.

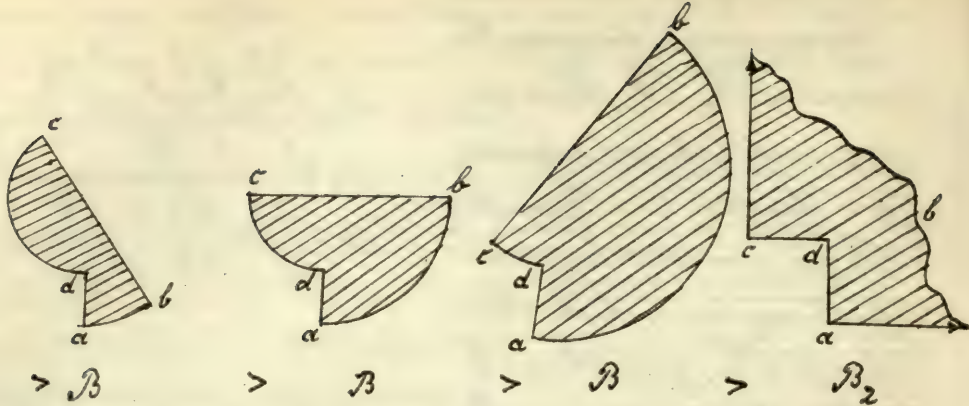
Nun sollen alle diese Erläuterungen auf die höheren Fälle, zuerst $2K-1$, übertragen werden.

Wir sehen aus dem für $2K-1$ gegebenen

Schemma, dass wir außer den ausgezeichneten Geraden $\beta_1, \beta_2, \beta_3$ vier wesentlich verschiedene Lagen der Geraden β' zu unterscheiden haben, nämlich oberhalb β_1 , zwischen β_1 und β_2 , zwischen β_2 und β_3 , und unterhalb β_3 . Wir werden uns die Gerade β' stetig von oben nach unten diese Lagen durchlaufend denken, und werden uns eine Reihe von Figuren zeichnen, welche uns gestatten, die stetige Änderung des η -Polygons zu übersehen. Da bei Branchen wir dies nur bis $\beta = \beta_2$ ausführen, da die Figuren für die Lagen unterhalb β_2 aus denen für $\beta > \beta_2$ einfach dadurch hervorgehen, dass man die Rolle der Seiten ab und bc vertauscht. Wir bekommen folgende schematische Figuren:



	a	b	c	/h
β_1	e	h	e	
β_2	h	e	h	e
β_3	e	/h	e	h
	h	e	h	e



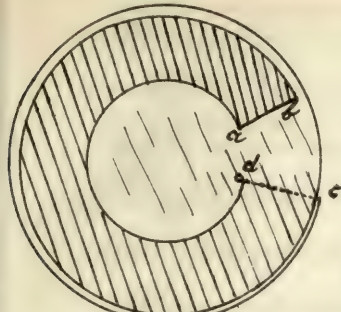
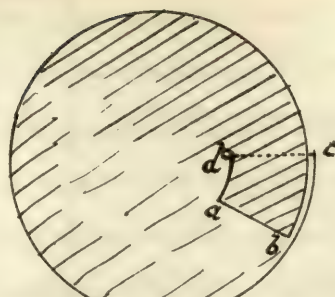
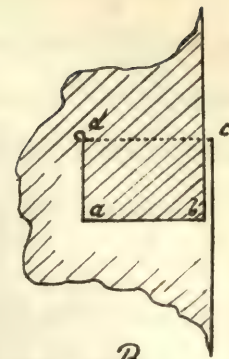
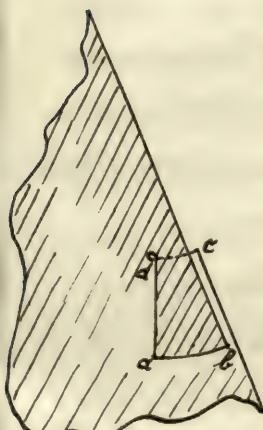
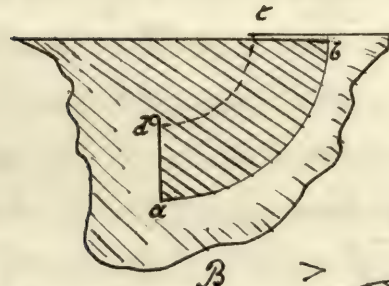
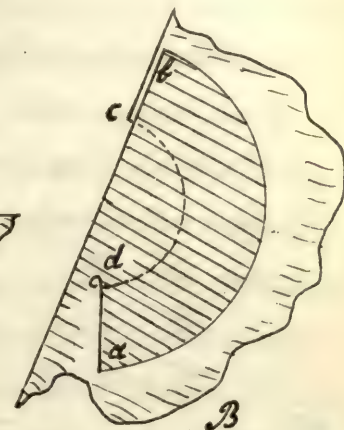
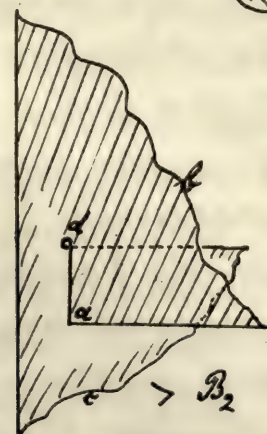
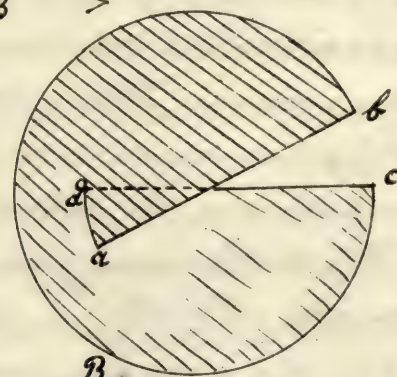
Wir entnehmen aus den Figuren den Satz:
Auch im Falle $2k=1$ sind die Amplituden der beiden elliptischen Intervalle und die Katalypticatoren der beiden hyperbolischen Intervalle je durch eine einfache Gleichung mit einander verbunden, nämlich durch die Formeln:
für $B' > B_1$: $\mathfrak{g}_{bc} = \mathfrak{g}_{ad} + \pi$, $\mathfrak{c}_{ab} = -\mathfrak{c}_{dc}$,
für $B_1 > B > B_2$: $\mathfrak{c}_{bc} = -\mathfrak{c}_{ad}$, $\mathfrak{g}_{ab} = \pi - \mathfrak{g}_{dc}$.

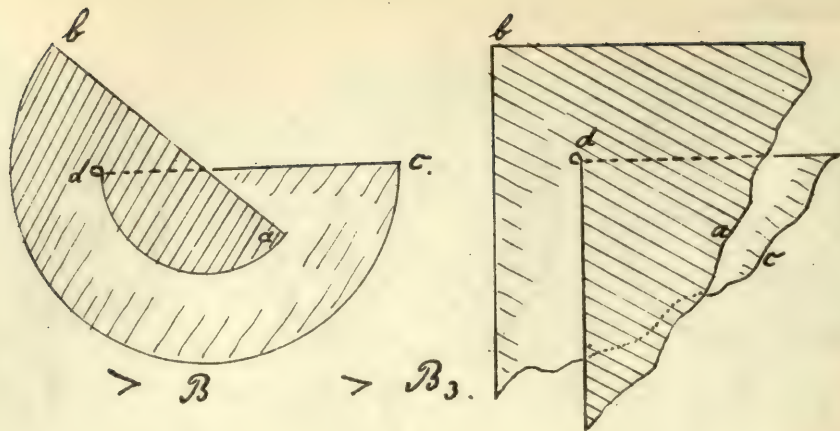
Die entsprechenden Figuren sollen jetzt für $2k=2$, wo es fünf ausgezeichnete Werte von B' gibt, von $B' = +\infty$ bis $B' = B_3$ gezeichnet werden.

Von da an wiederholen sich die Figuren, nur dass die aufeinanderfolgenden Intervalle ihre Rolle

B_1	e	h	e	h
B_2	h	e	h	e
B_3	e	h	e	h
B_4	h	e	h	e
B_5	e	h	e	h

wechseln.

 $\beta >$  $\beta >$  β_1  $> \beta >$  $\beta >$  β  $> \beta_2 >$  β



Aus den Figuren sind folgende Relationen zwischen den Amplituden q und zwischen den Multiplikatoren c der beiden elliptischen bzw. hyperbolischen Intervalle abzulesen

$$\text{für } \beta > \beta_1 : q_{ad} = +q_{dc} - 2\pi, \quad c_{ab} = c_{dc};$$

$$\text{für } \beta_1 > \beta > \beta_2 : c_{ad} = c_{dc}, \quad q_{ab} = q_{dc};$$

$$\text{für } \beta_2 > \beta > \beta_3 : q_{ad} = -q_{dc} + 2\pi, \quad c_{ab} = c_{dc}.$$

D. o. r. Juli 1894.] Für $2k=3$ wollen wir uns die Übersicht über die Verhältnisse bei beliebigem β auf eine etwas andere Weise verschaffen, indem wir die Polygone weglassen und nur die aus ihnen ableitenden Resultate tabellieren.

Wir denken uns zunächst die ausgezeichneten Geraden $\beta_1, \beta_2, \dots, \beta_7$, ferner die drei Geraden $x=a, b, c$ gezogen, und wir wollen, in die so entstandene schachbrettartige Figur in je-

dem Felde eintragen, nicht nur, ob es sich elliptisch oder hyperbolisch verhält, sondern auch, zwischen welchen Grenzen im ersten Falle die Amplitude liegt. Die hyperbolischen Felder wollen wir schraffiren, vorderhand aber noch nichts eintragen.

Die parabolischen Fälle, welchen die horizontalen Geraden B_1, B_2, \dots, B_q entsprechen, wollen wir als Grenzfälle elliptischer Fälle anschen, und demgemäß auch für ein parabolisches Intervall eine Amplitude φ definiren.

Wenn wir eine geradlinige Seite als Teil eines unendlich großen Kreises ansehen, so ist die Winkelöffnung einer ganz im Endlichen liegenden Seite offenbar $\varphi = 0$, das φ einer Seite, die einen Endpunkt im Endlichen, einen im Unendlichen hat, ist $= \pi$ zu setzen, und das φ jeder geraden Linie, die sich einmal durchs Unendliche zieht, ist $= 2\pi$, wenn sie sich n mal durchs Unendliche zieht $= n \cdot 2\pi$.

Infolgedessen haben wir irgend einem Intervall einer Linie B_1, B_2, \dots, B_q als Amplitude zu geben π multiplizirt mit der doppelten Anzahl der im Intervall liegenden O-Punkte von y_1 und der einfachen Anzahl der anden

Enden des Intervalls liegenden O Punkte.

Man erhält so die Zahlen, die in dem unten folgenden Schema an den einzelnen Intervallen der ausgezeichneten Geraden eingetragen sind. (§. 390 & 391).

Gibt man nun B' einen allgemeinen Wert, d. h. zieht man eine horizontale Gerade, welche die Felder durchsetzt, so wird in denjenigen Intervallen, wo sie hyperbolische Felder durchsetzt, von einer Amplitude φ vorläufig nicht zu reden sein, in den elliptischen Feldern dagegen wird φ zwischen denjenigen beiden Werten liegen, welche an der oberen und an der unteren horizontalen Begrenzung des Feldes angeschrieben sind.

Dies folgt aus der Gestalt das η -Polygon, auch wenn wir die Polygone nicht explicit construiren

Es soll dies einfach dadurch ausgedrückt werden, dass wir den Buchstaben φ zwischen die Werte an den beiden Grenzen schreiben.

Aber noch mehr: durch die Polygone wissen wir von vornherein, dass immer eine, beim Übergang von B' über einen ausgezeichneten Wert allerdings wechselnde, sehr einfache

Beziehung zwischen den Amplituden der jenseitigen beiden elliptischen Intervalle besteht, von der Form

$$y_{cd} = \pm y_{ab} + \text{const.}, \quad \text{bzw. } y_{da} = \pm y_{bc} + \text{const.}$$

Das Vorzeichen und die Konstante hierin können wir nun jedesmal leicht durch Vergleichung der Wert y längs der oberen und unteren Begrenzungsgeraden des betreffenden Horizontalstreifens finden. Es ergeben sich so die Amplituden in den äusseren Intervallen als Funktionen der Amplituden in den inneren Intervallen, so wie es in das Schema eingetragen ist.

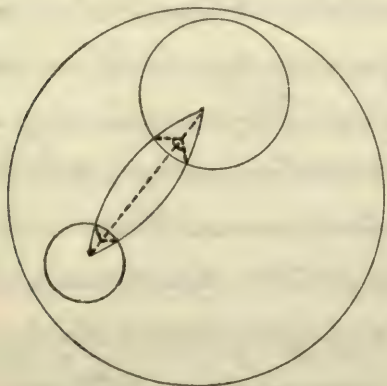
Damit haben wir die gewünschte Übersicht über die Amplituden der elliptischen Intervalle.

Um auch über die hyperbolischen Intervalle etwas entsprechendes aussagen zu können, müssen wir auf die nichteuclidischen Begriffsbestimmungen zurückgehen, welche wir im vorigen Semester bei Besprechung der trigonometrischen Formeln entwickelt haben.

Jetzt haben wir anstatt eines Dreieck ein Viereck; wir haben dasselbe bisher in der γ -Ebene so particular gezeichnet, dass zwei seiner Seiten auf geraden Linien liegen, die

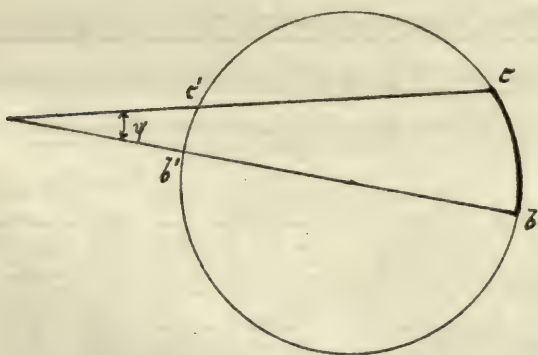
durch den O-Punkt - und natürlich auch durch den Punkt ∞ - gehen, und dass die an den beiden Seiten auf concentrischen Kreisen um den O-Punkt als Centrum liegen.

Wenn wir jetzt von der Ebene in allgemeinster Weise auf eine η -Kugel übergehen, so gehen die Punkte $\eta=0$ und $\eta=\infty$ in zwei beliebige Punkte der Kugel über, die beiden Radii $vectores$ werden Kreise, die durch zwei Ebenen eines Büschels ausgeschnitten werden, das die Verbindungsgerade der beiden Punkte 0 und ∞ zur Axe hat, und die beiden concentrischen Kreise werden durch Ebenen desjenigen Büschels ausgeschnitten, das durch die conjugirte Polare der Verbindungsgeraden von 0 und ∞ geht. Was bedeutedet jetzt das?



Zu dem Zwecke denken wir uns auf die Kugel als Fundamentalfläche eine nichteuclidische Maßbestimmung ge gründet und verfahren dann folgendermassen:

Um die Länge einer Seite ab eines Kreisbogenpolygons a b c d ... n zu messen, schneiden wir die Ebene des Kreises a b mit den Ebenen der folgenden und der vorhergehenden Seite b c und n , und der Winkel, den die Schnittlinien dieser beiden Ebenen mit der Ebene a b in der Ebene a b mit einander bilden, ist uns das Maß für die Länge der Seite a b , wobei die absolute Fixierung der Größe dieses Winkels von der Art und Weise abhängt, wie dieser Kreisbogenseite ab längs der tragenden Kreislinie hinläuft.



Diese Definition lässt sich nun auch auf die Seiten c c und a d übertragen. Es schneiden sich dann nur die Spuren der Nachbarebenen nicht immer halb, sondern

ausserhalb der Kreislinie c c , und es kommt also heraus:

Als Länge des Stückes c c erscheint hier eine

rein imaginäre Grösse.

Dieser rein imaginäre Winkel wird aber um reelle Multiplika von π zu vermehren sein, je nach den Umläufen der Seite b entlang der sie tragenden Kreislinie, entsprechend den Verabredungen, die wir im vorigen Winter (Autogr. S. 400) getroffen haben.

Die Grösse ψ gibt also durch ihren reellen Teil ein Maass für die Umläufe der Kreisbogenseite, und wir werden verlangen, in die hyperbolischen Felder unserer Schemata die zugehörigen Amplituden ψ , die also aus einem Multiplem von π und einem rein imaginären Teile bestehen, einzutragen. Der Multiplikator der hyperbolischen Substitution hängt mit diesem ψ einfach durch die Formel zusammen.

$$\sigma = e^{i\psi}.$$

Was nun die Verteilung ders in die Felder unseres Schemas betrifft, so ist zu sagen:

Für einzelnen hyperbolischen Unter-

		$2K - 3$.			
		$\varphi - 3\pi$	ψ	φ	$\psi + \pi$
B_1	φ	φ	ψ	φ	ψ
	$\varphi - 3\pi$	φ	ψ	φ	$\psi - \varphi$
B_2	φ	φ	ψ	φ	$\psi - \varphi$
	$3\pi - \varphi$	φ	ψ	φ	$\psi - \varphi$
B_3	φ	φ	ψ	φ	$\psi - \varphi$
	$\varphi - \pi$	φ	ψ	φ	$\psi - \pi$
B_4	φ	φ	ψ	φ	$\psi - \pi$
	$\varphi - \pi$	φ	ψ	φ	$\psi - \pi$
B_5	φ	φ	ψ	φ	$\psi - \varphi$
	$\varphi - \pi$	φ	ψ	φ	$\psi - \varphi$
B_6	φ	φ	ψ	φ	$\psi - \varphi$
	$\varphi - \pi$	φ	ψ	φ	$\psi - \varphi$
B_7	φ	φ	ψ	φ	$\psi - \varphi$
	$\varphi - \pi$	φ	ψ	φ	$\psi - \varphi$

voll bleibt der reelle Bestandtheil des ψ gleich dem für die beiden parabolischen Grenzen angeschriebenen Multiplum von π (die in der That allemal dieselben sind), und der imaginäre Bestandtheil ändert sich irgendwie von 0 beginnend bis wieder zu 0 hin.

Den Relationen

$$2k=4.$$

$$\sigma_{ab} = \pm \sigma_{cd},$$

welche zwischen den Multiplicatoren des inneren und des äußern hyperbolischen Intervalls bestehen, entsprechen für die ψ Relationen der Gestalt.

$$\psi_{ab} = \psi_{cd} + \text{const.},$$

worin man die Constante wieder durch Vergleichung der Werte an den Grenzen des Streifens findet. Die ψ der äußern Intervalle drücken sich daraufhin durch die der inneren so aus, wie es in dem Schema ein getragen ist, das ich gleich auch für $2k=4$

β_1	$4-4\pi$	ψ	0	φ	4π	ψ
β_2	$4\pi-4$	φ	π	ψ	4π	9π
β_3	$4\pi-4$	ψ	π	φ	3π	ψ
β_4	$4-2\pi$	φ	2π	ψ	3π	$2\pi-4$
β_5	$9-2\pi$	ψ	2π	φ	2π	$4-2\pi$
β_6	$4-2\pi$	φ	3π	ψ	2π	$9-2\pi$
β_7	$2\pi-4$	ψ	3π	φ	π	$4\pi-2\pi$
β_8	$4\pi-4$	φ	4π	ψ	π	$4\pi-4$
β_9	$4-0$	ψ	4π	φ	0	$4-4\pi$
	ψ	9	ψ	4	ψ	$9-4\pi$

mittheile.

Diese beiden Schemata für $2K=3$ und $2K=4$ lassen sofort erkennen, wie sich die Verhältnisse bei einem beliebigen ungeraden oder geraden Werte von $2K$ gestalten. Wir wollen hier dies bezüglich keine weiteren Sätze formuliren, sondern nur noch auf das verschiedene Verhalten hinweisen, welches die q, ψ bei Aenderung des Parameters B zeigen:

Was die mittleren Felder unserer Figur angeht, so zeigt das q ein progressives Verhalten; es wird in der einen oder anderen Richtung immer größer und größer; dagegen das ψ zeigt ein oscillatorisches Verhalten: in jedem einzelnen hyperbolischen Feld vollzieht der imaginäre Bestandtheil eine Schwingung von 0 bis 0 zurück, während der reelle Teil constant bleibt.

Es hängt dieses verschiedene Verhalten damit zusammen, dass die Forderung eines bestimmten q für ein einzelnes mittleres Intervall auf eine Forderung im Sinne des Oscillationstheorems zurückkommt, durch welche die Hermite'sche Gleichung

eindeutig festgelegt wird, während betreffs des hyperbolischen Winkels φ keine solche Beziehung zum Oscillationstheorem besteht.

Diese Beziehung zum Oscillationstheorem soll jetzt noch näher besprochen werden.

Do. d. 19. Juli 1894.] Wenn die Forderung gestellt wird, dass ein Intervall ab die Amplitude $\varphi = \frac{m}{n} \pi$ haben soll - unter m und n ganze Zahlen verstanden, welche keinen gemeinsamen Teiler besitzen - , so wird das Kreisbogenwinkel der η -Ebene $2n$ mal an ad Bezn. b_c gespiegelt den geschlossenen Kreisring geradem-fach überdecken müssen. D. h., wenn wir auf die Lösungen φ der linearen Differentialgleichung 2. Ordnung zurückgehen:

Wenn wir für ein inneres Intervall a oder b_c die elliptische Amplitude $\varphi = \frac{m}{n} \pi$ angeben, so bedeutet das für die lineare Differentialgleichung 2. Ordnung, dass bei n facher Durchlaufung des Doppelintervalls a b_c resp. b_c eine jede Particularlösung der Differentialgleichung gerade n Halboscillationen ausführen soll. *)

*) Von den äusseren Intervallen ab und cd ist hier überall nicht die Rede (Trotzdem dieselben für das η -Polygon keine andere Rolle spielen, als die inneren Intervalle) In der That werden ja die Particularlösungen φ bei d allgemein zu reden unendlich und

Umgekehrt können wir sagen, wenn wir $n > 1$ voraussetzen:

Wenn irgend eine Particularlösung der Differentialgleichung bei n maliger Durchlaufung des Doppel-Intervalls m Halboscillationen ausführt, so bedeutet das, dass unser Intervall elliptisch ist und die Amplitude $\frac{m}{n} \pi$ besitzt.

Den Beweis führen wir folgendermassen:

1. Unsere Particularlösung, welche bei n -maliger Durchlaufung des Doppelintervalls m Halboscillationen darstellt, kann keine Fundamentalslösung des Intervalls sein, weil sonst m ein Multiplum von n sein müsst.

Denn wir haben auf S. 348 gesehen, dass eine Fundamentalslösung, wenn sie reell ist, notwendig die Periode 2ω oder 4ω hat, also auf die Periode 4ω notwendig eine ganze Zahl von vollständigen Oscillationen, d. h. auf die Periode 2ω eine ganze Zahl von Halboscillationen besitzt.

2. Unsere Lösung y muss also notwendig die Gestalt haben

$$y = a y_1 + b y_2,$$

es kann also von "Oscillationen" des y im elementaren Sinne nicht weiter die Rede sein.

und zwar muss hierin sowohl a wie b von 0 verschieden sein. Sei g der reelle oder komplexe Multiplikator von y_1 , g^{-1} also der von y_2 , bei einmaliger Durchlaufung des Doppelintervalls. Dann wird aus y bei n -maligem Umlauf der Ausdruck

$$y' = a y_1 \cdot g^n + b y_2 \cdot g^{-n}.$$

Dies soll aber ein Multiplem von y sein; folglich muss

$$g^n = g^{-n} \text{ oder } g^{2n} = 1$$

sein.

g ist also eine $2n$ -te Einheitswurzel, und zwar, da n die kleinste Zahl von Umläufen ist, nach welcher die 0-Stellen sich wiederholen, ein primitive $2n$ -te Einheitswurzel. Da g also complex ist, so ist die Substitution elliptisch, und dann zeigt der Vergleich mit den allgemeinen Sätzen über das Verhalten in einem elliptischen Intervalle, dass die Amplitude derselben keine andere, als $\frac{m}{n} \pi$ sein kann. Also:

Wenn wir eine elliptische Amplitude $g \cdot \frac{m}{n} \pi$ vorgeben, so heißt das dasselbe, als wenn wir für das n -fach durchlaufene Doppelintervall m Halboscillationen einer Particularlösung verlangen, also dasselbe, als wenn wir für das

n fach durchlaufene Doppelintervall eine Oscillationsbedingung vorgeben.

Darin liegt offenbar eine Erweiterung unseres Oscillationsproblems gegenüber den früheren Formulirungen. Aber das erweiterte Problem ist ganz in derselben Weise zu behandeln, wie das einfache; wir werden alle Lagen der Hilfsgeraden ins Auge fassen, welche für das n fach durchlaufene Doppelintervall zu denselben Oscillationszahl m führen, und bekommen so den Satz:

Entsprechend der Forderung, q solle $= \frac{m}{n} \cdot \pi$ sein, werden wir für unsere Hilfsgerade eine ganz bestimmte Enveloppe von dem früheren Typus bekommen.

Es gilt dies vermöge einer Grenzbetrachtung auch wenn q nicht ein rationaler sondern ein irrationaler Teil von π sein sollte.

Neben unsere frühere Oscillationsbedingung, dass $\frac{y'}{y}$ an den beiden Enden eines Segments bestimmte Werte haben, und dazwischen eine gewisse Anzahl von Malen von $+\infty$ nach $-\infty$ laufen sollte, stellt sich also jetzt eine neue Art von Oscillationsbedingung, welche darin besteht, dass man für ein inneres Intervall eine be-

stimmte elliptische Amplitude vorschreibt. Denken wir α und β beide als veränderliche Parameter, so werden wir diese jetzt dadurch festlegen können, dass wir für jedes der beiden inneren Intervalle je eine beliebige Amplitude vorschreiben.

Es ist also hier eine Erweiterung des ursprünglichen Oscillationstheorems gegeben, indem wir für die beiden Intervalle ab und bc statt der früheren „physikalischen“ Oscillationssforderungen elliptische Amplituden vorgeben können.

Bei der Hermite'schen Gleichung kommt diese allgemeine Formulierung des Problems natürlich nicht in Betracht, weil da α nicht continuirlich veränderlich, sondern von vornherein in disreter Weise festgelegt ist. Man hat hier also nur eine einzige Enveloppe zu construieren, und an diese dem Werte von α entsprechend eine Tangente von bestimmter Richtung zu legen. Da an eine Enveloppe von der früher charakterisierten Gestalt nur immer eine einzige Tangente von bestimmter Richtung existiert, so ergibt sich der Satz:

Bei gegebenem α ist die Hermite'sche Gleichung vollkommen bestimmt, sobald wir

für eines der beiden inneren Intervalle eine bestimmte elliptische Amplitude φ vor- schreiben.

Diesen Satz nenne ich „das Oscillationstheorem für die Hermite'sche Gleichung“. Damit tritt zu den Angaben unserer Schemata auf S. 390, wo für die einzelnen Werte des Parameters B die Grenzen angegeben sind, zwischen denen φ liegt, noch eine weitere Angabe hinzu, nämlich:

Wir schließen aus dem Oscillationstheorem, dass das φ im Intervall a b und ebenso das φ im Intervall c d eine monotone Funktion von B ist, die das eine Mal mit abnehmendem B , das andere Mal mit zunehmendem B beständig wächst.

Denn wenn φ in einem elliptischen Felde nicht monoton sich änderte, sondern einmal zu-, dann abnahme, so müßte es Werte von φ geben, die mindestens für zwei Werte von B in dem betreffenden Intervalle angenommen würden, was dem Oscillationstheorem widerspricht. Und wenn z. B. für das Intervall a b φ sowohl zwischen B_1 und B_2 , wie zwischen B_3 und B_4 u. s. w. monoton ist, so kann derselbe

Wert von \vec{B} auch nicht in verschiedenen dieser elliptischen Felder vorkommen, da die Werte im Felde zwischen \vec{B}_3 und \vec{B}_4 gerade da beginnen (bei π), wo die Werte im Felde \vec{B}, \vec{B}_2 aufhören. Diese Betrachtung lässt aber zugleich noch folgende merkwürdige Eigenschaft von \vec{B} als Function von q hervortreten; nämlich:

Der weitere Vergleich mit dem Schema lässt bemerken, dass \vec{B} allerdings eine eindeutige Function der Amplitude q ist, die aber da, wo die hyperbolischen Zwischenfelder einsetzen, ganz bestimmte Unstetigkeiten hat.

\vec{B} springt z. B. für $2\pi = 3$ im Intervall ab von \vec{B}_2 zu \vec{B}_3 , von \vec{B}_4 zu \vec{B}_5 und von \vec{B}_6 zu \vec{B}_7 , sobald $q = \pi = 2\pi, = 3\pi$ wird.

Das alles bezieht sich nur auf die inneren Intervalle.

Was die äusseren Intervalle betrifft, so zeigt unser Schema, dass das \vec{B} nicht mehr eindeutig bestimmt sein würde, wenn man für ein solches, da oder od, eine elliptische Amplitude verschreiben wollte.

Denn im Intervall cd z. B. kommt irgend ein zwischen 0 und π gelegener Wert von q sowohl zwischen \vec{B}_1 und \vec{B}_2 , wie zwischen

β_3 und β_4 , zwischen β_5 und β_6 und endlich unterhalb β_7 vor; ähnlich im Intervall da.*)

In den hyperbolischen Intervallen ferner müssen wir von vornherein, dass ψ nicht monoton ist; daraus folgt:

Auch würde β nicht eindeutig festgelegt werden, wenn wir in irgend einem der 4 Intervalle eine hyperbolische Amplitude vorschreiben wollten.

Damit schließen wir unsere Betrachtungen über die Lamé-Hermite'sche Gleichung ab. Was noch fehlt, wäre die genaue quantitative Bestimmung und analytische rechnungsmäßige Bestätigung unserer allgemeinen orientierenden Sätze. Überhaupt würde eine consequente lückenlose Darstellung der Theorie der Hermite'schen Gleichung von den entwickelten Gesichtspunkten aus sehr wissenschaftswert sein, ähnlich wie die Arbeit von Bocher sich zu meinen Vorlesungen über die Lamé'sche Differentialgleichung stellt.

*) Diese Vieldeutigkeit gilt allerdings nur für Werte von φ zwischen 0 und π , für Werte $\varphi > \pi$ tritt wieder Eindeutigkeit ein, wie ein Blick auf unser Schema zeigt. Es ist das sehr merkwürdig.

Wir wollen hier gleich einige allgemeine Angaben anfügen betreffend die Weiterführung und Erweiterung der bisherigen Betrachtungen über das Oscillationstheorem.

Unsere bisherige Theorie wird durch folgende Maßnahmen zu kennzeichnen:

1. Festlegung der Parameter der Differentialgleichung durch zwei physikalische Oscillationsbedingungen. Von da aus ergab sich eine

2. Neue Theorie der Lamé'schen Polynome.

Im Anschluß hieran fand seine Stelle ein
 3. Escurso über den Hermite'schen Fall
 der Lamé'schen Differentialgleichung, was auf das Oscillationstheorem in der Weise zurückwirkte, daß statt der physikalischen Oscillationsbedingungen eine bestimmte Amplitude einer elliptischen Substitution gefordert wurde.

Die Weiterführung der Theorie wird sich nun wesentlich auf folgende Punkte zu beziehen haben:

4. Ausdehnung auf den Fall von n singulären Punkten.

5. Wir erinnern uns der früher ausgesprochenen Idee, die gewöhnliche Lamé'sche Differentialgleichung, welche an 3 Punkten

die Exponentendifferenz $\frac{1}{2}$, am vierten aber eine von $\frac{1}{2}$ verschiedene Exponentendifferenz aufweist, als Grenzfall einer Differentialgleichung mit 5 singulären Punkten aufzufassen, welche jeder die Exponentendifferenz $\frac{1}{2}$ haben. Es würde also eine Theorie der allgemeinen Lamé'schen Gleichung mit den Exponentendifferenzen $\frac{1}{2}$ in der entsprechenden Weise durchzuführen sein.

6. Endlich wäre zu fragen, inwieweit das Oscillationstheorem aufrecht erhalten bleibt, wenn wir die Exponentendifferenzen als veränderlich betrachten, ganz im Sinne der Stieltjes'schen Betrachtungen betreffend die Lamé'schen Polynome.

Fir d. 20. Juli 1894.] Lassen Sie mich heute

A. über die Ausdehnung auf n singuläre Punkte einige Angaben machen.

Es mögen $n-1$ Punkte $a, b, c \dots m$ mit den Exponenten $\frac{1}{2}, 0$ im Endlichen gelegen sein, und ein n -ter Punkt mit den Exponenten $-k, +k + \frac{n-3}{2}$ liege im Unendlichen. Die Differentialgleichung hat dann die Gestalt:

$$0 = y'' + \frac{1}{2}y' \left\{ \frac{1}{x-a} + \dots + \frac{1}{xm} \right\} - \frac{y}{4(x-a)\dots(x-m)} \left\{ A x^{n-3} + B x^{n-4} + \dots + L \right\}$$

wobei $A_x + 2k(2k+n-3)$,
und $B, C, \dots L$ sogenannte „accessorische
Parameter“ sind.

Wir führen zur Vereinfachung das hyperelliptische Integral:

$$A \cdot \int_{2\sqrt{(x-a) \cdots (x-m)}}^x \frac{dx}{(x-a) \cdots (x-m)}$$

als unabhängige Variable ein, und erhalten
so die Gleichung

$$\frac{d^2y}{dt^2} = (A_x^{n-3} B_x^{n-4} + \dots + L) \cdot y.$$

Unser Oscillationssatz wird nun in folgender Weise erweitert werden müssen:

Die $n-2$ Parameter unserer Gleichung sind
dadurch eindeutig festzulegen, dass wir in $n-2$
Segmenten Oscillationsbedingungen vor-
schriften.

Es fragt sich, wie wir diesen Satz beweisen.
Zunächst für $n=5$ können wir dieselbe Betrachtung, welche wir in der Ebene mit den Hilfsgeraden anstellten, auf den dreidimensionalen Raum übertragen, wo wir es mit einer „Hilfsebene“ A, B, C zu tun haben, durch deren Lage an jeder Stelle der x -Achse die Intensität der elasti-

schen Kraft bestimmt ist.

Die Gleichung lautet für $n=5$

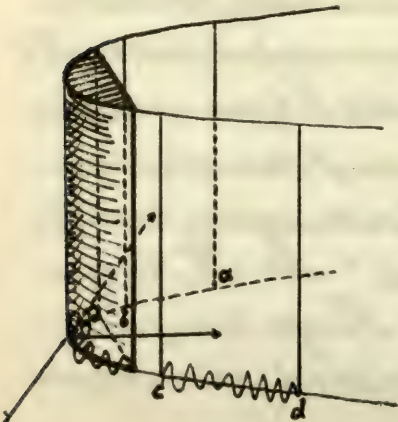
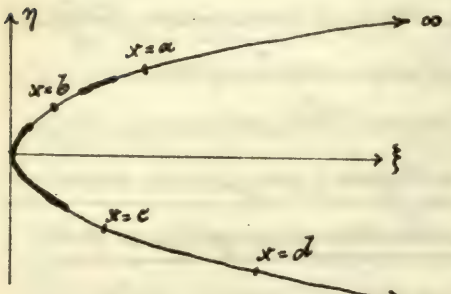
$$\frac{d^2y}{dx^2} = (Ax^2 + Bx + C) \cdot y.$$

Wir gehen nun in einen Raum mit den Coordinaten ξ, η, ζ , indem wir setzen

$$\xi = x^2, \quad \eta = x^4, \quad \zeta = y.$$

Durch $\xi = x^2, \eta = x^4$ ist in der $\{\eta$ -Ebene eine Parabel vorgestellt, welche jetzt an Stelle der

x -Achse tritt. Nehmen wir die dritte Coordinate ζ hinzu, so erhalten wir einen verticalen parabolischen Cylinder, auf welchem die x -Achse durch den Schnitt mit einer horizontalen Ebene vorgestellt wird. Auf diesem Cylinder, den wir uns geradezu als einsparabolisch



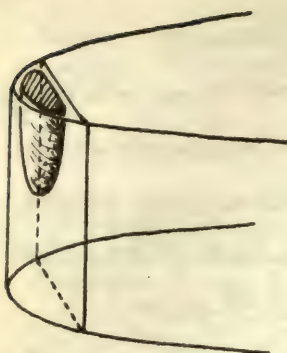
zusammengegebene x - y -Ebene vorstellen können, haben wir nun genau ebenso zu operieren wie früher in der x - y -Ebene. Jrgend eine Lösung γ der Differentialgleichung wird sich als eine Curve auf dem Cylinder darstellen, die in bestimmter Weise um die horizontale Parabel auf und ab oscillirt (vergl. die Figur).

Wie früher die Gerade $y = Ax + B$, so gibt jetzt die Ebene $\{ = Ax \} + B\eta + C$, oder vielmehr deren Schnittkurve mit dem Cylinder durch ihre Erhebung über die Parabel $y=0$ die Größe der elastischen Kraft an, welche an einer Stelle der x -Axe herrscht. Man wird nun fragen:

Was ist die Umhüllungsfläche der ∞^2 -Flächen, welche bewirken, dass für ein einzelnes gegebenes Segment eine bestimmte Oscillationsbedingung befriedigt wird?

Es wird dann darauf ankommen, einzusehen, dass drei beliebige Hülleflächen der genannten Art, welche sich auf drei gebremste Segmente beziehen, eine und nur eine gemeinsame Tangentialebene haben.

Wir denken uns die beiden Enden des Segments auf der Parabel, für welches eine



Oscillationsbedingung gegeben ist, durch eine gerade Linie verbunden. Errichten wir nun über dieser Geraden eine zur ξ -Achse parallele Ebene, so wird dieselbe von dem parabolischen Cylind

der ein vertikales Segment abschneiden. Physikalische Überlegungen führen nun sofort zu dem Satze:

Irgend zwei Ebenen, welche für unser Segment dieselbe Oscillationsbedingung liefern müssen, sich innerhalb unseres Cylindersegmentes schneiden.

Dann folgt aber, dass die Hüllefläche der Ebenen vollständig in dem Cylindersegment liegen muss, und zwar so, dass sie durchweg convex von oben (wie in der Figur) oder von unten in das Segment wie ein Fack hineinhängt, indem sie sich im Unendlichen den Wandungen des Segmentes asymptotisch nähert.

Wenn man nun diese Hülleflächen über irgend drei auseinanderliegenden Seg

menten construirt, so ist es infolge der geschilderten gestaltlichen Verhältnisse klar, dass die Hülleflächen nur eine einzige gemeinsame Tangentialebene besitzen, dass also das Oscillationstheorem für $n = 5$ richtig ist.

Für $n > 5$ müsst man, um die entsprechenden geometrischen Überlegungen durchzuführen, in Räumen von 4, 5, und mehr Dimensionen operieren. Da aber die beweisende Kraft unserer geometrischen Überlegung wesentlich darin liegt, dass wir die Figuren wirklich klar vor Augen sehen, was bei höheren Räumen versagt, so wollen wir die Frage der Ausdehnbarkeit des Oscillationstheorems auf $n > 4$ lieber noch offen lassen.

Es bliebe zu überlegen, ob die bisher in Ebenen und Raum gegebenen Constructionen sich analytisch so formuliren lassen, dass der Beweis ohne wesentliche Abänderung für beliebig grosse Werte von n gegeben werden kann.

Seine Stütze findet das Oscillationstheorem für grössere n jedenfalls in den Sätzen, welche über die Lamé'schen Polynome für grössere

n bekannt sind.

Gehen wir nämlich von der Frage aus, ob wir die Parameter $R, P, \dots L$ so einrich-
ten können, dass eine Lösung der Differen-
tialgleichung die Gestalt hat:

$$y = (x-a)^{\frac{1}{2}}(x-b)^{\frac{1}{2}} \cdots (x-m)^{\frac{1}{2}} \cdot E_k(x)$$

worin $E_k(x)$ ein Polynom k ten Grades be-
deutet soll, so führt das auf die Theorie
der Lamé'schen Polynome zurück, insofern
das einzelne E_k eine Differentialgleichung
befriedigt, welche bei $a, b, \dots m$ je nach
dem Werte des zugehörigen ϵ , die Exponenten
 $\pm \frac{1}{2}$ und 0 hat. Man findet also auf alge-
braischem Wege, dass dies in der That mög-
lich ist, und zwar für jede der 2^{n-1} verchie-
denen möglichen Verfügungen über die $\epsilon,$
 $\epsilon', \dots \epsilon^{(n)}$ beigegebenem R auf

$$R = \frac{(k+i)(k+2) \cdots (k+n-3)}{1 \cdot 2 \cdots (n-3)}$$

verschiedene Weisen.

Dabei stellt sich heraus, dass von den R
Polynomen E_k eines Typus ein jedes lauter
reelle Wurzeln hat, welche sämtlich in
den inneren Intervallen verteilt liegen, bei
jedem Polynom auf andere Weise.

Geben wir also die Anzahl der Wurzeln eines Polynoms E_x , die Verteilung derselben auf die Intervalle $a \leq t \leq b_m$ und die $\epsilon, \epsilon' \dots \epsilon^{(n)}$ an, so ist dadurch die Differentialgleichung vollständig festgelegt. Wenn wir aber die Verteilung der Wurzeln auf die Intervalle $a \leq t \leq b_m$ angeben, so heißt das doch nichts anderes, als dass wir für jedes dieser Intervalle die Oscillationszahl einer Lösung in ihrem ganzzahligen Teile festlegen, worauf die Angabe der $\epsilon, \epsilon' \dots \epsilon^{(n)}$ darüber verfügt, ob das betr. y an den einzelnen Punkten a, b, \dots in die eine oder die andere Fundamentalslösung vorstellen soll. Also

Die verschiedenen y , welche wir bei unserem Ansatz gewinnen, befriedigen jedes in den $n-2$ inneren Intervallen eine Reihe spezifischer Oscillationsbedingungen. Nehmen wir an, dass das Oscillationstheorem richtig ist, so können wir von vornherein sagen, dass es ein und nur ein y gäbe, welches eine solche spezifische Reihe von Oscillationsbedingungen befriedigt.

Das zweite wäre, dass wir jetzt einfach schließen, unser y hat die Gestalt:

$$(x-a)^{\frac{1}{k}}(x-b)^{\frac{1}{k}} \dots (x-m)^{\frac{1}{k}} E_k(x),$$

wo $E_k(x)$ ein Polynom von einem noch unbekannten Grade ist.

$E(x)$ ist nämlich notwendig in der ganzen x -Ebene im Endlichen unverzweigt und endlich und besitzt auch im Unendlichen keinen wesentlich singulären Punkt. Ob aber der Grad k genau gleich der Anzahl der durch die Oscillationsbedingungen vorgegebenen reellen O -Stellen ist, oder ob y noch weitere reelle oder komplexe O -Stellen besitzt, das bleibt vorderhand noch fraglich.

Dann zeigen wir durch Construction des Polygons in der y -Ebene, dass der Grad k des Polynoms E einfach gleich der Zahl der in den inneren Intervallen vorgeschriebenen reellen O -Stellen ist.

In dem Umstande, dass die so geordnete Überlegung zu der nämlichen Theorie der Lamé'schen Polynome hinführt, die wir von dem algebraischen Ausgangspunkt her kennen, liegt eine Bestätigung des Oscillationstheorems auch für größere Werk von n .

Dies ist's was ich heute unter (6) noch über den Fall von n singulären Punkten

vortragen wollte.

B. Wir erinnerten schon früher daran, dass man die gewöhnliche Lamé'sche Gleichung des Falles $n=4$ als Grenzfall der sog. allgemeinen Lamé'schen Gleichung

$$\begin{array}{c} \frac{1}{2} \quad \frac{1}{2} \quad \frac{1}{2} \quad 2k+\frac{1}{2} \\ \hline a \quad b \quad c \quad d \\ \frac{1}{2} \quad \frac{1}{2} \quad \frac{1}{2} \quad \frac{1}{2} \quad \frac{1}{2} \\ \hline a \quad b \quad c \quad d' \quad d'' \end{array}$$

ansiehen kann, indem man den singulären Punkt $d=\infty$ mit der von $\frac{1}{2}$ verschiedenen Exponentendifferenz $2k+\frac{1}{2}$ in zwei Punkte d' und d'' mit den Exponentendifferenzen $\frac{1}{2}$ auflöst.

Umgekehrt kann man durch weiteres Zusammenrückenlassen von Verzweigungspunkten die übrigen Functionen der mathematischen Physik, Zugelfunctionen, Bessel'sche Functionen u. s. w. entstehen lassen, wie wir ebenfalls schon damals hervorgehoben haben.

Ob das Oscillationstheorem für die allgemeine Lamé'sche Gleichung einerseits und für ihre sämtlichen Specialisirungen andererseits noch gültig bleibt, das ist die Frage, welche Bücher in einem

Büche ausführlich untersucht.

Bei diesem Ansatz kommt die Theorie der Lamé'schen Polynome, die uns sonst ein willkommenes Vergleichungspunkte ist, ganz in Wegfall, und es ist eben darum früher, wo man nur von der Theorie der Lamé'schen Polynome ausging und deren Realitätstheoreme suchte, über die hier vorliegende Fragestellung auch nicht vorbereitend gearbeitet worden.

Mv. d. 23. Juli 1894.] Die allgemeine Lamé'sche Gleichung, welche das Schema hat:

$$\underline{\underline{\quad \quad \quad \quad \quad \quad}}$$

schreibt sich, wie wir von Pjengsten gesehen haben, am bequemsten in homogener Form:

$$\left(\Pi, \varphi^5 \right)_2 + \left(\Pi, \chi \right)_0 = 0,$$

worin $\varphi = (x-a)(x-b)(x-c)(x-d)(x-e)$

und χ eine beliebige Linearform ist, deren bei den Coefficienten die accessorischen Parameter der Gleichung sind.

Für die Zwecke unserer geometrisch-physikalischen Betrachtungen müssen wir uns aber doch entschließen, die Differentialglei-

chung in unhomogene Gestalt umzuschreiben. Wir bekommen, indem wir mit f das Produkt

$f \cdot (x-a)(x-b)(x-c)(x-d)(x-e)$
bezeichnen, die Gleichung:

$$f \cdot \frac{d^2y}{dx^2} + \frac{1}{2} f' \frac{dy}{dx} + \frac{1}{64} f'' y = \frac{Ax + B}{4} \cdot y.$$

Dabei ist im Unendlichen ein unwesentlicher singulärer Punkt eingeführt, d. h. ein solcher, der bei Bildung des Quotienten γ herausfällt, mit den Exponenten $\beta_1 = \frac{5}{4}$, $\beta_2 = \frac{1}{4}$.

Wir führen nun analog dem Verfahren bei der gewöhnlichen Lamé'schen Gleichung eine neue unabhängige Veränderliche t ein, durch das hyperelliptische Integral

$$t = \int \frac{dx}{2\sqrt{(x-a)(x-b)(x-c)(x-d)(x-e)}} ,$$

welches allerdings bei $x=\infty$ noch einen für unsere Zwecke überflüssigen Verzweigungspunkt besitzt.

Auf der Riemann'schen Fläche des Integrals ist unsere Differentialgleichung

um verzweigt; — der Punkt α stört dabei nicht —. Wir bekommen die Formel:

$$\frac{d^2y}{dx^2} = \left(-\frac{1}{16}f''(x) + Ax + B\right)y.$$

Man sieht, dass hier im Coefficienten von y nicht nur die beiden noch festzulegenden accessorischen Parameter vorkommen, sondern außerdem noch ein Ausdruck dritter Ordnung $-\frac{1}{16}f''(x)$, entsprechend der singulären Stellung des unendlich fernen Punktes auf der Riemann'schen Fläche sowohl wie bei unserer nichthomogenen Schreibweise.

Deutet man also wieder A und B als Coordinaten einer „Hülfsgeraden“ $y = Ax + B$, so geben die Ordinaten dieser Geraden noch nicht ohne weiteres den Coefficienten der elastischen Kraft an jeder Stelle x an, sondern:

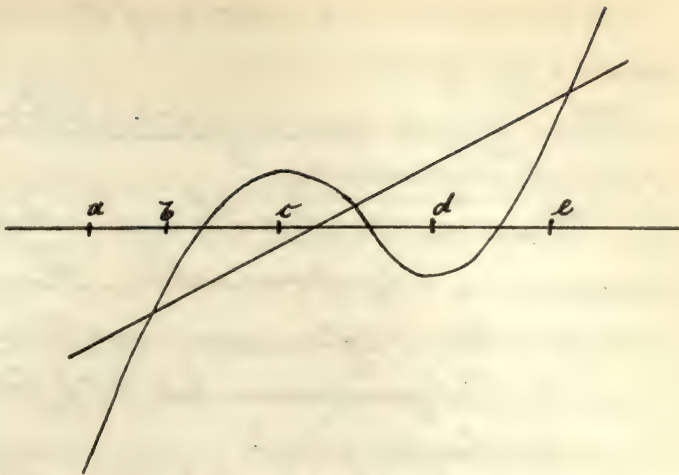
Man bekommt den Coefficienten der elastischen Kraft an irgend einer Stelle, indem man die Ordinaten der Hülfsgeraden um die Ordinaten einer festen Curve dritter Ordnung $y = \frac{1}{16}f''(x)$ vermindert.

In den Intervallen, wo t reell ist, wird also Anziehung herrschen, wenn die Hülfsgerade unterhalb der festen Kurve

verdritter Ordnung liegt, Abstossung, wenn sie oberhalb liegt; umgekehrt in den Intervallen, wo t imaginär ist und als reelle Zeit daher $i \cdot t$ zu benutzen ist.

Diese Kodification der mechanischen Bedeutung der Hülfsgeraden hindert aber offenbar nicht, genau dieselben Fragen und Ansätze, wie früher, durchzuführen.

Indem man die Hülfsgerade als beweglich ansieht und die Enveloppen in Betracht zieht, welche sie umhüllt, wenn man in irgend einem Segment eine bestimmte Oscillationsbedingung vorschreibt, beweist man ganz in früherer Weise in dem früheren Umfang das Oscillationstheorem.



Nun will ich nur auf eine einzige Frage dabei eingehen:

Was wird aus unserer Theorie der Lamé'schen Polynome?

Wenn wir die Lamé'schen Polynome von dem algebraischen Standpunkt aus, wie früher, definieren wollen, indem wir nach Polynomen $E_K(x)$ fragen von der Eigenschaft, dass

$$y = (x-a)^{\frac{e}{2}}(x-b)^{\frac{e'}{2}}(x-c)^{\frac{e''}{2}} E_K(x)$$

einer Differentialgleichung von der vor- ausgesetzten Form mit speziellen Werten A, B genügt, so müssen wir sofort sagen, dass es im Fall der allgemeinen Lamé'schen Gleichung solche Polynome nicht geben kann. Denn bei $x = \infty$ hätte ein solches y den Exponenten $k + \frac{e+e'+e''}{2}$, wäh rend doch unsere Differentialgleichung dort nur die beiden Exponenten $\frac{5}{4}$ und $\frac{1}{4}$ hat, was mit einander unverträglich ist. Also:

Der gewöhnliche algebraische Ansatz aus der Theorie der Lamé'schen Polynome wird hier gegenstandslos.

Um so erfreulicher ist es, dass der Oscil-

lationsansatz sich auf die allgemeine Lamé'sche Gleichung übertragen lässt, und bei ihr, natürlich nicht zu Polynomen, aber doch zu solchen Functionen führt, die man als Verallgemeinerung der Lamé'schen Polynome zu betrachten hat.

Wir sind nämlich vom Oscillationstheorem aus zu den Lamé'schen Polynomen gekommen, indem wir verlangten, es sollten die Parameter A und B so bestimmt werden, dass eine Particularlösung y an der Stelle a sich verhielte wie $(x-a)^{\frac{m}{2}}$, bei b wie $(x-b)^{\frac{n}{2}}$, bei ∞ wie $(x-\infty)^{\frac{\ell}{2}}$, und



dass sie im Intervall

Intervall ab m Nullstellen, im Intervall b n Nullstellen besitzen sollte; ich will kurz sagen, durch die Oscillationsbedingung $[a, b, \infty, m, n]$.

Dieselbe Forderung können wir nach dem Oscillationstheorem auch bei der allgemeinen Lamé'schen Gleichung stellen. Es ergibt sich dann:

Durch die Forderung, dass eine Particularlösung y von diesem Verhalten existieren soll, sind die accessorischen Parameter A, B der

Differentialgleichung sowie die zugehörige Particularlösung y (letztere natürlich von einem constanten Factor abgesehen) eindeutig festgelegt.

Wir könnten auch hier

$$y_1 = (x-a)^{\frac{6}{2}}(x-b)^{\frac{6}{2}}(x-c)^{\frac{6}{2}} E(x)$$

setzen, doch ist dann $E(x)$ kein Polynom mehr, sondern ein bei a, b, c allerdings unverzweigte, bei d und e jedoch noch verzweigter Functionszweig.

Wir wollen nun über die Natur der Function y_1 sowie der zugehörigen Differentialgleichung Näheres erfahren.

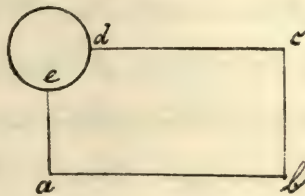
Um uns über die Natur der festgelegten Differentialgleichung klar zu werden, versuchen wir das Polygon in der η -Ebene zu konstruiren also ein Kreisbogenfünfeck mit fünf rechten Winkeln.

Die Particularlösung y_1 ist nach unserer Forderung für jeden der drei Punkte a, b, c gleichzeitig eine Fundamentallösung. Daraus folgt nach dem auf S. 301 ff. bewiesenen allgemeinen Satze:

Wählen wir speziell $\eta = \frac{y^2}{y_1}$, wo y_1 die Particularlösung ist, die unseren Oscillationsbe-

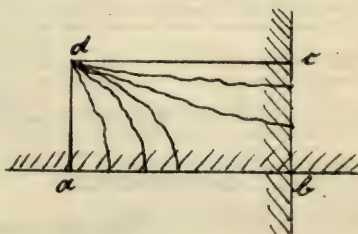
dingungen genügt, dann werden die 4 Seiten
dor, ob, bc, cd unseres Fünfecks geradlinig ver-
den.

Wenn speziell alle $\epsilon = 0$ sind, auf welchen Fall
 wir unsere Überlegungen vorzugsweise exmu-
 plifizieren wollen,
 so liegen alle Ecken
 im Endlichen. Der
 Bereich wird also et-
 wa in nebenstehende

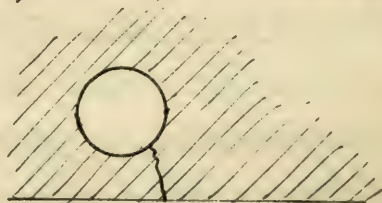
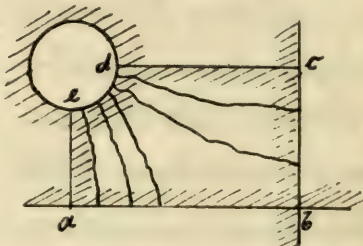


Figur einzuhängen sein, und zwar so, dass
 die Seite ab m mal, die Seite bc n mal
 durchs Unendliche zieht.

Um zu sehen, wie wir diese Einhängung
 vorzunehmen haben, und um zugleich den
 stetigen Zusammenhang unserer jetzigen Fünf-
 ecken mit denen des gewöhnlichen Lamé'schen
 Falles zu verstehen, werde das η -Viereck herge-
 setzt, welches bei der
 gewöhnlichen Lamé'schen Gleichung der
 selben Oscillationsbe-
 dingung etwa für
 $m=3, n=2$ entspricht. Dorthatten wir von
 der Ecke d aus nach ab m (3) Halbebenen,



nach $\text{Cn}(2)$ Halbebenen polar einzuhängen. Jetzt aber ist die Ecke d durch den die Ecke abschneidenden Kreisbogen d ersetzt. Unsere Verzweigungsschnitte werden also jetzt von der Seite ab bezw. Cn nach der Seite d hin laufen. [Nicht nach den Winkeln d oder e , da ja diese $= \frac{\pi}{2}x$ bleiben sollen.] Anstatt Halbebenen haben wir jetzt Flächen einzuhängen, welche aus den früheren Halbebenen entstehen, indem man das Innere der Kreislinie d herausschneidet; wir wollen ein solches Flächendstück allgemein einen „Kreisring“ nennen.



Wir bekommen also das Polygon der η -Ebene, wenn wir an das gezeichnete aus dem Rechteck entstandene 5-Eck in Kreisringe von de nach a und b Kreisringe von de nach c einhängen.

Wir sehen dann weiter aus der Figur:

Während früher der singuläre Punkt d den Winkel $(2m + 2n + \frac{1}{2})\pi$ bekam, bekommt

jetzt die Kreisbogenseite der die elliptische Amplitude $(2m + 2n + \frac{3}{2})\pi$. Ferner aber

Die Seiten cd und ac haben rein imaginäre d. h. hyperbolische Amplituden.

Denn die Nachbarkreise ed und bc, bezw. ed und ab schneiden sich nicht.

Übertragen wir dies auf die Fälle beliebiger ϵ , so erhalten wir den allgemeinen Satz:

Wenn wir in der allgemeinen Lamé'schen Gleichung die beiden accessoriischen Parameter A, B durch die Oscillationsbedingung $[e, e', e''; m, n]$ festlegen, so bekommen wir für die beiden Intervalle ac und cd hyperbolische Amplituden, welche bis auf einen reellen Bestandteil $\epsilon\pi$ bzw. $\epsilon''\pi$ rein imaginär sind, für das fünfte Intervall de aber eine elliptische Amplitude von dem Betrag $(2m + 2n + e + e' + e'' + \frac{3}{2})\pi$.

Bei den Dreiecken konnten wir uns zum Theil weise solcher Sätze auf eine ausgebildete Theorie, die sphärische Trigonometrie, stützen.

Offenbar sollten wir, um Differentialgleichung mit 4, 5 und mehr singulären Punkten zu behandeln, eine allgemeine Polyga-

nometrie der Kreisbogenviielecke besitzen,
genz entsprechend der Trigonometrie, die
wir im vorigen Winter betrachteten.

Die Lehren dieser Polygometrien wären
dann bei der Discussion der einzelnen Dif-
fentialgleichungen heranzuziehen. Was
wir bei der Hermite'schen Gleichung und
nun bei der allgemeinen Lamé'schen Glei-
chung mit aus den Polyganen gemacht ha-
ben, das sind besonders einfache Fälle
einer derartigen allgemeinen Discussion.
 Ich habe Bereits oben (12) die wenige Litera-
 tur genannt, welche wir bis jetzt in Rich-
 tung der hier postulirten allgemeinen
 Polygometrie besitzen.

Veränderliche Exponenten.

Di. d. 24. Juli 1894.] Heute wollen wir nun einen
 Blick darauf werfen, was aus dem Oscillations-
 theorem wird, wenn wir α, β, γ allgemeine Wer-
 te, die von $\frac{1}{2}$ verschieden sind, zuerteilen
 — um uns auf den Fall von 4 singula-
 ren Punkten zu beschränken —.

Es mögen also a, b, c die Exponenten α, β, γ
 $\alpha, \beta, \gamma, 0$ haben, wobei wir α, β, γ jedenfalls

als positive Größen annehmen wollen, pour fixer les idées, während der vierste singuläre Punkt d mit beliebiger Exponentendifferenz im Unendlichen liegen mag. Ganzzahlige Werte der α, β, γ schliessen wir der Kürzelung aus.

Die Differentialgleichung hat dann die Gestalt:

$$\frac{dy^2}{dx^2} + \left(\frac{1-\alpha}{x-a} + \frac{1-\beta}{x-b} + \frac{1-\gamma}{x-c} \right) \frac{dy}{dx} = \frac{\alpha x + \beta}{4(x-a)(x-b)(x-c)} \cdot y$$

unsere Aufgabe möge dahin begrenzt werden
die früheren Angaben über Lamé'sche Polynome
bei veränderlichen α, β, γ mit unseren
Oscillationsbetrachtungen in Verbindung zu
setzten.

Wir fragen also, ob wir den Parameter α , welcher die Exponenten des unendlich fernen Punkts bestimmt, und den accessorischen Parameter β in der Differentialgleichung so festlegen können, dass eine Particularlösung der Differentialgleichung in der Form enthalten ist:

$$y_1 = (x-a)^{\epsilon\alpha} (x-b)^{\epsilon'\beta} (x-c)^{\epsilon''\gamma} \cdot E_k(x),$$

unter $\epsilon, \epsilon', \epsilon''$ wie früher die Zahlen 0 oder 1 und unter $E_k(x)$ ein Polynom verstanden.

Da y , Lösung einer Differentialgleichung mit den Exponenten $\alpha, 0; \beta, 0; \gamma, 0$ bei a, b, c ist, ist $\epsilon_k(x)$ Lösung einer andern Differentialgleichung mit den Exponenten $\pm\alpha, 0; \pm\beta, 0; \pm\gamma, 0$, wobei \pm oder $-$ zu setzen ist, je nachdem das betreffende $\epsilon = 0$ oder $= 1$ ist, und zwar gehört $\epsilon_k(x)$ als Lösung dieser Differentialgleichung bei jedem der Punkte a, b, c gleichzeitig zum Exponenten α .

In dieser letzten Weise, als Lösung einer Differentialgleichung, bei der immer die eine Exponent je eines Punktes verschwindet, der andere aber beliebig positiv oder negativ sein darf, haben wir das Lame'sche Polynom bereits früher vermittelst der Normalform von Waelisch definiert.

Das ϵ_k , welches früher zu einem positiven Exponenten $+\alpha$ gehörte, erhalten wir jetzt, wenn wir $\epsilon = 0$ nehmen, das ϵ_k aber, welches zu dem negativen Exponenten $-\alpha$ gehörte, bekommen wir aus unserer Differentialgleichung, indem wir $\epsilon = 1$ nehmen.

Was für Realitätsätze lassen sich nun über die so eingeführten $\epsilon_k(x)$ aussagen?

Wir entnehmen unseren früheren Entwicklungslinien die folgenden Sätze.

Im Falle negativer Exponenten sind alle E_k reell und einzeln durch die Verteilung ihrer Wurzeln auf die Intervalle ab, bestimmt. Das-selbe gilt für positive Exponenten, die unterhalb 1 bleiben.

Werden aber die Exponenten > 1 , so treten Fallunterscheidungen auf, und es sind dann die $E_k(x)$ jedenfalls nicht immer durch ihre Wurzelverteilung in den Intervallen ab, bestimmt.

Daraus folgt, wenn wir an die Differentialgleichung der vorigen Seite anknüpfen und eine Oscillationsbedingung $[E, E', E''; m, n]$ vorgeben:

1. Wenn $E = E' = E'' = 1$ ist, dann sind die $E_k(x)$ immer eindeutig bestimmt.

Denn dann genügt $E_k(x)$ einer Differentialgleichung, welche in a, b, c neben 0, 0, 0 die negativen Exponenten $-\alpha, -\beta, -\gamma$ aufweist.

2. Wenn irgend ein $E = 0$, die zugehörige Exponentendifferenz α aber < 1 ist, dann sind die E_k ebenfalls eindeutig bestimmt.

3. Wenn ein $E = 0$ und $\alpha > 1$ ist, dann ist es noch zweifelhaft, ob eindeutige Bestimmtheit vorliegt oder nicht.

Wir bekommen in dem letzteren Falle, wenn $n=3$, nicht $= 4$ ist, die Regel:

Wenn nur 3 Verzweigungspunkte vorliegen, so können wir die zweifelhaften Fälle genau ein teilen: Wenn nämlich die Zahl der O-Hellen, die im Intervall vorgeschrieben wird, ≥ 2 ist, dann ist alles bestimmt, wenn sie aber ≤ 2 ist, so liegen wirklich verschiedene Möglichkeiten vor. (vergl. S. 234)

Foh streife aber diesen Fall von 3 Verzweigungspunkten, wo alles vollständig durchführbar ist, nur beiläufig; im wesentlichen bleiben wir bei $n=4$.

Die genannten Oscillationsätze folgen aus der Theorie der Lamé'schen Polynome. Die Aufgabe müßte sein, sie durch direkte mechanisch-physikalische Betrachtungen aus der Differentialgleichung selbst herauszu bringen.

Das Resultat muß sein, daß für $\epsilon=1$ und für $\epsilon=0$ mit $\alpha < 1$ die allen mechanischen Betrachtungen in der Hauptsache gültig bleiben, während bei $\epsilon=1$ und $\alpha > 1$ irgend etwas sich wesentlich ändern wird.

"Wir setzen, um das Glied mit y' wegzu-

schaffen:

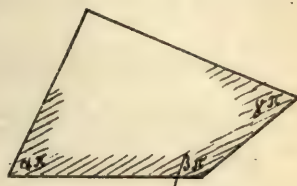
$$A = \frac{1}{2} \int_{x=a}^{x=c} (x-a)^{\alpha-1} (x-b)^{\beta-1} (x-c)^{\gamma-1} dx.$$

Die Variable t bildet dann die positive Halbebe-
ne x auf ein geradliniges Viereck mit den drei
Winkeln $\alpha\pi$, $\beta\pi$, $\gamma\pi$ ab, welche alle 3 im End-
lichen liegen, wenn α, β, γ
sämtlich positiv sind, wie
wir voraussetzen.

Erstrecken wir das Inte-
 gral etwa vom Wert $x=a$
 an und multiplizieren dasselbe noch mit ei-
 ner passenden Einheitswurzel, so können wir
 bewirken, dass durch das so-modifizierte Inte-
 gral, welches wir A' nennen wollen, speziell das
 Stück ab der reellen Axe in der x -Ebene als
 Stück der reellen Axe in der t' -Ebene abgebil-
 det wird: so dass wir im Intervall $a \leq t$ di-
 rect das so definierte A' als Zeit deuten können.
 Die Differentialgleichung rednet sich nun:

$$\frac{dy'}{dt^2} = (\Alpha x + \Beta) (x-a)^{1-\alpha} (x-b)^{1-\beta} (x-c)^{1-\gamma} \cdot y.$$

Unsere Differentialgleichung hat also nicht
ganz die frühere einfache Gestalt, sondern es
treten noch „störende Faktoren“ hinzu, wel-



che bei $x = a$, b.c verschwinden oder ∞ werden, je nachdem $\alpha, \beta, \gamma < \frac{\pi}{2}$ oder $> \frac{\pi}{2}$ sind.

Ich sage da zunächst:

Wenn wir die Segmente, für welche die Oszillationsbedingungen vorgeschrieben werden, nicht bis an die singulären Punkte heran erstrecken, dann kommen die störenden Faktoren kaum in Betracht, und das Oszillationstheorem gilt wie früher.

Für die Lamé'schen Polynome ist es aber gerade wesentlich, dass die Segmente bis an die Grenzen der Intervalle herangezogen werden. Wie modifizieren sich da die mechanischen Überlegungen?

Die Grenzbedingungen $\epsilon = 1$ oder $\epsilon = 0$ der Lamé'schen Polynome kommen darauf hinaus, dass y an der Stelle a entweder die erste oder die zweite Fundamentalslösung des betreffenden Punktes sein soll, welche ja die Gestalt haben:

$$y_1 = (x-a)^\epsilon \varphi_1(x-a), \quad (\text{entspr. } \epsilon = 1)$$

$$y_2 = \varphi_2(x-a), \quad (\quad " \quad \epsilon = 0)$$

Nun hat $x-a$ als Funktion von t , wenn wir etwa die Integration bei t von a aus

beginnen lassen, eine Entwicklung:

$$x - a - t^{\frac{1}{\alpha}} \varphi(t^{\frac{1}{\alpha}}).$$

Das gibt für y_1, y_2 als Funktionen von t Entwicklungen folgender Art:

$$\epsilon = 1 \quad y_1 = t \cdot \varphi_1'(t^{\frac{1}{\alpha}}), \quad y_1' = \varphi_1''(t^{\frac{1}{\alpha}});$$

$$\epsilon = 0 \quad y_2 = \varphi_2'(t^{\frac{1}{\alpha}}), \quad y_2' = t^{\frac{1}{\alpha}-1} \varphi_2''(t^{\frac{1}{\alpha}}).$$

Wie verhalten sich nun die beiden Particularlösungen auf Grund dieser Formeln jede beim Hinschreiten auf die Grenze $x = a$, d. h. $t = 0$?

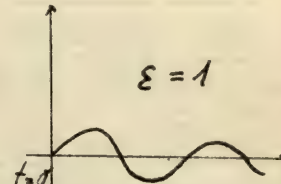
Diese Particularlösung, welche durch $\epsilon = 1$ charakterisiert ist, hat in allen Fällen die Eigenschaft, für $t = 0$ zu verschwinden und einen endlichen.

von verschiedenen Differentialquotienten zu besitzen.

Die Curve y_1 endigt also bei $t = 0$ immer so, wie in vorstehender Fig. angegeben.

Anders bei y_2 , d. h. wenn $\epsilon = 0$ vorgeschrieben ist:

Was die Bedingung $\epsilon = 0$ angeht, so ist das zu gehörige y_2 für $t = 0$ allerdings immer end-



lich, sein Differentialquotient bei $t=0$ ist aber Oder 00 ,
je nachdem $\alpha < 1$ oder $\alpha > 1$
ist.

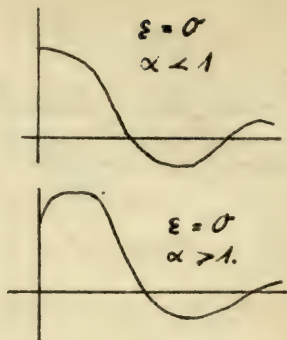
Wir werden folgender-
massen sagen können:

Wenn $\alpha < 1$ ist, so ist
das Verhalten der beiden
Particularlösungen bei

$t=0$ genau dasselbe, wie wir es bei unserer
physikalischen Formulierung gebrauchen.

Wenn aber $\alpha > 1$ ist, dann hat nur noch das
 y_1 den früheren Charakter, das y_2 hat einen
ganz anderen Charakter: es hat bei endli-
chem Wert der Funktion einen unendlichen
Wert des Differentialquotienten.

Von da aus haben wir nun das Resultat:
In Übereinstimmung mit dem, was wir von
den Lamé'schen Polynomen wissen, lässt sich
im Falle $\varepsilon = 1$ für beliebige Werte des α die phy-
sikalische Betrachtung ansetzen, und ohne
dass wir im Augenblick die Rolle der stören-
den Faktoren ganz übersehen können, er-
scheint es doch von vornherein sehr wahr-
scheinlich, dass das Oscillationstheorem



Bestehen bleibt.

Wenn wir aber $\epsilon = 0$ geben, so gilt das hiermit Gesagte nur für $\lambda < 1$. Bei $\lambda > 1$ tritt eine Grenzbedingung auf, die von der gewöhnlichen physikalischen Grenzbedingung ganz verschieden ist, und es folgt aus den physikalischen Betrachtungen keinerlei Grund, dass das Oscillationstheorem bestehen bleiben sollte.

Die Gieljes'sche Grenze ist also auch eine Grenze für die bisher aufgewandte mechanisch-physikalische Betrachtung. -

Damit schließe ich das ab, was ich über das Oscillationstheorem zu sagen hatte, obwohl noch wesentliche Desiderate übrig bleiben.

Erstens wünsche ich, dass man explizit zeigt, dass unterhalb der Gieljes'schen Grenze trotz der störenden Faktoren das Oscillationstheorem wirklich bestehen bleibt, und zweitens, dass man doch auch die Fälle jenseits der Gieljes'schen Grenze mechanisch-physikalisch auf ihre Bedeutung untersuchen soll.

Im allgemeinen aber habe ich den Eindruck, dass wir mit diesen Oscillationsbetrachtungen nur erst im Anfange einer Entwicklung

stehen, deren Richtung und allgemeine Frage
weite sich im Augenblitze noch nicht über-
schen lassen.

B. Von den automorphen Functionen.

[D. d. 26. Juli 1894.] Ich will die wenigen Tage des Se-
mesters, die uns noch übrig bleiben, dazu benut-
zen, Ihnen einige besonders wichtige Grundbegrif-
fe und Sätze der Theorie zu entwickeln, auf welche
ja meine jetzigen Vorlesungen durchaus hinstre-
ßen, nämlich der Theorie der automorphen Fun-
tionen.

In der That kann man die Theorie der eindeu-
tigen automorphen Functionen unter einem ganz
ähnlichen Gesichtspunkt betrachten wie das Quilla-
tions theorem, von dem wir seit Pfingsten gespro-
chen haben. Da war es doch so:

Dadurch dass wir bestimmte Eigenschaften
beim einzelnen Polygon der $\eta = \frac{y_1}{y_2}$ -Ebene ver-
langten, haben wir die in der Differentialglei-
chung noch willkürlichen Parameter festgelegt.
Jetzt ist das Ziel dasselbe, nämlich die Para-
meter der Differentialgleichung durch ge-

wisse Eigenschaften der Integralfunktionen festzulegen. Aber wir achten jetzt nicht mehr auf das einzelne Polygon, auf das eine Halbebene, bzw. im unsymmetrischen Falle auf den einzeln Fundamentalbereich, auf den die zerschnittene Vollebene oder Riemann'sche Fläche conform abgebildet wird; wir denken uns vielmehr unsere Function η durch Symmetrie bzw. durch die linearen Substitutionen der zum Bereich gehörigen Gruppe analytisch fortgesetzt, so weit als diese analytische Fortsetzung möglich ist. Wir bekommen so über der η -Ebene ein ganzes Netz von aneinander gelagerten Polygone und Bereichen, und es ist der führende Gedanke jetzt der, dass wir diesem ganzen Netz von im Allgemeinen unbegrenzt vielen Polygone oder Bereichen d. h. der Gesamtheit der analytischen Fortsetzungen des η bestimmte Eigenschaften beschreiben, um dadurch die Parameter der Differentialgleichung festzulegen. Und zwar werden wir vor Allem folgendes verlangen:

Wir versuchen, die Parameter, welche wir in der Differentialgleichung haben, nach Möglichkeit so zu bestimmen, dass das eindeutig um-

kehrbar wird.

Das heißt, wir werden zusehen, ob wir nicht erreichen können, dass x eine eindeutige Function von η ist, während ja η eine im Allgemeinen sehr vieldeutige Function von x ist, ähnlich wie in der Theorie der elliptischen Functionen das überall endliche Integral eine unendlich vieldeutige Function von x ist, x dagegen eine eindeutige Function von w . η wird dann also uniformisirende Variable für die funktionelle Abhängigkeit zwischen x und η sein. Auf die Wichtigkeit dieser Frage nach der uniformisirenden Variablen habe ich schon früher mehrfach hingewiesen, und wir werden dieselbe bald noch weiter hervorkehren.

Geometrisch bedeutet die gestellte Forderung der eindeutigen Umkehrbarkeit, dass die Gesamtheit aller Bereiche, die durch analytische Fortsetzung aus dem Ausgangsbereiche entstehen, die Ebene η nirgends mehrfach überdecken soll.

Setzt wollen wir gleich in die Einzeldiskussion eintreten, indem wir zuerst einmal von dem Fall der Dreiecksfunktionen das recapitulieren, was wir bereits am Ende

des Wintersemesters in der jetzt bezeichneten Richtung kennen gelernt haben.

1.) Wir gingen davon aus, η als Function von x und den Exponenten λ, α, ν zu betrachten:

$$\eta(\lambda, \alpha, \nu; x)$$

Wenn λ, α, ν sämtlich reell sind, bildet η die positive Halbebene x auf ein Kreisbogen Dreieck der η -Ebene mit den Winkeln $\lambda\pi, \alpha\pi, \nu\pi$ ab. Wir konnten jedes derartige Dreieck wirklich zeichnen und hatten so zugleich den Überblick über sämtliche η -Functionen mit reellen Exponenten und eine neue geometrische Begründung ihrer Existenz.

Für complexe Werte von λ, α, ν mussten wir die Abbildung der ganzen x -Ebene, passend eingeschnitten gedacht, auf einen Fundamentalbereich der η -Ebene in Betracht ziehen. Freilich war es damals noch nicht gelungen, einen solchen Bereich für jedes beliebige Tripel complexer Zahlen λ, α, ν wirklich zu construiren; die Schilling'sche Dissertation, an welche wir uns dabei anzuschliessen hatten, bot nur erst Ansätze. Ich freue mich mitteilen zu können, das Schilling

diese Construction in den letzten Tagen vollständig durchgeführt hat, wie er uns vor gestern in der mathematischen Gesellschaft vortrug.

Bei unserer Frage nach der eindeutigen Umkehrbarkeit der η -Function kommen übrigens nur reelle Exponentendifferenzen λ, μ, ν in Betracht, da in der Umgebung eines Punktes a mit complexer Exponentendifferenz λ nicht allein η als Function von x , sondern auch x als Function von η gewiss verzweigt, also nicht eindeutig ist.

Man findet im Falle der Dreiecksfunctionen als hinreichende und notwendige Bedingung für die eindeutige Umkehrbarkeit von $\eta(\lambda, \mu, \nu; x)$ die, dass λ, μ, ν die reciproken Werte ganzer reeller Zahlen sein müssen.

$$\lambda = \frac{1}{L}, \quad \mu = \frac{1}{M}, \quad \nu = \frac{1}{N}.$$

2.) Wir müssen nun alle dieser Bedingung genügenden η -Functionen in 3 funktionentheoretisch wesentlich unterschiedene Fälle einzuteilen, je nachdem

$$I) \quad \lambda + \mu + \nu > 1$$

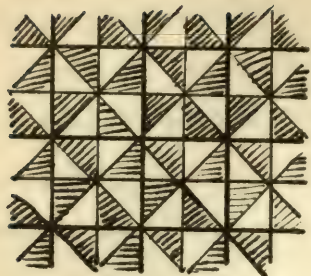
$$II) \quad \lambda + \mu + \nu = 1$$

$$III) \quad \lambda + \mu + \nu < 1$$

ist.

Im Falle I ergaben sich die Functionen der regulären Körper. Die drei Ebenen, in denen die drei Kreislogenseiten des η -Dreiecks liegen, schneiden sich im Innern der η -Kugel, und sind, wenn man diesen Schnittpunkt zum Centrum der Kugel macht, Symmetrieebenen eines regulären Körpers. Die Vervielfältigung des Ausgangsdreiecks gibt nur eine endliche Zahl weiterer Dreiecke, welche die η -Kugel vollständig und schlicht überdecken. η ist infolgedessen eine algebraische Function von x , und x ist nicht nur eine eindeutige Function von η , wie wir verlangt haben, sondern geradezu eine rationale Function.

II) Ist $s + u + v = 1$, so schneiden sich die Ebenen der drei Kreislogenseiten auf der Kugel selbst. Projicirt man von diesem Punkte aus die Kugel stereographisch auf die Ebene, so erhält man eine Einteilung der ganzen Ebene in unendlich viele geradlinige Dreiecke, und zwar ist diese Einteilung so beschaffen, dass immer mehrere der Dreiecke zusammen ein Viereck bilden - z. B. in umstehender Figur je 4 schraffirte und 4



nichtschraffirte Dreiecke ein Quadrat - durch dessen Parallelverschiebung man die ganze Einteilung der Ebene erzeugen kann. Wir bekommen so eine Figur, die in demselben Sinne „doppelperiodisch“ ist, wie die Parallelogrammeinteilung, die zu einer doppelperiodischen Function gehört.

Bei einer solchen doppelperiodischen Einteilung der Ebene spielt aber der Punkt $\eta = \infty$ eine besondere Rolle, wie man am besten sieht, wenn man die Einteilung wieder auf die Kugel überträgt.

Man erkennt dass die einzelnen Parallelogramme und also auch die Dreiecke in der Umgebung des Punktes $\eta = \infty$ sich unendlich dicht häufen, indem sie ihm beliebig nahekommen, ohne ihn doch jemals zu erreichen. Der Punkt $\eta = \infty$ ist, wie wir sagen, ein „Grenzpunkt“ des Polygontnetzes. In dem Auftreten eines solchen Grenzpunktes liegt ein wesentlicher Gegensatz des Falles II gegenüber dem Falle I. Hierin liegt zugleich begründet, dass x als Function von η

zwar, wie verlangt eindeutig ist, - wegen der der schlichten Aneinanderlagerung der Polygone - nicht aber rational, sondern transcendent. Denn bei rationalen Functionen könnten solche Grenzpunkte nicht auftreten. Und zwar ist π eine eindeutige doppeltperiodische Function von η , weil sich die Dreiecke in der oben geschilderten Weise zu Parallelogrammen zusammenordnen.

III.) Wenn $\delta + u + v < 1$ ist, so liegt der Mittelpunkt des Kerns außerhalb der Kugel. Construiren wir von diesem Punkte aus den Berührungskegel an die Kugel, so berührt oerselbe die Kugel in einem Kreise, der von jeder der drei Kreislinien, welche das Dreieck begrenzen, orthogonal geschnitten wird. Wir nennen diesen Kreis den „Hauptkreis“. Also:

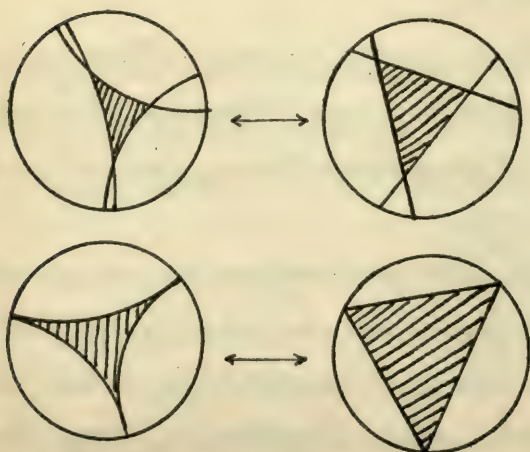
Im vorliegenden Falle haben die drei Kreisbögenseiten einen reellen Orthogonalkreis, den Hauptkreis.
Dieser Hauptkreis ist zugleich Grenzkreis für die
conforme Abbildung.

Denn bei jeder der Spiegelungen an einer der drei Dreiecksseiten geht er in sich selbst über, und zwar immer sein Inneres in sein Inneres, sein Äußeres in sein Äußeres. Man kann

also so oft man die Spiegelungen wiederholen mag, nie aus dem Hauptkreise herausgelangen. Wohl aber kann man, wie leicht zu beweisen ist, beliebig nahe an den Hauptkreis herankommen, nur werden die Dreiecke immer kleiner und immer zahlreicher, je mehr man sich dem Hauptkreis nähert.

Ein spezieller Fall der Dreiecke des Falles III, die das Innere eines Hauptkreises in unendlicher Zahl durchaus schlicht aber vollständig erfüllen, wird durch das Beispiel der elliptischen Koduktion $w(x) = \eta(0, 0, 0; x)$ dargeboten. Die drei Winkel des Dreiecks sind hier $= 0$ und die Ecken desselben liegen in Folge dessen selbst auf dem Hauptkreis.

Es verdient nach Erwähnung, dass man sich



die Figuren des Falles III auch geradlinig zeichnen kann, indem man sie von dem Mittelpunkt des Kreises auf irgend eine Ebene, z.B. auf die Polarebene, welche den Hauptkreis enthält, projiziert.

Die Spiegelung an einer der drei Seiten ist dann eine rein projective Construction, wodurch sich an das erste Dreieck ein zweites ebenfalls geradliniges Dreieck anlagert, welches mit dem ersten genau symmetrisch-congruent ist, wenn man den Hauptkreis als Fundamentalskreis einer nichteuklidischen Hafss-Bestimmung zu Grunde legt.

Hierin tritt die Beziehung unserer linearen Substitutionsgruppe zur nichteuklidischen Geometrie hervor, die wir ja ebenfalls bereits im Winter ausführlich besprochen haben.

Betrachten wir die Kugel der Variablen η als Fundamentalsfläche einer nichteuklidischen Hafss-Bestimmung, so können wir alle linearen Transformationen der Variablen η einfach als Bewegungen des ganzen Raumes im Sinne dieser nichteuklidischen Hafss-Bestimmung deuten. Bei jeder unserer drei Arten von Gruppen I, II, III bleibt dabei ein bestimmter Punkt des Raumes fest, nämlich der Schnittpunkt der Ebenen, in denen die drei Dreiecksseiten liegen. Wir haben es also im Sinne der nichteuklidischen Hafss-Bestimmung mit Clasen Drehungen und Spiegelungen in den Strahlen- und

Ebenenbündel zu ihm, welches durch den festen Punkt geht. Übertragen wir nun die in diesem Strahlenbündel mit Beziehung auf die Kugel als Fundamentalfläche geltende Haussbestimmung auf die Kugel selbst, so erscheinen alle Dreiecke unseres Netzes einander congruent bezw. symmetrisch congruent im Sinne dieser Haussbestimmung. Die letztere hat im Falle I elliptischen Charakter, im Falle II parabolischen und im Falle III hyperbolischen Charakter. Demgemäß gelten im Falle I die Formeln der gewöhnlichen sphärischen Trigonometrie, im Falle II die der gewöhnlichen ebenen Trigonometrie und im Falle III die der Gauß-Lobatscheffs-Kag'sche Geometrie, der nichteuklidischen Geometrie im engeren Sinne.

Dabei ist unser Dreiecksnetz das übersichtlichste geometrische Bild der Monodromiegruppe oder η -Function, d. h. der Gruppe linearer Substitutionen, welche ein Zweig η erfährt, wenn man χ alle möglichen geschlossenen Umläufe in seiner Ebene ausführen lässt. Nämlich bei jedem solchen Umlauf geht η von einem Punkte eines schraf-

firten oder nicht schraffirten Dreiecks in den entsprechenden Punkt eines andern schraffirten bezw. nichtschaaffirten Dreiecks über. Jeden solchen Übergang können wir als eine Bewegung auffassen. Also:

Die Konodromiegruppe der Funktion $\eta(x)$ ist dargestellt durch diejenige Gruppe ternärer Bewegungen, bei denen der Mittelpunkt unseres Kerns fest bleibt, und bei welcher die Gesamtheit unserer nebeneinanderliegenden abwechselnd invers und eigentlich congruenten Dreiecke in sich übergeht.

So ist mit jeder unserer Functionen $\eta(x)$ eine ganz bestimmte discontinuirliche Gruppe ternärer Bewegungen verknüpft, bei welcher die Gesamtheit der in Betracht kommenden Dreiecke in sich übergeht, und bei welcher daher auch die Function $x(\eta)$ ungeändert bleibt.

x bleibt also ungeändert, wenn man η irgend einer Substitution $\frac{2\eta + \beta}{\gamma\eta + \delta}$ dieser Gruppe unterwirft, solche Functionen, welche bei einer Gruppe linearer Substitutionen, auf die Variable ausgeübt, immer wieder dieselbe Gestalt, $\tau \eta + \alpha$ $\tau \eta + \beta$, $\tau \eta + \gamma$, $\tau \eta + \delta$, haben;

annehmen, nennen wir „automorphe Funktionen“, also :

In allen unsern Fällen ist x eine eindeutige automorphe Function von η .

Fr. d. 27. Juli 1894.] Nachdem wir gestern als erstes Beispiel der automorphen Funktionen die Dreiecksfunctionen uns ins Gedächtnis zurückgerufen haben, wollen wir heute einige weitere Beispiele automorpher Functionen kennen lernen. Wir werden überhaupt zunächst das Ziel verfolgen, an solchen einzelnen Beispielen unsere Vorstellungskraft so zu üben, dass wir im Stande sind, an ihnen allgemeine Ideen uns zu bilden.

Wir sprechen heute zuerst von dem Beispiel der doppelt periodischen Functionen, d. h. derjenigen Functionen von η , welche ungeändert bleiben, wenn man η einer Substitution der Gruppe

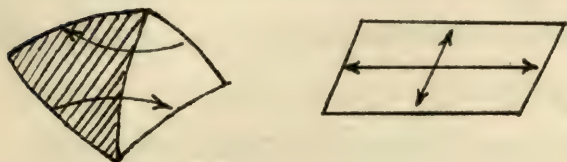
$$\eta' = \eta + m_1 w + m_2 w_2$$

unterwirft, unter m_1, m_2 beliebige positive oder negative ganze Zahlen verstanden. Hier handelt es sich natürlich nur um eindeutige doppeltperiodische Functionen.

Die eindeutigen doppeltperiodischen

Funktionen sind ein neues Beispiel für den Begriff der automorphen Functionen einer Variablen η .

Wir wollen dieses Beispiel näher mit dem gestern besprochenen Beispiel der Dreiecksfunctionen vergleichen. Bei den letzteren besteht der fundamentalbereich in dem Viereck, welches man erhält, wenn man das der positiven Halbebene x entsprechende Kreisbogentriangle an



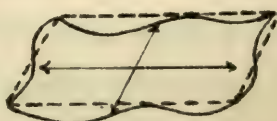
einer seiner Seiten spiegelt; das so entstehende Viereck ist dann insofern ein automorpher Fundamentbereich, als seine 4 Kanten paarweise durch je eine lineare Substitution der Variablen η einander zugeordnet sind, und x ist eine automorphe Function dieses Fundamentbereichs, welche in entsprechenden Punkten des Randes je dieselben Werte besitzt.

Bei den doppelperiodischen Functionen besteht dagegen der Fundamentbereich aus einem Parallelogramm der η -Ebene, dessen gegenüberliegende Kanten je durch eine lineare Transformation, nämlich durch eine close Paral-

telverschiebung der Ebene einander zugeordnet sind, und eine automorphe Funktion des Bereichs ist dadurch charakterisiert, dass sie in Paaren einander entsprechender Randpunkte je dieselben Werte hat. In der That hat dies zur Folge, dass sie auch in jedem weiteren der Polygone, die sich vermöge der die Kanten zusammenordnenden Substitutionen neben das erste lagern, in entsprechenden Punkten genau dieselbe Wertverteilung aufweist.

Bei der Theorie der automorphen Funktionen handelt es sich allemal darum, einen Fundamentalebereich anzugeben, dessen Begrenzungslinien durch die erzeugenden Substitutionen der zugehörigen linearen Substitutionsgruppe paarweise zusammengeordnet sind. Dieser Fundamentalebereich besteht im Falle der Dreiecksfunktionen aus zwei ineinander symmetrischen Hälften. Es ist das aber an sich durchaus nicht nötig, wie das Beispiel der doppelperiodischen Funktionen zeigt.

Hiermit hängt zusammen, dass die Begrenzungslinien des Fundamenta-



Bereichs nur im speziellen Fall vollkommen bestimmte Linien sind, nämlich die Kreisbögen, an denen gespiegelt werden soll, dass sie aber in dem allgemeineren Falle manigfach abgeändert werden können.

Man kann nämlich bei unserem Parallelogramme an irgend einer Stelle des Randes ein Stück abtrennen, wenn man nur Forgeträgt, dasselbe an der entsprechenden Stelle der anderen Randlinie wieder anzutragen.

Ferner aber zeigt sich folgender wesentlicher Unterschied der Dreiecksfunctionen und der doppeltperiodischen Functionen. Denken wir uns das Doppeldreieck im Sinn der analysis situs zusammengesogen und entsprechende Randstücke zusammengeheftet, so bekommen wir eine geschlossene räumliche Fläche, die wir durch continuirliche Deformation in eine Kugelfläche überführen können, d. h. eine Fläche vom Geschlechte $\rho = 0$. Bügen wir jedoch das Periodenparallelogramm der doppeltperiodischen Functionen in derselben Weise zusammen, so ergibt sich zuerst ein röhrenartiges Gebilde, dann beim Zusammenheften der beiden

noch freibleiben den Enden eine Ringfläche vom Geschlechte $p=1$. Also:

Ein weiterer Unterschied der beiden Fälle ist der, dass der Fundamentalbereich bei den Dreiecken das Geschlecht 0, bei den doppelt periodischen Functionen das Geschlecht 1 besitzt.

Dies hat für die zugehörigen automorphen Functionen sofort eine durchschlagende funktionentheoretische Bedeutung.

Schlage zunächst, dass wir allgemein einen solchen Fundamentalbereich, wie wir ihn betrachten, mit linear einander paarweise zugeordneten Kanten geradezu als einen in abstracto geschlossenen Bereich ansiehen dürfen, indem wir entsprechende Punkte des Randes als identisch nehmen, so dass ein Punkt, der an der einen Stelle aus dem Bereich austritt, an der correspondirenden Stelle in ihm wieder eintritt. Auf der so definiten geschlossenen Mannigfaltigkeit kann man dann in genau derselben Weise Functionen betrachten, wie auf einer auch räumlich geschlossenen Riemann'schen Fläche. Die auf diesem geschlossenen Fundamen-

talbereiche eindeutigen Functionen sind dann eben die automorphen Functionen des Fundamentalbereichs. Ihre Theorie ist dann, was ihre gegenseitigen Beziehungen angeht, genau dieselbe, wie die der algebraischen Functionen einer geschlossenen Riemann'schen Fälle, und sie hängt insbesondere in derselben Weise vom Geschlechte ρ des Fundamentalbereichs ab, wie bei einer geschlossenen Riemann'schen Fläche. Hieraus ergeben sich sofort eine Reihe besonderer Sätze für die automorphen Functionen des Doppeldreiecks wie für die des Periodenparallelogramms.

Für das Doppeldreieck existiert eine einfache automorphe Function $x(\eta)$, welche jeden Wert im Fundamentalbereiche genau einmal annimmt, und welche den Fundamentalbereich auf eine vollständige x -Ebene conform abbildet.

Es ist das eben die Variable x von der wir von Hause aus in der Differentialgleichung für η Gebrauch machen. Was wir neu hinzufügen, ist, dass die Existenz dieser Function x aus den Riemann'schen Existenz-

sätzen folgt, welche sich von den räumlich geschlossenen Riemann'schen Flächen ohne Weiteres auch auf die nur in abstracto geschlossenen automorphen Fundamentalbereiche übertragen.

Alle andern Functionen, die auf dem geschlossen gedachten Fundamentalbereich eindeutig sind, sind rationale Functionen von x
[sofern wir das Auftreten wesentlicher Singularitäten im Fundamentalbereich ausschließen, was hinfällig immer geschehen soll].

Für Fälle der doppelpotentiell periodischen Functionen, nun wo das Geschlecht des Fundamentalbereichs $p = 1$ ist, haben die entsprechenden Existenzsätze einen andern Character:

Wir müssen auf die Theorie der algebraischen Gebilde vom Geschlechte $p = 1$ recurrieren, d. h. der sogenannten elliptischen Gebilde. Aus der Theorie der elliptischen Gebilde wissen wir, dass man immer zwei Functionen x und y auf dem Bereiche finden kann, zwischen denen eine Gleichung der Gestalt besteht:

$$y^2 = (x-\alpha)(x-\beta)(x-\gamma)(x-\delta).$$

x nimmt dabei jeden Wert zweimal, y jeden Wert 4 mal auf dem Bereiche an,

und erst das Wertepaar x, y bezeichnet den einzelnen Punkt des Gebildes und also des Fundamentalbereichs in eindeutiger Weise. In Folge dessen sind alle anderen algebraischen Functionen des Gebildes in x und y zusammenangenommen rational.

Also, wenn wir bedenken, dass die auf dem Fundamentallbereiche eindeutigen Functionen, weil sie in entsprechenden Randpunkten dieselben Werte annehmen, sich in der η -Ebene als automorphe Functionen fortsetzen müssen, und dass umgekehrt jede automorphe Function auf dem Fundamentalbereich geschlossen gedacht, eindeutig ist, haben wir die Sätze:

In vorliegenden Fällen, wo das Geschlecht des Fundamentalbereichs $p = 1$ ist, gibt es keine automorphe, d. h. doppelperiodische Function, welche jeden Wert im Periodenparallelogramm nur einmal annimmt, wohl aber kann man noch auf manifache Weise eine Function x finden, welche jeden Wert im Periodenparallelogramm zweimal annimmt. Man kann dann eine zugehörige Function y finden, welche jeden Wert im Periodenparallelogramm 4 mal

annimmt, so dass zwischen dem x und dem y eine Gleichung

$$y^2 = (x-a)(x-b)(x-c)(x-d)$$

Gesucht. Alle andern eindeutigen automorphen Functionen des Bereichs, d. h. alle eindeutigen doppeltperiodischen Functionen sind dann, wenn wir das Auftreten von wesentlich singulären Punkten im Fundamentalbereich ausschließen, rationale Functionen von x und y zusammengekommen.

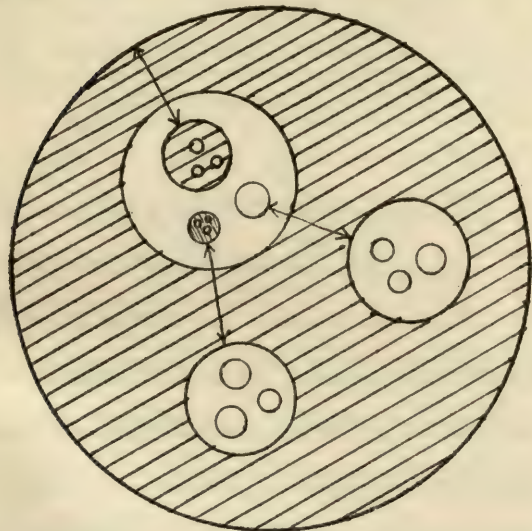
Was die Geschichte betrifft, so sind die Dreiecksfunctionen wesentlich durch Schwarz geschaffen in der öfter genannten Arbeit in Crelle's Journal Bd. 75, 1842. Die doppeltperiodischen Functionen dagegen sind schon länger bekannt und gehen auf Abel und Froebi zurück.

Ein weiteres Beispiel automorpher Functionen, welches wir hier besprechen wollen, kommt zuerst in Riemanns Nachlass vor, wo sich Riemann das Problem stellt, die Gleichgewichtsverteilung der Electrität auf einem Systeme paralleler Cylinder zu untersuchen. Gleichzeitig mit der Veröffentlichung der Riemann'schen Arbeit (1876)

hat Schottky denselben Fall automorpher Funktionen in seiner Dissertation behandelt, welche 1877 in Umarbeitung in Crell's Journal 83 erschienen ist.

Wir denken uns ein Kreisbogenpolygon - um diesen Ausdruck auch dann zu gebrauchen, wo der Bereich gar keine Ecken hat - etwa von einander nicht schneidenden Kreisen begrenzt.

Denken wir uns nun die Fläche des selben an irgend einer seiner begrenzenden Kreislinien gespiegelt, so fällt das Spiegelbild ganz innerhalb der kreisförmigen Öffnung, ohne mit dem ursprünglichen



Polygon zu collidiren. Fahren wir nun fort, beliebig oft an den immer neu entstehenden Öffnungen zu spiegeln, so collidirt niemals ein Polygon mit einem der früheren und wir bekommen also eine durchaus schlichte

Überdeckung der Ebene. Dabei werden die Öffnungen im Polygonyt immer zahlreicher und immer kleiner, und ziehen sich schließlich bei unendlich oft fortgesetztem Spiegelungsverfahren auf Punkte zusammen, die offenbar in unendlicher Menge immer in den Öffnungen jedes einzelnen Polygons liegen. Also:

Unser Polygon ergibt durch Spiegelung eine schlichte Überdeckung der ganzen η -Ebene mit ∞ vielen Grenzpunkten.

Nehmen wir das ursprüngliche Polygon mit einem seiner Spiegelbilder zusammen, so bekommen wir einen Fundamentalbereich, der von $2n - 2$ einander nicht schneidenden Kreisen begrenzt ist, wobei diese Kreise paarweise durch $n - 1$ lineare Substitutionen zusammengeordnet sind, wie in der Figur durch Pfeile angedeutet ist. Helfen wir diese Kreislinien wirklich zusammen, so bekommen wir offenbar eine geschlossene Fläche vom Geschlechte $p = n - 1$, in unserer Figur vom Geschlechte 3. Also:

Der Fundamentalbereich, d. h. unser Doppelpolygon vertritt vermöge der Hu-

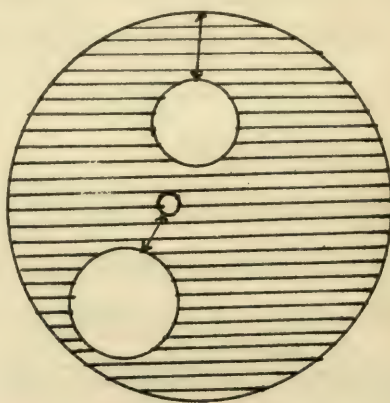
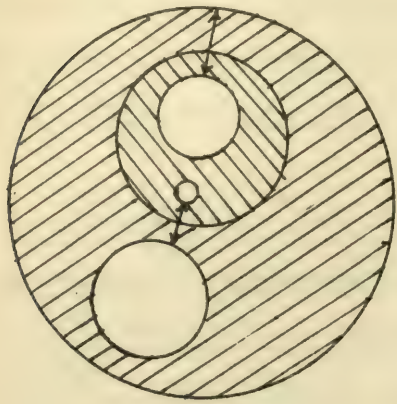
sammengehörigkeit seiner $2n-2$ Begrenzungslinien eine geschlossene Riemann'sche Fläche vom Geschlechte $p = n - 1$.

Aber dies ist nicht etwa die allgemeinste Riemann'sche Mannigfaltigkeit vom Geschlechte $n - 1$. Denn sie besitzt eine Symmetrielinie, nämlich den Kreis, an dem gespiegelt worden ist. Ebenso ist aber auch jeder andere der n Begrenzungskreise des ursprünglichen Polygons eine Symmetrielinie der Mannigfaltigkeit, wie man aus den nebeneinanderliegenden Bereichen der η Figur sofort sieht. Wir haben also $n = p + 1$ Symmetrielinien, durch welche die Mannigfaltigkeit in zwei symmetrische Hälften zerfällt.

Unser Fundamentalbereich mit seinen $2n-2$ paarweise zusammengeordneten Randkurven repräsentirt eine orthosymmetrische Fläche vom Geschlechte $p = n - 1$ mit $p+1$ Symmetrielinien, und alle algebraischen Funktionen, die auf einer solchen orthosymmetrischen Riemann'schen Fläche eindeutig sind, sind, als Funktionen von η betrachtet, die automorphen Funktionen, welche zu unserer Gleichseiteilung der η -Ebene gehören.

Wo. d. 30. Juli 1894.] Heute wollen wir das letzte Beispiel der vorigen Stunde einer leichten Verallgemeinerung unterziehen, wie sie zuerst von Poincaré im Jahre 1882 vorgenommen worden ist.

Indem wir das von $p+1$ Kreisen begrenzte Polygon an irgend einem seiner Begrenzungskreise spiegelten, bekamen wir in dem Doppelpolygon einen Fundamentalbereich, der von p Paaren einander zugeordneter Kreise begrenzt war:



Derselbe stellte ein orthosymmetrisches Gebilde vom Geschlechte p mit $p+1$ Übergangslinien vor.

Die Verallgemeinerung Poincaré's ist

nun folgende. Er sagt, man braucht gar nicht erst von dem Halbbereiche, dem Kreisbogenpolygon, auszugehen, um von ihm aus durch Spiegelung zum Vollbereiche überzugehen, sondern man kann von vornherein einen Vollbereich in die Betrachtung einführen, mit 2 p Rändern, welche einander paarweise durch gewisse lineare Substitutionen zugeordnet sind. Wir repräsentieren dadurch nicht mehr nur symmetrische Gebilde vom Geschlechte p, sondern auch allgemeine Gebilde vom Geschlechte p.

Bei diesen allgemeinen nicht symmetrischen Bereichen hat die Verfügung, den Bereich durch Kreisbögen zu begrenzen nur eine unvergleichliche Bedeutung, genau wie bei den doppelperiodischen Funktionen die Verabredung, dass wir das Periodenparallelogramm geradlinig begrenzen. Wir können in jedem Paare zusammengeordneter Kreise immer den einen Kreis durch eine innerhalb gewisser Grenzen durchaus willkürlich geschlossene Curve ersetzen, wenn wir nur immer auch den andern Kreis durch die vermöge der linearen Substitution genau entsprechende Curve ersetzen. Das wesentliche an dem

Fundamentalbereich sind eben nicht die zufälligen Begrenzungslinien, sondern die zugehörigen linearen Substitutionen.

Unser Fundamentalbereich lässt sich nun eindeutig auf eine räumlich geschlossene Riemann'sche Fläche vom Geschlechte $p =$ etwa, indem wir $p = 2$ nehmen, auf einen Doppeling - beziehen. Wie verhält sich die Variable η , in deren Ebene der Fundamentalbereich gezeichnet ist, als Funktion auf der geschlossenen Riemann'schen Fläche?

Weil die verschiedenen nebeneinanderliegenden Bereiche der η -Ebene alle aus dem anfänglichen durch lineare Substitution von η hervorgehen, wird das η auf der geschlossenen Riemann'schen Fläche die Eigenschaft haben, bei irgend welchen Umläufen sich immer linear gebrochen zu reproduzieren, und es genügt eben deshalb auf unserer Riemann'schen Fläche einer Differentialgleichung 3. Ordnung mit algebraischen Coefficienten.

Unser Fundamentalbereich besitzt weder Windungspunkte im Innern, noch Ecken auf dem Rande, um welche herum mehr als

zwei Bereiche liegen. Die Umgebung einer jeden beliebigen Stelle des algebraischen Gebildes wird also in der η -Ebene durch die schlichte volle Umgebung eines Punktes vorgestellt. Daraus folgt:

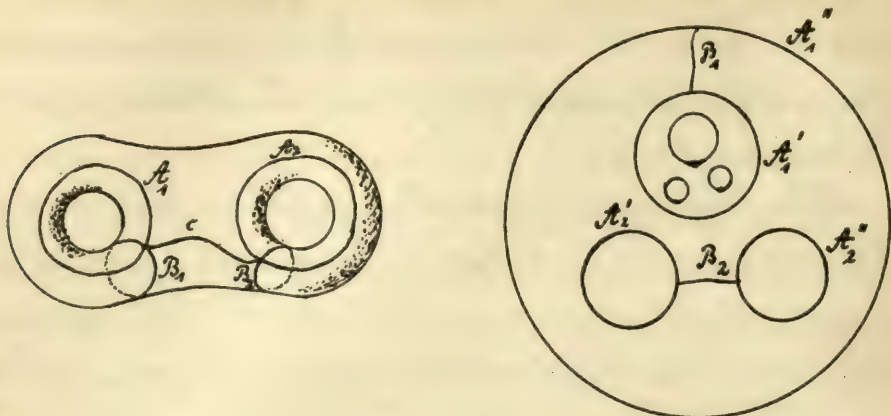
Die Differentialgleichung für η hat auf dem algebraischen Gebilde keinerlei singuläre Punkte, und ist also eine von den $3p-3$ nirgends singulären Differentialgleichungen, die auf dem Gebilde existieren.

Wir haben ja seiner Zeit alle solche unverzweigten Differentialgleichungen explizit hingeschrieben, wobei sich $3p-3$ accessorische Parameter herausstellten; für eine bestimmte Wahl dieser accessorischen Parameter muss gerade unser η sich als Lösung ergeben.

Entsprechend den Entwickelungen der letzten Stunde werden wir jetzt diese Betrachtungen umkehren, indem wir fragen, wie sich eine auf dem algebraischen Gebilde gegebene Function als Function in der η -Ebene verhält.

Die zwei einander zugeordneten Ränder R_1', R_1'' des Fundamentalbereichs entsprechen auf der geschlossenen Fläche das

rechte und das linke Ufer eines die Fläche



nicht zerstückenden Rückkehrschmittle A_1 , ebenso den Rändern A'_1, A'_2 die beiden Ufer eines andern den ersten nicht treffenden Rückkehrschmittle A_2 . Wir vervollständigen dieses Schmittsystem auf der Fläche noch durch die zugehörigen Schritte B'_1 und B'_2 , sowie durch das Verbindungsstück c .

Wir sehen, dass ein Weg A_1 oder A_2 auf der Riemann'schen Fläche in der η -Ebene sich als ein geschlossener Weg darstellt, da ja die beiden Ufer des Schmittle B'_1 bzw. B'_2 , welche durch den Weg verbunden werden, auch in der η -Ebene zusammenliegen. Ein Weg B'_1 oder B'_2 dagegen verbindet nicht zusammenliegende Ränder des η -Bereichs.

Durchläuft man β_1 oder β_2 mehrmals, so setzt sich der entsprechende Weg in der η -Ebene weiter in die Nachbarbereiche fort, indem er, ohne einen seiner früheren Punkte nochmals zu überstreichen, immer mehr einem bestimmten Grenzpunkte des Polygonnetzes zutreibt. Die functionentheoretische Folge dieser Thatsachen ist diese:

Unsere η -Function leistet als uniformisirende Variable Folgendes: Fede auf der Riemann'schen Fläche unverzweigte Function, welche bei Durchlaufung der beiden Curven α_1 und α_2 ihren ursprünglichen Wert wieder annimmt, ist in unserem η eindeutig.

Z. B.: alle algebraischen Functionen der Fläche $p=2$

$x, \quad s = \sqrt{(x-a)(x-b)(x-c)(x-d)(x-e)(x-f)}, \quad \text{Rat}(x, s)$
lassen sich eindeutig durch die eine Variable η ausdrücken, genau, wie bei $p=1$ durch das überall endliche Integral u.

Aber nicht genug damit:

Auch ein Abel'sches Integral des Gebildes $p=2$, welches so normirt ist, dass es bei der Durchlaufung der Wege α_1 und α_2 verschwindende Perioden liefert, und welches

überdies keine logarithmischen ∞ Punkte, sondern nur algebraische Pole besitzt, ist in der Variablen η geschrieben eine eindeutige Function.

η ist also für eine große Functionsclasse auf dem zugehörigen algebraischen Gebilde $p=2$ uniformisirende Variable.

Dā erhebt sich nun die Frage, ob man eine solche uniformisirende Variable η von dem geschilderten Verhalten zu jedem beliebigen vorgegebenen algebraischen Gebilde $p=2$ finden kann.² Wir kommen damit zu dem „Fundamentaltheorem“, welches ich für den hier vorliegenden Fall zuerst in Math. Ann. 19. 1882 ausgesprochen habe.

Wir denken uns auf der Riemann'schen Fläche vom Geschlechte p \neq einander nicht kreuzende Rückkehrschnitte $t_0, t_1, t_2 \dots t_p$ gezogen, welche die Fläche nicht zerfallen. Es fragt sich dann, ob es zu einer so zerschnittenen Fläche immer eine η -Function giebt, welche von ihr eine Abbildung der im Vorhergehenden beschriebenen Art liefert. Das Fundamentaltheorem behauptet nun:

Auf jeder gegebenen Riemann'schen Fläche

vom Geschlechte p , auf der wir beliebige p einander nicht kreuzende und die Fläche nicht zerstückende Rückkehrschnitte angenommen haben, gibt es eine und nur eine η -Function, welche gerade eine solche Abbildung liefert, wie wir sie haben wollen.

Auf den Beweis können wir an dieser Stelle noch nicht eingehen; nur durch Constantenzählung wollen wir wenigstens das Erfülltsein einer notwendigen Bedingung nachweisen.

Wir zählen nämlich einerseits die Mannigfaltigkeit aller in der angegebenen Weise zerschnittenen algebraischen Gebilde, andererseits die Mannigfaltigkeit der wesentlich unterschiedenen η -Bereiche der gewollten Art ab.

Wir wissen, dass es ∞^{3p-3} algebraische Gebilde vom Geschlechte p gibt. Diese Mannigfaltigkeit wird dadurch nicht erhöht, dass wir hier solche algebraischen Gebilde als verschieden anzusehen haben, welche in verschiedener Weise zerschnitten sind. Denn die Anzahl der verschiedenen Verschneidungen ist zwar eine unendliche, aber doch nur

eine discrete.

(Es ist dies, dass ein algebraisches Gebilde vom Geschlechte $\rho = 3p - 3$ Modulen hat, nicht etwa damit zu confundiren, dass eine unverzweigte Differentialgleichung auf gegebenen algebraischen Gebilden auch gerade $3p - 3$ Parameter besitzt. Diese Übereinstimmung ist zwar merkwürdig, doch zufällig, d. h. man kennt noch keinen inneren Grund für die selbe).

Unser η -Bereich ist durch Angabe der p erzeugenden Substitutionen vollständig charakterisiert; das gibt $3p$ Constanten. Hier von gehen aber noch 3 Constanten deswegen ab, weil wir die ganze Figur nach einer beliebigen linearen Transformation umwerfen können, ohne dass sie aufhört demselben algebraischen Gebilde zu entsprechen.

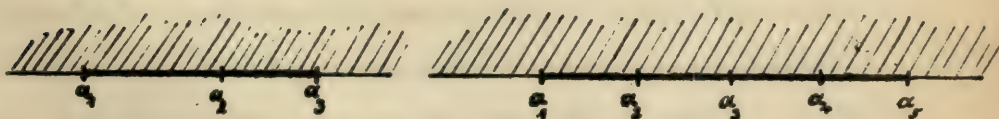
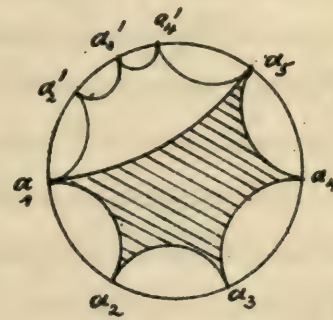
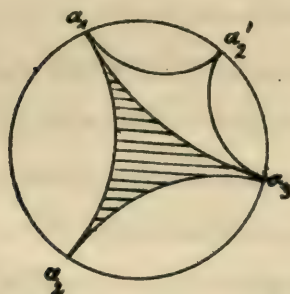
Also stimmt die Constantenzahl der η -Function mit der Modulzahl der Riemann'schen Fläche genau überein, so dass hierin kein Widerspruch gegen das Fundamentaltheorem liegt.—

Lassen sie mich in meiner Aufzählung

von Beispielen eindeutiger automorpher Functionen weiter gehen.

In seinen ersten Mittheilungen im Jahre 1882 hat Poincaré besonders den Fall behandelt, wo ein Grenzkreis existirt, wie im Falle der Dreiecksfunktionen mit den Winkeln $\frac{\pi}{L}, \frac{\pi}{K}, \frac{\pi}{N}$, wo $\frac{1}{L} + \frac{1}{K} + \frac{1}{N} < 1$.

Denken wir z. B. an den Fall der Modulfunktionen, wo ein Dreieck mit den Winkeln 0, 0, 0 vorliegt, dessen Seiten alle auf dem Grenzkreise senkrecht stehen, und dessen Ecken auf dem Grenzkreise selbst liegen.



statt des Dreiecks können wir uns ein Polygong von einer größeren Eckenzahl, z. B. 5,

construiren, dessen Ecken sämtlich auf ein und demselben Kreise liegen, den Winkel O haben, und dessen Seiten auf dem Kreise orthogonal stehen. Spiegeln wir dieses Polygon dann an einer seiner Seiten, so liegt das neue Polygon ganz ausserhalb des ersten, ferner ganz im Innern des festen Kreises, mit Ausnahme der Ecken, welche auf dem festen Kreise liegen. Dasselbe gilt, wenn wir das erhaltene Doppelpolygon weiter spiegeln. Wir bekommen also eine schlichte Überdeckung des Innern des festen Kreises mit Polygonen, und es ist der feste Kreis der Grenzkreis dieser Polygonüberdeckung.

Ganz ebenso ist es, wenn die Ecken des Polygons von O verschiedene Winkel $\frac{\pi}{2}, \frac{3\pi}{4}, \frac{2\pi}{3}$ u. s. w. haben und also auch nicht auf dem festen Kreise liegen, wenn nur die Seiten des Polygons in ihrer Verlängerung auf dem festen Kreise orthogonal stehen. Also:

Wenn wir von einem einfach zusammenhängenden einfach berandeten überall schlichten Polygon ausgehen, dessen Kreisbegrenzseiten gegen einen festen Kreis normal stehen und dessen sämtliche Winkel ganzzahlige Teile von

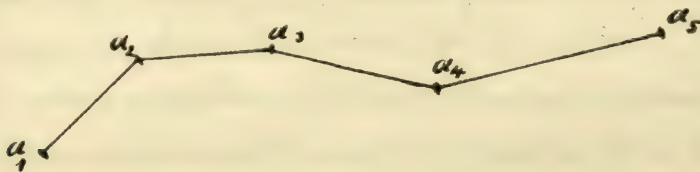
It sind, dann gibt die Reproduction dieses Polygons nach dem Gesetz der Symmetrie nur zu einer einfachen Überdeckung des Kreisinnern Anlass, und wenn wir jetzt das Polygon auf eine Halbebene x abbilden, so ist x (zusammen mit allen Funktionen von x welche höchstens bei a, a_1, \dots, a_s verzweigt sind) in der η -Ebene eindeutig.

(Bei der Angabe über die verzweigten Funktionen sind die Winkel der Kürze halber = 0 angenommen worden).

Di. d. 31. Juli 1894.] Diese Funktionen mit Grenzkreis, welche durch Abbildung eines geeigneten Kreisbogenpolygons auf eine Halbebene entstehen, sind nun von Poincaré in demselben Sinne verallgemeinert worden, wie die Riemann-Schottky'schen Figuren mit nur Grenzpunkten, von denen wir vorher sprachen. Nämlich auch hier stellt sich Poincaré unmittelbar den Vollbereich durch direkte Definition her, so dass die Beschränkung auf solche Bereiche, die durch eine Symmetrielinie in zwei symmetrische Hälften zerfallen jetzt wegfällt. Da kann man dann auch Bereiche von beliebigem p herstellen.

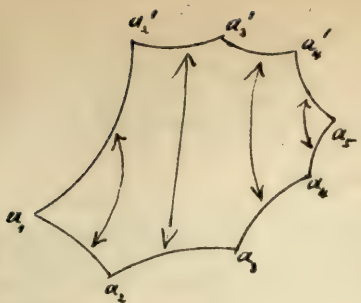
Poincaré's ursprüngliche Leistung im Jahre 1882 bestand darin, dass er die Figuren, welche für den symmetrischen Fall $p=0$ bekannt waren, für den unsymmetrischen Fall $p=0$ und überhaupt für beliebiges p verallgemeinerte, dass er also für diese Fälle Bereiche konstruierte, welche gleichfalls bei analytischer Fortsetzung einen ausgerechneten Kreis zum Grenzkreis haben.

Es sei - um mit dem Falle $p=0$ zu beginnen - in der Ebene x eine Reihe beliebig gelegener Punkte a_1, a_2, \dots, a_n (in Fig. n-6) gegeben



Man verbinde dieselben durch ein von a_1 über a_2, a_3, \dots, a_n reichendes Einzchnittssystem.

Eine Funktion η nun, deren Verzweigungspunkte bei a_1, a_2, \dots, a_n liegen, wird die zerschnittene x -Ebene auf einen von $2(n-1)$ einander paarweise linear zugeordneten Randkurven begrenzen, welche den Fundamentalbereich abbilden. Und zwar werden die Winkel dieses Fun-

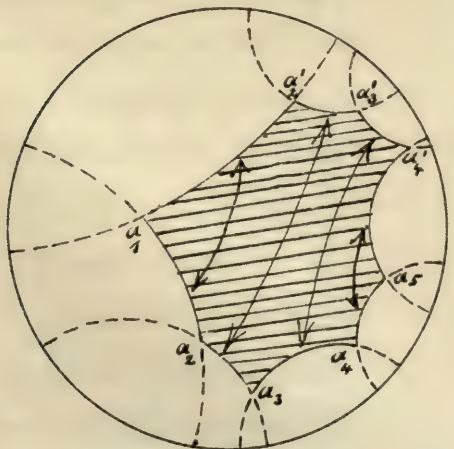


damentalbereichs in folgender Weise mit den Exponentendifferenzen $\delta_1, \delta_2, \dots, \delta_n$ bei a_1, a_2, \dots, a_n zusammenhängen:

Der Winkel des Bereichs bei

a_1 wird $= \delta_1 \cdot 2\pi$, der bei $a_n = \delta_n \cdot 2\pi$ sein, dagegen wird der Winkel bei a_2 erst mit dem Winkel bei a_2' zusammen den Betrag $\delta_2 \cdot 2\pi$ geben und entsprechend bei a_3, \dots, a_{n-1} .

Nun sei umgekehrt ein Fundamentalebereich η in der Weise gegeben, dass seine Begrenzung von $2(n-1)$ Kreisbögen gebildet ist, welche sämtlich zu einem bestimmten festen Kreise orthogonal stehen, welche ferner einander in der durch die Pfeile der Figur gegebenen Aufeinanderfolge durch solche lineare Substitutionen zugeordnet sind, welche den festen Orthogonalkreis wieder in sich selbst über

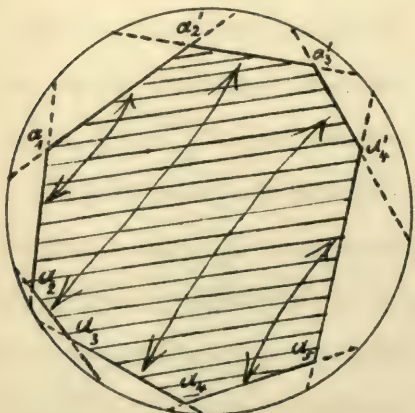


führen, und dass die Winkel bei a_1 und a_n , sowie

die Summen der Winkel bei α_2 und α_2' , bei α_3 und α_3' u. s. w. ganzzahlige Teile von 2π , et-
wa $\frac{2\pi}{L_1}$, $\frac{2\pi}{L_n}$ $\frac{2\pi}{L_2}$ u. s. w. sind.

Vermöge des Riemann'schen Existenzsatzes
stellt ein solcher Bereich in der That die Abbil-
dung einer geeignet eingeschrittenen η -Ebene dar.

Und nun kommt es darauf an, sich zu überzeu-
gen, dass bei der analytischen Fortsetzung $X(\eta)$
eine eindeutige Function bleibt, d. h. dass die
Bereiche, welche sich jetzt vermöge der erzeu-
genden Substitutionen nebeneinanderlegen,
nie mit einander collidiren. Am leichtesten
wohl sieht man dies ein, wenn man die Figur



der η -Ebene zunächst
auf der η -Kugel deu-
tet, und von da aus
durch Projection von
dem Mittelpunkt des
Kerns aus etwa auf
die Ebene des Haupt-
kreises überträgt.

Man kann sich der
Bequemlichkeit halber

den Hauptkreis als Aequator der Kugel vorstel-
len. Feder der Begrenzungskreise schneiden nun

(auf der Kugel betrachtet) den Aequatorkreis orthogonal, seine Ebene steht also auf der Aequatorebene senkrecht, und ist somit der Ebene der Kugel parallel.

Der Kern hat also ein Centrum, nämlich im Unendlichen, und die Projection von hier aus, ergibt die gewünschte Figur. In derselben stellen sich die Seiten des Polygons geradlinig dar. Führt man eine hyperbolische Maßbestimmung mit dem Hauptkreis als unendlich fernem Gebilde ein, so haben die Winkel des geradlinigen Polygons in dieser Maßbestimmung gemessen genau dieselbe Größe, wie vorher die Winkel des Kreislogengpolygons in gewöhnlicher Weise gemessen, und die linearen Substitutionen, durch welche die Kanten einander zugeordnet sind, sind "Bewegungen" im Sinne der Maßbestimmung. Und nun zeigt sich, und dies bemerk't zu haben ist die eigentliche Leistung von Poincaré (obgleich er ja die Sache ganz anders ausdrückt.)

Fedes geradlinige Polygon der hyperbolischen Ebene, bei welchem die Kanten paarweise durch nichteuklidische Drehungen zur Deckung gebracht werden können und welche

derartige Winkel besitzt, dass die zusammengehörige Winkel eine Summe liefern, die ein ganz zahliger Teil von 2π ist, ergibt, durch die zugehörigen Bewegungen reproduziert, eine einfache Überdeckung des Innern des Fundamentalte-
gelschnitts, für welche der Regelschnitt selbst
eine Grenzcurve bildet. — Man sieht:

Diese Formulirung des Satzes reicht über das unmittelbare Bedürfnis hinaus, indem man es ja im Augenblick nur mit einer ganz bestimmten Zusammenordnung der Kanten zu thun hat, während in dem ausgesprochenen Satze die Zusammengehörigkeit der Kanten in der That beliebig gedacht ist, was zu anderen Schnittsystemen und zu höherem p des algebraischen Gebildes hinfährt.

Es fragt sich nun, nachdem wir sehen, dass die Function η eines Bereiches von der geschilderten Beschaffenheit für x - und für alle nur in a_1, a_2, \dots, a_n in bestimmter Weise verknüpften Functionen von x uniformisierende Variable ist, ob es nicht auch hier ein Fundamentaltheorem betr. die Existenz eines solchen gibt?

In der That hat dies Poincaré nachgewiesen, d. h. er hat gezeigt, dass eine irgendwie gegebe-

in \mathbb{X} -Ebene mit n Verzweigungspunkten a_1, a_2, \dots, a_n , welche eine ganz beliebige Lage aber vorgeschriebene Exponentendifferenzen haben, welche reciproke Werte ganzer Zahlen sind, immer und nur auf eine einzige Weise auf einen derartigen Bereich conform abgebildet werden kann, wie er beschrieben worden ist.

Wir wollen diese Behauptung an dieser Stelle auch nur wieder durch Abzählung der Constanten bestätigen.

Dabei müssen wir reelle Constante zählen und also eine willkürliche complexe Constante mit 2 Einheiten in Rechnung stellen.

In der \mathbb{X} -Ebene sind als Constanten die $n-3$ unabhängigen Doppelverhältnisse der n Verzweigungspunkte anzusehen, was da jedes dieser Doppelverhältnisse beliebig complex sein kann, 2^{n-6} reelle Parameter gibt.

Zweitens sehen wir, wie viele unabhängige Constanten innerer η -Bereich enthält: Wenn der Grenzkreis irgendwie, etwa als der Einheitskreis festgelegt ist, so kann man zunächst die n Punkte a_1, a_2, \dots, a_n

jeden willkürlich wählen, was 2 reelle Parameter gibt. Durch die Bedingung, orthogonal zum Hauptkreis zu sein, sind dann die Kreisbögen $a_1 a_2$, $a_2 a_3$, ..., $a_{n-1} a_n$ eindeutig bestimmt. Ferner ist durch α_0 die Richtung des von a_n ausgehenden Bogens $a_n a_{n-1}$, sowie durch die nichteuklidische Länge von $a_{n-1} a_n$ auch diejenige von $a_n a'_{n-1}$ gegeben, d. h. der Punkt a'_{n-1} ist bereits festgelegt. Durch α_{n-1} und den Winkel bei a_{n-1} ist ferner der Winkel des Bereichs bei a_{n-1} , durch die Länge von $a_{n-2} a_{n-1}$, die von $a'_{n-1} a'_{n-2}$ gegeben, folglich auch die Lage des Punktes a'_{n-2} . So sind schließlich auch alle weiteren Punkte festgelegt.

Aber es kommt noch die Bedingung hinzu, dass das Polygon sich schließt, dass also der in der eben geschilderten Weise schließlich zu konstruierende Punkt a'_1 mit a_1 zusammenfällt — was 2 reelle Bedingungen gibt — und dass der Winkel in a_1 gerade die vorgegebene Größe $\alpha_1 + 2\pi$ hat — noch 1 weitere Bedingung.

So vermindert sich die Zahl der reellen Constanten in unserer Figur auf $2n - 3$.

Davon sind aber noch 3 Constanten unver-
sprechlich, da ja noch ∞^3 lineare Transfor-
mationen vorgenommen werden können, welche
den Hauptkreis in sich selbst überführen
und also die inneren Maassverhältnisse
der Figur ungeändert lassen.

Also bekommen wir $2n - 6$ wesentliche Con-
stanten unseres η Bereiches, genau so viele,
wie sie das algebraische Gebilde besitzt.

Wie wird nun η von dem x abhängen?
Ein η , welches nur bei a_1, a_2, \dots, a_n mit
den Exponentendifferenzen $\lambda_1, \lambda_2, \dots, \lambda_n$ vor-
zweigt ist, genügt jedenfalls einer Diffe-
rentialgleichung

$$\text{L} \eta \text{I}_x = \frac{1}{(x-a_1)(x-a_2) \dots (x-a_n)} \left\{ \frac{\frac{1-\lambda_1^2}{2}}{x-a} (a_1-a_2)(a_1-a_3) \dots (a_1-a_n) \right. \\ \left. + \dots + A_x^{n-4} B_x^{n-3} + \dots \right\}$$

mit $n-3$ accessorischen Parametern A, B, \dots

Sicher ist η als Function von x durch eine
Differentialgleichung 3. Ordnung der hier
angeschriebenen Form gegeben, in welcher
die accessorischen Parameter A, B, \dots uns
noch unbekannt sind.

Und das Fundamentaltheorem sagt:
Man kann diese accessorischen Parameter

auf eine und nur auf eine Weise so festlegen, daß die Abbildung, welche das η von der zerschnittenen x -Ebene entwirft, die geforderten Eigentümlichkeiten hat. Genau so hatte sich die Sache oben, bei dem ersten der von uns aufgeführten Fundamentaltheoreme gestellt. Wir werden sagen, — und das passt zugleich auf unsere ferneren Entwickelungen — :

Finden wir die accessorischen Parameter der Differentialgleichung den Fundamentaltheoremen zufolge gerade auf eine Weise so festlegen können, daß ein η -Bereich von den gewünschten geometrischen Eigenschaften besteht, so ordnen sich die Fundamentaltheoreme in den allgemeinen Gedankengang dieser Vorlesung ein, welcher ja überhaupt darauf ausging, die Parameter der Differentialgleichung durch Eigentümlichkeiten der konformen Abbildung festzulegen.

Do. d. 2. Aug. 1894.]

Heute wollen wir nun die entsprechenden Fundamentalbereiche für beliebiges Geschlecht zu construiren.

Wir betrachten eine η -Function auf einer Riemann'schen Fläche von höherem Geschlecht

10. Dieselbe sei relativ zur Fläche etwa an n bestimmten Punkten verzweigt, und zwar, da mit überhaupt von eindeutiger Umkehrbarkeit des η die Rede sein kann, mit Exponentendifferenzen, welche die reciproken Werte ganzer Zahlen sind. Nimmt man die letzten unendlich gross, so haben wir einfache logarithmische Verzweigungen.

Der Einfachheit halber aber wollen wir hier von der Existenz solcher Verzweigungspunkte abssehen; wir setzen also $n=0$ und beschäftigen uns nur mit solchen η -Funktionen, welche auf der Riemann'schen Fläche unverzweigt oder genauer gesagt: nirgends singulär sind. Wir wissen, dass es ∞^{3p-3} solcher Funktionen gibt. Wir fragen nun, ob es unter diesen ∞^{3p-3} unverzweigten η -Funktionen vielleicht eine solche gibt, welche eindeutig umkehrbar ist, und deren Fundamentalbereich bei der umgrenzten analytischen Fortsetzung einen Grenzkreis besitzt? Ich habe hierauf in Ann. 20 geantwortet:

Die nähere Untersuchung zeigt, dass hier in der That wieder ein Fundamentalsatz existiert, dass unter den ∞^{3p-3} nirgends sin-

singularen η -Functionen, die auf einer beliebig gegebenen Riemann'schen Fläche existieren, immer gerade eine und nur eine ist, die in der Weise eindeutig umkehrbar ist, dass der Bereich der η -Ebene analytisch reproduziert auf einen bestimmten Grenzkreis zustrebt.

Hierbei, sowie bei den folgenden Erläuterungen ist stets $p \geq 2$ zu nehmen. Für $p=1$ sieht die Sache etwas anders aus, und vollends für $p=0$ hören die nirgends singulären η -Functionen überhaupt auf zu existieren.

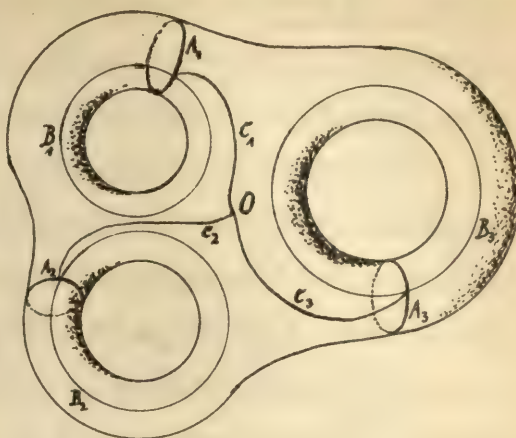
Wir wollen uns zunächst davon Rechenschaft geben, wie der Fundamentalbereich einer nirgends singulären η -Function im Allgemeinen aussiehen muss, und beginnen zu dem Zwecke damit, auf der Riemann'schen Fläche selbst eine gewisse Art der Zerschneidung zu vorabreden. Denn von der Zerschneidungsweise der Riemann'schen Fläche wird es abhängen, in welcher Weise die Ränder des Bildes in der η -Ebene aufeinander folgen, und in welcher Weise sie einander zugeordnet sind.

Wir haben bereits kurz nach Pfingsten in dieser Vorlesung der kanonischen Zerschneidung einer Riemann'schen Fläche gedacht.

Um diese kanonische Terschneidung auszuführen, construiren wir erst p einander nicht scheidende und die Fläche nicht zerstückende Rückkehrschritte A_1, A_2, \dots, A_p z. B. die 3 Meridiancurven auf dem dreifachen

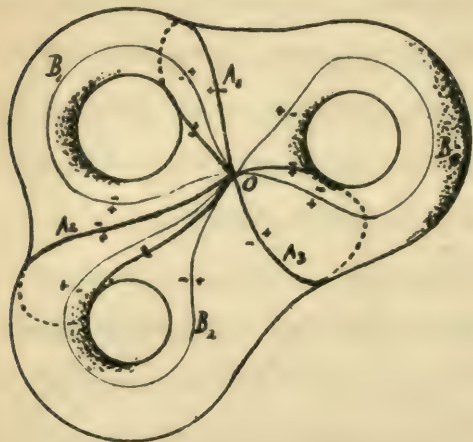
Ring nebenstehender Figur. Dann verbinde man die beiden Ufer eines jeden dieser Schnitte A_i durch einen die Fläche nicht zerstückenden Querschnitt B_i , welcher keinen der andern Schnitte, außer A_i , überschreitet. Man kommt so zu p weiteren Curven $B_1, B_2 \dots B_p$, in unserer Figur den drei Breitencurven. Endlich ziehe man von einem beliebig gewählten Punkte O der Riemann'schen Fläche p Schnitte c_1, c_2, \dots, c_p nach den Punkten, wo sich die Schnitte A_i mit den zugehörigen B_i kreuzen.

Dies ist die von Riemann eingeführte kanonische Terschneidung, durch welche die Fläche in ein einfach gerandetes einfach zusammenhängendes Flächenstück verwandelt wird.



Dieses Schmittsystem lässt sich noch so vereinfachen, daß man die Stücke α vollständig einspaart, worauf alle die Schritte A_r, B_r sich im Punkte O schneiden.

Man mag sich etwa in O eine Person denken, welche die elastisch über die Fläche gespannten Fäden A_r, B_r vermittelst der in ihren Kreuzungspunkten befestigten Fäden α_r an sich heranzieht, bis sie alle die Fäden A_r, B_r selbst in der Hand vereinigt.



Wenn man nun am Rande des so entstandenen einfach zusammenhängenden Flächenstückes entlang geht, die Fläche zur Rechten, so läuft man, wenn man die beiden Ufer eines jeden der Schritte in passender

Weise als positives und negatives Ufer bezeichnet, der Reihe nach an folgenden Rücken entlang:

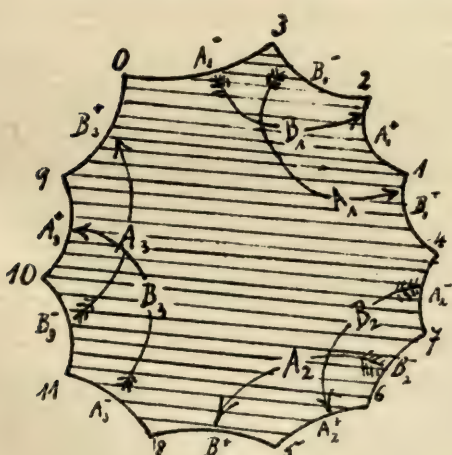
$A_1, B_1, A_1^+, B_1^+, A_2, B_2, A_2^+, B_2^+, \dots, A_p, B_p, A_p^+, B_p^+$.

Wir haben also $4p$ Randstücke, von denen

immer je zwei als verschiedene Ufer derselben Schnittes zusammenliegen.

Bei der Abbildung in der η -Ebene werden wir also ebenfalls einen von 4 p Krandcurven begrenzten Bereich erhalten; aber diejenigen Ränder, die auf der Riemann'schen Fläche genau aneinander passen, liegen jetzt aufeinander, nur noch durch lineare Substitutionen verbunden, wie es die Pfeile in der Figur angeben.

Wir bekommen in der η -Ebene einen Be-



reich, der von 4 p Kan-
ten begrenzt ist, wel-
cher zu je 4 Kreuzweise
zusammengehören.

Die Winkel, unter de-
nen unsere 4 p Kan-
ten zusammenstoßen,
bilden zusammenge-
nommen die Umgebung
des nichtsingulären

Punktes 0 ab, und liefern daher ein Summe
= 2π .

Die lineare Substitution, welche z. B. die Kante A_1^- in die Kante A_1^+ überführt,

erhält man offenbar, wenn man die algebraischen Variablen der Funktion η auf der Riemann'schen Fläche vom negativen Ufer des Schnittes B_1 , ohne Überschneidung eines anderen Schnittes nach dem positiven Ufer laufen lässt d. h. etwa längs des Schnittes B_1 . Wir wollen nun diesen Weg auf der Riemann'schen Fläche sowohl, wie die Substitution, welche η dabei erleidet, mit dem griechischen Buchstaben B_1 bezeichnen.

Ich verstehe also unter B_1 denjenigen Weg auf der Riemann'schen Fläche, der längs B_1 von A_1 nach A_1^{-1} führt, oder auch die lineare Substitution, die η längs dieses Weges erleidet; ebenso unter A_1 diejenige Durchlaufung des Weges A_1 , welche von dem negativen Ufer des B_1 zum positiven Ufer von B_1 hinführt, oder auch diejenige lineare Substitution, welche η bei Durchlaufung dieses Weges erfährt.

Wenn wir nun die Substitution B_1 anwenden, so geht der Eckpunkt 0 des Bereichs in den Eckpunkt 1 über.

1 geht durch A_1^{-1} in 2, dieses durch B_1^{-1} in 3, und 3 durch A_1^{+1} in 4 über. Also
Durch die Substitution $B_1^{-1} A_1^{-1} B_1 A_1^{+1}$ geht aus dem Punkt 0 der Figur der Punkt 4 hervor.

Fährt man in derselben Weise fort, so geht 4 in 5, 6, . . . u. s. w. über, bis endlich der Punkt 12 mit 0 zusammenfällt, was nur dadurch geschehen kann, dass die entsprechende Substitution die Identität ist, da ja 0 kein singulärer Punkt ist, also nicht Fixpunkt irgend einer wirklichen Substitution sein kann.

Wir finden so die Relation:

$$B_1^{+1} A_1^{-1} B_1^{-1} A_1^{+1} B_2^{+1} A_2^{-1} B_2^{-1} A_2^{+1} \cdots B_p^{+1} A_p^{-1} B_p^{-1} A_p^{+1} = 1.$$

Also:

Aus unserer conformen Abbildung lesen wir insbesondere ab, was wir früher (von Pflugens)
durch Umgänge auf der Riemann'schen Fläche
selbst bewiesen hatten, dass eine gewisse Auf-
einanderfolge unserer Substitutionen die Iden-
tät liefert.

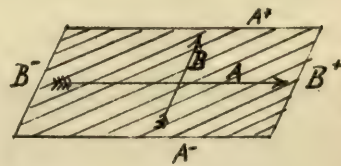
All diese Angaben gelten für jede beliebige unserer ∞^{3p-3} unverzweigten η -Funktionen, denn das wir unseres Fundamentalbereich auf S. 481 so gezeichnet haben, dass die Ebene nur schlicht überdeckt, war nur der Bequemlichkeit halber geschehen, und von der Existenz eines Grenzkreises ist gar nicht die Rede gewesen. Nun aber werden wir eine η -Funktion durch Forderung ganz bestimmter

Eigenschaften der konformen Abbildung auswählen:

Das besondere η hat die Eigenschaft, dass erstens sein Bereich durchaus schlicht ausgedehnt ist, und dass zweitens vor allen Dingen die zugehörigen Substitutionen A, B einen gewissen Kreis fest lassen.

Was wird aus unserem η -Bereich im Falle $p=1$, den wir bisher ausgeschlossen haben? Da werden wir es nur mit 4 Rändern zu thun haben, also mit einem Viereck, dessen Ränder kreuzweise verbunden sind. Das aus einem solchen Viereck entspringende Bereichnetz besitzt im Allgemeinen zwei Grenzpunkte, zwischen denen herum es die Ebene auch mehrfach überdecken kann. Nur in einem Falle gibt es bloss einen Grenzpunkt - und dann natürlich immer schlichte Überdeckung der Ebene - den wir gern ins Unendliche legen werden: es ist der Fall, dass der η -Bereich ein gewöhnliches Periodenparallelogramm ist. Dieser besondere Fall entspricht ganz genau unserem Grenzkreisfall bei höherem Geschlecht.

Man kann unsere Figur für $p>1$ gerade-



zu als Verallgemeinerung des für $p=1$ bekannten Periodenparallelogramms ansehen, nur dass statt des Grenzpunktes, der im Falle $p=1$ vorliegt, ein Grenzkreis gesetzt wird, und dass also die Zusammengehörigkeit der Kanten nicht durch euklidische Bewegungen, sondern durch nicht-euklidische Bewegungen vermittelt wird.

Dieser Unterschied ist geometrisch darin begründet, dass in der euklidischen Geometrie nur bei einem Vierecke die Winkelsumme $= 2\pi$ sein kann, dass wir also, wenn wir ein Polygon von $4 \leq p > 4$ Seiten konstruieren wollen, uns durchaus der nichteuklidischen Geometrie bedienen müssen, wo die Forderung erfüllbar ist.

Wir nannten bereits das Fundamentaltheorem, dass es unter den ∞^{3p-3} unverzweigten η -Familien irgend einer vorgegebenen Riemannschen Fläche immer eine und nur eine gibt, die den gestellten Bedingungen genügt.

Wir bestätigen das hier nur durch Constantenzählung.

An unserem η -Bereich sind das wesentliche nur die $2p$ Substitutionen A_v, B_v , von denen aber nur $2p-1$ unabhängig sind,

da die 2 p te schon vermöge der Fundamentalrelation aus den übrigen folgt. Fede enthält, da sie den festen Kreis in sich selbst überführen soll, nur 3 reelle Parameter, was im Ganzen $6p - 3$ reelle Constanten in der Gruppe gibt. Nun sind hiervon aber noch 3 reelle Constanten als unwesentlich abzuziehen, da man die Figur noch, ohne die inneren Kraftverhältnisse derselben zu ändern, jeder der ∞^3 linearen Transformationen unterwerfen kann, durch welche der feste Kreis in sich selbst übergeht. Wir haben also tatsächlich $6p - 6$ wesentliche reelle Constanten in der Gruppe, in vollem Einklang damit, dass die Riemann'schen Fläche $3p - 3$ komplexe Moduln enthält.

Die Figur der η -Ebene hängt von ebensoviel wesentlichen reellen Constanten ab, als die allgemeine Riemann'sche Fläche vom Geschlechte p .

Wir wollen nun schliesslich noch sehen, was wir mit der Aufstellung unserer jetzigen η -Function gewonnen haben, wie weit die uniformisirende Kraft derselben reicht? Wir sehen:

Alle geschlossenen Wege der Riemann'schen Fläche, die sich nicht von selbst auf Punkte zusammenziehen lassen, verwandeln sich in der η -Ebene in offene Wege.

Die Folge davon ist die:

Alle Functionen der Riemann'schen Fläche, welche auf der Fläche unverzweigt sind, aber dadurch vieldeutig sein können, daß sie bei Periodenumläufen sich nicht reproduzieren, alle diese Functionen werden in unserem η eindeutig.

Beispiele für solche vieldeutige Functionen, die in η eindeutig werden, sind die algebraischen Functionen, dann alle Abel'schen Integrale, welche keine logarithmischen Unstetigkeitspunkte haben, ferner alle die ∞^{3n-3} auf der Fläche unverzweigten η -Functionen u. s. w. Das ist noch um vieles günstiger als bei der am Montage betrachteten Function.

Fr. d. 3. Aug. 1894.] Mit diesen Beispielen mag es genug sein; wir haben mit denselben die verschiedenen Typen eindeutiger automorpher Functionen, die es gibt, allerdings in keinerlei Hinsicht erschöpft.

Dagegen wollen wir noch auf den Zusammenhang der automorphen Functionen mit den übrigen Gegenständen unserer Vorlesung hinweisen. Eine Seite dieses Zusammenhangs, nämlich die Festlegung der willkürlichen Parameter in der Differentialgleichung durch transzendentale Bedingungen, haben wir schon betont. Dafür haben wir die Bedeutung der eindeutig umkehrbaren η -Functionen für die Theorie der allgemeinen η -Functionen gestern nur erst gestreift.

Es sei F irgend eine allgemeine η -Function auf der Riemann'schen Fläche. Verzweigt oder sonst singulär sei dieselbe auf der Fläche nur in den Punkten a, b, c, \dots , wobei ausdrücklich auch irreguläres Verhalten in diesen Punkten zugelassen sein soll, und die Exponentendifferenzen keinen Bedingungen unterworfen werden.

Ausserdem kann dieses F auf der Riemann'schen Fläche auch noch beliebige Nebenpunkte haben.

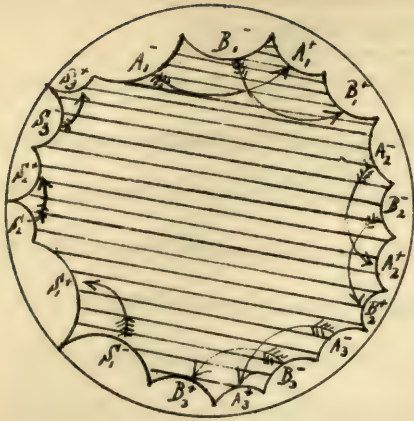
Ich behauple dann, dass man immer eine bestimmte zweite η -Function so einführen kann, dass in diesem η nicht nur die

algebraischen Functionen der Fläche, sondern
auch die Function H eindeutig ist.

Dies Theorem haben wir für $p=0$ bereits in der vorletzten Vorlesung ausgesprochen, für $p>0$ gestern, doch nur für den Fall, daß keine Verzweigungspunkte a, b, c, \dots existieren. Man kann nun leicht beides combiniren (Poincaré, 1882 in den Comptes Rendus)

Wir denken uns auf der Riemann'schen Fläche zuerst, wie neulich, ein kanonisches Querschnittssystem construit. Dann ziehen wir noch von dem Punkte O aus nach den n singulären Punkten $a, b, c, \dots n$ Einschnitte, etwa alle in dem Winkelraum zwischen B_p^+ und A_1^- verlaufend.

Man hat nun unsere Function η so zu wählen, dass sie auf der Fläche in den Punkten a, b, c, \dots je die Exponentendifferenz 0 besitzt, und dass der zugehörige η -Bereich die Ebene schlicht überdeckt und bei der Repro- duction einen Grenzkreis aufweist. Der η -Be- reich wird dann den in umstehender Figur angedeuteten Character haben, d. h. es werden zwischen die Ufer B_p^+ und A_1^- der Fig. auf S. 481 noch n Kantenpaare



sich einschieben, welche den Ufern der n Einschnitte entsprechen, und zwar werden dieselben zu je zweien parabolische Kippel mit Winkeln 0 bilden, welche sich bis an den Grenzkreis selbst heranziehen.

Dieselben Überlegungen nun, welche uns am Ende des vorigen Semesters den Satz ergaben, dass jede Dreiecksfunction $\eta(\lambda, u, v, x)$ durch die Riemann'sche Function $\eta(0, 0, 0, x)$ eindeutig ausdrückbar ist, geben uns jetzt den Satz:

Fedr nur in a, b, c, \dots verzweigte η -Funktion der Fläche zusammen mit der sie tragen den Riemann'schen Fläche kann durch das genannte Hilfs- η eindeutig dargestellt werden.

Wir kommen also dazu, die uniforme Darstellung für die Lösungen der linearen Differentialgleichungen als ein allgemein erreichbares Ziel ins Auge zu fassen, so dass also unsere Theorie der automorphen Funktionen für die Theorie der linearen Differentialglei-

chungen eine ganz neue Perspektive eröffnet,
welche die Aufgabe der nächsten Zukunft sein
muss.

Um so lieber möchte ich Ihnen heute vorführen, wie weit eigentlich die Theorie der automorphen Functionen entwickelt ist, besonders was in der letzten Zeit, in den letzten 2 - 3 Jahren in dieser Richtung geschehen ist. Wir teilen diesen Bericht in eine Reihe von Punkten.

1.) Aufstellung aller brauchbaren Bereiche, welche eindeutige Umkehr ermöglichen. Dieser Punkt kann als erledigt angesehen werden.

2.) Auffassung des Bereichs als Riemann'sche Fläche.

Fasst man den Bereich als geschlossene Mannigfaltigkeit auf, so lassen sich auf ihm alle die für gewöhnliche Riemann'sche Flächen geltenden Existenzsätze in gleicher Weise, wie auf diesen, durch das Schwarz - Neumann'sche Grenzverfahren beweisen (cfr. u. A. Ritter, Math. Ann. 41, §. 2).

Auf einer Riemann'schen Fläche existieren nach diesen Existenzsätzen algebraische Functionen, Abelsche Integrale, ferner existieren η -Functionen u. s. w. Auf dem automor-

phen Fundamentalbereich werden das Functionen, die sich bei den zugehörigen linearen Substitutionen invariens verhalten - d. h. automorphe Functionen -, oder welche sich nur um additive Constanten ändern, oder endlich solche, welche bei den linearen Substitutionen des fundamentalen η selbst lineare Substitutionen - aber andere - erleiden. Diese letzteren wollen wir als „homomorphe Functionen“ bezeichnen.

Fedenfalls, wenn der Bereich als Riemann'sche Fläche gilt, steht die Existenz zugehöriger automorpher und homomorpher Functionen fest.

Wenn der Bereich speciell ein solcher ist, wie wir ihn zu Ende der gestrigen oder zu Beginn der heutigen Stunde in's Auge gefasst haben, dann sind alle diese Functionen in der Variablen η eindeutig. -

3.) All dies ist mehr eine geometrische Formulierung der Probleme und der Möglichkeit ihrer Lösung. Es wird sich nun aber auch wesentlich um die analytische Durchführung derselben handeln; und zwar sind es wesentlich zwei Probleme:

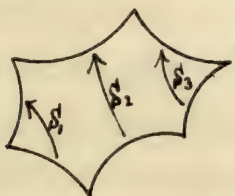
a. Aufstellung der Gruppe $\eta' = \frac{\alpha_i \eta + \beta_i}{\gamma_i \eta + \delta_i}.$

Wir wünschen, nachdem der Fundamentalbereich geometrisch charakterisiert und gezeichnet ist, die zugehörige Substitutionsgruppe wirklich numerisch aufzustellen.

C. Formelmäßige Darstellung der zugehörigen automorphen und homomorphen Funktionen.

Was ist in diesen beiden Richtungen bisher geleistet?

4.) ad a). Wenn wir einen Fundamentalbereich geometrisch gegeben haben, dann ist es



keine Schwierigkeit, diejenigen Substitutionen S_1, S_2, S_3 u. s. w. wirklich numerisch hinzuschreiben, durch welche die Kanten zusammengeordnet sind.

Die Gruppe können wir dann immer erzeugen, indem wir die Substitutionen, welche die Kanten des Bereichs paarweise zusammenordnen, in beliebiger Wiederholung beliebig combiniren.

Diese Erzeugung der Gruppe genügt uns aber nicht; wir möchten ein äußeres Kennzeichen aller Substitutionen haben, die der

Gruppe angehören, um diese Substitutionen auch analytisch oder arithmetisch in ihrer Gesamtheit übersiehen zu können.

So ist es z. B. bei den elliptischen Modulfunktionen geleistet, wo die Substitutionen der Gruppe dadurch gekennzeichnet sind, dass $\alpha_i, \beta_i, \gamma_i, \delta_i$ ganze Zahlen sind, die der Relation $\alpha_i \delta_i - \beta_i \gamma_i = 1$ genügen.

Bei allgemeineren Gruppen hat man das entsprechende nur erst in einzelnen Fällen erreicht, nicht einmal bei allen Dreieckegruppen. Seit diesem Problem hat sich in der letzten Zeit besonders Fricke beschäftigt, und dasselbe in einer Reihe einzelner Fälle durch Heranziehung schwieriger zahlentheoretischer Entwicklungen gelöst. Man vergl. in dieser Hinsicht seine Arbeiten in Math. Ann. 42. 1892. „Zur gruppentheoretischen Grundlegung der automorphen Functionen“ und die neuerdings in den Gött. Nachr. erschienene Note: „Idealtheorie und Substitutionsgruppen.“

5.) ad 6.) Für die explizite Darstellung der automorphen und homomorphen Functionen hat man bis jetzt nur die Poincaré

schen Reihenentwicklungen (C. R. 1882).

Der Grundgedanke derselben, wenn auch bei Poincaré nicht in dieser Form ausgesprochen, ist der, dass man homogene Variablen einführt, y_1 in $y_1 : y_2$ spaltet, welche sich binär und unimodular substituieren:

$y_1^{(i)} = \alpha_i y_1 + \beta_i y_2$ $y_2^{(i)} = \gamma_i y_1 + \delta_i y_2$,
 und dass man nun zuerst automorphe Formen von y_1, y_2 bildet, nicht Funktionen, welche letztere erst als Quotienten zweier Formen herauskommen. Zu solchen automorphen Formen gelangt Poincaré, indem er gewisse in Bezug auf alle Substitutionen der Gruppe symmetrische Summen, eine Art von Partialbruchreihen bildet, von der Form:

$$\sum_i \text{Rat} \left(\frac{\alpha_i y_1 + \beta_i}{\gamma_i y_1 + \delta_i} \right) \cdot \frac{1}{(\gamma_i y_1 + \delta_i y_2)^n}.$$

Für hinreichend große Zahlenwerte n convergiert eine solche Summe absolut d. h. unabhängig von der Reihenfolge der Glieder. Wenn man dann y_1, y_2 einer Substitution der Gruppe unterwirft, so ändern die Glieder der Summe nur ihre Reihenfolge, die Summe selbst bleibt also ungeändert, d. h. sie ist eine automorphe Form von y_1, y_2 :

Analog gebildet sind die homomorphen Reihen, worauf ich aber hier nicht eingehen kann.

Poincaré ist es in der That gelungen, automorphe Formen, d. h. homogene Functionen von y_1, y_2 , die sich bei den Substitutionen der unimodularen Gruppe nicht ändern, aufzustellen, und zwar in der Gestalt von Partialbruchreihen. Die automorphen Functionen müssen hieraus durch Quotientenbildung abgeleitet werden. Analoges gilt für die homomorphen Functionen.

6. Kritik der Poincaré'schen Reihen.

So schön auch die Poincaré'schen Reihen sind, so unmittelbar sie insbesondere die Functionaleigenschaft der dargestellten Functionen hervortreten lassen, so sind sie doch noch nicht eigentlich das, was man sucht, nämlich Formeln, mit denen man rechnen kann.

Die Poincaré'schen Reihen entsprechen dem was in der Theorie der elliptischen Functionen die Eisenstein'schen Reihen sind, die auch den Vorzug haben, den automorphen Charakter der in Betracht kommenden Formen ohne Weiteres hervortreten zu lassen.

Aber diese Eisenstein'schen Reihen sind doch für die wirkliche Rechnung äußerst unbequem, ja ganz unbrauchbar. Statt ihrer benutzt man in der Theorie der elliptischen Functionen für Rechnungszwecke andere Reihen, nämlich die \mathcal{V} -Reihen, welche der mannigfachsten Umformungen fähig, alle Eigenschaften der elliptischen Functionen als Identitäten abzuleiten gestatten.

Während wir nun für die automorphen Functionen die Verallgemeinerung der Eisenstein'schen Reihen tatsächlich besitzen, existiert es was olen \mathcal{V} -Reihen entsprechendes noch nicht.

Die Poincaré'schen Reihen sind wie die Eisenstein'schen Reihen für die praktische Rechnung unbrauchbar, es fehlt das Analogon der elliptischen \mathcal{V} -Reihen, auf die es eigentlich ankommt.

Zufälligerweise bezeichnet Poincaré gerade seine eignen Reihen leider als Θ -Reihen, was wieder Anlass zu Missverständnissen geben kann.

Y.) Ich möchte endlich geradezu an einem Beispiel ausführen, was meiner Ansicht nach das Ziel der Theorie der automorphen Fun-

tionen sein müsste.

Sehr viele Beispiele der Mechanik - wie die Pendelbewegung, die Drehung eines festen Körpers um seinen Schwerpunkt, oder die Drehung eines Kreisels auf einer feststehenden Spur - führen auf elliptische Funktionen.

Tacobi und seine Schüler haben nun explizite Formeln gegeben, um die Lage des Körpers und die Zeit durch elliptische J -Funktionen einer Hilfsvariablen auszudrücken.

Diese Formeln sind gewissermaßen ideal, denn man kann mit Hilfe derselben auf Grund klassischer mechanischer Rechnung tabellarisch die Änderung der Lage des Körpers mit der Änderung der Zeit darstellen.

Andere Probleme der Mechanik führen dagegen auf hyperelliptische Integrale, z.B. die Bewegung eines Kreisels, dessen Spitze auf einer horizontalen Ebene gleitet. Da wäre nun eine unserer eindeutig umkehrbaren η -Funktionen die naturgemäße uniformisierende Hilfsvariable.

Hier muss es mit Hilfe der zu einem Gebilde $p=2$ gehörigen automorphen Funktionen möglich sein, ebenfalls die Lage

des Körpers und die Zeit durch eindeutige Functionen einer Hilfsvariablen η ausdrücken, und so lange das noch nicht gemacht und in alle Lehrbücher aufgenommen, und allgemein bekannt ist, ich meine nicht nur für das Kreiselproblem, sondern für alle anderen analogen Probleme der Mechanik auch, so lange hat die Theorie der automorphen Functionen noch nicht ihr wirkliches Ziel erreicht.

[No. d. 6. Aug. 1894]. Wir wollen heute und morgen zum Schluss noch ganz kurz über den

Beweis des Fundamentaltheorems berichten, d. h. über den Beweis des Satzes, dass es zu jeder beliebig vorgegebenen Riemann'schen Fläche mit gegebenen Verzweigungspunkten auf ihr eine und nur eine η Function von den vorhin bezeichneten Eigenschaften gibt, z. B. dass es zu jeder Riemann'schen Fläche ein und nur ein unverzweigtes eindeutig umkehrbares η mit Grenzkreis gibt.

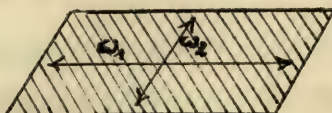
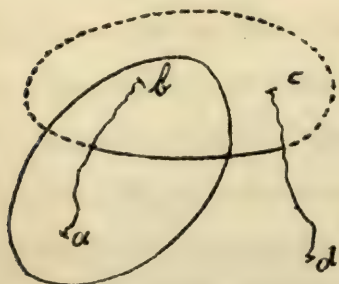
Eine allgemeine Beweismethode für diese Theoreme ist die von mir und Poincaré gleichzeitig fundene Continuitätsmethode, welche

ich zuerst in Math. Ann. 21 skizzierte, und welche dann Poincaré in Acta math. II näher ausgeführt hat.

Ausser dieser Continuitätsmethode, welche allgemein anwendbar ist, existieren für den Fall eines Grenzkreises noch zwei ganz anders geartete Methoden, auf die ich später eingehen.

Heute will ich Ihnen den Grundgedanken des Continuitätsbeweises vor Augen führen. Dazu genügt es, wenn ich ein Ihnen bereits von anderer Seite her vollständig bekannte Beispiel nach der Continuitätsmethode behandle. Es fallen bei dem Beispiel nur gewisse den allgemeinen Fall betreffende Schwierigkeiten fort, wegen deren Sie Math. Ann. 40 vergleichen mögen.

Denken Sie sich eine zweiblättrige Riemann'sche Fläche mit 4 Verzweigungspunkten, und denken Sie sich dieselbe



durch zwei Rückkehrsschritte in kanonischer Weise zerschnitten. Es wird nun behauptet, dass man die so zerschnittene Fläche auf eine und im Wesentlichen nur auf eine Weise auf einen parallelogrammatischen Fundamentbereich conform abbilden kann, d. h. dass die beiden Perioden w_1, w_2 , welche das Parallelogramm characterisieren, bis auf eine willkürliche beiden gemeinsame multiplikative Constante wohlbestimmt sind. Denn offenbar kommt es nur auf die Gestalt des Parallelogramms, nicht auf seine Größe und Lage in der η -Ebene an. Wir können also den Fundamentalbereich, wenn wir von allem Unwesentlichen absiehen, einfach durch das Periodenverhältnis $w = \frac{w_2}{w_1}$ characterisieren.

Bei der Riemann'schen Fläche andererseits kommt es nur auf das Doppelverhältnis der 4 Verzweigungspunkte und auf die Anordnung — nicht auf die Gestalt — der 2 Rückkehrsschritte an. Aber dieselben 4 Verzweigungspunkte geben ja 6 verschiedene Doppelverhältnisse, je nach der Reihenfolge, in der man sie berücksichtigt; da

aber diese Reihenfolge für die Fläche gleichgültig ist, so werden wir zur Charakterisirung der Riemann'schen Fläche nicht das Doppelverhältnis selbat, sondern eine symmetrische Function der 6 Doppelverhältnisse zu benutzen haben, nämlich die rationale absolute Invariante \mathfrak{F} . Durch Angabe der Größest \mathfrak{F} ist die Lage der 4 Verzweigungspunkte, also die Riemann'sche Fläche, über der x -Ebene, bis auf eine beliebige lineare Transformation von x vollständig bestimmt.

Wir behaupten also, dass eine Riemann'sche Fläche mit irgend einer bestimmten Invariante \mathfrak{F} und mit bestimmter kanonischer Verschneidung sich auf ein Periodensporallogramm mit einem einzigen wohl bestimmten Wert w abbildet, dass zu jedem Werte \mathfrak{F} in Verbindung mit irgend einer kanonischen Verschneidung ein und nur ein Wert von w gehört.

Dass dieser Satz richtig ist, wissen wir aus der Theorie der elliptischen Functionen. Jetzt aber wollen wir uns auf den Standpunkt stellen, auf dem wir in der Theorie der automorphen Functionen tatsächlich stehen, dass wir nämlich keine Formeln zum Beweise des Satzes

zur Verfügung haben und zusehen müssen, wie wir anderweitig die Existenz eines und nur eines Parallelogramms mögen beweisen können.

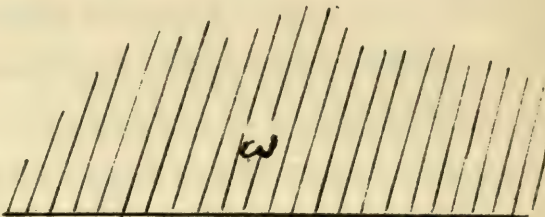
Wir vergleichen zu dem Zwecke die beiden Mannigfaltigkeiten, die eine die aller möglichen wesentlich verschiedenen Riemann'schen Flächen, und die andere die aller möglichen wesentlich verschiedenen Parallelogrammbereiche.

Alle wesentlich identischen Parallelogramme sind wie wir sagten durch einen bestimmten Wert von w characterisiert. Wir können uns also die Mannigfaltigkeit aller Fundamentalbereiche geradezu durch die Mannigfaltigkeit aller Werte w veranschaulichen, die wir geometrisch in einer w -Ebene ins deuten.

Es zeigt sich aber, dass diese Mannigfaltigkeit eine Grenze hat. Wir pflegen das Periodenparallelogramm w_1, w_2 so zu zeichnen, dass die Richtung w_2 links von der Richtung w_1 liegt, dass also $w = \frac{w_2}{w_1}$ einen positiven imaginären Bestandteil hat. Von dieser Verfüzung aus gibt es keinen andern stetigen Übergang zu

der andern denkbaren Verfügung, w_2 rechts von w_1 anzunehmen, als indem man w einmal reell werden lässt, w_1 und w_2 also in derselben Richtung annimmt. Da artet aber das Parallelogramm so aus, dass es entweder functionentheoretisch unbrauchbar wird, oder doch wenigstens kein Gebilde vom Geschlechte ω mehr repräsentirt. Die reellen Werte von w sind also eine natürliche Grenze für unsere Mannigfaltigkeit. Also:

Die Mannigfaltigkeit aller Parallelogramme wird uns durch die Punkte der positiven Halbebene w dar gestellt.



Diese Mannigfaltigkeit wollen wir M' nennen.

Versuchen wir nun, auch die andere Mannigfaltigkeit der zerschnittenen Riemann'schen Flächen uns unter einem geometrischen Bilde vorzustellen.

Die Riemann'sche Fläche, ohne Rücksicht auf die Zerschneidungsart, wird uns einfach durch den Wert der absoluten Invariante

\mathfrak{F} repräsentirt. \mathfrak{F} kann alle möglichen Werte annehmen, jedesmal bekommt man eine Riemann'sche Fläche; nur für $\mathfrak{F} = \infty$ bekommt man eine ausartende Fläche von niedrigem Geschlecht, indem zwei Verzweigungspunkte zusammenrücken.

Wir werden uns also alle möglichen Riemann'schen Flächen als Mannigfaltigkeit durch die Punkte einer ganzen Ebene vorstellen, in der nur der Punkt ∞ als Grenze der Mannigfaltigkeit gilt.

Nun aber ist für unsere jetzige Betrachtung nicht die Riemann'sche Fläche schlechthweg maßgebend, sondern wir haben zwei Riemann'sche Flächen mit denselben Verzweigungspunkten doch noch als verschieden anzusehen, wenn sie in verschiedener Weise zerschnitten sind. Da auf derselben Riemann'schen Fläche immer noch unendlich viele wesentlich verschiedene kanonische Terschneidungen möglich sind, so haben wir uns die \mathfrak{F} -Ebene unendlich oft überdeckt zu denken, um ein Bild der Mannigfaltigkeit aller verschiedenen zerschnittenen Riemann'schen Flächen zu erhalten.

Wir fragen nun, ob und wie diese unendlich vielen Blätter über der \mathcal{F} -Ebene mit einander zusammenhängen? kann man etwa ein kanonisches Schnittsystem stetig in ein anderes überführen, indem man die 4 Verzweigungspunkte der zweiblättrigen Fläche irgendwie um einander herumlaufen lässt, zu ihren alten Stellungen zurück, oder so, dass sie ihre Plätze nur vertauscht haben?

D.h. kann man durch stetige Aenderung, durch Umläufe des \mathcal{T} um gewisse singuläre Punkte aus einem der Blätter über der \mathcal{F} -Ebene in ein anderes gelangen? Oder kurz gesagt:

Wie verhalten sich die verschiedenen Verschneidungen der zweiblättrigen Riemann'schen Fläche gegenüber Kanadromie der Verzweigungspunkte?

Man findet in der Theorie der elliptischen Funktionen, dass die unendlich vielen Blätter, welche wir den verschiedenen Verschneidungen der Riemann'schen Fläche entsprechend über der \mathcal{F} -Ebene construiert haben, alle zusammenhängen, nämlich durch Verzweigungspunkte, welche bei $\mathcal{F} = 0, 1, \infty$ liegen.

Die so entstehende, über der \mathcal{F} -Ebene ausgebreitete und durchaus zusammenhängende Fläche mit ihren unendlich vielen Blättern

stellt durch ihre Punkte die Mannigfaltigkeit M vor, welche wir in Betracht zu ziehen haben, die „Mannigfaltigkeit der kanonisch gezeichneten zweiblättrigen Riemann'schen Flächen mit 4 Verzweigungspunkten“.

Für Beweisen ist nun, dass jedem Punkt von M' ein und nur ein Punkt von M entspricht.

Die Beweisgründe unseres Continuitätsbegriffes sind nun folgende

1. Jedem Punkt von M' entspricht ein und nur ein Punkt von M .

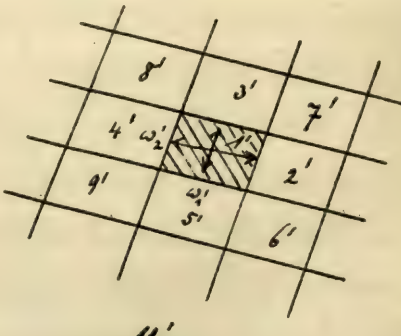
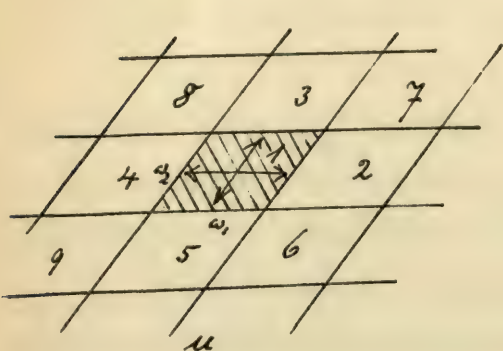
Denn es folgt dies einfach aus den Riemann'schen Existenztheoremen, bezogen auf das als Riemann'sche Fläche gedachte Fundamentalparallelogramm.

2. Wir nehmen an, was allerdings eines strengen Beweises bedarf - dass bei stetiger Änderung des Punktes M' auch der Punkt M sich stetig fortbewegt, das heifst, dass einer stetigen Änderung des Parallelogramms in seiner Gestalt eine stetige Änderung der Riemann'schen Fläche entspricht. Man vergleiche hierzu eine eben nun in den math. Annalen zum Abdruck gelangende Arbeit von Ritter.

3. Das „Lemma von der Eindeutigkeit“: Nämlich wir sagen. Wenn überhaupt einem Punkt von M ein Punkt in M' entspricht, dann entspricht ihm gewiss auch nur ein einziger Punkt.

Dieses Lemma, welches wir jetzt beweisen wollen, ist der Kern des ganzen Continuitätsbeweises.

Gesetzt es entsprächen ein und derselben in der selben Weise zerschnittenen Riemann'schen Fläche zwei verschiedene Periodenparallelogramme mit verschiedenen Werten von $w = \frac{w_2}{w_1}$. Dann sind die beiden Parallelogramme auf die R. Fl., also auch aufeinander conform ein-eindeutig bezogen, und zwar so, dass entsprechenden



Randpunkten dieses einen Parallelogramms entsprechende Randpunkte im andern Parallelogramm correspondieren.

Wenn aber die Ausgangsparallelogramme s und s' auf einander in dieser Weise conform bezogen sind, ist nach dem Prinzip der analytischen Fortsetzung auch jedes weitere Parallelogramm des ganzen Netzes auf das entsprechende Parallelogramm des andern Netzes in genau derselben Weise bezogen. Daraus folgt aber, daß die ganze Ebene u auf die Ebene u' ein-eindeutig conform bezogen ist, bis in beliebige Nähe der beiderseitigen unendlich fernen Punkte, für die man unmittelbar nichts aussagen kann, weil man sie bei beliebig wiederholter analytischer Fortsetzung der Parallelogramme nie erreicht.

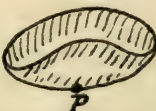
Wenn aber zwei Ebenen u und u' durchaus ein-eindeutig conform aufeinander bezogen sind mit Ausnahme beliebig vieler disreter Punkte, für deren Umgebung man nichts aussagen kann - hier die beiderseitigen Punkte ∞ - so zeigt man in der Functionentheorie, daß ein solches u' notwendig eine lineare Function von u ist, also in unserem Falle, wo die Unendlichkeitspunkte zusammengeordnet sind, eine ganze lineare Function von u : $u' = c u + c'$.

Dann sind aber die beiden Parallelogramme tatsächlich von einander nicht wesentlich verschieden, indem man das eine durch Verschiebung, Drehung und Vergrößerung aus dem andern erhält, entgegen unserer ersten Annahme.

Um nun zum Continuitätsbeweis selbst zu kommen, denken wir uns irgend einen Punkt P' in M' markirt. Demselben entspricht nach 1) ein und nur ein Punkt P in M .

Grenzen wir nun um den Punkt in M' ein denselben allseitig umgebendes kleines Gebiet \mathcal{G}' ab, so wird demselben nach 2) auch in M ein dem Gegenstenden Punkt allseitig umgebendes kleines Gebiet \mathcal{G} entsprechen. Denn würde das Gebiet \mathcal{G} den Punkt P in M nicht allseitig umgeben, so wäre dies ohne Unterbrechung der Stetigkeit nur so möglich, dass der Bereich \mathcal{G} entweder längs einer durch P oder in der Nähe von P verlaufenden Linie sich umklappt

- was dem Eindentigkeitslemma wi-



derspricht - oder so, dass einer Schar von einander und den Punkt P umschließenden in \mathcal{G}' gezogenen Curven in \mathcal{G} eine Schar von Cur-

ren entspreche, die alle durch P gingen.



Dann würde aber der eine Punkt P einer ganzen Curve in S' entsprechen, was ebenfalls dem Eindeutigkeitslemma widerspricht.

Denken wir uns nun dass das Gebiet S' in M' sich allseitig stetig ausdehnt, bis es schliesslich die ganze w -Halbebene ausfüllt.

Es ist nun zu zusehen, in welcher Weise sich dabei der Bereich S auf der ∞ -blättrigen Riemann'schen Fläche über der F -Ebene erweitert, ob er schliesslich jeden beliebigen Punkt derselben, so weit er auch vom Ausgangspunkt P und vom Ausgangsblatt entfernt liegt, überstreichen muss, oder ob es Punkte - außer dem Grenzpunkt ∞ bez. den in den verschiedenen Blättern gelegenen Grenzpunkten ∞ - gibt, welche nie erreicht werden.

Dass ein Punkt nicht erreicht würde, könnte, da ein Umklappen des Bereiches S , oder ein Stehenbleiben desselben nach den Überlegungen der vorigen Seite unmöglich ist, nur so eintreten, dass die Grenze des Bereiches S , bevor sie den Punkt erreicht, dadurch

aufgehalten wird, dass sie sich einer den Punkt ausschliessenden Curve asymptotisch nähert. Eine solche Grenzcurve in \mathcal{F} müsste aber notwendig der Grenze der w -Halbebene entsprechen, nicht inneren Punkten, da sie ja sonst bei der Ausdehnung des Bereichs wirklich einmal erreicht würde.

Nun zeigt aber Poincaré - worauf wir hier nicht näher eingehen können - dass den Punkten der rollen w -Ause, oder allgemeiner der Grenze der Mannigfaltigkeit M , in der Mannigfaltigkeit M nur Elemente von einer um 2 niedrigeren Dimension, d. h. hier isolirte Punkte entsprechen können, nämlich die Punkte α der Blätter über der \mathcal{F} -Ebene.

Insbesondere Poincaré hat dieses Verhalten der Grenzen der beiden Mannigfaltigkeiten genauer untersucht, und darauf hingewiesen, dass auch diese einander tatsächlich correspondieren.

Punkte können nun aber das Wachsen des Bereiches \mathcal{F} bis zu einem beliebigen Punkte hin nicht aufhalten.

Da hiernach bei stetiger Ausdehnung

des Bereichs über die ganze w.-Halbebene der Bereich \mathcal{G} jeden auf endlichem Wege erreichbaren Punkt der ∞ -Glättigen Riemann'schen Fläche über der F -Ebene ein- und nur einmal überstreicht, so entspricht nicht nur jedem Element von M' ein Element von M , sondern auch umgekehrt jedem Elemente von M ein und nur ein Element von M' !

Das ist aber nichts Anderes als unser Fundamentalsatz.

Genau so, wie hier bei unserem speziellen Beispiel der elliptischen Functionen ist der Continuitätsbeweis in allen den andern allgemeinern Fällen zu führen. Allerdings stellen sich dabei im Berreff der Grenzfälle noch weitere Schwierigkeiten ein, worauf wir hier nicht eingehen können. Überhaupt ist es notwendig, dass der Continuitätsbeweis in seiner Allgemeinität noch einmal sorgfältig durchgearbeitet wird, da auch die Untersuchungen von Paincaré in Acta math. 44, obwohl sehr viel eingehender als die meinen, doch jedenfalls noch nicht genügend alle denkbaren Ausnahmefälle erschöpfen.

Di. d. 7. Aug. 1894.] Der gestrige Continuitätsbe-

weis, der auf alle automorphen Fundamentaltheoreme anwendbar ist, beruht auf Variation der Moduln, d. h. der Constanten des algebraischen Gebildes einerseits, des Fundamentalbereichs andererseits. Darin beruht seine Schärfigkeit, aber auch sein Vorzug; denn er führt uns direkt in das noch gänzlich unbekannte Gebiet der automorphen Modulfunktionen hin, welche sich zur gewöhnlichen Theorie der automorphen Functionen ebenso verhalten, wie die elliptischen Modulfunktionen zur gewöhnlichen Theorie der elliptischen Functionen.

Aber für den speziellen Fall des Fundamentaltheorems, dass wir ein eindeutig umkehrbares η mit Grenzkreis verlangen, existieren noch zwei ganz andere Beweismethoden, welche beide von einer festen Riemann'schen Fläche ausgehen und das zugehörige η auf ihr durch Approximation construieren.

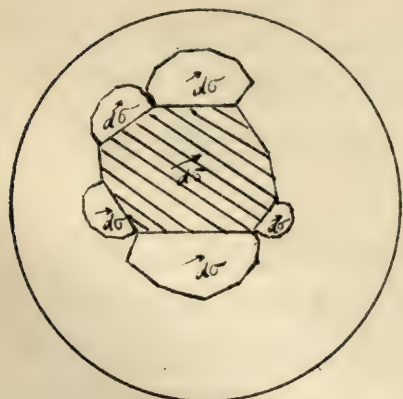
Beide Methoden gehen in ihrem Grundgedanken auf Schwarz zurück und sind dann von den französischen Geometern ausgeführt worden. Der Einfachheit halber denke ich mir

das η auf der Riemann'schen Fläche unverzweigt; es bedingt das, dass wir $p \geq 2$ nehmen.

6.) Die erste Methode will ich bezeichnen als die Methode des Linienelementes.

Es sei eine Riemann'sche Fläche $p \geq 2$ mehrblättrig über der $x + iy$ -Ebene gegeben. Denken wir nun dieselbe auf einen η -Bereich mit Grenzkreis abgebildet, so wie es das Fundamentaltheorem postuliert. Den η -Bereich wollen wir uns in der früher beschriebenen Weise geradlinig gezeichnet denken, mit einer auf den Grenzkreis gegründeten nichteuklidischen Maßbestimmung. Irgend einem

Linienelement $ds = \sqrt{dx^2 + dy^2}$ oder
Riemann'schen Fläche wird dann in dem η -Bereich ein nichteuklidisches Längenelement $d\sigma$ entsprechen, und zwar wird sich das selbe, da die Abbildung conform ist,
 $d\sigma^2 = E.(dx^2 + dy^2)$,



in der Gestalt darstellen

wobei E eine Function von x und y ist, die noch näher zu characterisiren ist.

Machen wir auf der R. Fl. einen geschlossenen Umlauf, so kommen wir in der η -Ebene von einer Stelle des Ausgangsbereiches zu der genau entsprechenden Stelle eines Nachbarbereichs. Da nun der Nachbarbereich im nicht-euklidischen Sinne dem Ausgangsbereich Punkt für Punkt congruent ist, so nimmt dort wieder denselben Wert an, und es ergibt sich also für E der Satz:

Die Function E ist eine auf der gegebenen Riemann'schen Fläche eindeutige Function von x und y , welche in den Verzweigungspunkten der R. Fl. und in den unendlich fernen Punkten derselben ein (hier nicht näher anzugebendes) charakteristisches Verhalten zeigt.

Alles kommt nun darauf an, diese eindeutige Function $E(x, y)$ auf unserer R. Fl. zu bestimmen, denn es ist klar, wenn wir E haben, dass dann die ganze Abbildung der Riemann'schen Fläche auf die η -Ebene bestimmt ist.

Wir müssen uns hierzu auf die allgemeine The-

rie der Differentialform

$$Edx^2 + 2Fdxdy + Gdy^2,$$

bezüchen, welche ja in der Gauß'schen Flächentheorie in bekannter Weise entwickelt ist.

Diese Differentialform besitzt gegenüber beliebigen Substitutionen $x = \varphi(x^1, y^1)$, $y = \psi(x^1, y^1)$ eine Invariante, das Gauß'sche Krümmungsmass. Der allgemeine Ausdruck desselben durch E, F, G ist sehr complicirt. In unserm Falle aber, wo $F = 0$, $E = G$ ist, vereinfacht er sich folgendermassen:

$$-K = \frac{(\frac{\partial E}{\partial x})^2 + (\frac{\partial E}{\partial y})^2}{2E^3} - \frac{\frac{d^2 E}{dx^2} + \frac{d^2 E}{dy^2}}{2E^2}$$

und noch einfacher wird er, wenn wir

$$E = e^u$$

setzen, wodurch

$$-K = -\frac{\frac{d^2 u}{dx^2} + \frac{d^2 u}{dy^2}}{2e^u}$$

wird.

Indem wir nun wissen, dass unser nichtenkdisches Bögenlement constantes negatives Krümmungsmass besitzen muss, verwandelt sich unsere zuletzt hingeschriebene Gleichung in eine partielle Differentialgleichung:

$$\frac{d^2 u}{dx^2} + \frac{d^2 u}{dy^2} = 2Ke^u, \quad e^u = E,$$

der die Function u bezw. \mathcal{E} genügen muss.

Sobald es uns gelingt, für diese partielle Differenzialgleichung eine Lösung $u(x, y)$ zu finden, welche auf unserer ganzen Riemann'schen Fläche eindeutig ist, und in den Windungspunkten und den ∞ -Stellen der R. Fl. das richtige Verhalten zeigt, (welches wir hier nicht näher specificiren), dann schreiben wir:

$$\underline{d\sigma^2 = \mathcal{E}(dx^2 + dy^2)},$$

und haben damit ein nichteuklidisches Bogenlement und durch Vermittlung desselben die richtige Abbildung auf die η -Ebene.

Die Frage ist also: Habe ich eine Methode, um die Differentialgleichung

$$\Delta u = 2K \cdot e^u$$

auf einer geschlossenen Riemann'schen Fläche durch eine eindeutige Function mit charakteristischen Unstetigkeitsstellen zu integrieren?

Eskommen hier die Theorien von Picard in Betracht, welche die gewöhnlichen Entwicklungen über die Integration von $\Delta u = 0$ unter vorgegebenen Unstetigkeits- und sonstigen Bedingungen auf allgemeinere partielle Differentialgleichungen mit Erfolg

übertragen hat.

Speciell die hier vorliegende Aufgabe hat Picard in Liouv. sér. 4 t. 9. 1893 zu Ende geführt vermittelst der bekannten Methode der successiven Approximationen.

Picard hat gezeigt, dass auf gegebener geschlossener Riemann'scher Fläche in der That immer eine und nur eine einzige Function u resp. E gefunden werden kann, welche der partiellen Differentialgleichung genügt, welche durchaus eindeutig ist, und welche die charakteristischen Unstetigkeitsstellen aufweist, von denen wir wiederholt sprachen.

Indem wir mit Hülfe dieser Function E das $dG^2 = E(dx^2 + dy^2)$ berechnen, haben wir das nichteuklidische Bogenelement unserer η -Ebene gewonnen, und damit die völlig bestimmte Existenz des η , d. h. unser Fundamentaltheorem, für den Grenzkreisfall bewiesen.

B.) Für den Grenzkreisfall liegt, wie schon oben bemerkt außer der Continuitätsmethode noch ein zweiter ebenfalls von Schwarz herührender Beweisansatz vor; derselbe ist von Poincaré in sehr allgemeiner Form durchgeführt; ich will die Methode die

Methode der unendlichfach überdeckten Riemann'schen Fläche benennen.

Denken wir uns wieder die durch das Fundamentaltheorem als möglich behauptete conforme Abbildung auf einen η -Bereich mit Grenzkreis wirklich ausgeführt. Die zerschmißne Riemann'sche Fläche entspricht dabei gerade einem Fundamentbereich. Sie entspricht aber auch jedem der andern durch die Substitutionen der Gruppe aus dem Ausgangsbereich entstehenden, in ihrer Gesamtheit das Innere des Grenzkreises vollständig überdeckenden Bereiche. Umgekehrt ist η auf der Riemann'schen Fläche zwar unverzweigt, aber unendlich vieldeutig; wir haben uns, um η auf der Riemann'schen Fläche zu denken, dieselbe unendlich oft überdeckt zu denken, indem wir uns etwa die ringförmige Gestalt der Fläche mit unendlich vielen Ringschalen überdeckt denken, von denen jede mit einer andern längs eines der 2π kanonischen Rückkehrsschritte zusammenhängt. Verzweigungspunkte treten dabei nicht auf.

Die unendlich vielen äquivalenten neben einanderliegenden Bereiche der η -Ebene lie-

fern rückwärts auf die Riemann'sche Fläche abgebildet eine unendlichfache Überdeckung der letzteren.

Das Ende der Sache ist, dass die von dem Grenzkreis umschlossene Kreisfläche der η -Ebene auf die unendlichfach überdeckte Riemann'sche Fläche conform abgebildet ist, so zwar, dass jedem Fundamentalbereich der η -Ebene eine einzelne Überdeckung der R. Fl. correspondirt.

Es macht keine Schwierigkeit, sich vorzustellen, dass die R. Fl. in der erforderlichen Weise mit unendlich vielen Blättern überdeckt wird, die ein zusammenhängendes Ganze bilden.

Alles kommt nun darauf an, zu zeigen, dass man diese neue Fläche, welche sich unendlich oft über die gegebene Fläche hinzieht auf eine schlichte Kreisfläche abbilden kann.

In der That: Nehmen wir die Möglichkeit dieser Abbildung einmal als bewiesen an; Dann behaupte ich, dass wir mit dieser Abbildung gerade unsere η -Funktion construiert haben. Nämlich:

Unsere unendlichblättrige Fläche ist eine reguläre Fläche mit unendlich vielen ein-

deutigen Transformationen in sich, wobei
der Fundamentalbereich die einzelne Über-
deckung unserer ursprünglichen Riemanni-
schen Fläche ist.

Denn jedes Blatt ist ja mit jedem andern vollständig congruent, und hängt mit allen benachbarten Blättern in derselben Weise zusammen, wie irgend ein anderes Blatt mit den ihm benachbarten Blättern.

Ich kann daher jedes Blatt auf jedes andere Blatt conform abbilden, indem ich einfach die über einander liegenden Punkte der beiden Blätter einander zuweise; von da aus ergibt sich durch analytische Fortsetzung jedes Mal eine eindeutige Transformation der unendlich blättrigen Fläche in sich selbst.

Diese Eigenschaft muss sich auf die Kreisfläche
der η -Ebene übertragen, auf welche wir unsere
 α blättrige Fläche abgebildet haben. Auch sie
muss durch unendlich viele eindeutige Transfor-
mationen in sich übergehen, bei welchen die
verschiedenen Bereiche, die den verschiedenen
Blättern unserer R. Fl. entsprechen, sich gea-
de permutieren.

Nun geht eine Kreisfläche durch keine andere

eindeutigen Transformationen in sich über,
als durch lineare Transformationen. Die un-
endlich vielen nebeneinanderliegenden Abbil-
der, welche die verschiedenen Blätter unserer un-
endlich glättigen R. Fl. in der η -Ebene finden,
gehen also alle durch lineare Transformationen
auseinander hervor, wir haben folglich in der
That die richtige η -Figur.

Alles hängt, wie man sieht, an dem Beweise,
dass man die ∞ blättrige R. Fl. auf das Innere
einer schlichten Kreisfläche conform abbilden
kann.

Diesen Beweis hat nun wirklich Poincaré
geliefert im Bull. de la Société Mathématique
de France XI 1884 und zwar in einer sehr
allgemeinen, über das hier vorliegende Bedürf-
niss hinausgehenden Form, die ich hier leider
nicht eingehender besprechen kann.

Damit haben wir einen zweiten einwandlosen
Beweis für das Fundamentaltheorem im Grenz-
Kreisfall, abgesehen noch von der Continuit-
fätsmethode, welche auch für die andern Fäl-
le anwendbar ist.

Hiermit schließe ich die heutige Stunde und
damit die gegenwärtige Vorlesung überhaupt.

Sie sehen, dass gerade am Schluss sich noch die interessantesten neuen Gesichtspunkte uns darbieten, die wir leider in der kurzen Zeit auf keine Weise weiter verfolgen kommen. Wir können sagen, dass wir nur erst im Anfang eines neuen Gebietes stehen, für dessen genauere Erforschung die Überlegungen der letzten beiden Semester erst Vorbereitungen sind.

RETURN Astronomy/Mathematics/Statistics Library
TO → 100 Evans Hall
642-3381

LOAN PERIOD	1	2	3
1 MONTH			
4	5		6

ALL BOOKS MAY BE RECALLED AFTER 7 DAYS

DUE AS STAMPED BELOW

QA 372

K62

MATH
STAT.
LIBRARY

U. C. BERKELEY LIBRARIES



C054607413

